

Reaktionsmechanismen

in der



organischen Chemie

für Fortgeschrittene

Themen der Vorlesung

1. Aufklärung von Reaktionsmechanismen:
 - 1.1 thermodynamische Aspekte
 - 1.2 kinetische Untersuchungen
 - 1.3 kinetischer Isotopeneffekt
 - 1.4 lineare Freie Enthalpiebeziehungen
2. Reaktive Zwischenstufen
 - 2.1 Carbokationen
 - 2.2 Radikale
 - 2.3 Radikationen
 - 2.4 Carbene
 - 2.5 Carbanionen
3. Reaktionsmechanismen:
 - IUPAC-Nomenklatur für Reaktionen
 - Grenzorbitaltheorie
 - neuere Aspekte der Behandlung von:
 - nucleophilen Substitutionen
 - aliphatischen electrophilen Substitutionen
 - radikalischen Substitutionen und Additionen
 - elektrophilen und nucleophilen Additionen
 - pericyclischen Reaktionen (Woodward-Hoffmann-Regeln)
 - Eliminierungen
 - homogene Katalyse

Literatur

M.B. Smith, J. March: March's Advanced Organic Chemistry, Reactions Mechanisms and Structure, 5.Auflage, Wiley, 2001 (168 DM)

R.Brückner: Reaktionsmechanismen, Stereochemie, moderne Synthesemethoden, Spektrum Akad. Verlag, 1996 (79.90 DM)

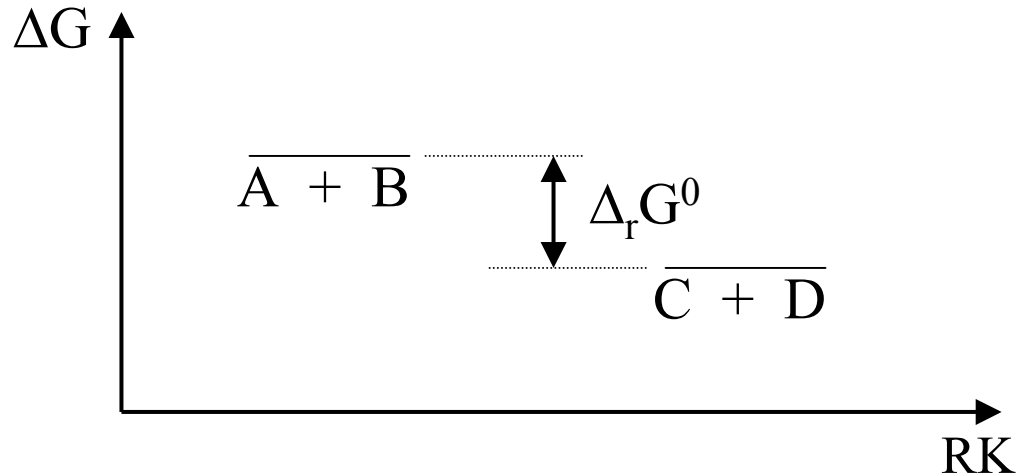
P.Sykes: Reaktionsmechanismen der Organischen Chemie, Wiley-VCH, 1988 (68.26 DM)

1. Aufklärung von Reaktionsmechanismen

1.1 Thermodynamische Aspekte



$$\Delta_r G^0 = \Delta_r H^0 - T \cdot \Delta_r S^0 < 0$$



$$\begin{aligned} \Delta_r H^0 &= \sum \Delta_f H^0_{(\text{Produkte})} - \sum \Delta_f H^0_{(\text{Edukte})} \\ &\approx \sum \text{BDE (gebrochene Bindungen)} \\ &\quad - \sum \text{BDE (gebildete Bindungen)} \end{aligned}$$

BDE = Bindungsdissoziationsenergie

Thermodynamische Aspekte: Beispiel



$$\Delta_f H^0 \quad -86.6 \quad 52.3 \quad -126.4 \quad [\text{kJ/mol}]$$

$$S^0 \quad 230 \quad 219 \quad 310 \quad [\text{J/mol K}]$$

$$\Delta_r H^0 = -92.1 \text{ kJ/mol}$$

$$\Delta_r S^0 = -139 \text{ J/mol K}$$

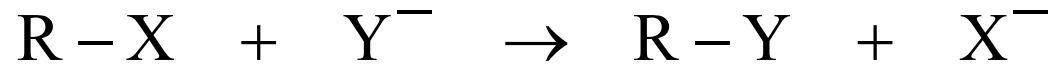
$$\Delta_r G^0_{300} = -50.4 \text{ kJ/mol}$$

$$\begin{array}{ccc} \text{BDE} & \overset{\pi}{\text{C}=\text{C}} & \text{C}-\overset{\sigma}{\text{C}} \\ & 248 & 343 \text{ [kJ/mol]} \end{array}$$

$$\Delta_r H^0 \approx -95 \text{ kJ/mol}$$

1.2 Kinetische Untersuchungen

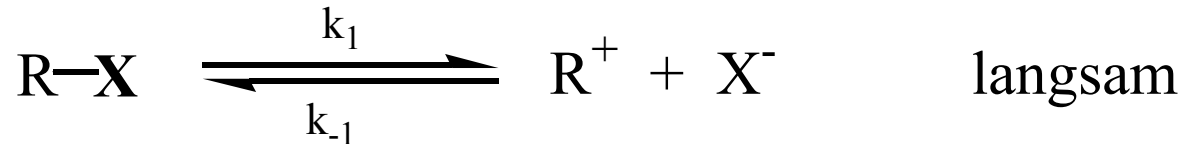
S_N1-Reaktion:



$$-\frac{d[\text{RX}]}{dt} = k_{\text{exp}} \cdot [\text{RX}] \quad \text{zu Beginn}$$

$$-\frac{d[\text{RX}]}{dt} = k'_{\text{exp}} \frac{[\text{RX}] \cdot [\text{Y}^-]}{[\text{X}^-]} \quad \text{im Verlauf}$$

S_N1-Reaktion



$$\frac{d[\text{RY}]}{dt} = k_2[\text{R}^+][\text{Y}^-] \quad (1)$$

$$\frac{d[\text{R}^+]}{dt} = k_1[\text{RX}] - k_{-1}[\text{R}^+][\text{X}^-] - k_2[\text{R}^+][\text{Y}^-] = 0 \quad (2)$$

Quasistationaritätsbedingung (Bodenstein)

$$[\text{R}^+] = \frac{k_1[\text{RX}]}{k_{-1}[\text{X}^-] + k_2[\text{Y}^-]} \quad \text{Konkurrenzreaktion} \quad (2a)$$

$$\frac{d[\text{RY}]}{dt} = -\frac{d[\text{RX}]}{dt} = \frac{k_1 k_2 [\text{RX}][\text{Y}^-]}{k_{-1}[\text{X}^-] + k_2[\text{Y}^-]} \quad (2a) \text{ in } (1)$$

S_N1-Reaktion

Zwei Extremfälle:

a) $k_{-1}[X^-] \ll k_2[Y^-]$ zu Beginn

$$\frac{d[RY]}{dt} = -\frac{d[RX]}{dt} = k_1[RX] \Rightarrow k_1 = k_{\text{exp}}$$

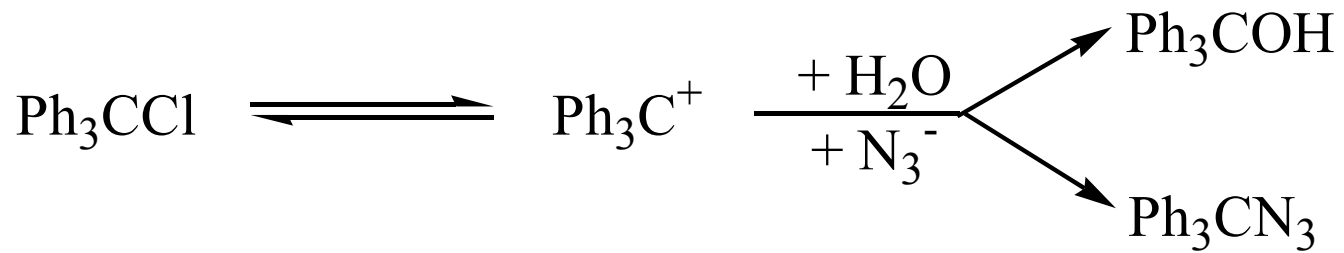
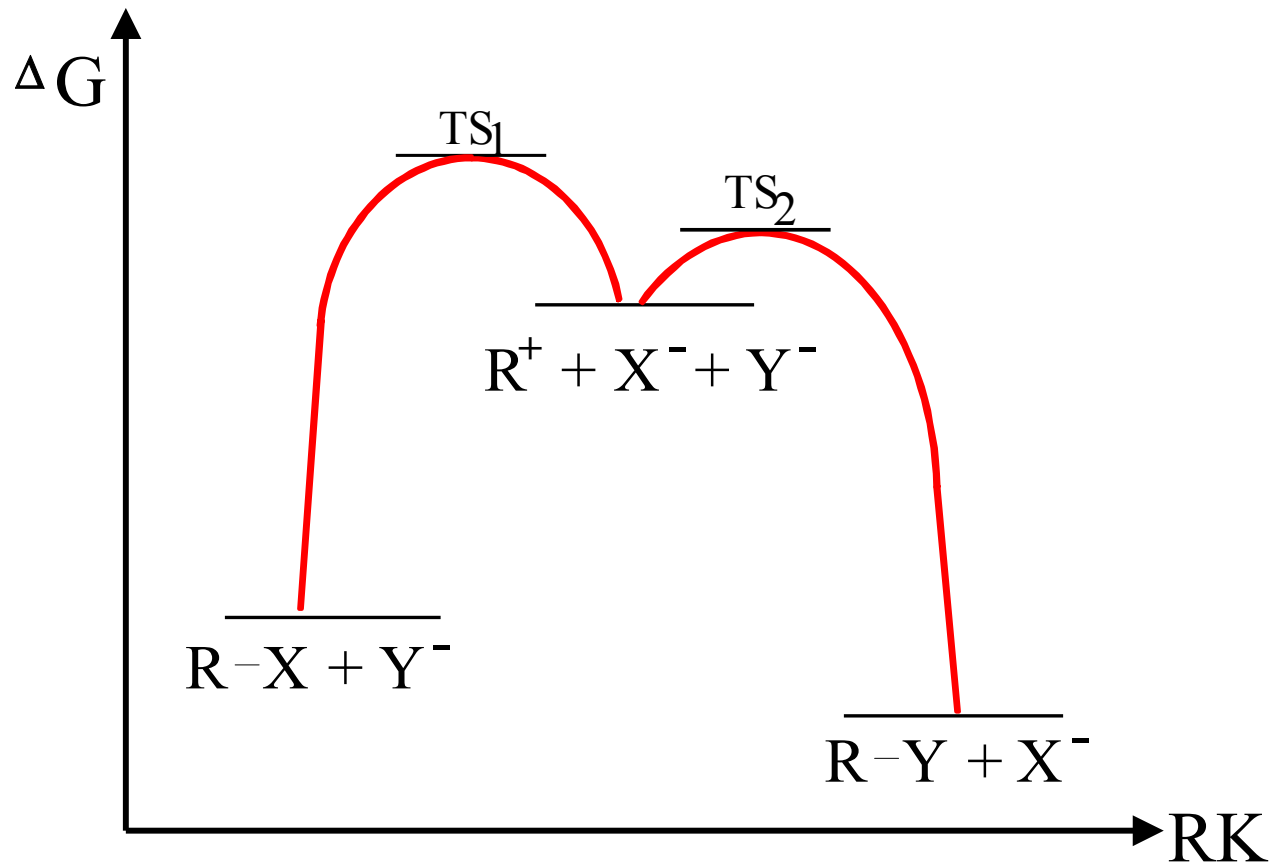
b) $k_{-1}[X^-] \gg k_2[Y^-]$ gegen Ende

$$\frac{d[RY]}{dt} = -\frac{d[RX]}{dt} = \frac{k_1 \cdot k_2 [RX][Y^-]}{k_{-1}[X^-]} \Rightarrow \frac{k_1 \cdot k_2}{k_{-1}} = k'_{\text{exp}}$$

Überstöchiometrischer Zusatz von Y⁻ : Fall a)

Zusatz von X⁻ : Fall b)

Reaktionsdiagramm



Konkurrenzreaktion

$$\frac{d[RX]}{dt} = k_x [R^+][X^-]$$

$$\frac{d[RY]}{dt} = k_y [R^+][Y^-]$$

$$\frac{d[R_x]}{d[R_y]} = \frac{k_x [X^-]}{k_y [Y^-]}$$

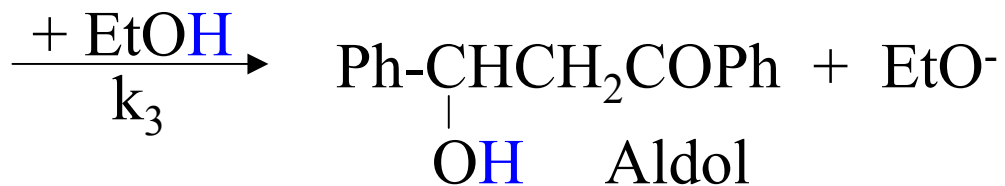
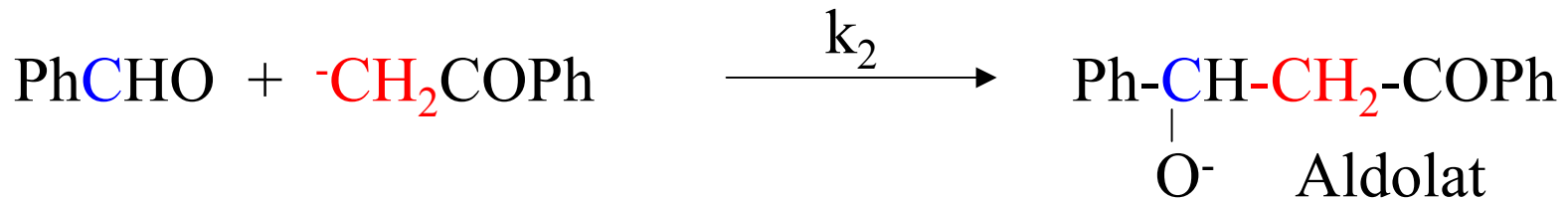
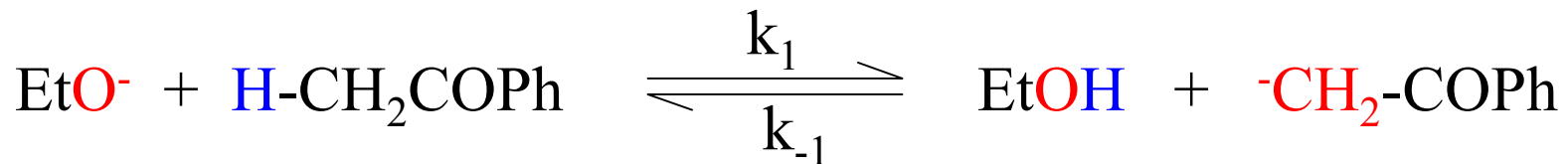
$$\frac{k_x}{k_y} \equiv \text{Konkurrenzkonstante}$$

$$S \equiv \log \left(\frac{k_x}{k_y} \right) \quad \text{Selektivität}$$

Aldoladdition



$$\frac{d[\text{Aldol}]}{dt} = k_{\text{exp}} [\text{PhCHO}][\text{PhCOMe}][\text{EtO}^-]$$



Aldoladdition

$$\frac{d[\text{Aldol}]}{dt} = k_3[\text{Aldol}^-][\text{EtOH}] \quad (1)$$

$$\frac{d[\text{Aldol}^-]}{dt} = k_2[\text{PhCHO}][^- \text{CH}_2\text{COPh}] - k_3[\text{Aldol}^-][\text{EtOH}] = 0 \quad (2)$$

$$[\text{Aldol}^-] = \frac{k_2[\text{PhCHO}][^- \text{CH}_2\text{COPh}]}{k_3[\text{EtOH}]} \quad (2a)$$

$$\begin{aligned} \frac{d[^- \text{CH}_2\text{COPh}]}{dt} &= k_1[\text{EtO}^-][\text{MeCOPh}] - k_{-1}[\text{EtOH}][^- \text{CH}_2\text{COPh}] \\ &\quad - k_2[\text{PhCHO}][^- \text{CH}_2\text{COPh}] = 0 \end{aligned} \quad (3)$$

$$[^- \text{CH}_2\text{COPh}] = \frac{k_1[\text{EtO}^-][\text{MeCOPh}]}{k_{-1}[\text{EtOH}] + k_2[\text{PhCHO}]} \quad (3a)$$

Aldoladdition

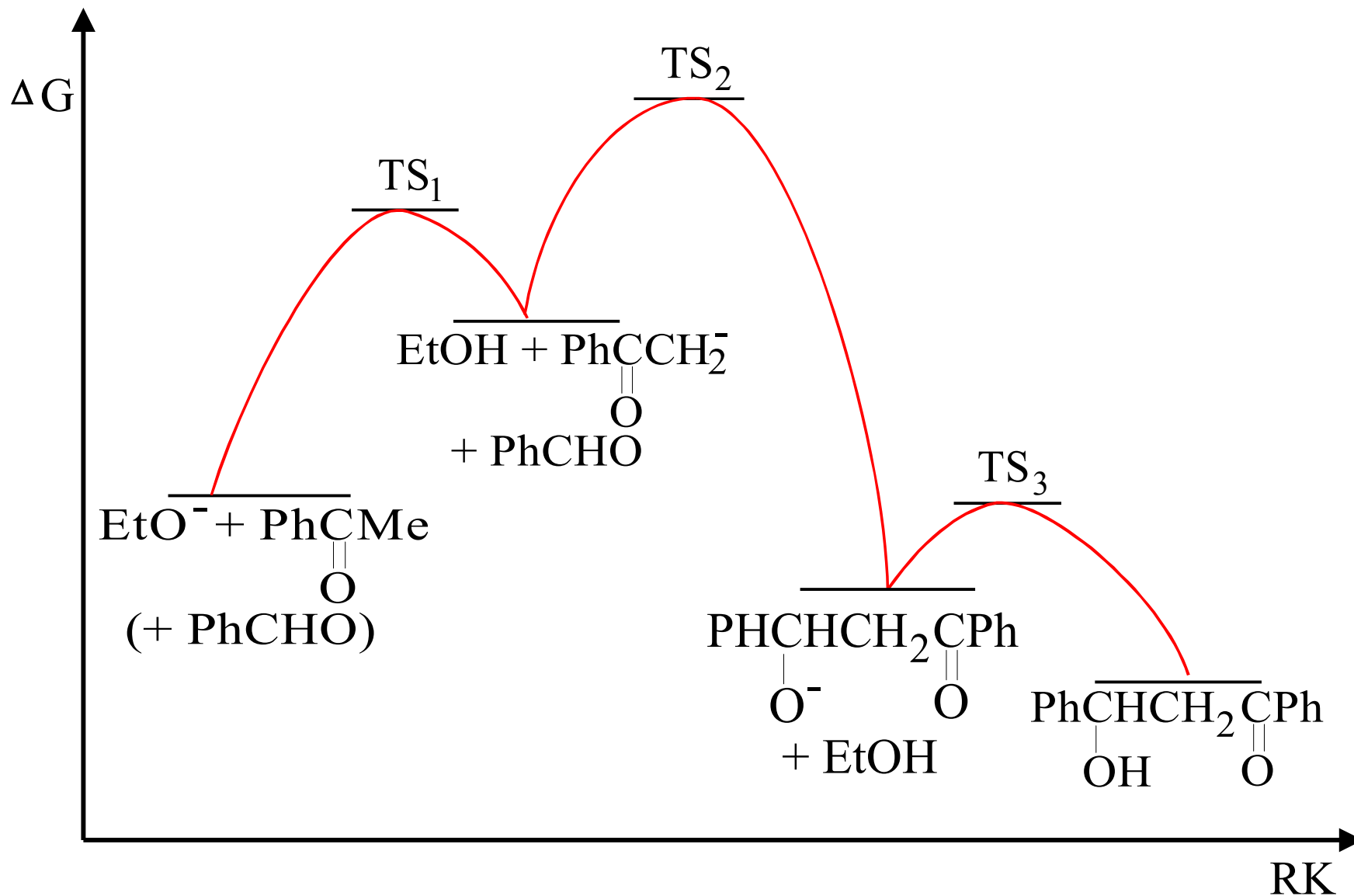
$$[\text{Aldol}^-] = \frac{k_2[\text{PhCHO}] \cdot k_1[\text{PhCOMe}][\text{EtO}^-]}{k_3[\text{EtOH}](k_{-1}[\text{EtOH}] + k_2[\text{PhCHO}])} \quad (3a) \text{ in } (2a)$$

$$\frac{d[\text{Aldol}]}{dt} = \frac{k_1 \cdot k_2 \cdot \cancel{k_3}[\text{PhCHO}][\text{PhCOMe}][\text{EtO}^-] \cancel{[\text{EtOH}]}}{\cancel{k_3}[\text{EtOH}](k_{-1}[\text{EtOH}] + k_2[\text{PhCHO}])} \quad (4)$$

$$k_{-1}[\text{EtOH}] \gg k_2[\text{PhCHO}]$$

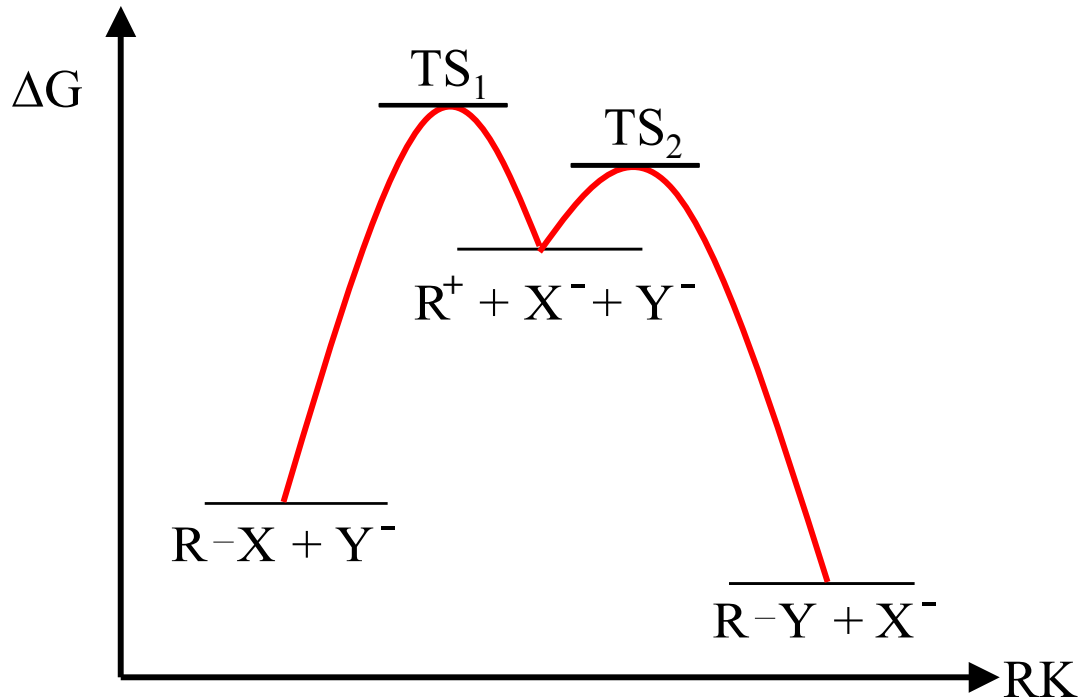
$$k_{\text{exp}} = \frac{k_1 \cdot k_2}{k_{-1}[\text{EtOH}]}$$

Reaktionsdiagramm der Aldoladdition



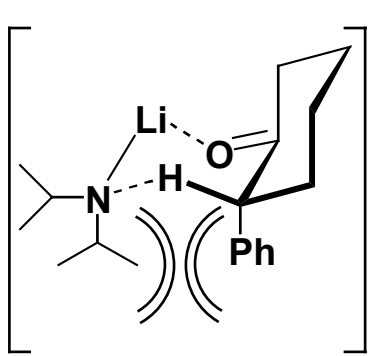
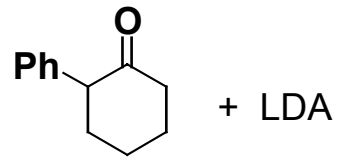
Prinzip der mikroskopischen Reversibilität

Bei einer reversiblen Reaktion verlaufen Hin- und Rückreaktion auf demselben Reaktionsweg, d.h. nach demselben Mechanismus.

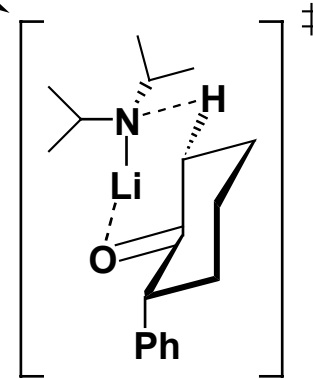


Hammond-Postulat

Die Geometrie des Übergangszustandes ähnelt mehr der Seite der Reaktion (Edukt bzw. Produkt), der er bezüglich der Freien Enthalpie näher ist.

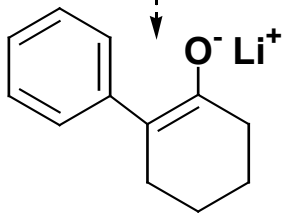


A



B

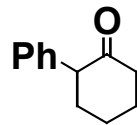
- $i\text{Pr}_2\text{NH}$



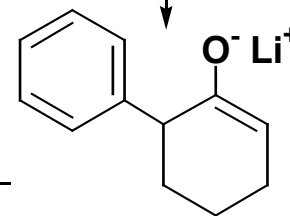
C

Thermodynamisches
Enolat

+ Spur



, -78°C

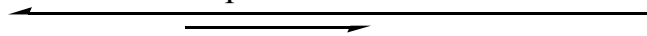


D

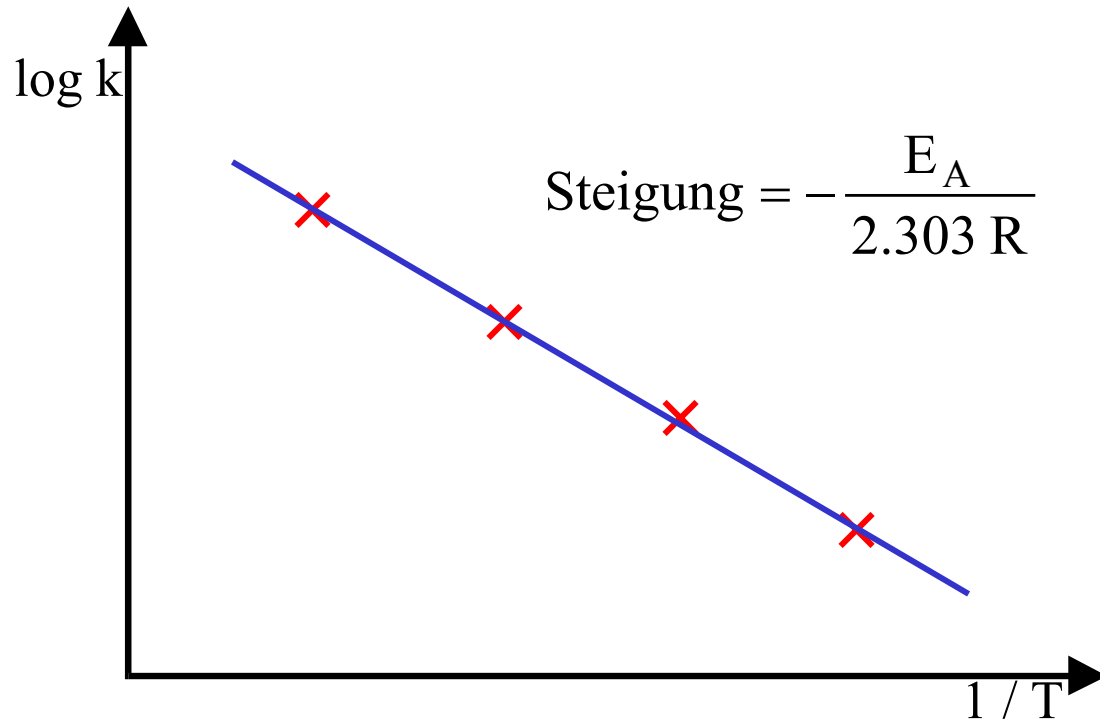
Kinetisches
Enolat

Raumtemp.

→ -78°C



1.2 Kinetische Untersuchungen: Temperaturabhängigkeit von k



Arrhenius-Gleichung (1889) (Svante Arrhenius 1859 - 1927)

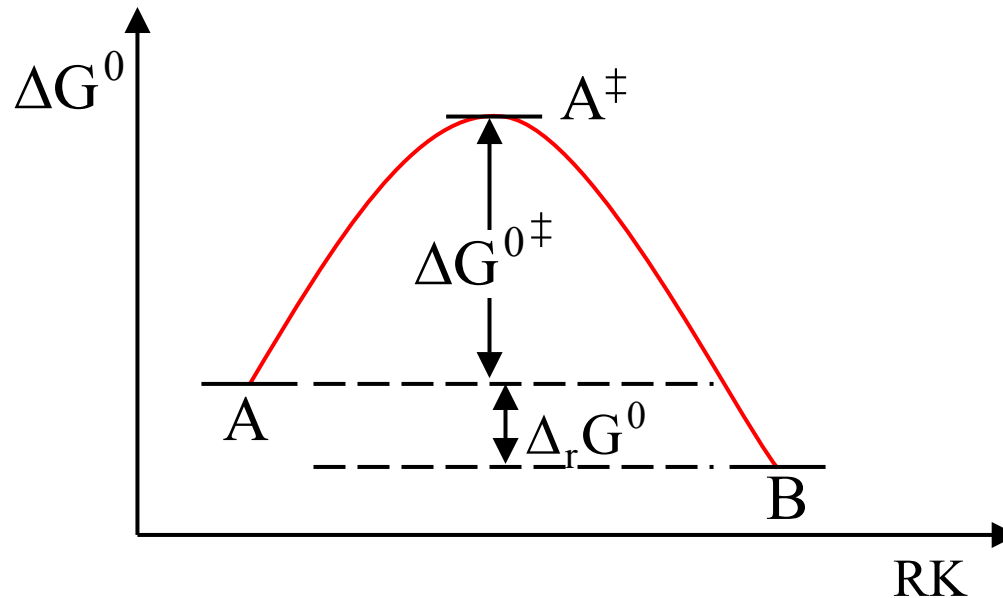
$$\log k = \log A - \frac{E_A}{2.303 RT}$$

$$k = A \cdot e^{-E_A/RT}$$

E_A Aktivierungsenergie
A präexponentieller Faktor,
A-Faktor

Theorie des Übergangszustandes (1940)

(Henry Eyring, 1901 – 1981)



$$\log k = \log \frac{k_B}{h} + \log T - \frac{\Delta G^{0\ddagger}}{2.303 RT}$$

Eyring-Gleichung – nur für Elementarreaktionen gültig!

Theorie des Übergangszustandes (1940)

Für Elementarreaktionen gilt:

$$E_A = \Delta H^{0\ddagger} + RT$$

$$\log A = \frac{\Delta S^{0\ddagger}}{2.303 R} + \log T + \log \frac{k_B}{h} \quad (\text{monomolekular})$$

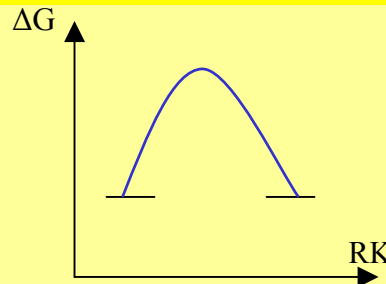
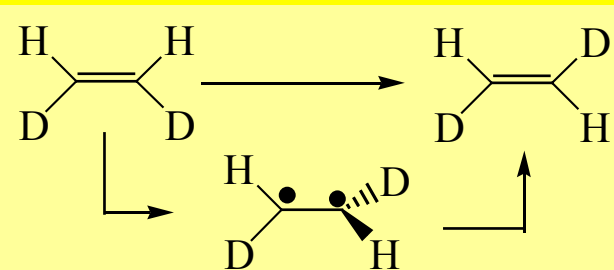
Orientierung für $\log A$

$\Delta S^{0\ddagger}$	≈ 0	> 0	< 0
$\log A$	13	> 13	< 13

$$\log \frac{k_B}{h} = 10.76 \qquad \log 300 = 2.48 \quad (T = 300\text{K})$$

Aktivierungsparameter typischer monomolekularer Reaktionen

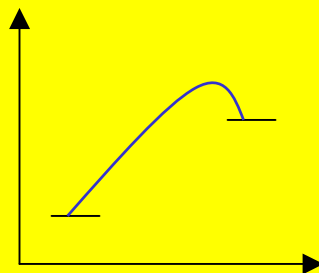
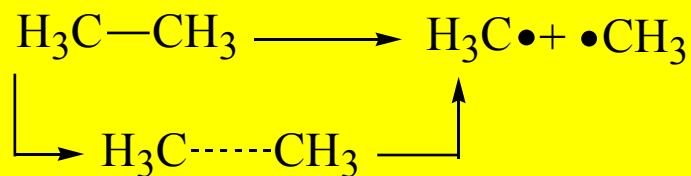
$\log A$ [$\text{l mol}^{-1} \text{s}^{-1}$] E_A [kJ mol^{-1}]



$$v = k [\text{HDC}=\text{CHD}]$$

13

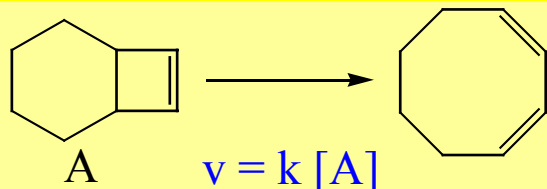
272



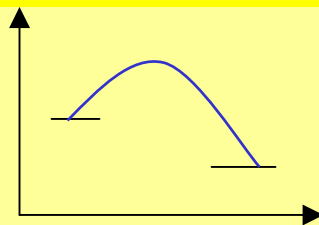
$$v = k [\text{C}_2\text{H}_6]$$

16.7

368

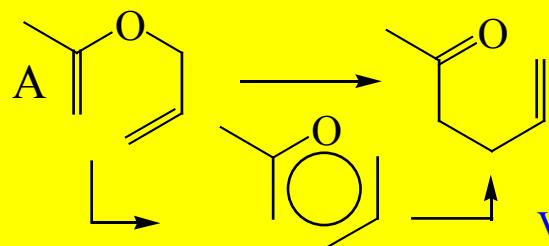


$$v = k [\text{A}]$$

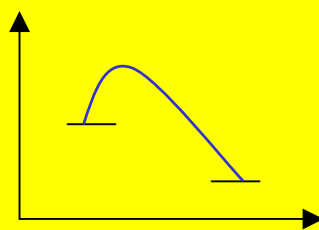


14.1

180



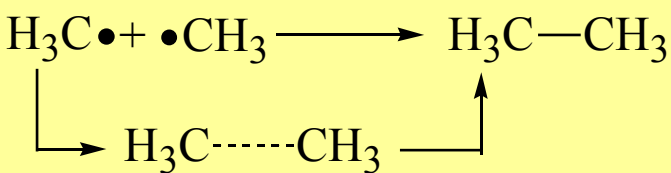
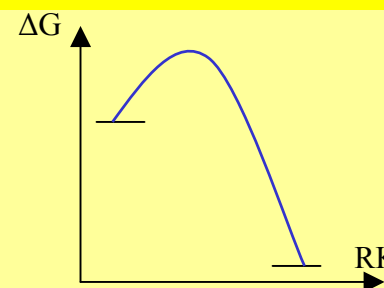
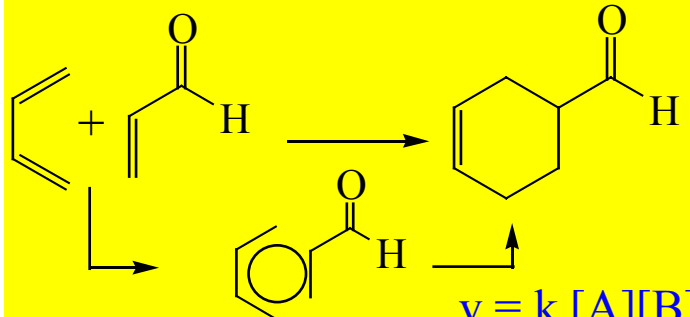
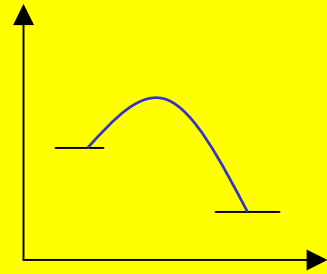
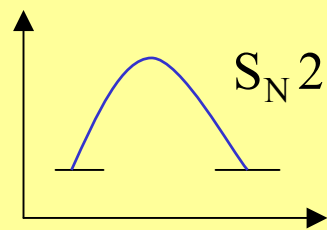
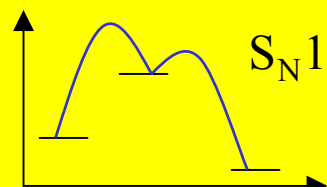
$$v = k [\text{A}]$$



11.7

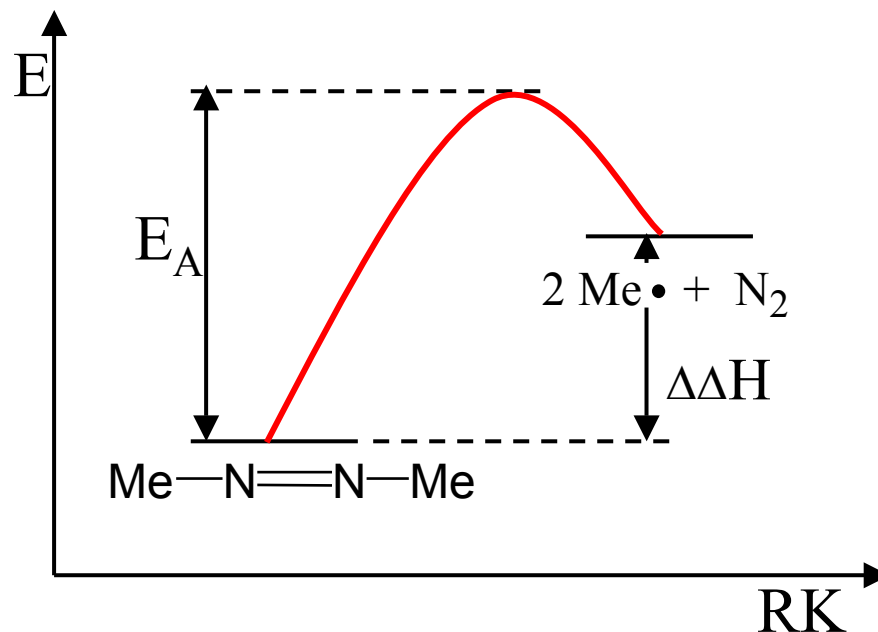
123

Aktivierungsparameter typischer bimolekularer Reaktionen

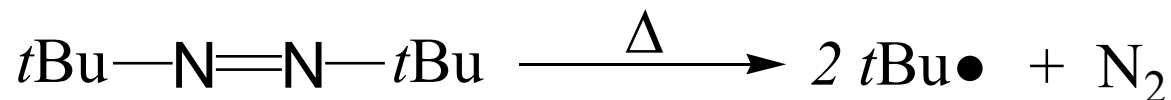
		logA [l mol ⁻¹ s ⁻¹]	E _A [kJ mol ⁻¹]
$\text{H}_3\text{C}\cdot + \cdot\text{CH}_3 \longrightarrow \text{H}_3\text{C}-\text{CH}_3$  $v = 2k [\text{CH}_3\cdot]^2$		10.5	≈ 0
 $v = k [\text{A}][\text{B}]$		5.8	79
$\text{EtBr} + \text{Cl}^- \longrightarrow \text{EtCl} + \text{Br}^-$ $v = k [\text{EtBr}][\text{Cl}^-]$		8.9	74
$\text{tBuCl} + \text{H}_2\text{O} \longrightarrow \text{tBuOH} + \text{HCl}$ $v = k [\text{tBuCl}]$		16.3	102

Substituenteneffekte

Einfluß auf Aktivierungsenergie

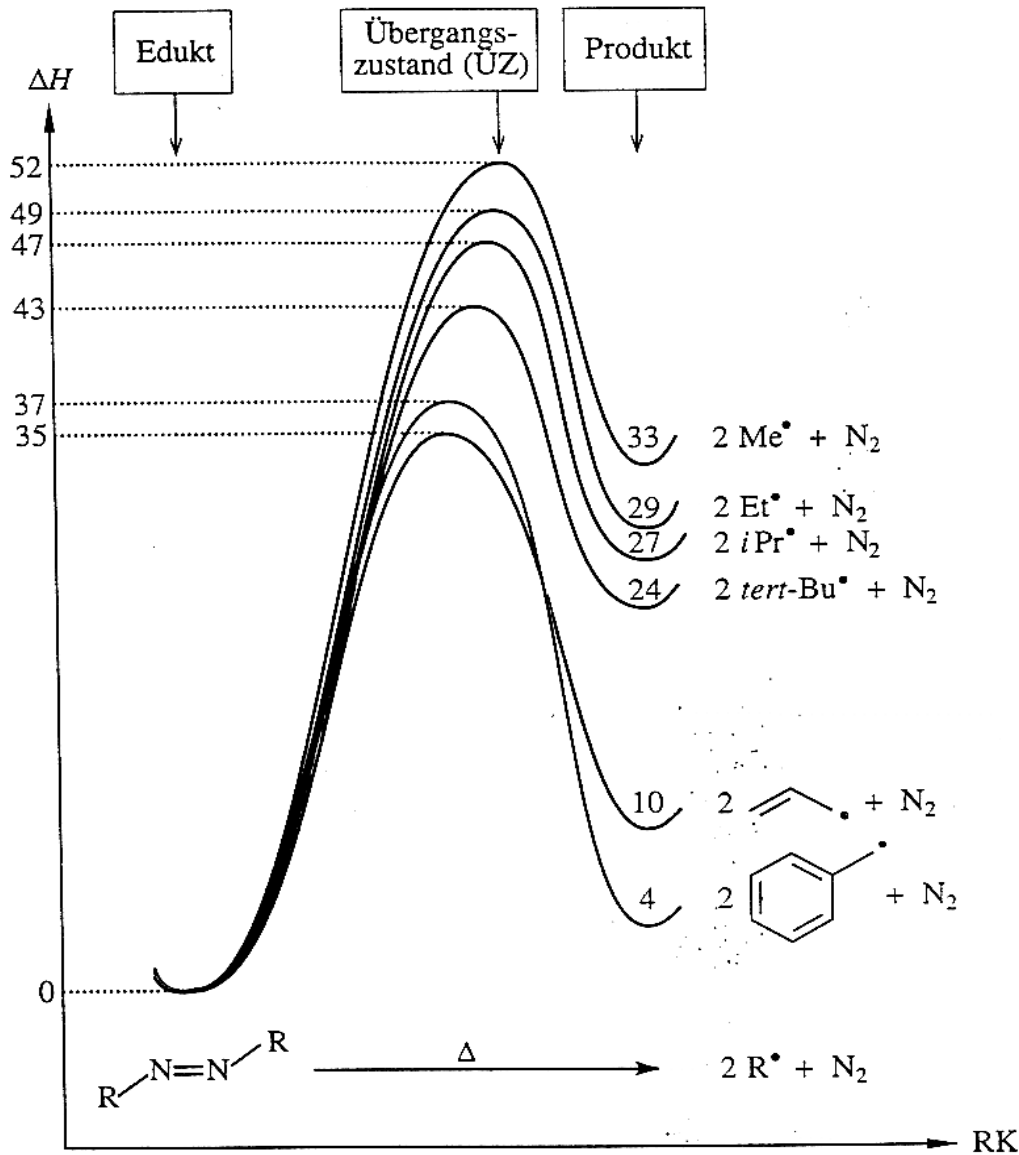


$$E_A = 52 \text{ kcal/mol}; \quad \Delta\Delta H = 33 \text{ kcal/mol}$$



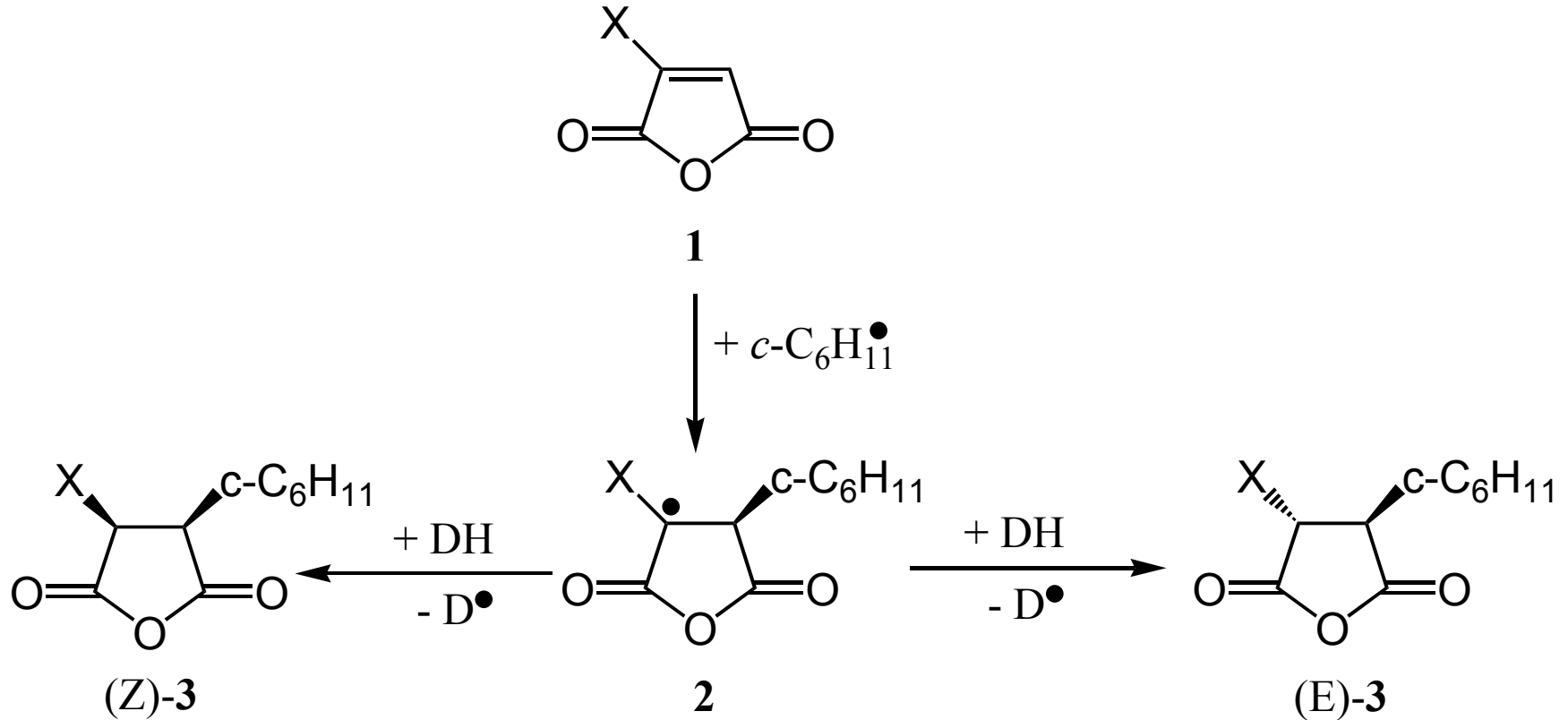
$$E_A = 43 \text{ kcal/mol}; \quad \Delta\Delta H = 24 \text{ kcal/mol}$$

Bell-Evans-Polanyi-Beziehung



$$E_A = k + k' \cdot \Delta_r H$$

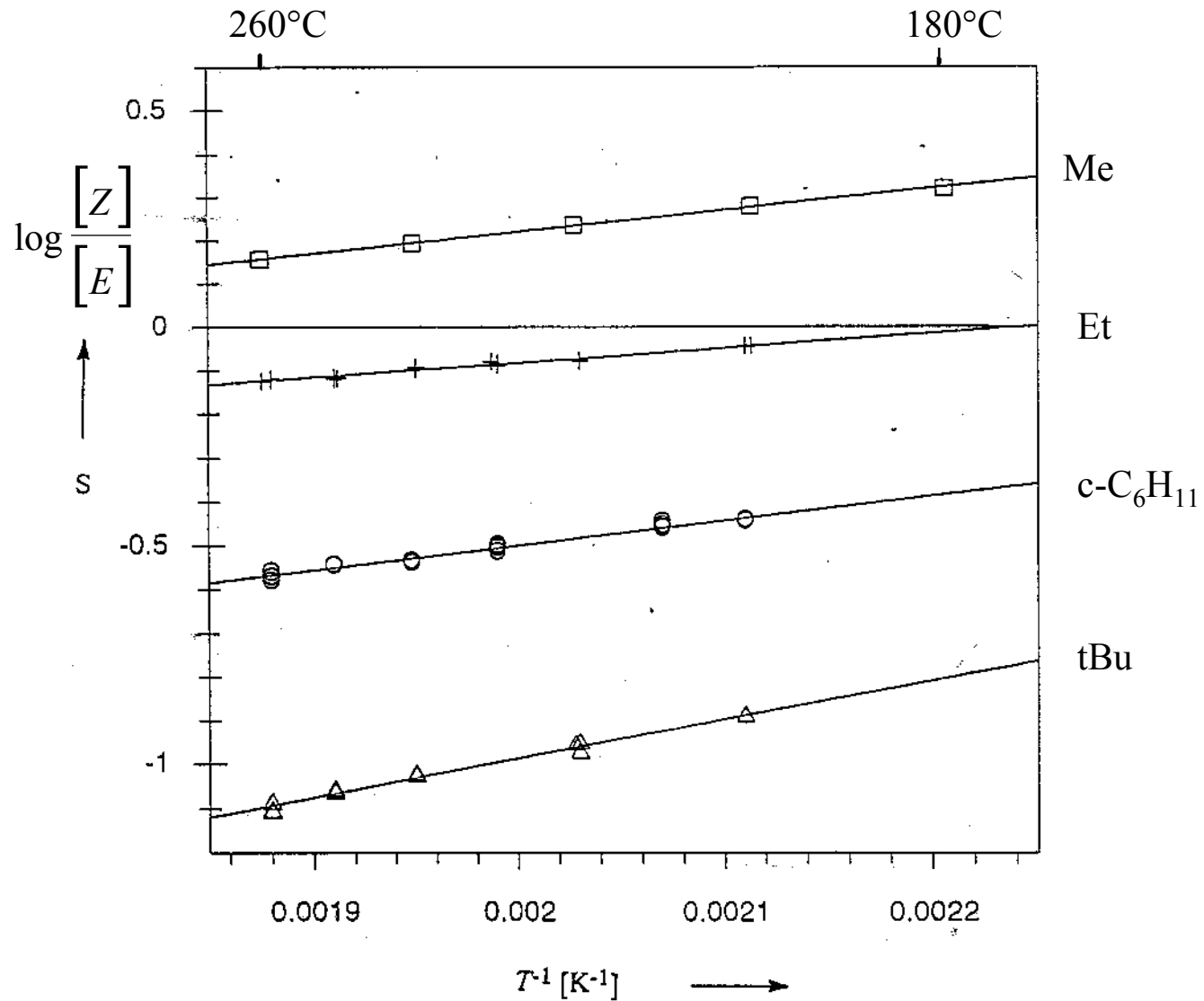
Stereoselektivität



2	a	b	c	d	e	f	G
X	Me	Et	c-C ₆ H ₁₁	t-Bu	CF ₃	Ph	F

DH = c-C₆H₁₂, c-C₆H₁₁HgH

Konkurrenzreaktionen



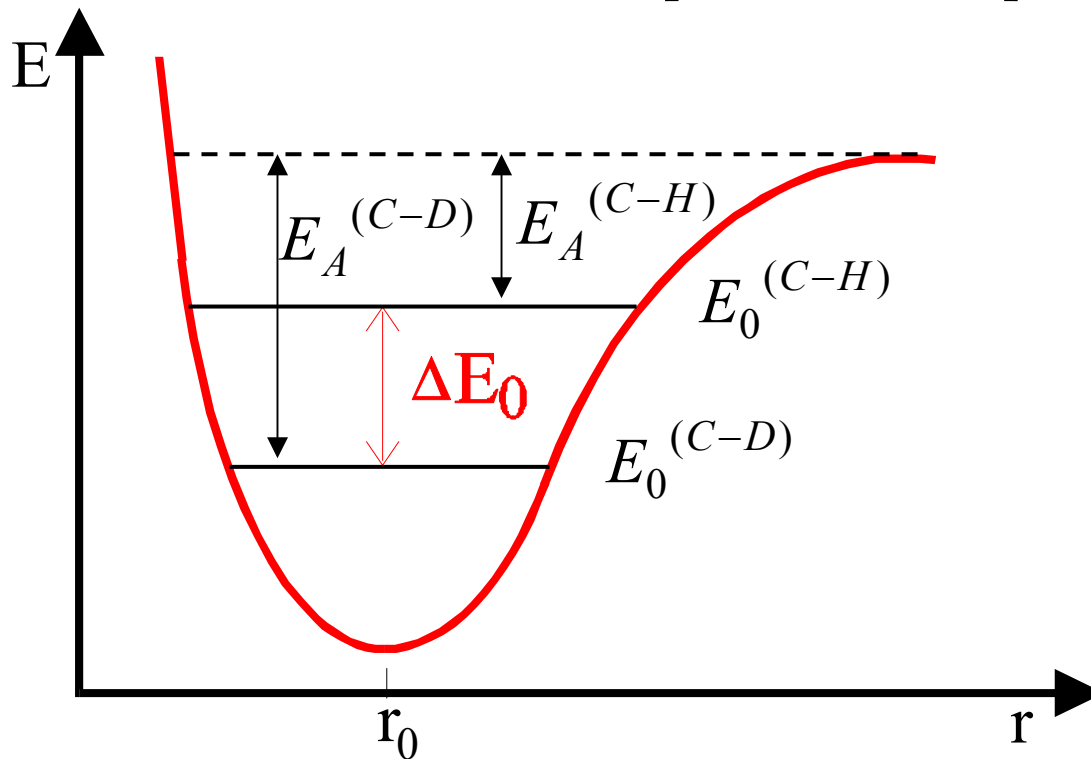
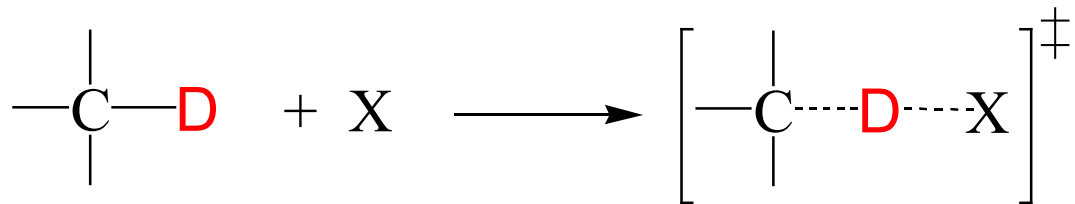
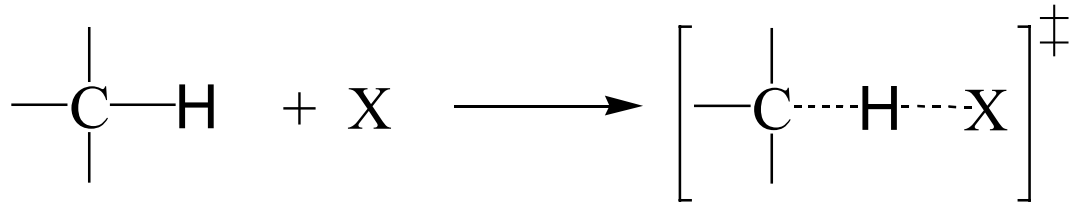
Konkurrenzreaktion

$$\begin{array}{l} \frac{d[Z]}{dt} = k_Z [R\bullet][DH] \quad (1) \\ \frac{d[E]}{dt} = k_E [R\bullet][DH] \quad (2) \end{array} \quad \left. \vphantom{\begin{array}{l} (1) \\ (2) \end{array}} \right\} \begin{array}{l} (1) \\ (2) \end{array} \Rightarrow \frac{[Z]}{[E]} = \frac{k_Z}{k_E}$$

$$\log \left(\frac{k_Z}{k_E} \right) = \log \left(\frac{A_Z}{A_E} \right) - \frac{(E_{A,Z} - E_{A,E})}{2.303 RT}$$

X	$E_{A,Z} - E_{A,E}$ (kJ/mol)	$\log A_Z - \log A_E$
Me	- 9.7	- 0.79
tBu	- 16.8	- 2.76

1.3 Primärer kinetischer Isotopeneffekt



Primärer kinetischer Isotopeneffekt

$$(1) \quad E_0 = \frac{1}{2} h \nu_S = \frac{1}{2} h c \tilde{\nu}$$

$$(2) \quad \nu_S = \frac{1}{2\pi} \sqrt{\frac{k}{\mu}}$$

$$(2) \text{ in } (1) \quad E_0 = \frac{h}{4\pi} \sqrt{\frac{k(m_1 + m_2)}{m_1 \cdot m_2}}$$

ν_S = Frequenz der Valenzschw. der Bindung

k = Kraftkonstante der Schwingung

$\mu = \frac{m_1 \cdot m_2}{m_1 + m_2}$ reduzierte Masse

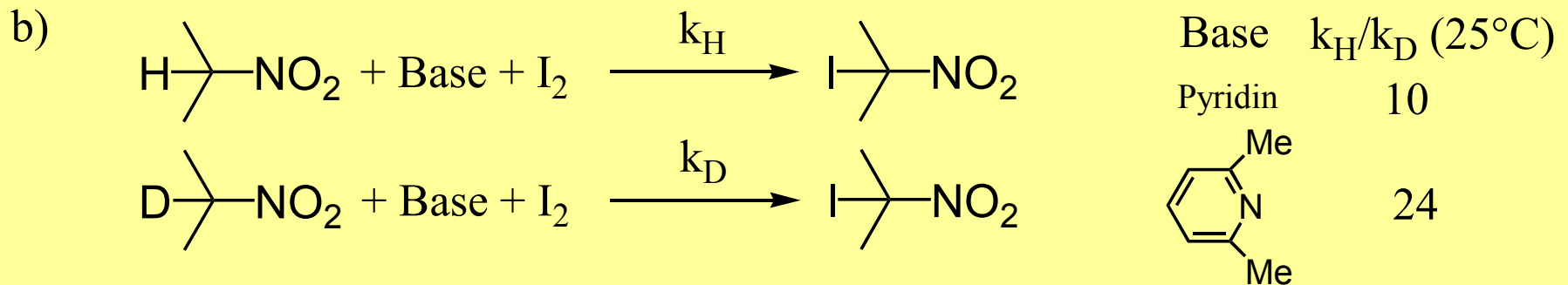
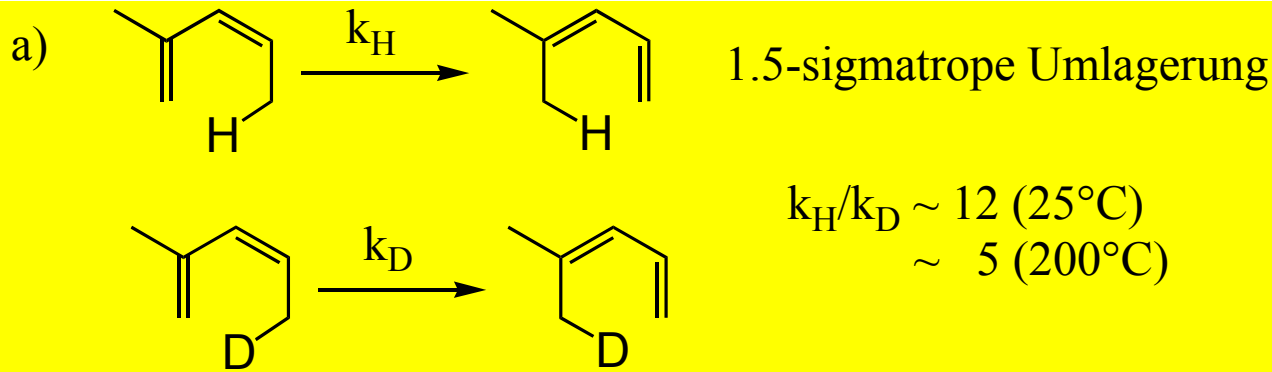
$$E_0^{(\text{C-H})} > E_0^{(\text{C-D})}$$

$$\Delta E_0 = \frac{hc}{2} \left(\underbrace{\tilde{\nu}^{(\text{C-H})}}_{\approx 3000 \text{ cm}^{-1}} - \underbrace{\tilde{\nu}^{(\text{C-D})}}_{\approx 2100 \text{ cm}^{-1}} \right) \approx 4.8 \text{ kJ/mol}$$

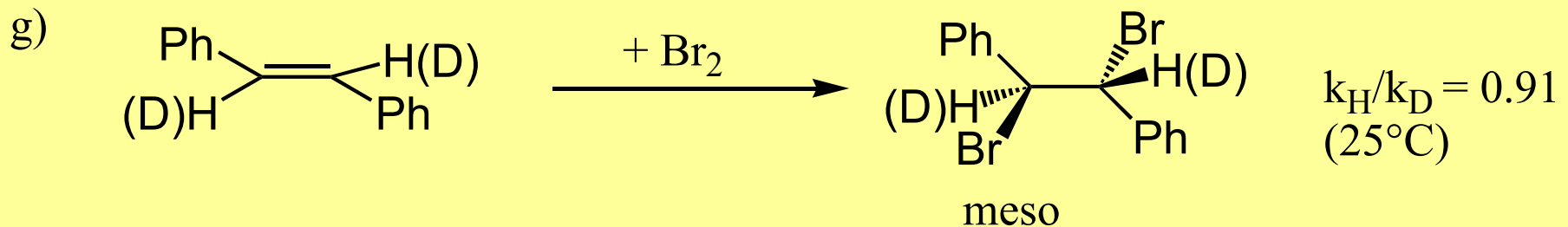
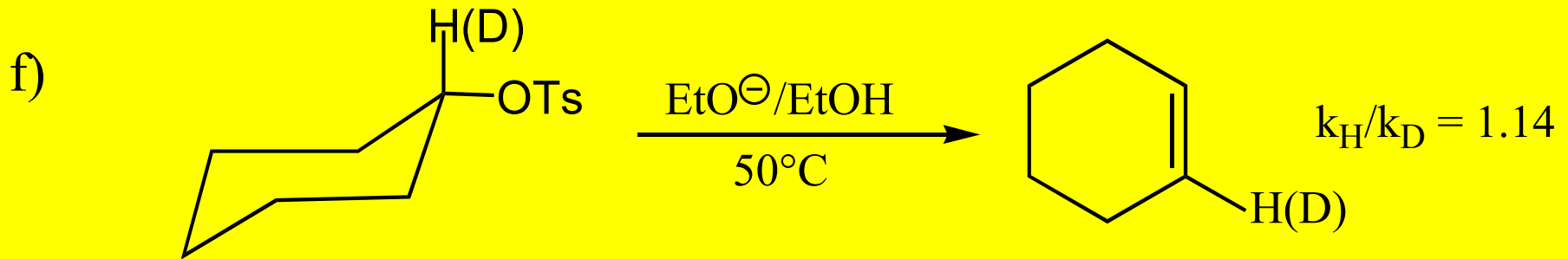
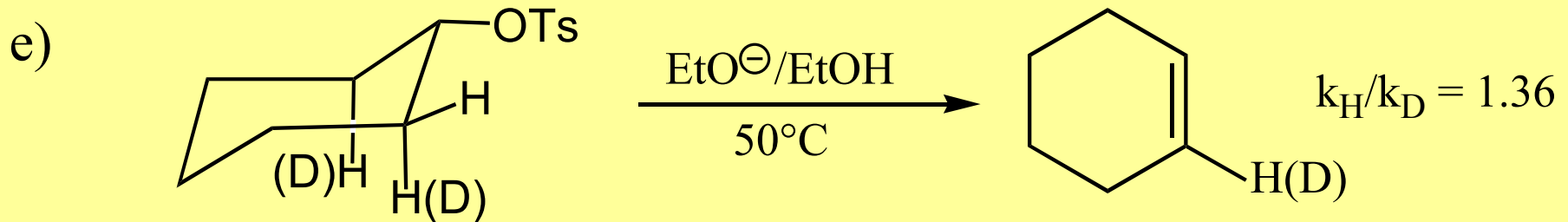
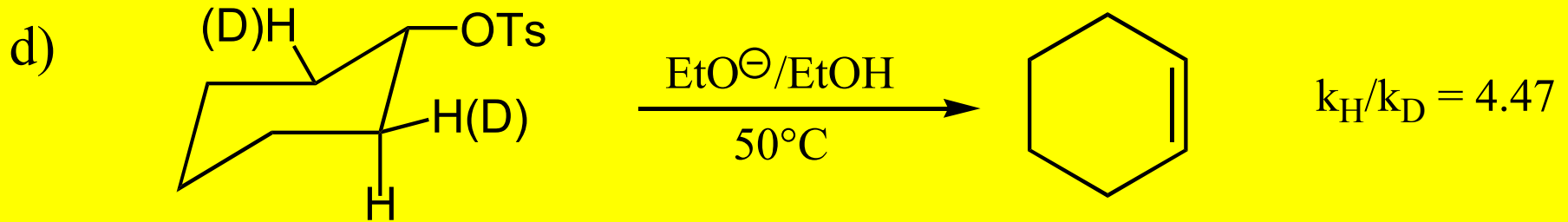
$$\Delta E_0 = E_A^{(\text{C-D})} - E_A^{(\text{C-H})}$$

$$\frac{\tilde{\nu}_H}{\tilde{\nu}_D} \approx 1.35 \quad \frac{k_H}{k_D} \approx 7 \quad (300\text{K})$$

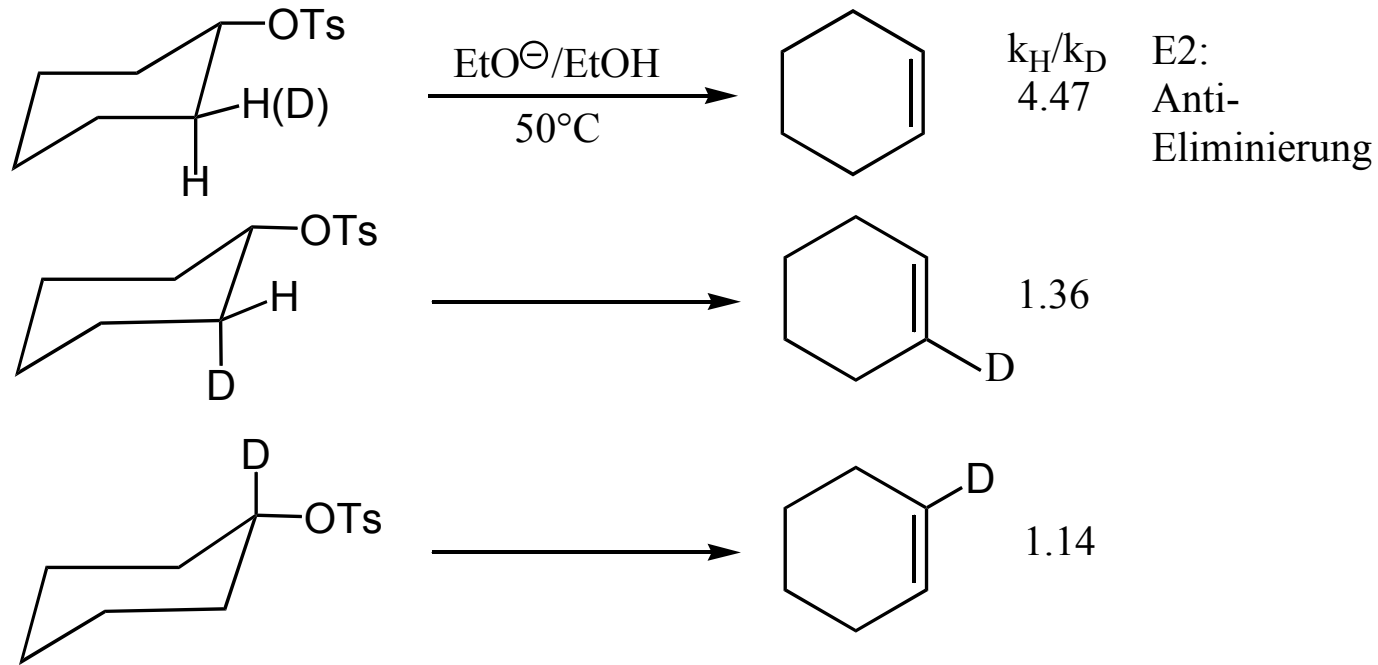
Kinetischer Isotopeneffekt - Beispiele



Kinetischer Isotopeneffekt - Beispiele



Sekundärer kinetischer Isotopeneffekt - Beispiele

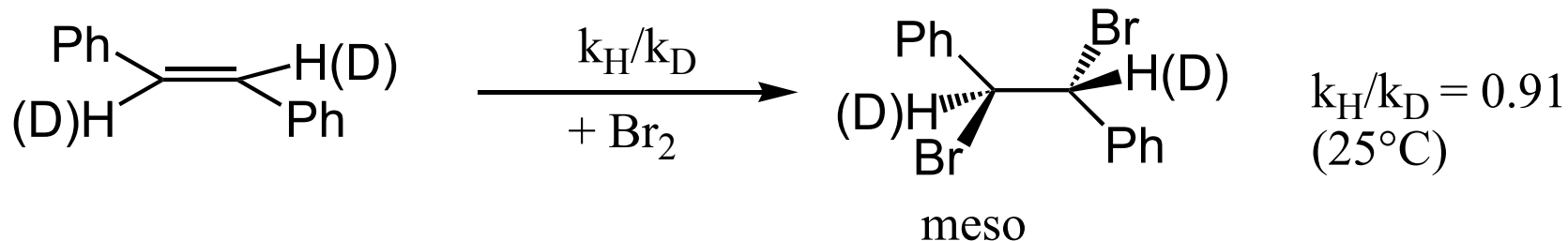


Ursache für sekundären Isotopeneffekt $k_{\text{H}}/k_{\text{D}}$:

Umhybridisierung im TS:



Sekundärer kinetischer Isotopeneffekt - Beispiele



Hyperkonjugation:



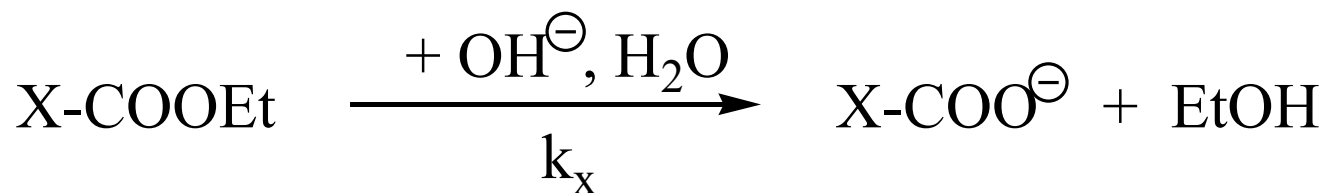
1.4 Substituenteneffekte:

Lineare Freie Enthalpie-Beziehungen

Acidität:



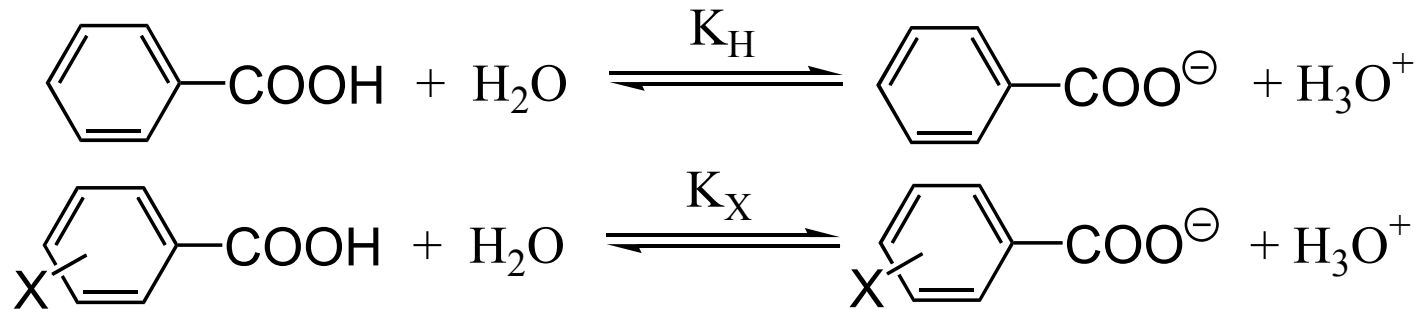
Verseifungsgeschwindigkeit:



- ➡ Man unterscheidet:
- polare
 - sterische
 - stereoelektronische Substituenteneffekte.

Polare Substituenteneffekte

L. P. Hammett (1935):



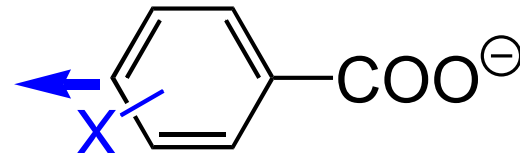
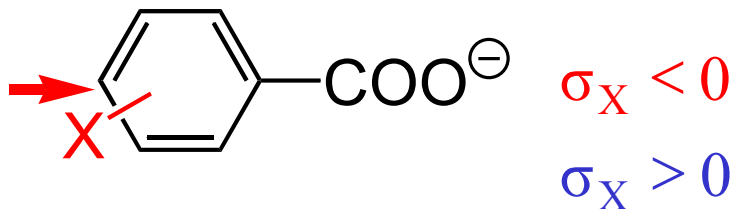
para = Σ induktive-, Feld-, mesomere Effekte

meta = Σ induktive-, Feldeffekte

ortho = Störung durch sterische Effekte

$$\log \frac{K_X}{K_H} \equiv \sigma_X \quad (\text{in H}_2\text{O, 25}^\circ\text{C})$$

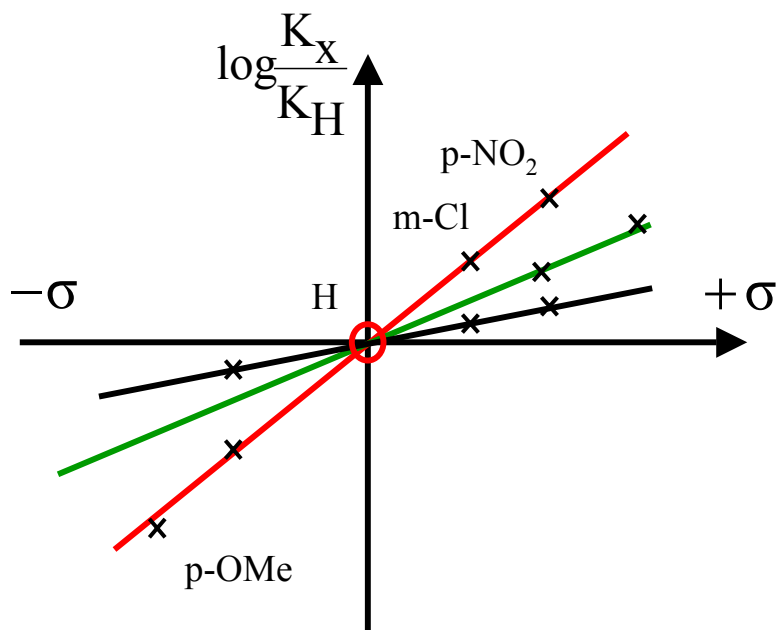
σ_X = Substituentenkonstante
polarer Effekt von X



Substituentenkonstanten

Nr.	Substituent	σ_m	σ_p
1	$\text{N}(\text{CH}_3)_2$	-0,21	-0,83
2	NH_2	-0,16	-0,66
3	OH	0,12	-0,37
4	OCH_3	0,12	-0,27
5	CH_3	-0,07	-0,17
6	$\text{C}(\text{CH}_3)_3$	-0,10	-0,20
7	C_6H_5	0,06	-0,01
8	H	0	0
9	F	0,34	0,06
10	Cl	0,37	0,23
11	Br	0,39	0,23
12	I	0,35	0,18
13	COOC_2H_5	0,37	0,45
14	COCH_3	0,38	0,50
15	CN	0,56	0,66
16	SO_2CH_3	0,60	0,72
17	NO_2	0,71	0,78
18	$\text{N}(\text{CH}_3)_3^+$	0,88	0,82

Hammett - Gleichung



	ρ 1
	0.5
	0.21
	0.47

$$\log \frac{K_x}{K_H} = \rho \cdot \sigma_x$$

$$= - \frac{(\Delta\Delta G_x^0 - \Delta\Delta G_H^0)}{2.3 RT}$$

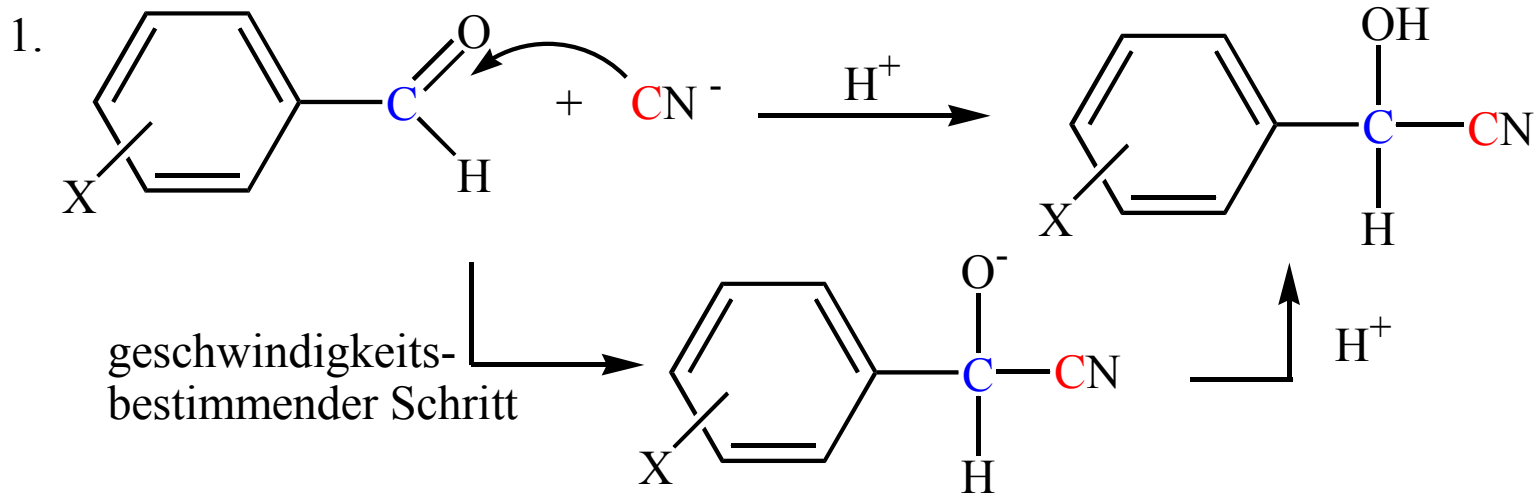
Hammett – Gleichung

"lineare freie Enthalpiebeziehung"

$$\log \frac{k_x}{k_H} = \rho \cdot \sigma_x$$

ρ Reaktionskonstante
für $\rho > 1$: Substituenten beeinflussen die Reaktion stärker als die Dissoziation von Benzoesäure.

Beispiel: Nucleophile Addition

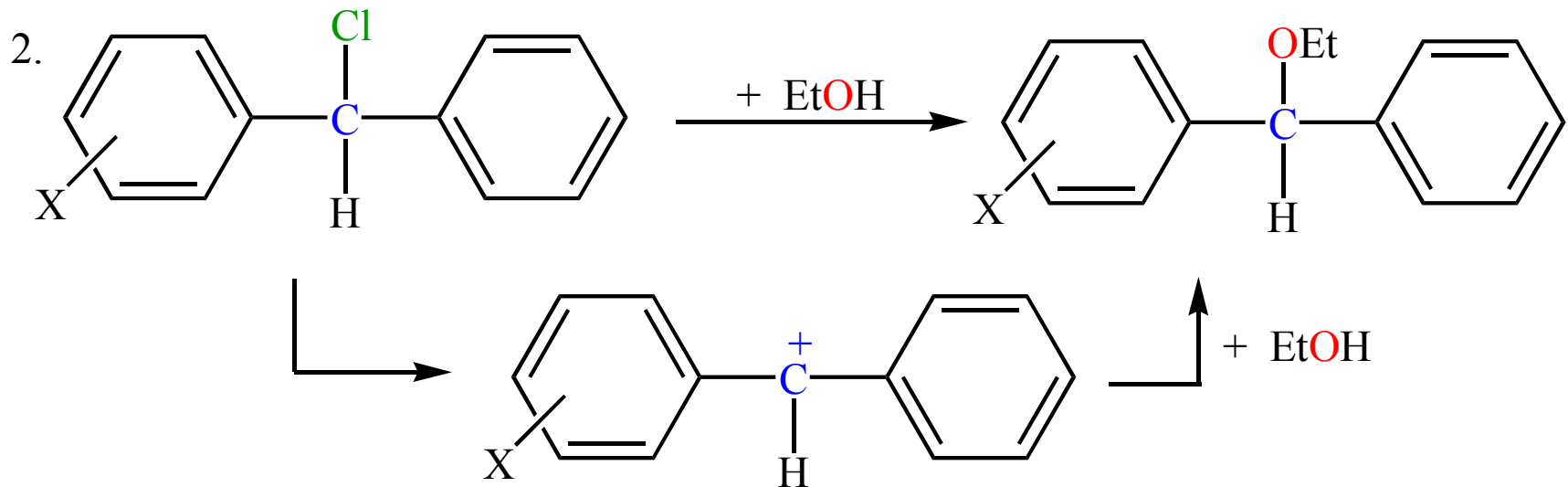


$$\rho = 2.3 \quad (20^\circ\text{C})$$

$\rho > 0$ -M, -I-Substituenten beschleunigen Reaktionen, bei der eine Erhöhung der Elektronendichte am Reaktionszentrum erfolgt.

- nucleophiler Angriff
- Ausbildung einer negativen Ladung

Beispiel: Nucleophile Substitution (S_N1)



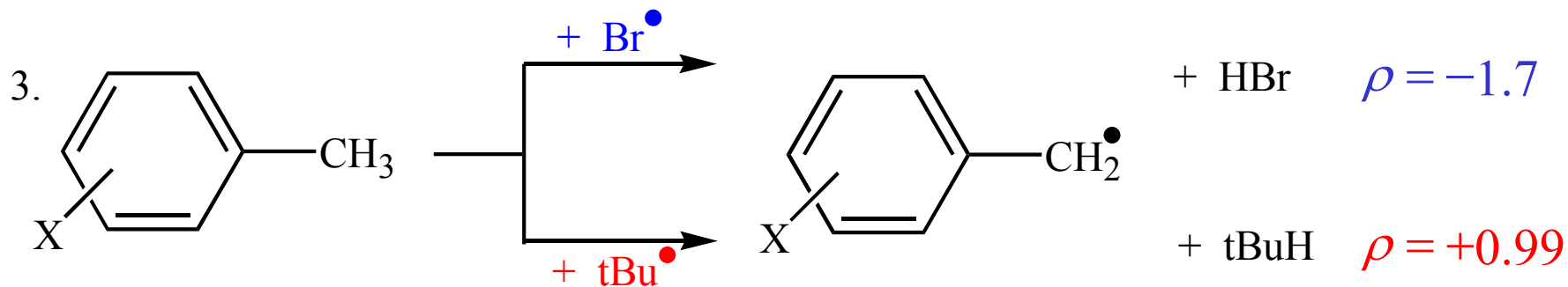
$$\rho = -5.1$$

$\rho < 0$ +M, +I-Substituenten beschleunigen Reaktionen, bei der eine Erniedrigung der Elektronendichte am Reaktionszentrum erfolgt.

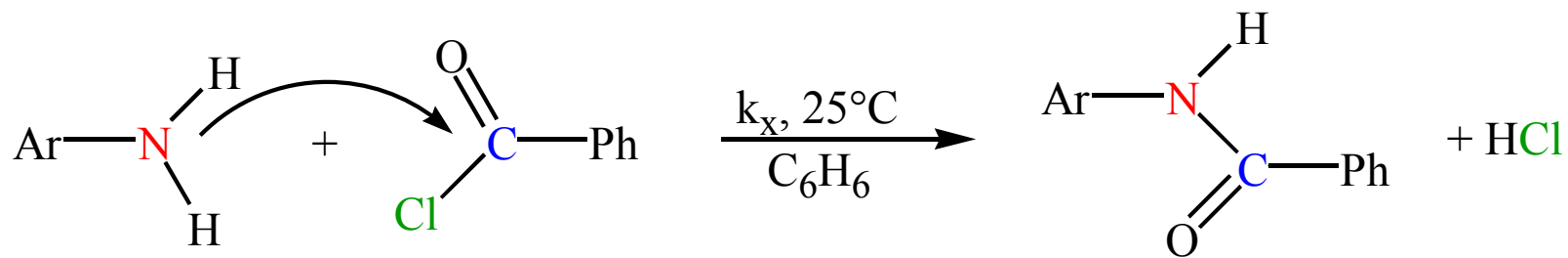
- elektrophiler Angriff

- Ausbildung einer positiven Ladung

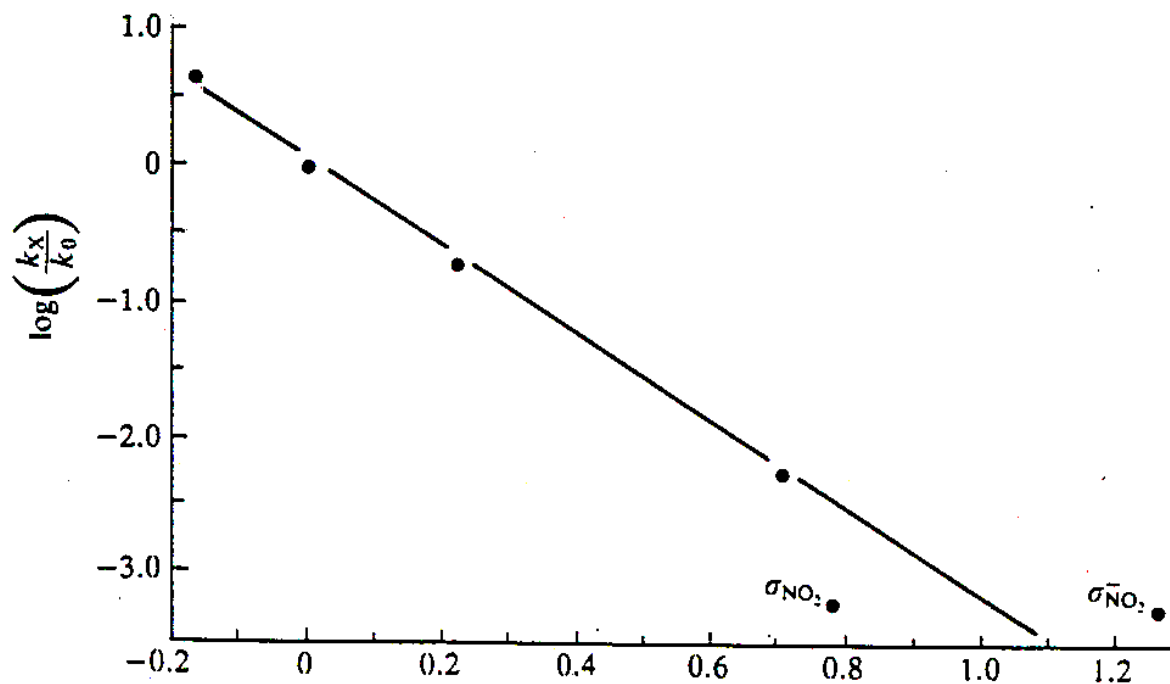
Beispiel: Radikalische Substitution



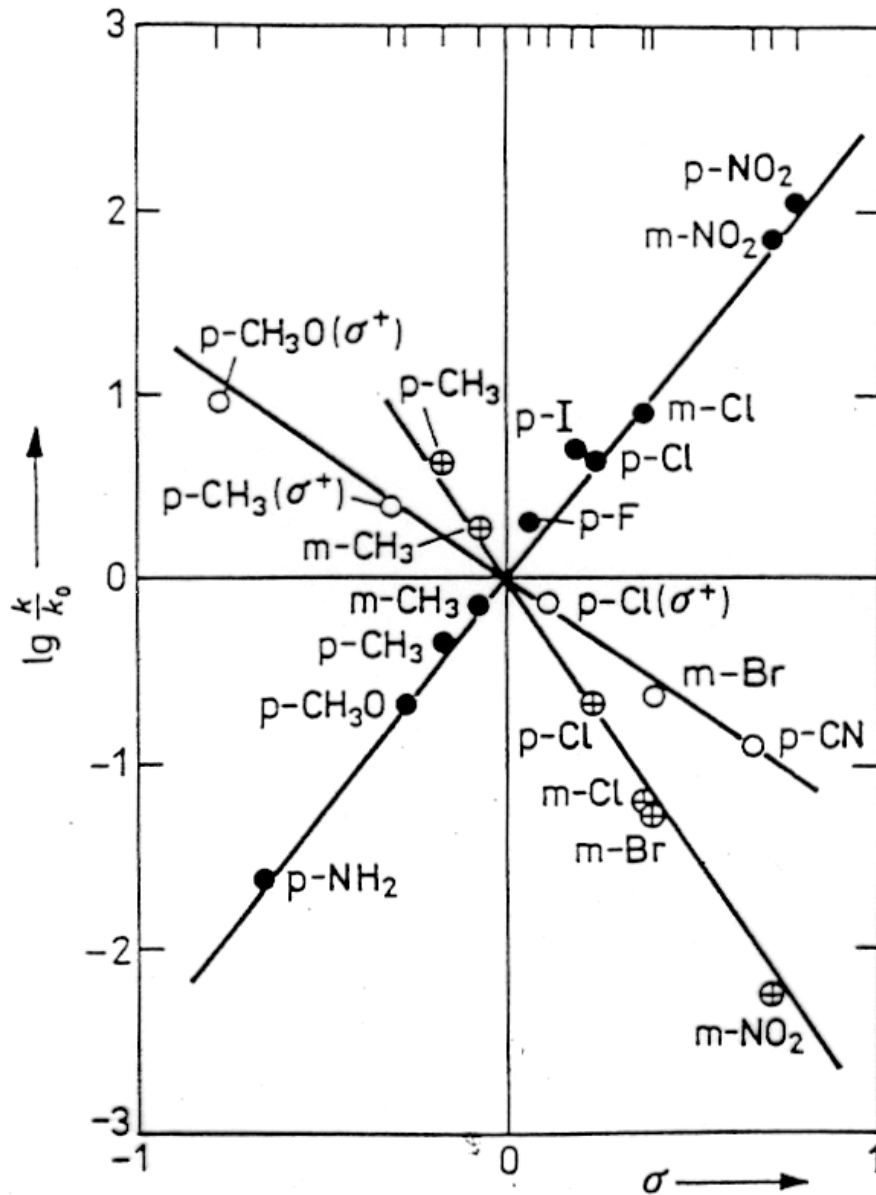
Hammett-Korrelation: Elektrophiler Angriff



$$\rho = -3.21$$



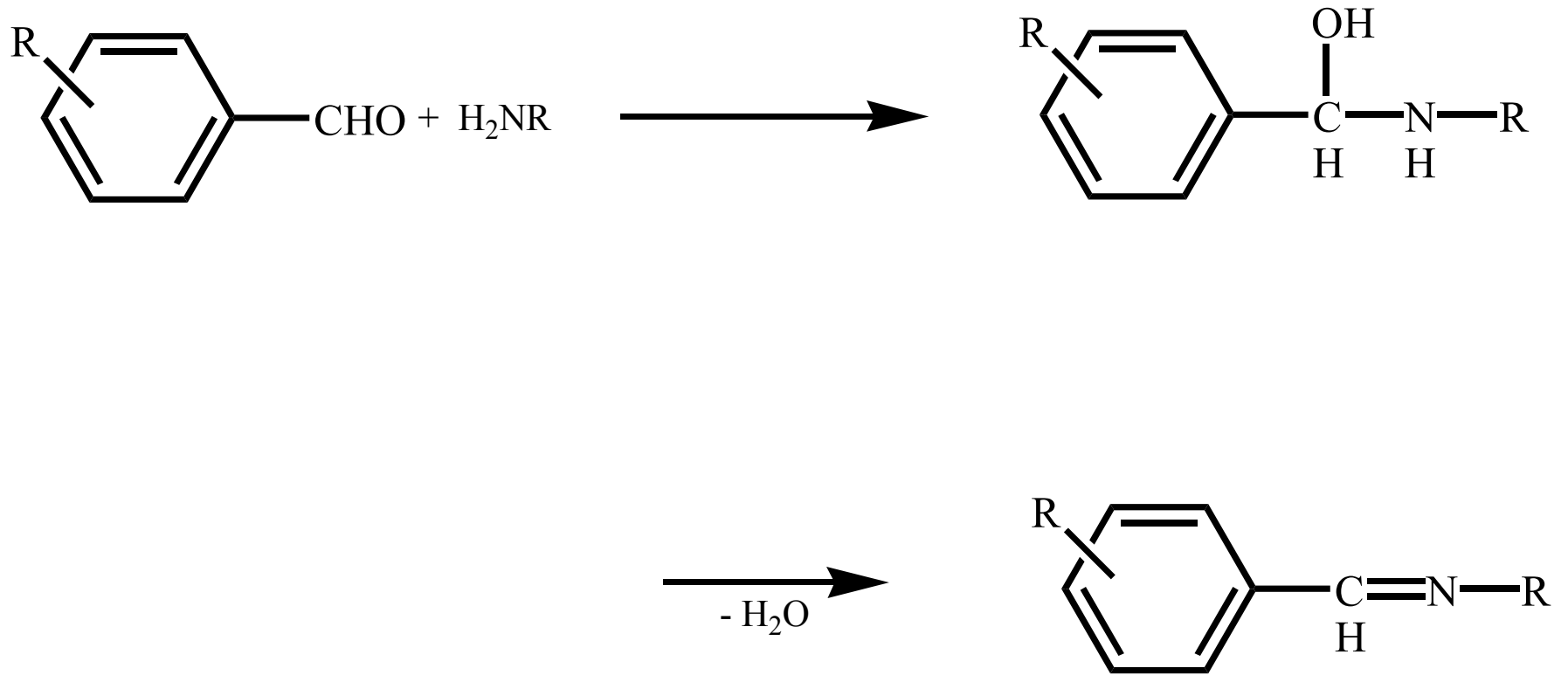
Abhängigkeit der Reaktionsgeschwindigkeit von σ



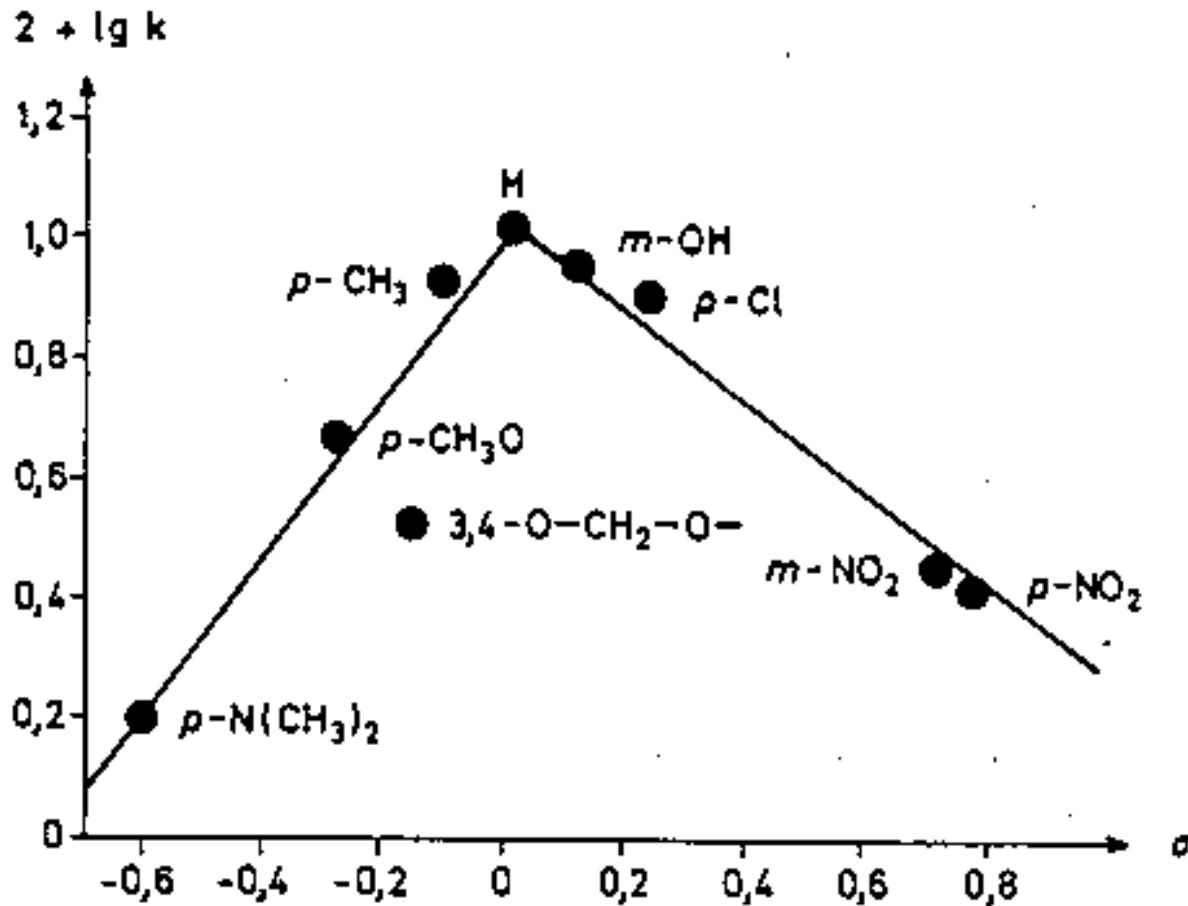
Abhängigkeit der Reaktionsgeschwindigkeiten von den Hammettschen σ -Werten

- Alkalische Hydrolyse von Benzoesäureethylestem; 25°C, $\rho = +2,54$
- ⊕—⊕ Reaktion von substituierten Anilinen mit Benzoylchlorid; 25°C, $\rho = -2,78$
- Bromierung von substituierten Toluenen; 80°C, $\rho = -1,39$ (mit σ^+ -Werten, s. unten)

Bildung Schiff'scher Basen

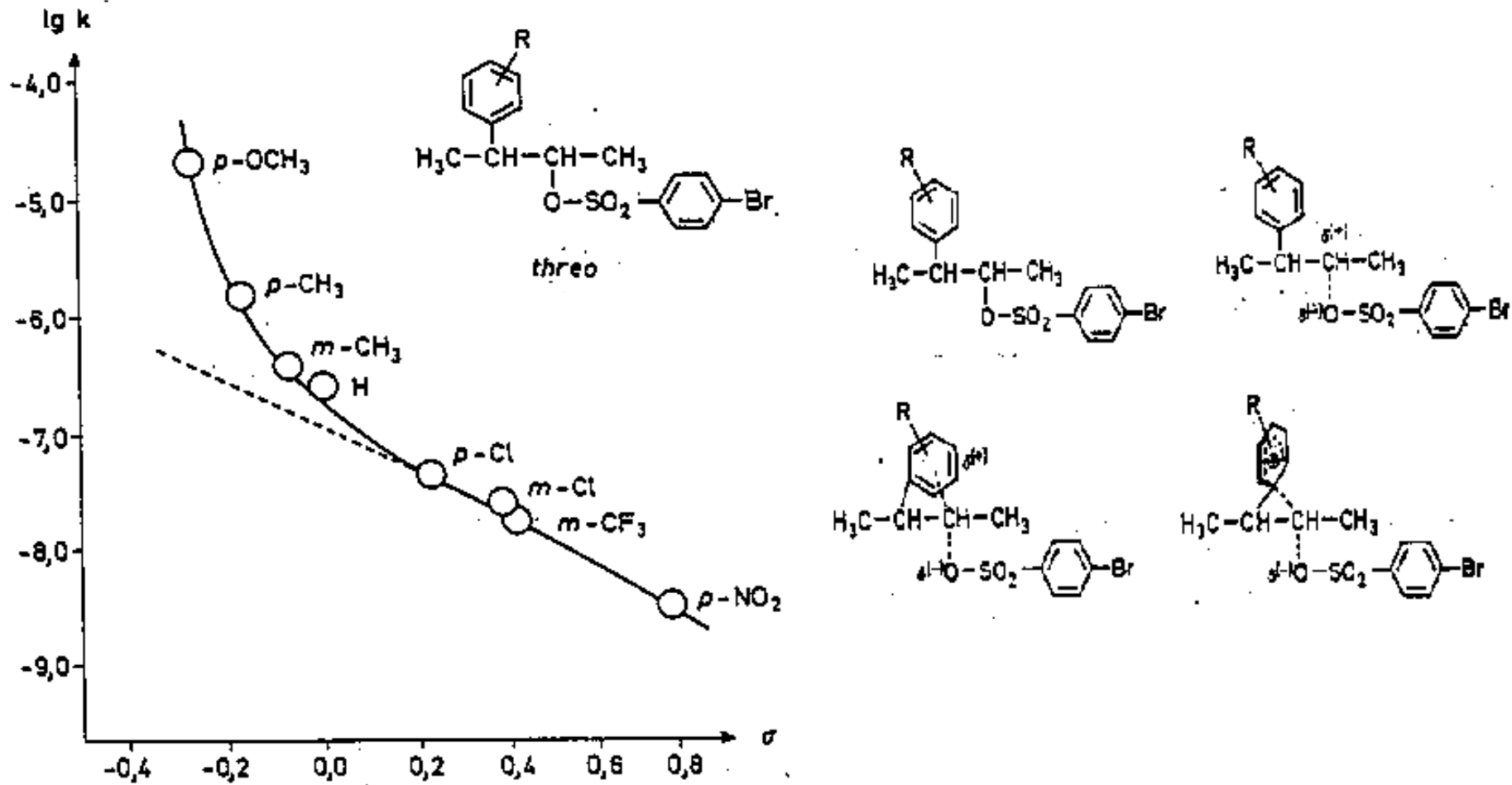


Hammett-Korrelation: Schiff'sche Basen



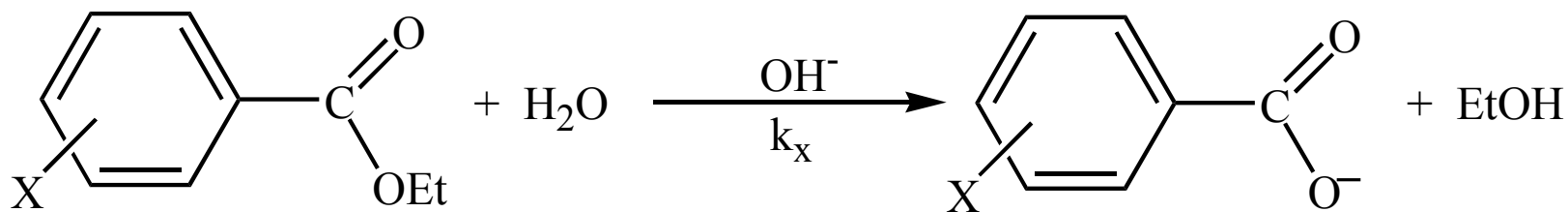
Hammett-Diagramm für die Bildung Schiff'scher Basen aus substituierten Benzaldehyden (J.Chem.Educ. 48, 104 (1971))

Hammett-Korrelation: Acetolyse



Acetolysegeschwindigkeit substituierter *threo*-3-Aryl-2-butyl-4'-brombenzolsulfonate in Abhängigkeit von σ [J. Amer. Chem. Soc. 91, 4290 (1969)]

Hammett-Korrelation: Basenkatalysierte Verseifung



$$\rho = 2.23$$

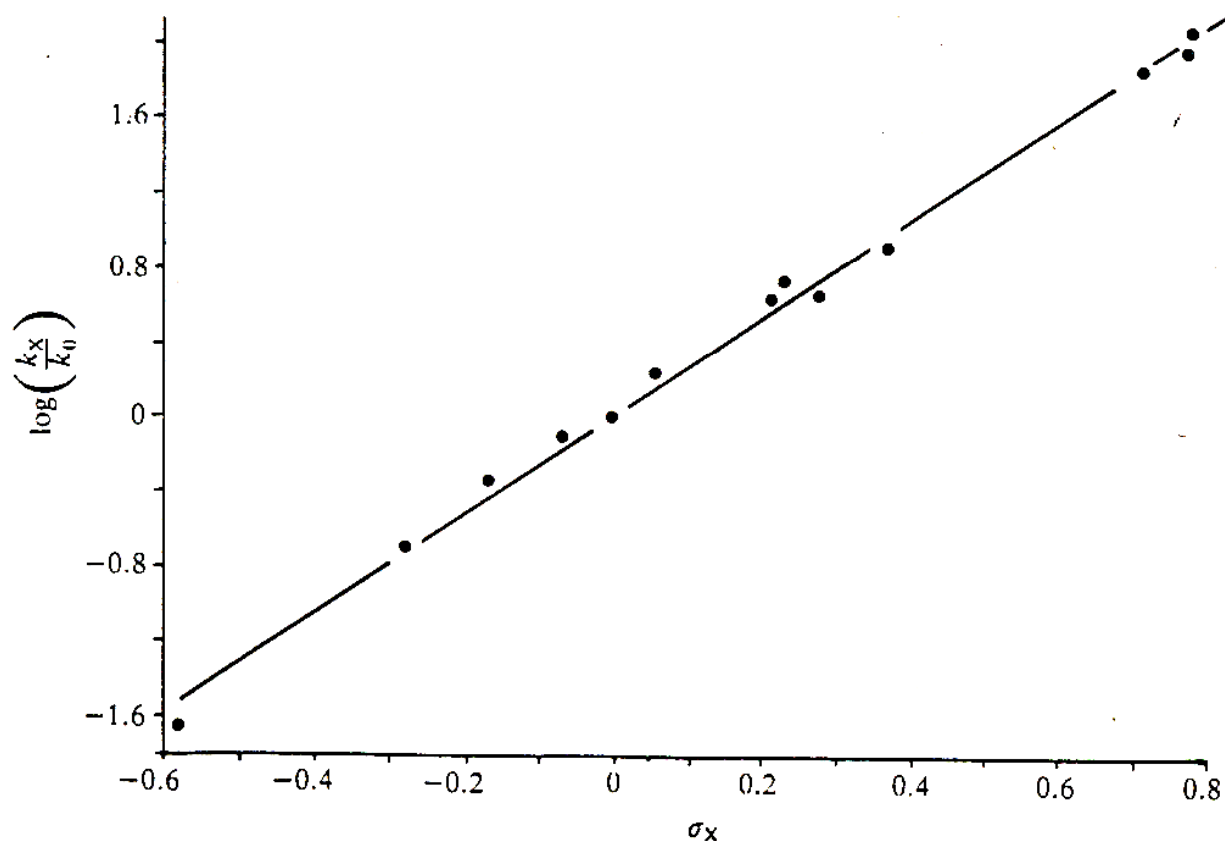
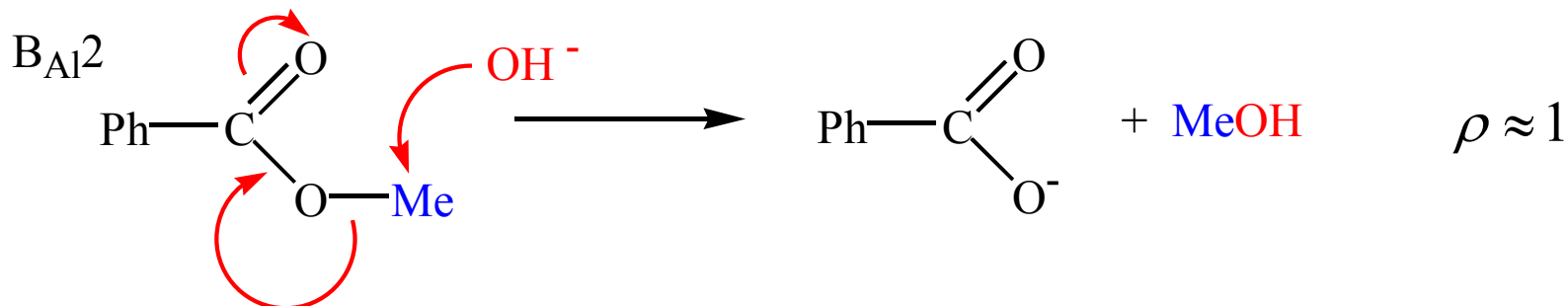
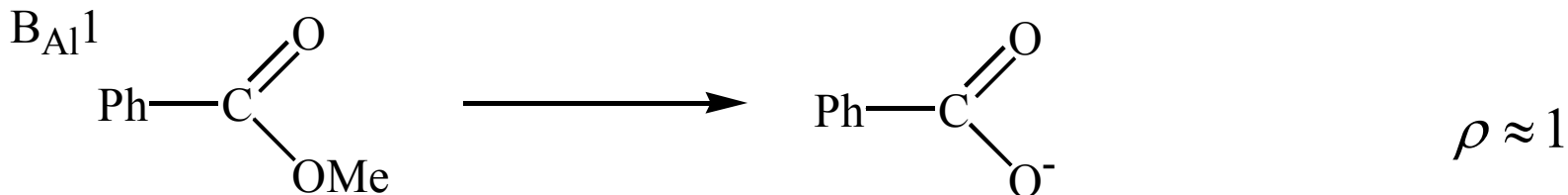
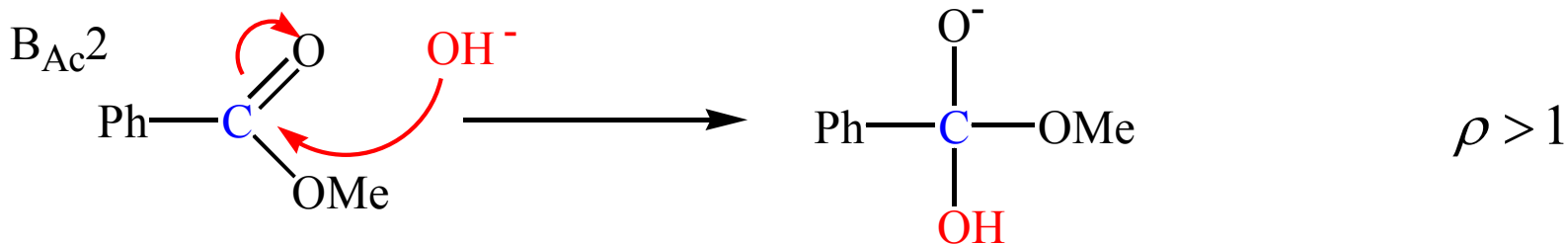
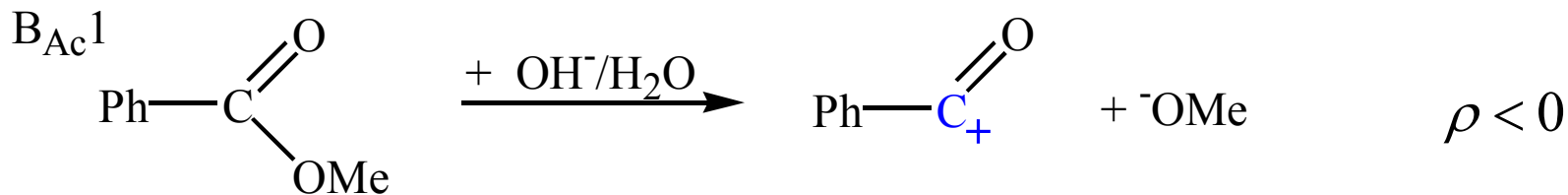


Fig. 10.17. Hammett plot for second-order rate constants of the base-induced hydrolysis of ethyl benzoates, 85 per cent aqueous ethanol, 25 °C.²¹

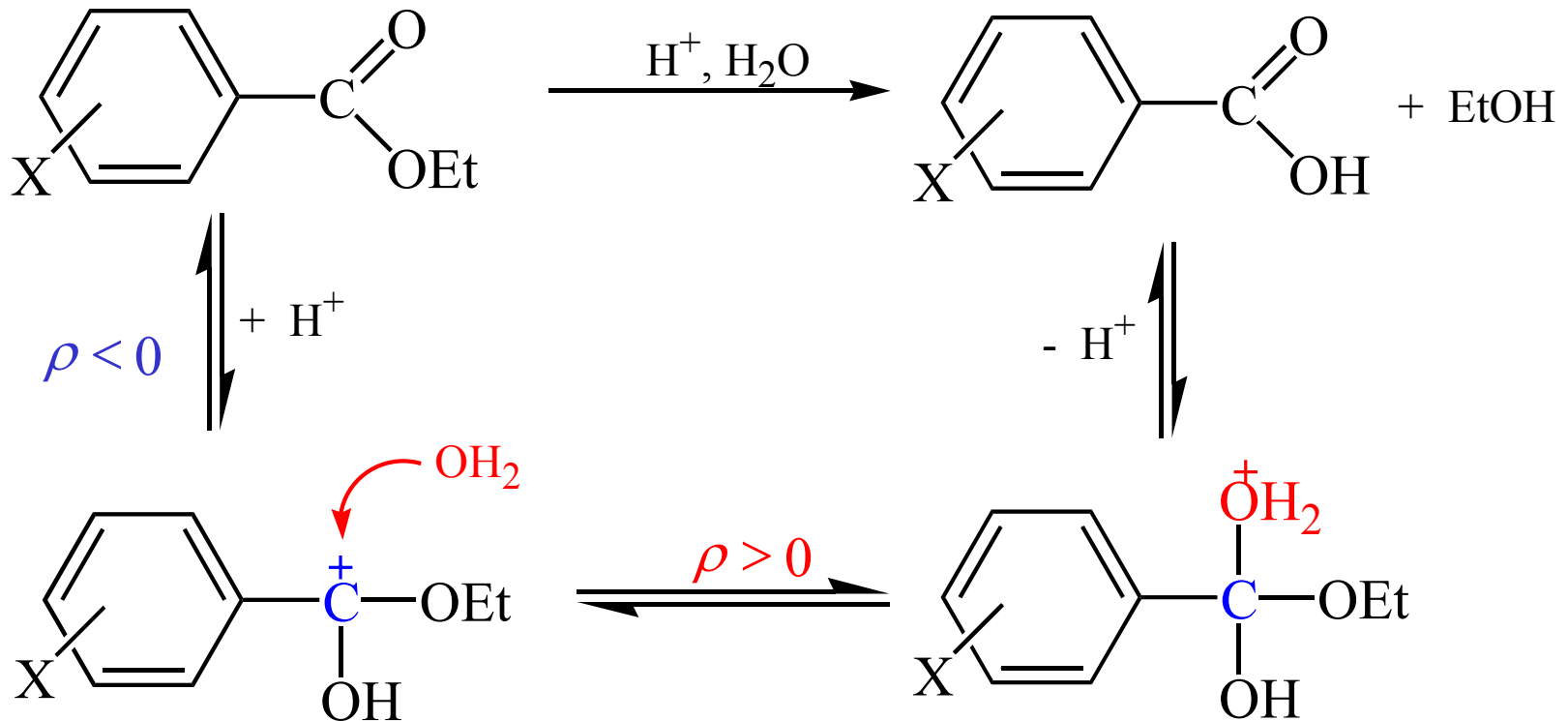
Mechanistische Möglichkeiten der alkalischen Esterhydrolyse



Saure Esterhydrolyse

$\rho = 0.106$

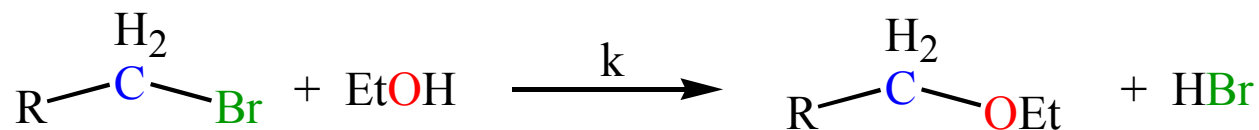
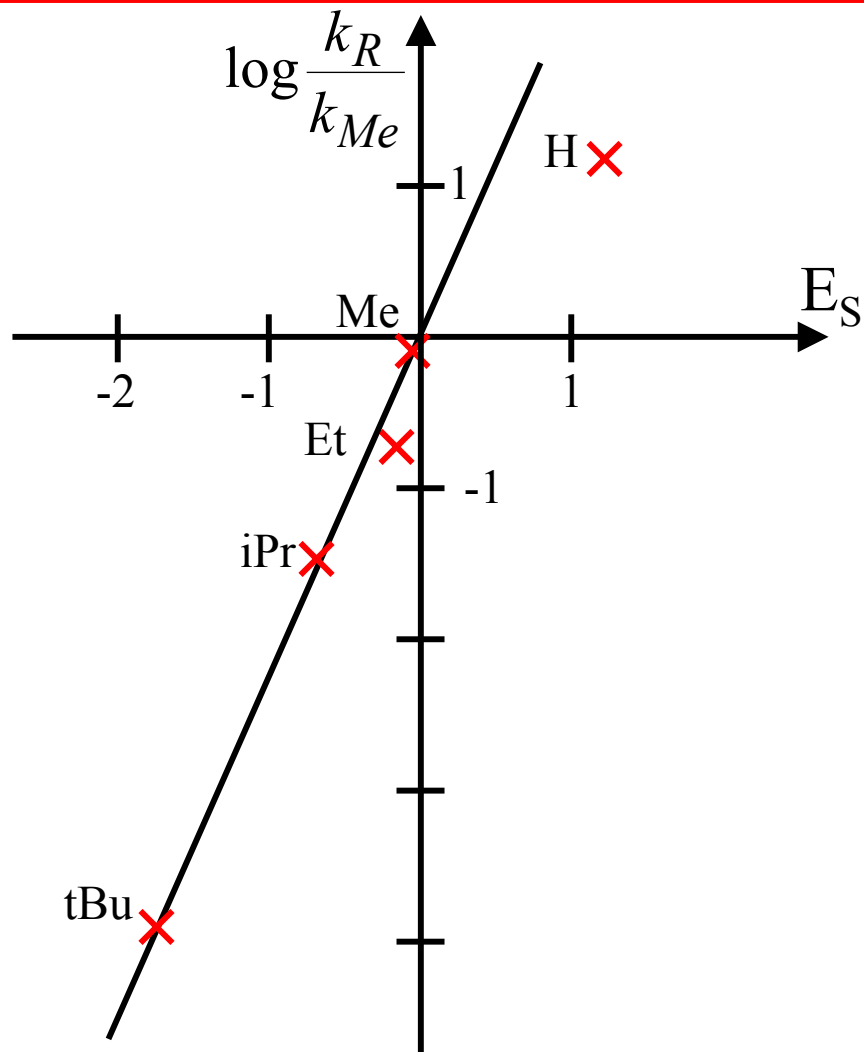
A_{Ac}2-Mechanismus



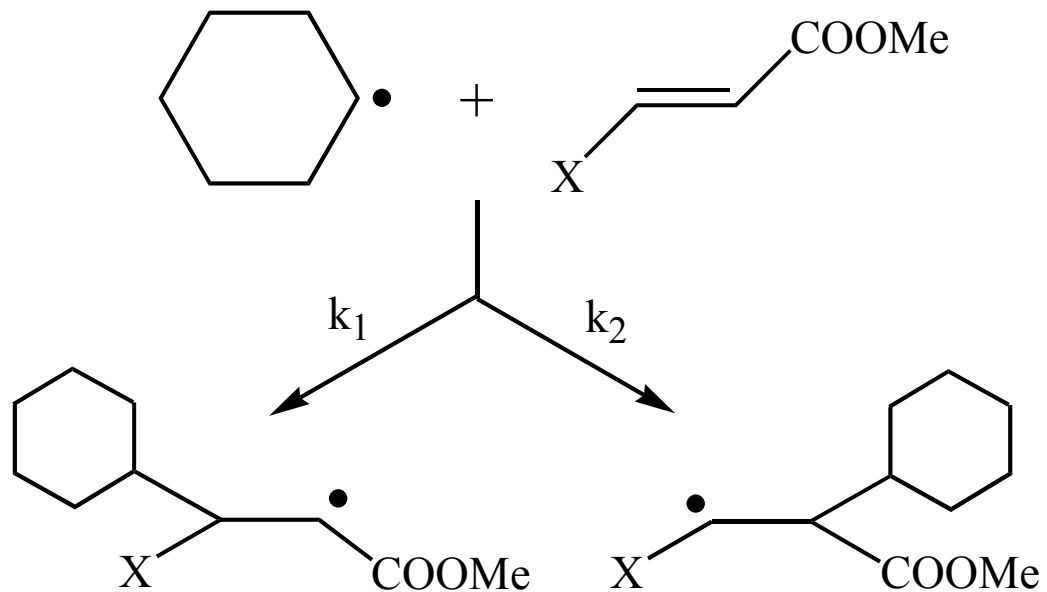
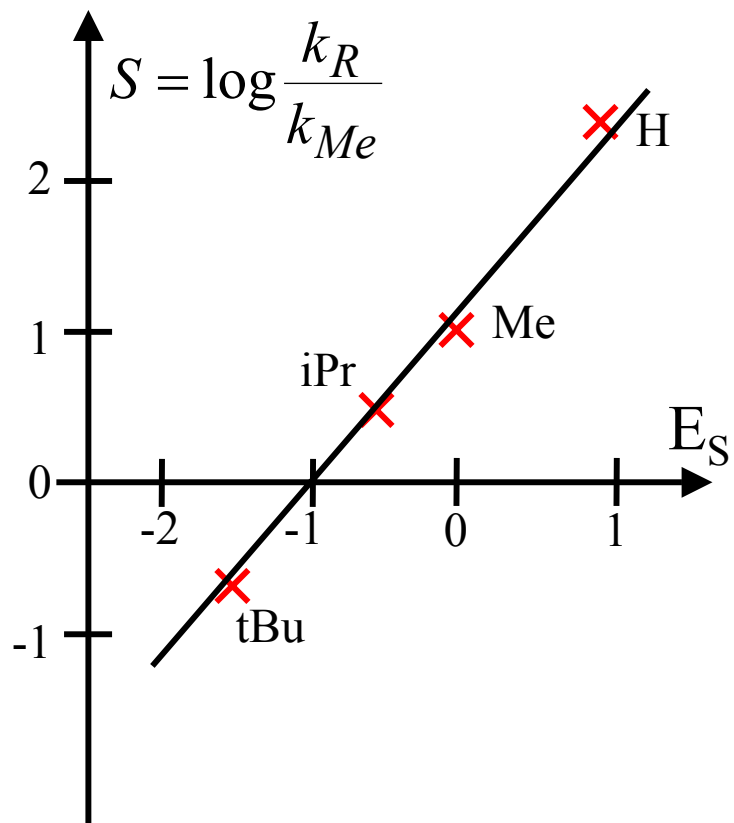
Sterische Substituenteneffekte nach R.W.Taft (1952)

R in RCOOH	E _S
H	+1,24
Me	0
Et	-0,07
ClCH ₂	-0,24
ICH ₂	-0,37
PhCH ₂	-0,38
Me(CH ₂) ₃	-0,39
Me ₂ CHCH ₂	-1,13
Me ₃ C	-1,54
Me ₃ CCH ₂	-1,74
Ph ₂ CH	-1,76
Et ₃ C	-3,81

Korrelation der rel. Reaktionsgeschwindigkeit mit E_S

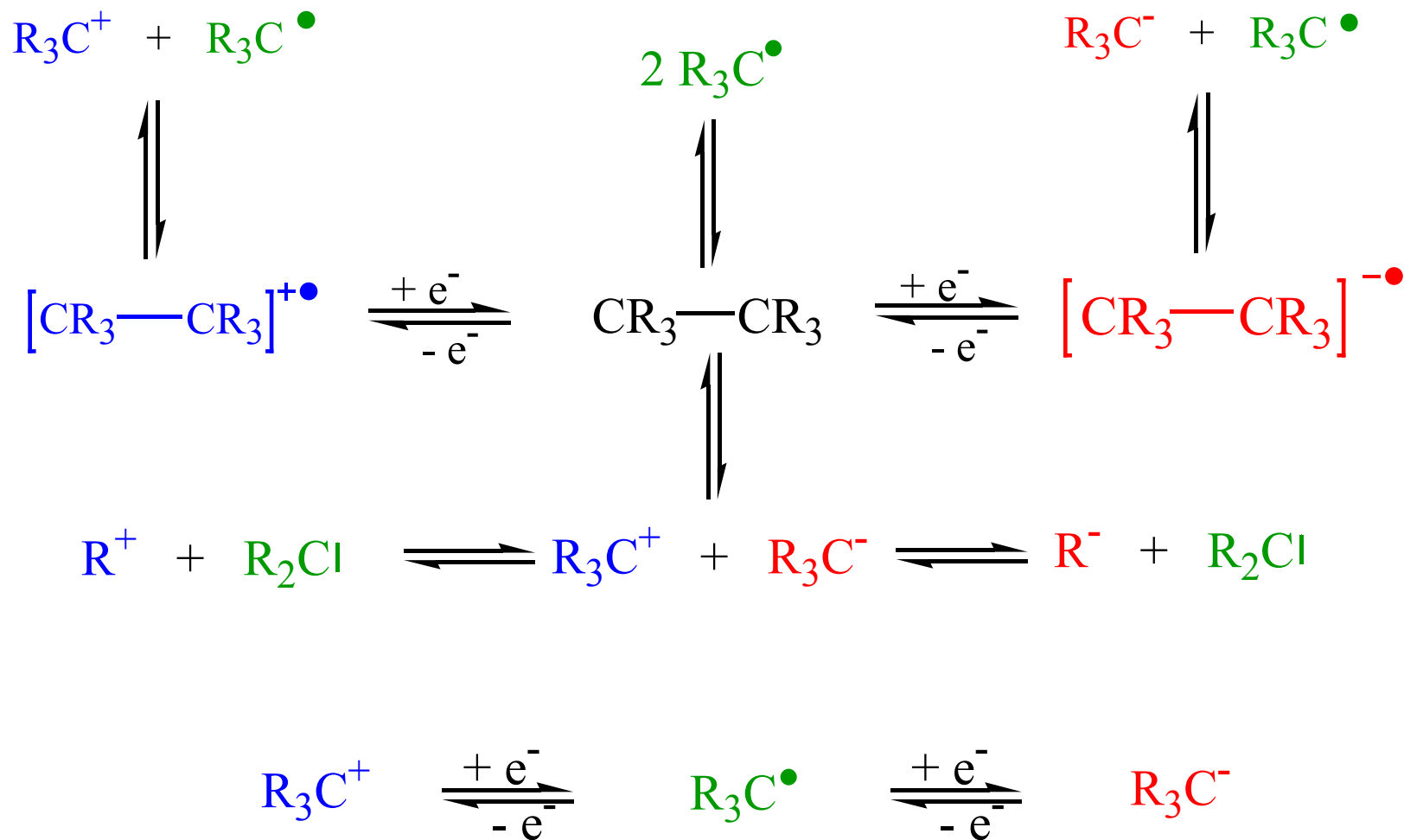


Regioselektivität S und E_S



2. Reaktive Zwischenstufen

Reaktive Zwischenstufen



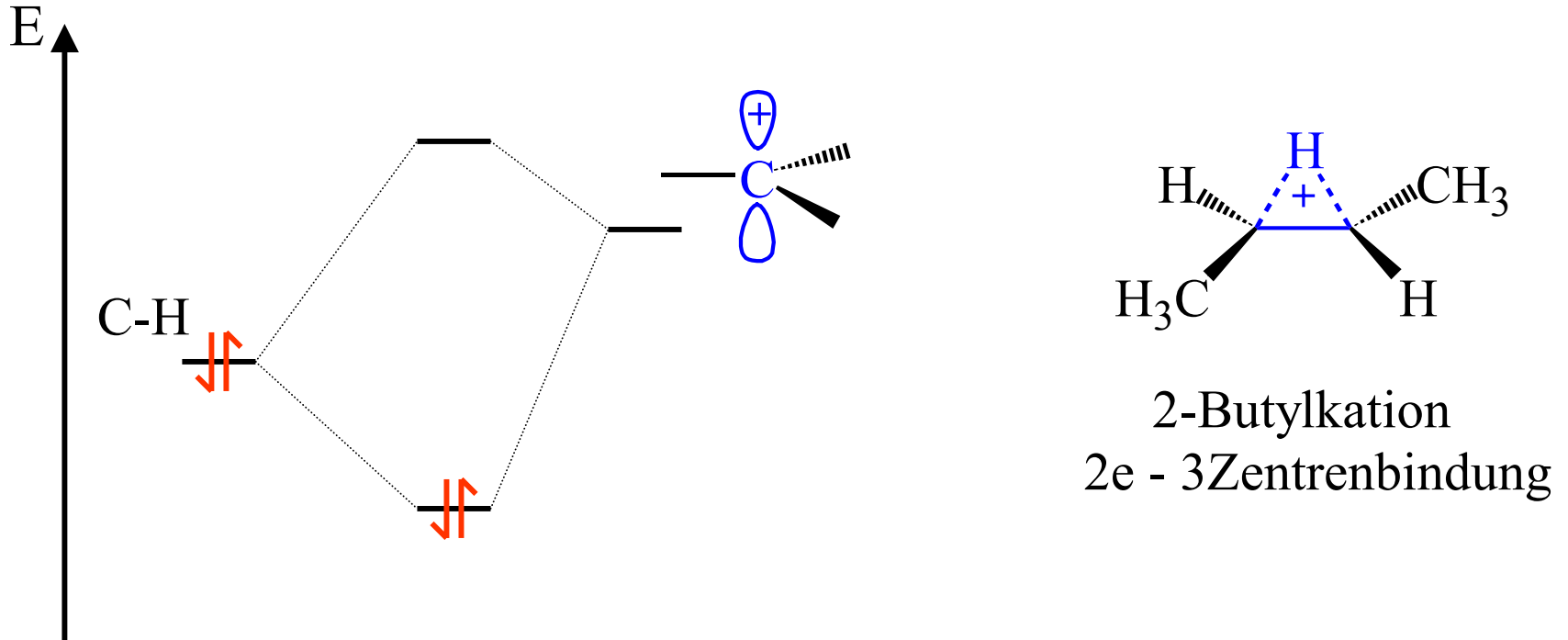
2.1 Carbokationen



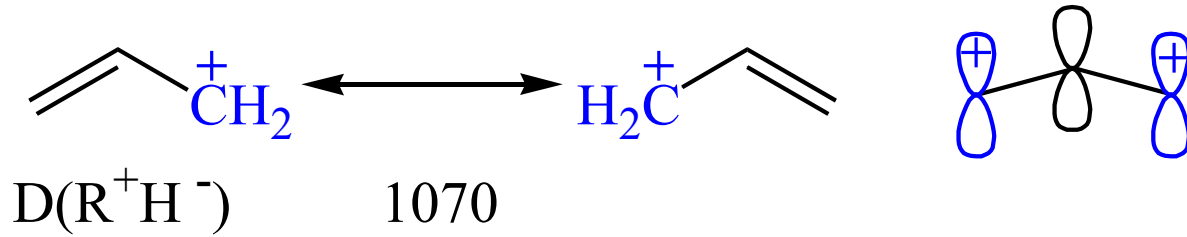
R		$D(\text{R}^+ \text{H}^-)$ [kJ/mol]
Me		1316
Et		1158
iPr		1043
tBu		970
Me_3C^+	SbF_6^-	stabil $< -20^\circ\text{C}$

Stabilisierung durch Hyperkonjugation

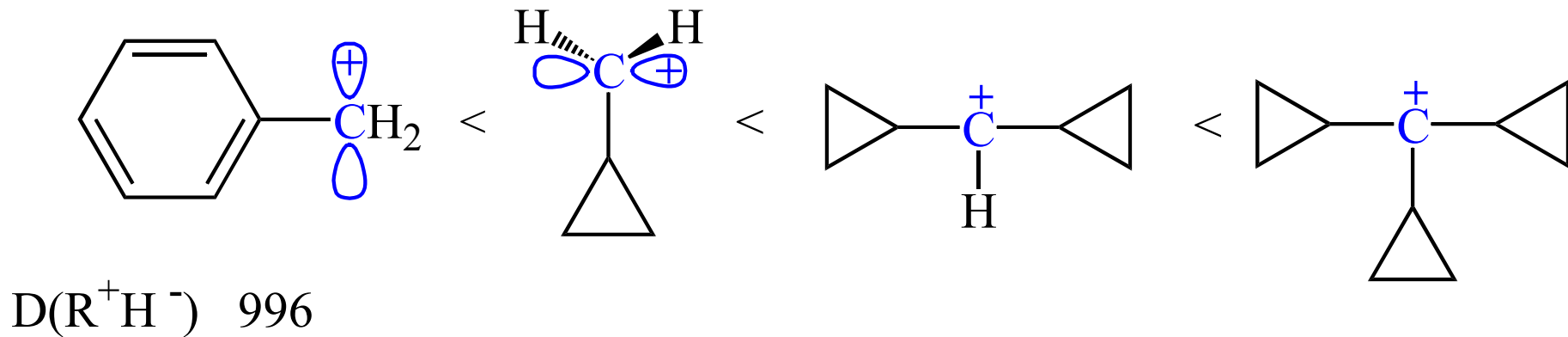
Hyperkonjugation: auch induktiver Effekt, Feldeffekt



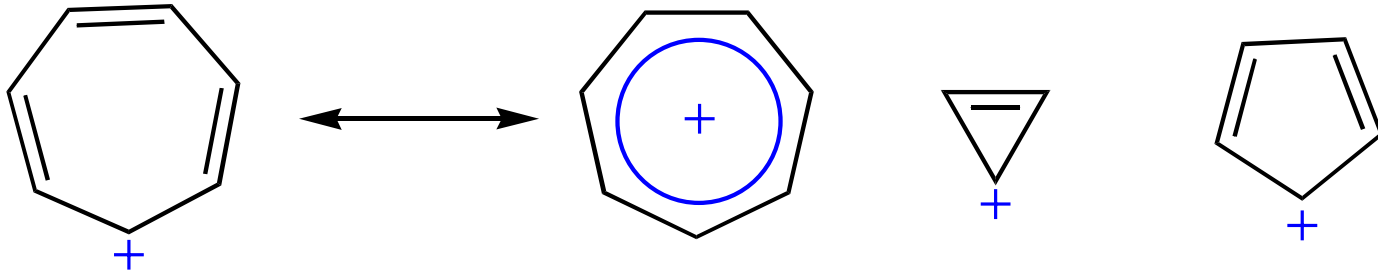
Stabilisierung durch Konjugation



Stabilität:



Stabilisierung durch Konjugation

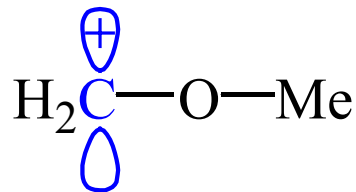


D(R⁺H⁻)

840

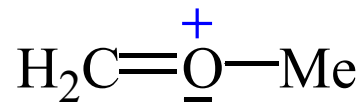
940

1154
destabilisiert

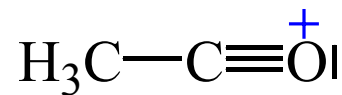
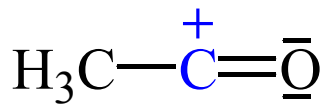


D(R⁺H⁻)

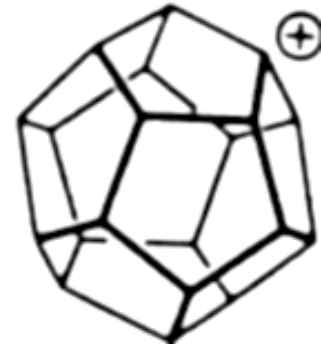
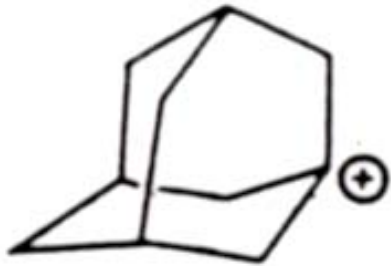
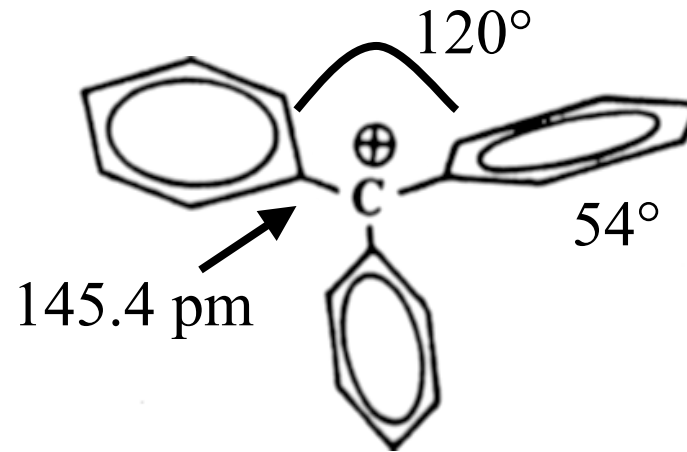
1010



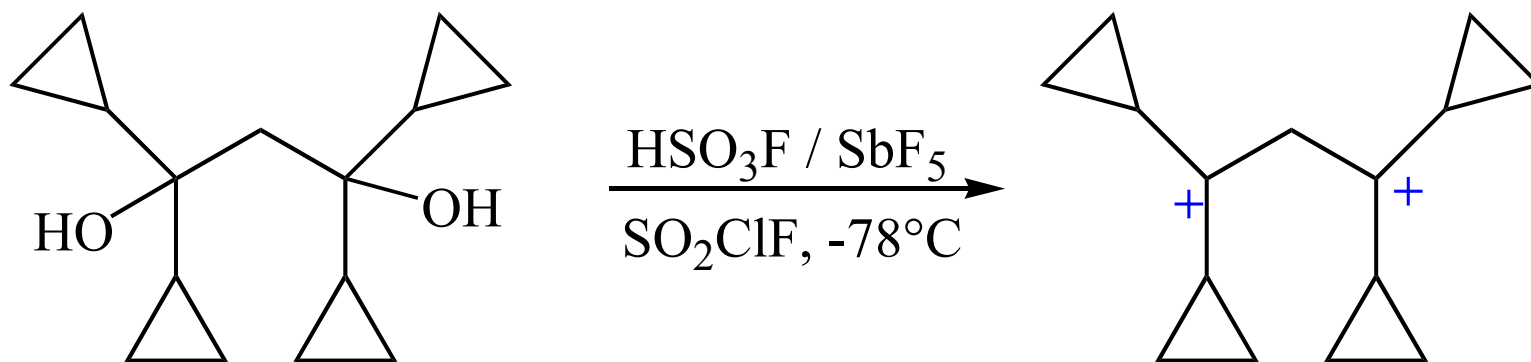
-NR₂, -Cl



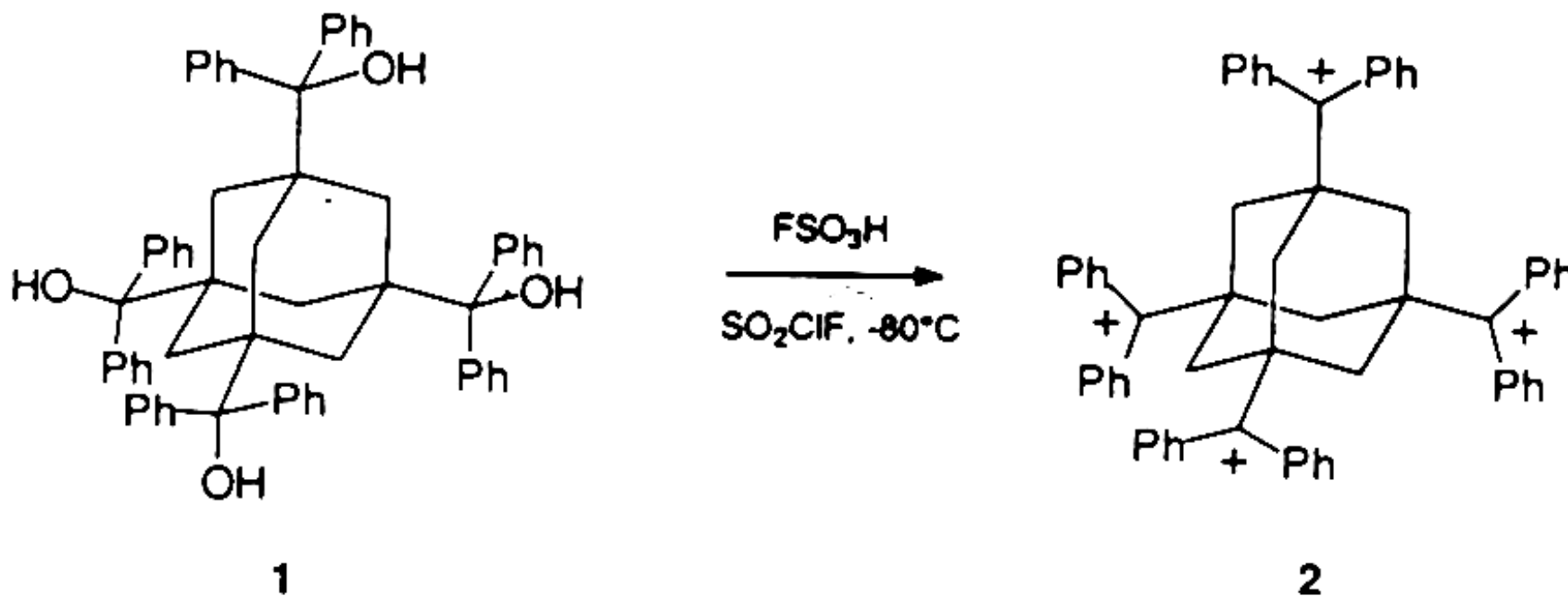
Triphenylmethyl- und polycyclische Kationen



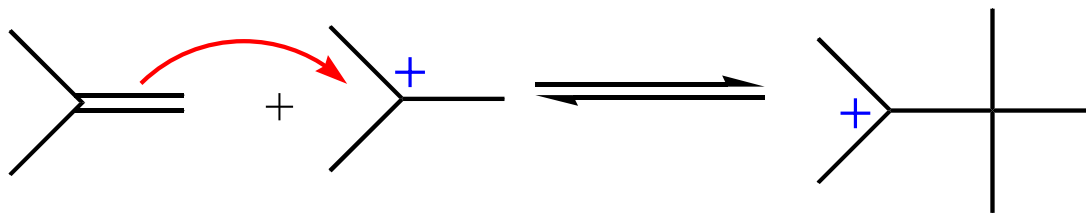
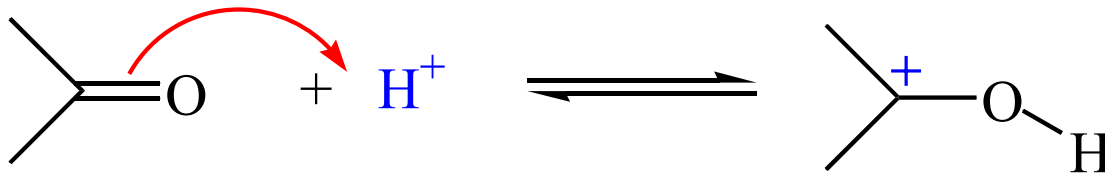
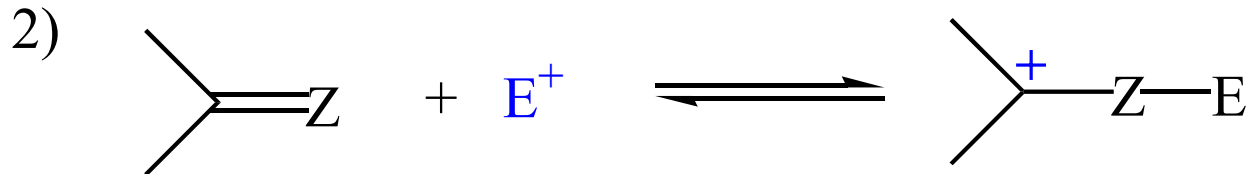
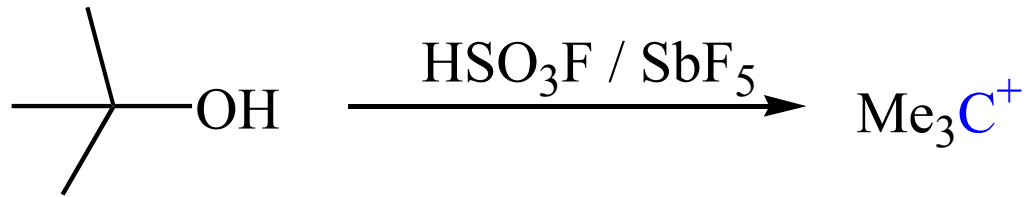
Di- und Tetracarbokationen



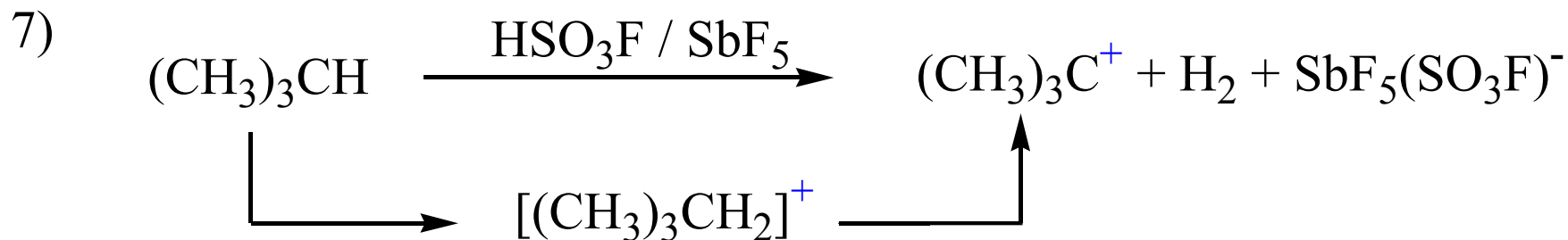
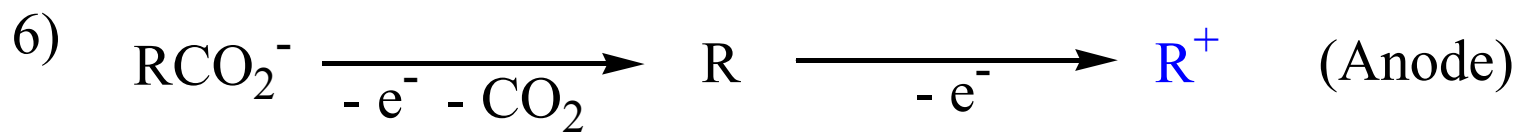
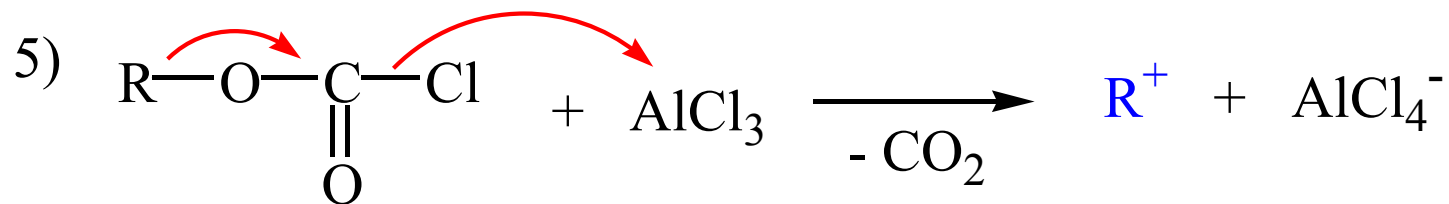
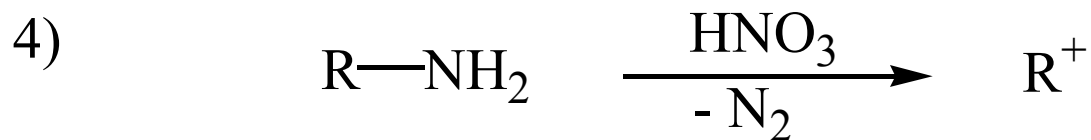
S.A. Olah et al., *J. Am. Chem. Soc.* **1999**, *121*, 9994-9998



Darstellung und Reaktionen



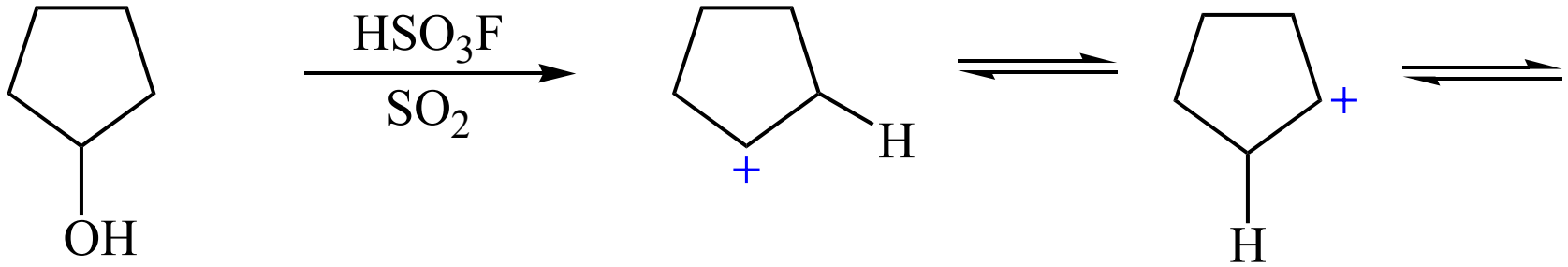
Darstellung und Reaktionen



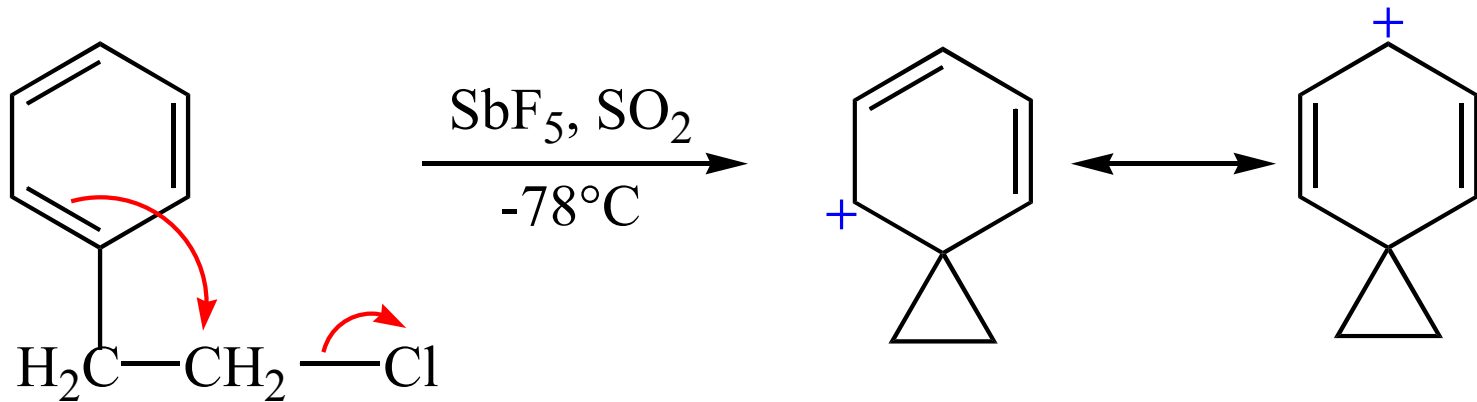
stabile Lösungen von tBu^+ in „magischer Säure“;

$\text{SbF}_5(\text{SO}_3\text{F})^-$ in SO_2 (fl): sehr schwaches Nucleophil. (NMR bis -150°C)

Umlagerungen



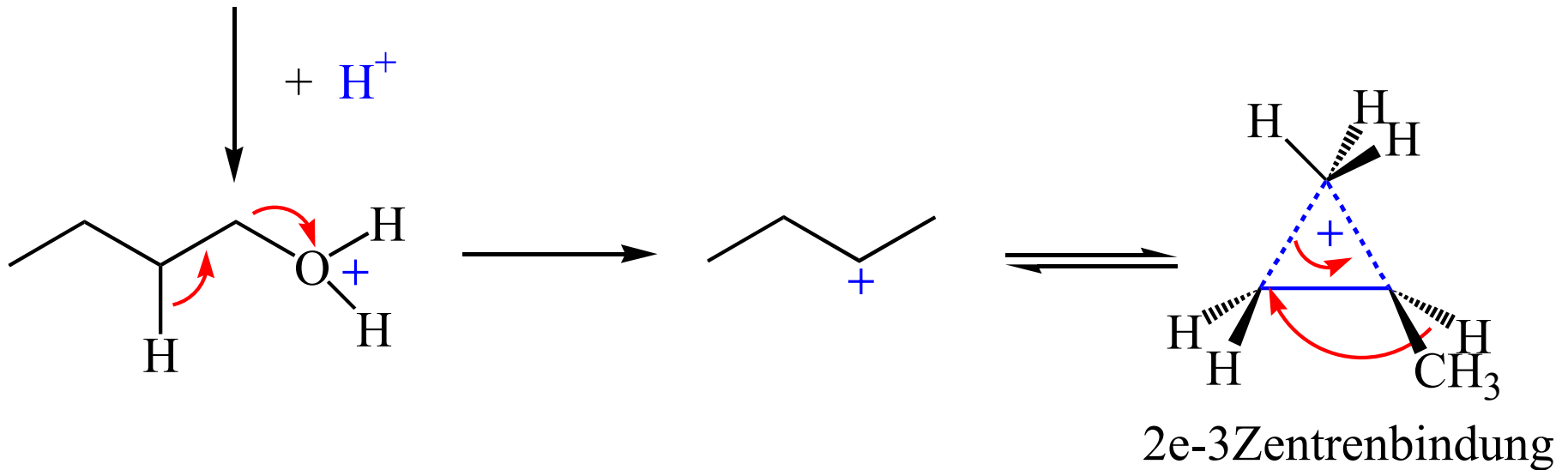
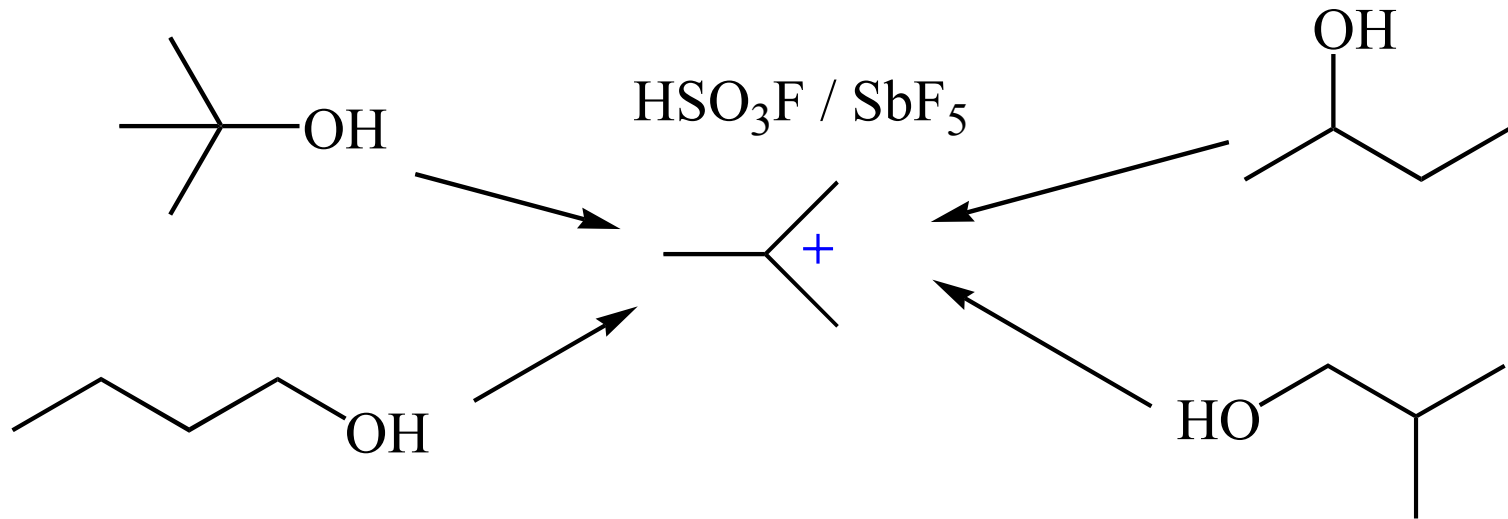
bis -140°C ein Signal im $^1\text{H-NMR}$: sehr schnelle Wagner-Meerwein Umlagerung



Nachbargruppeneffekt
des Phenylrestes

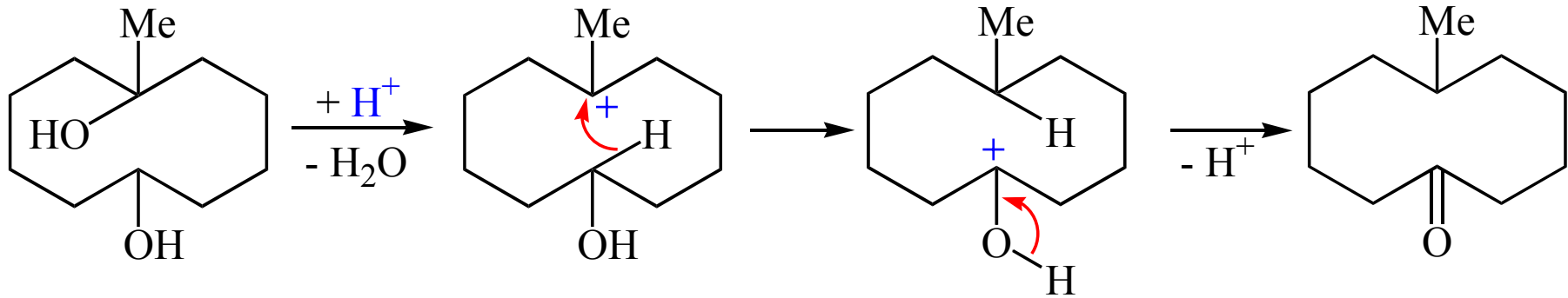
Phenoniumion

Umlagerungen



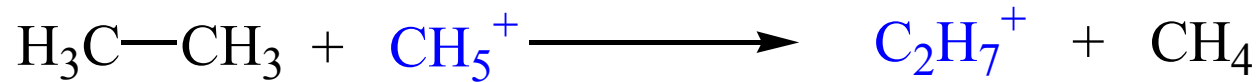
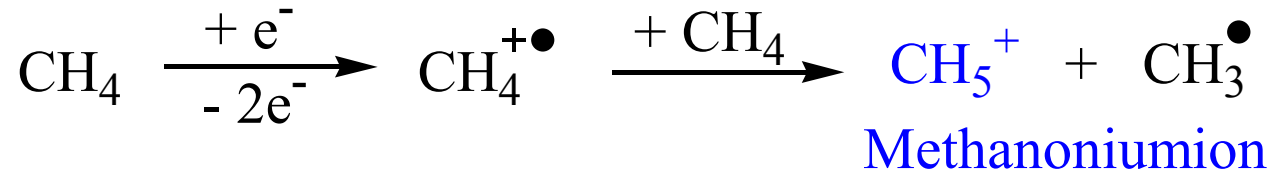
Umlagerungen

transannulare Umlagerung:

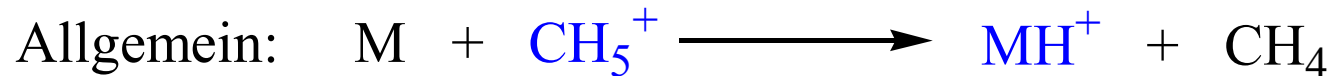


Carboniumionen

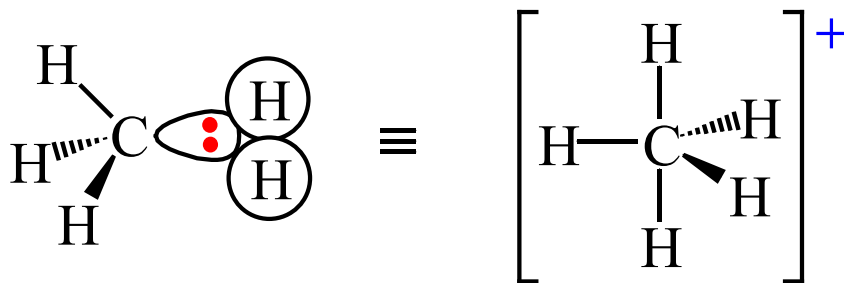
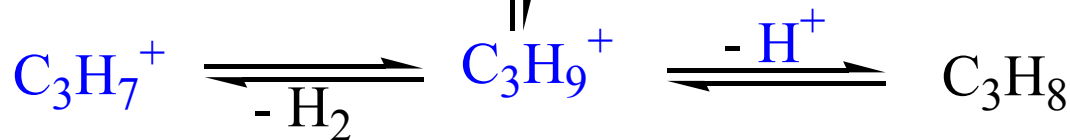
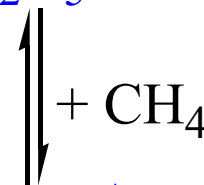
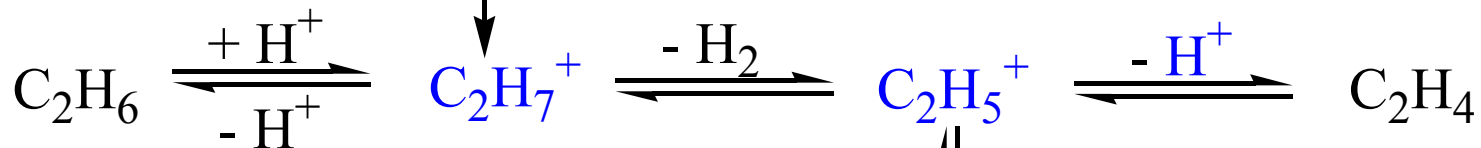
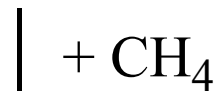
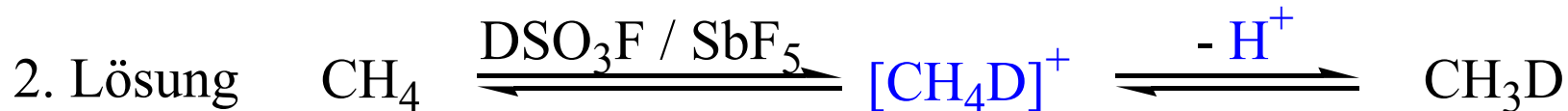
1. Gasphase



Chemische Ionisation



Carboniumionen

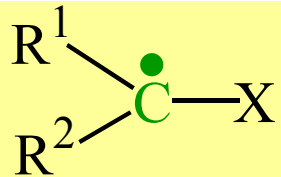


2.2 Radikale



R:	Me	Et	iPr	tBu
BDE [kJ/mol]	440	410	396	389

Stabilität R^\bullet \longrightarrow



Stabilisierung [kJ/mol]

Me

0

Ph < HC=CH₂ ≈ C≡CH

45 - 50

COOR < C≡N < $\begin{array}{c} \text{CR}' \\ \parallel \\ \text{O} \end{array}$ ≈ NO₂

25 - 40

Cl < OR' < NR'₂ < SR'

10 - 40

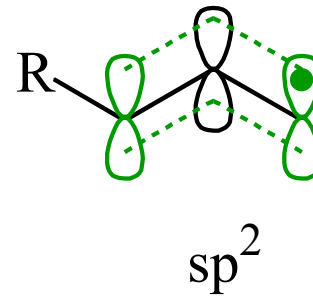
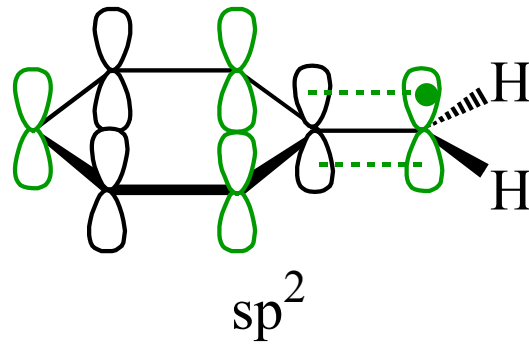
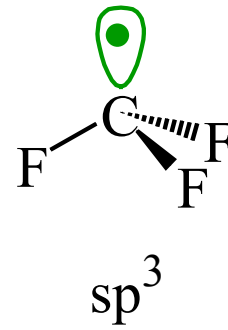
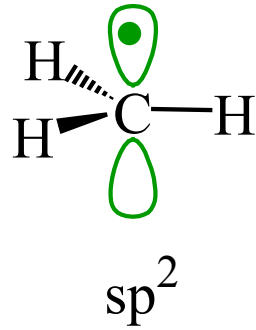
CF₃

- 5

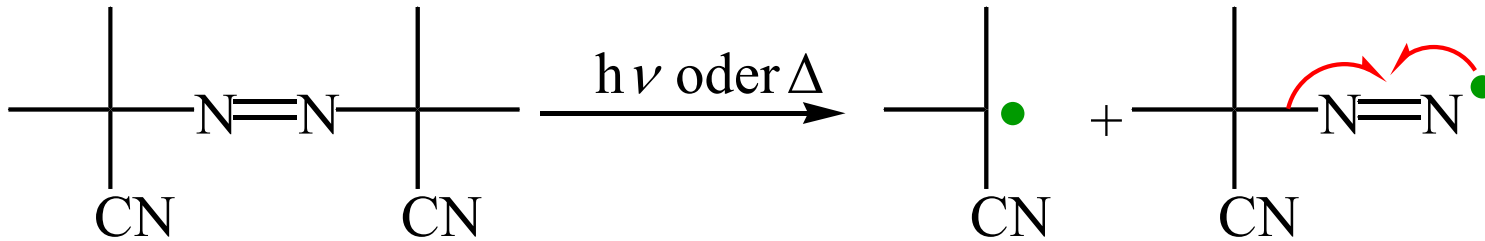
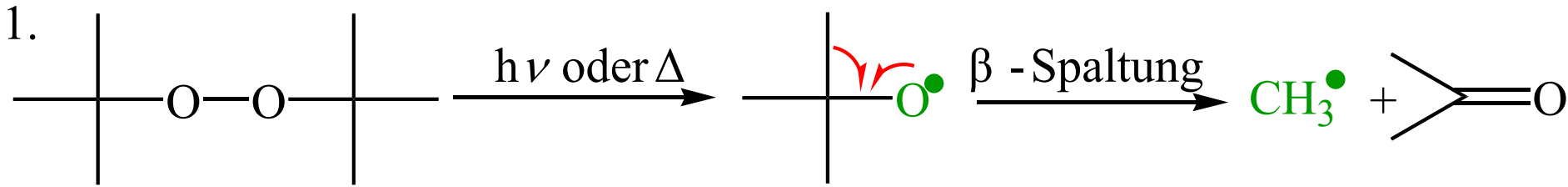
NH₃⁺

- 16

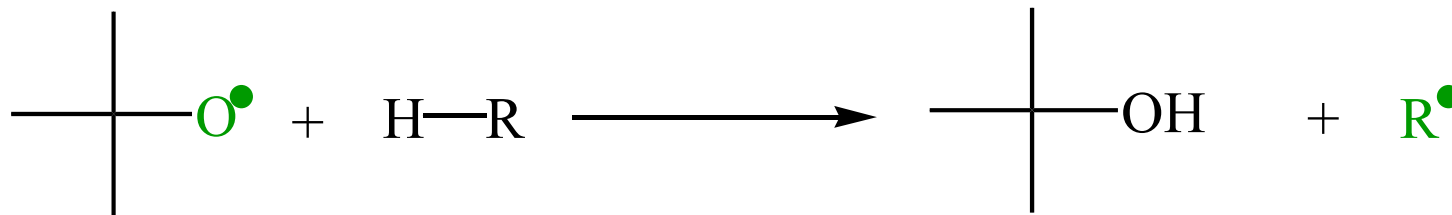
Struktur von Radikalen



Erzeugung und Reaktion von Radikalen



2. Atomabstraktion

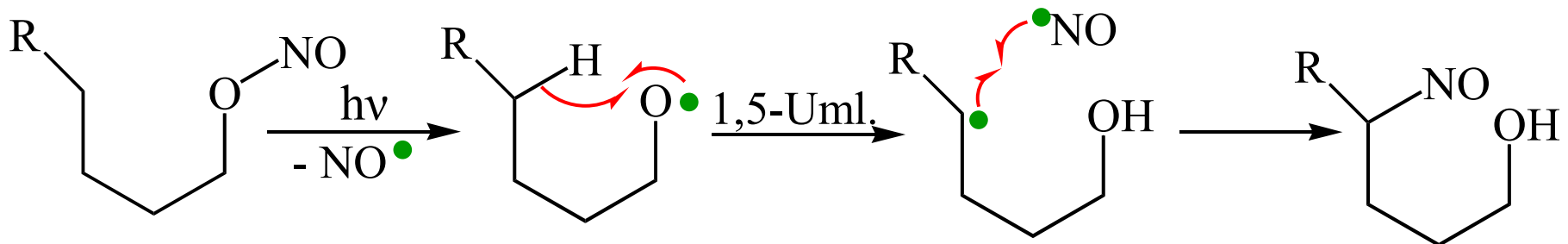
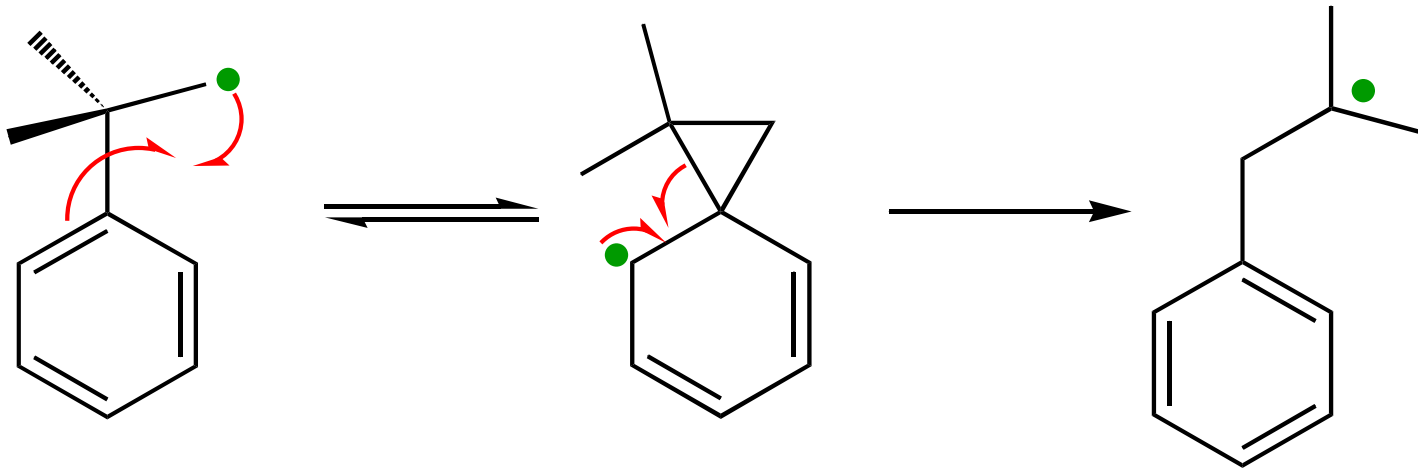
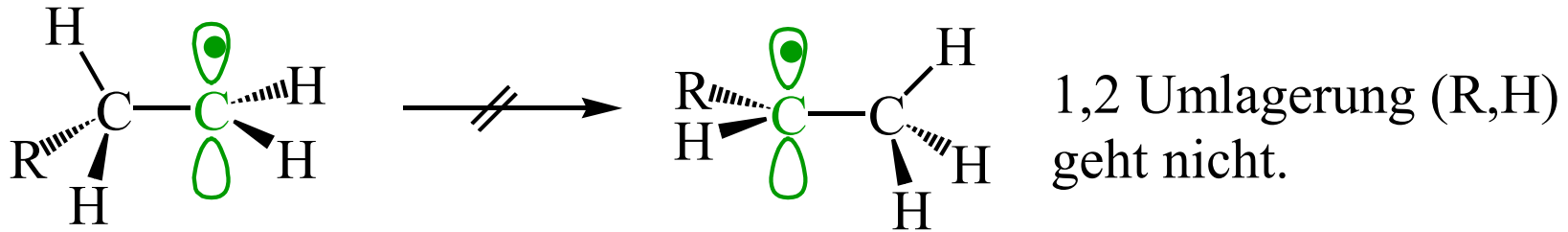


3. Addition \rightleftharpoons β -Spaltung



Erzeugung und Reaktionen von Radikalen

4. Umlagerungen

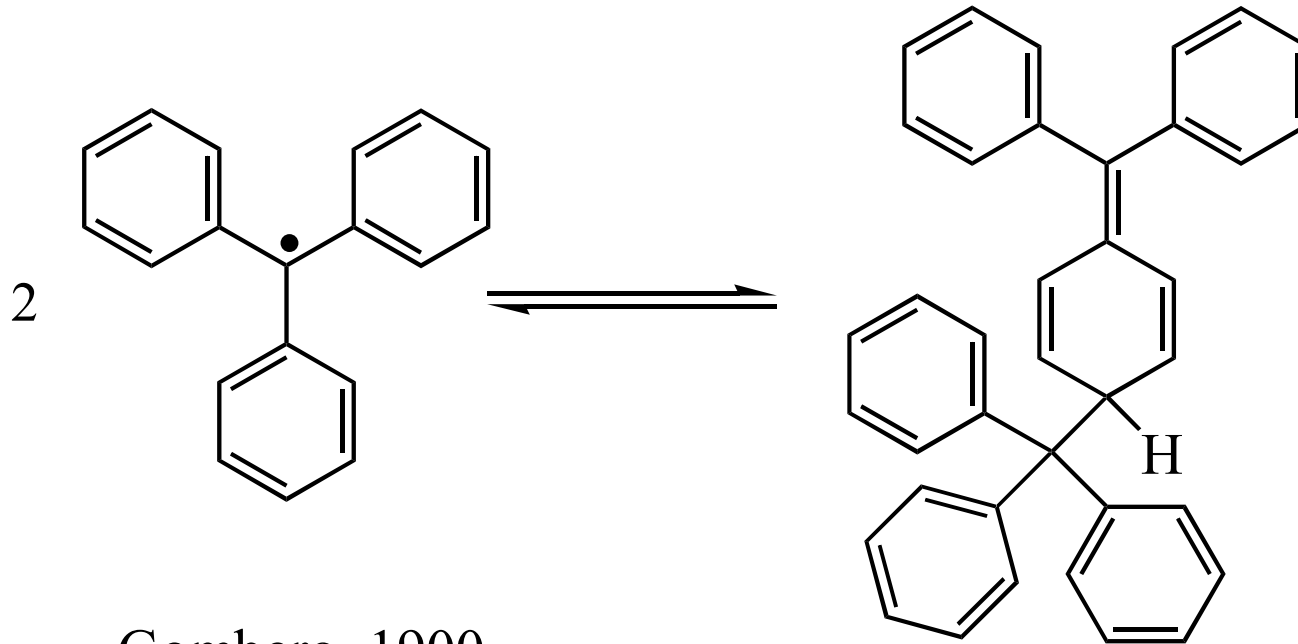


Erzeugung und Reaktionen von Radikalen

5. Radikal-Radikalreaktionen: Rekombination
Disproportionierung

6. Radikalkettenreaktionen

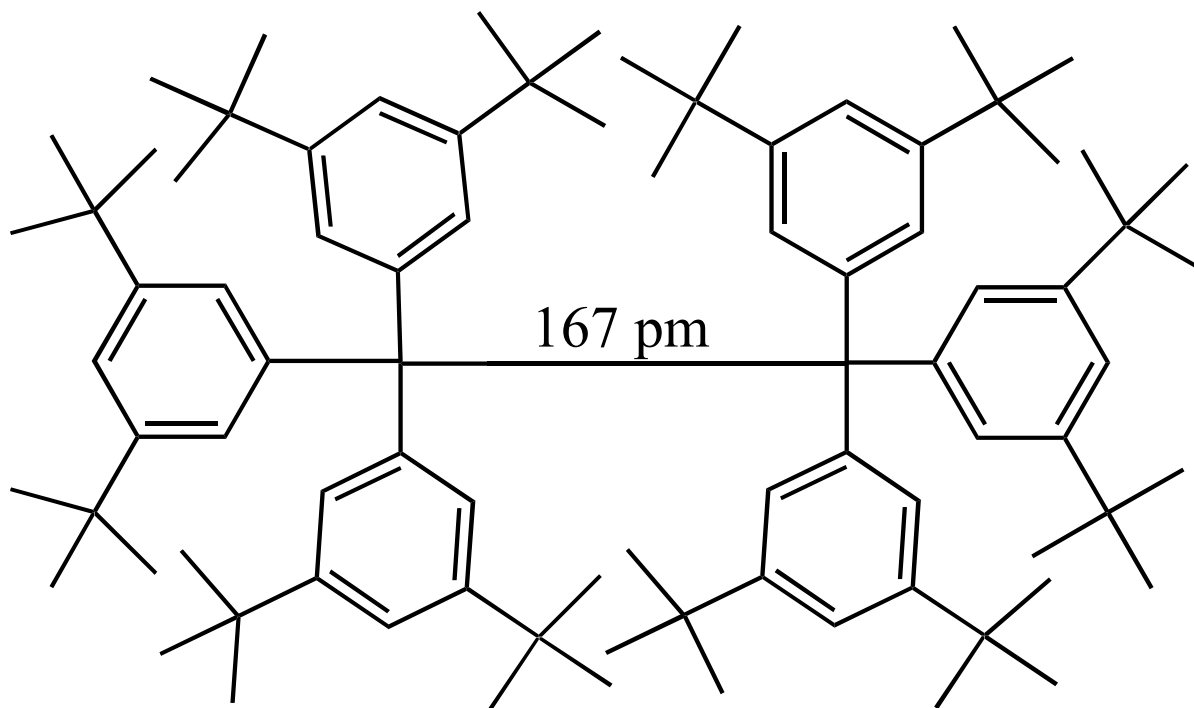
Stabile Radikale



Gomberg, 1900

1-Diphenylmethylen-4-trityl-
2,5-cyclohexadien

<http://www.cpes.sussex.ac.uk/motm/index.html>

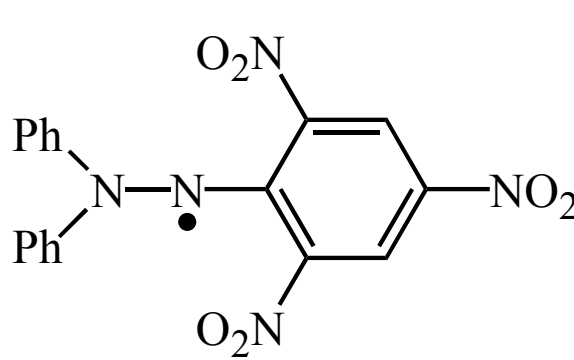
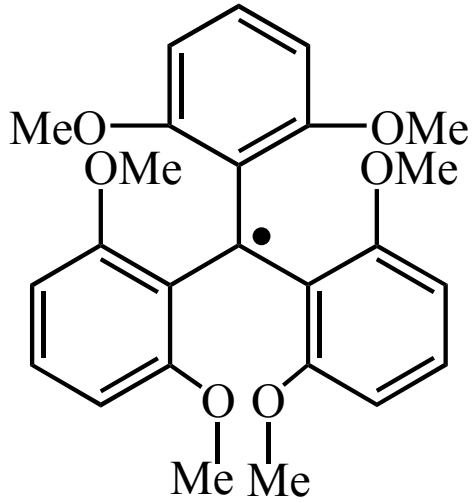
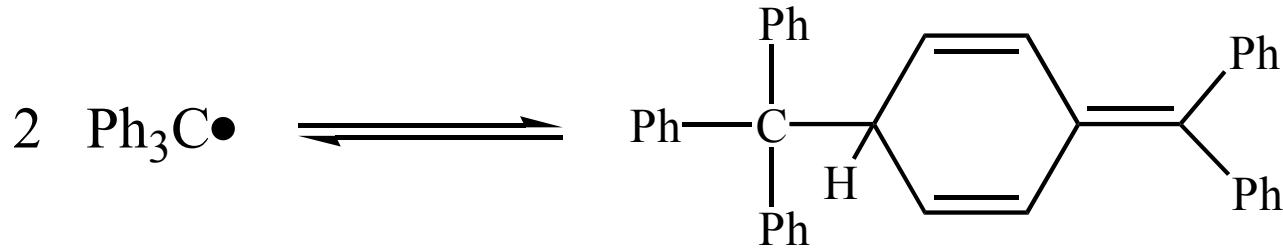


Mislow, 1986

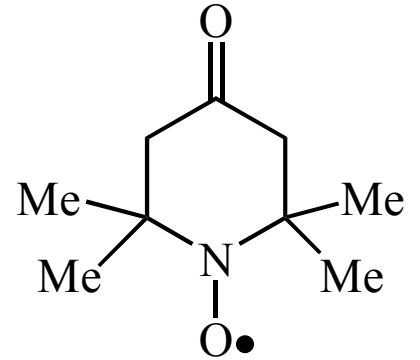


$$\text{BDE} = 376 \text{ kJ mol}^{-1}$$

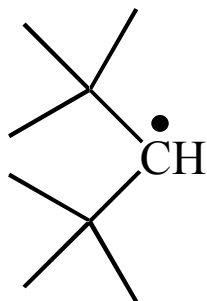
Stabile Radikale



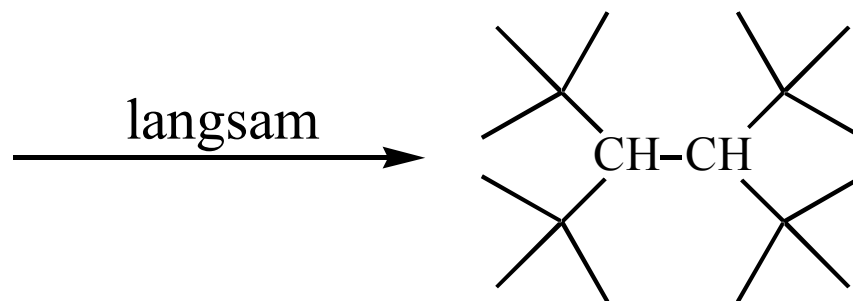
Diphenylpicrylhydrazyl



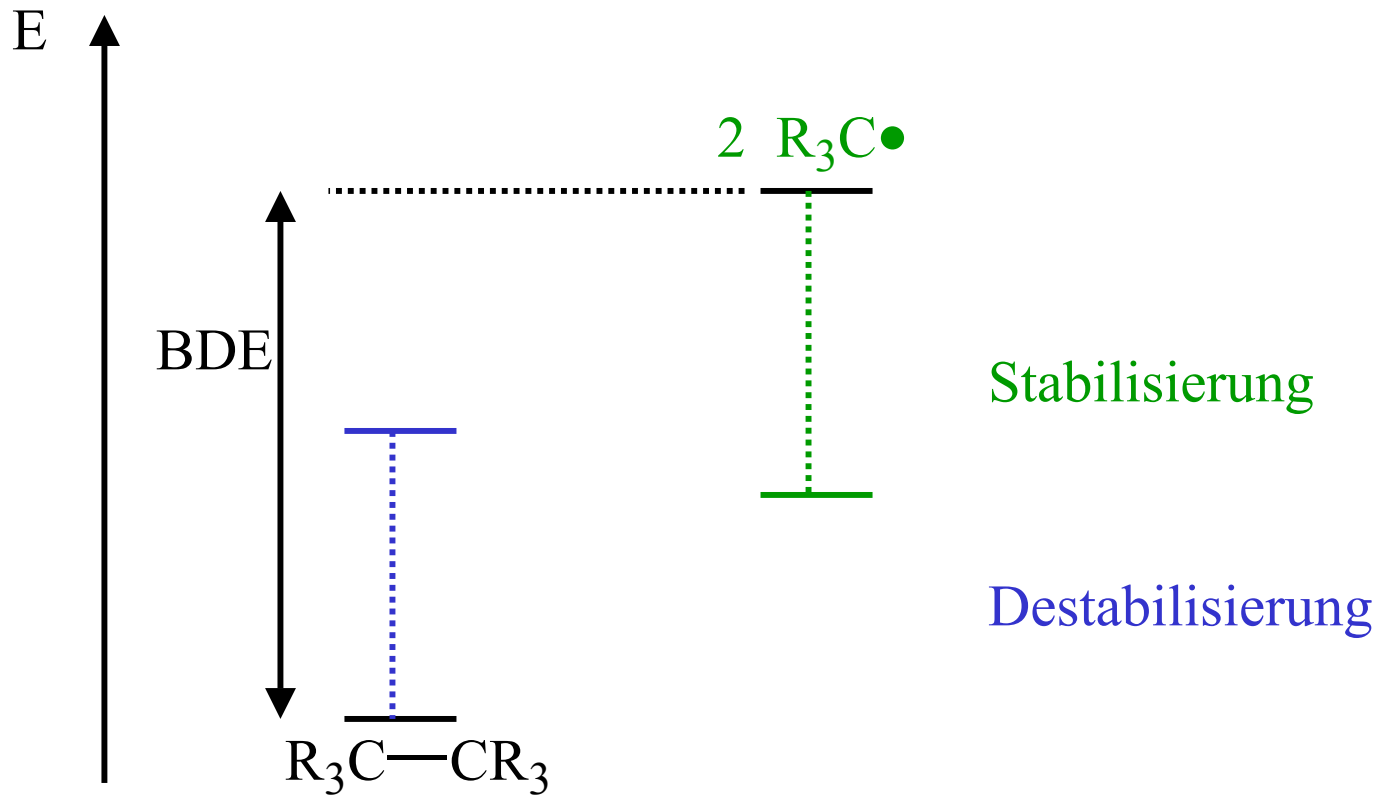
4-Oxo-TEMPO



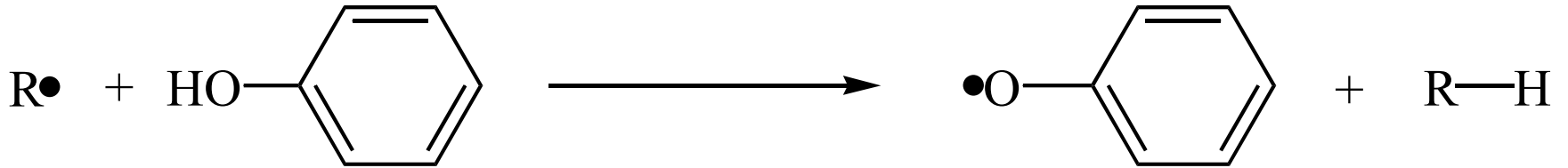
persistentes Radikal



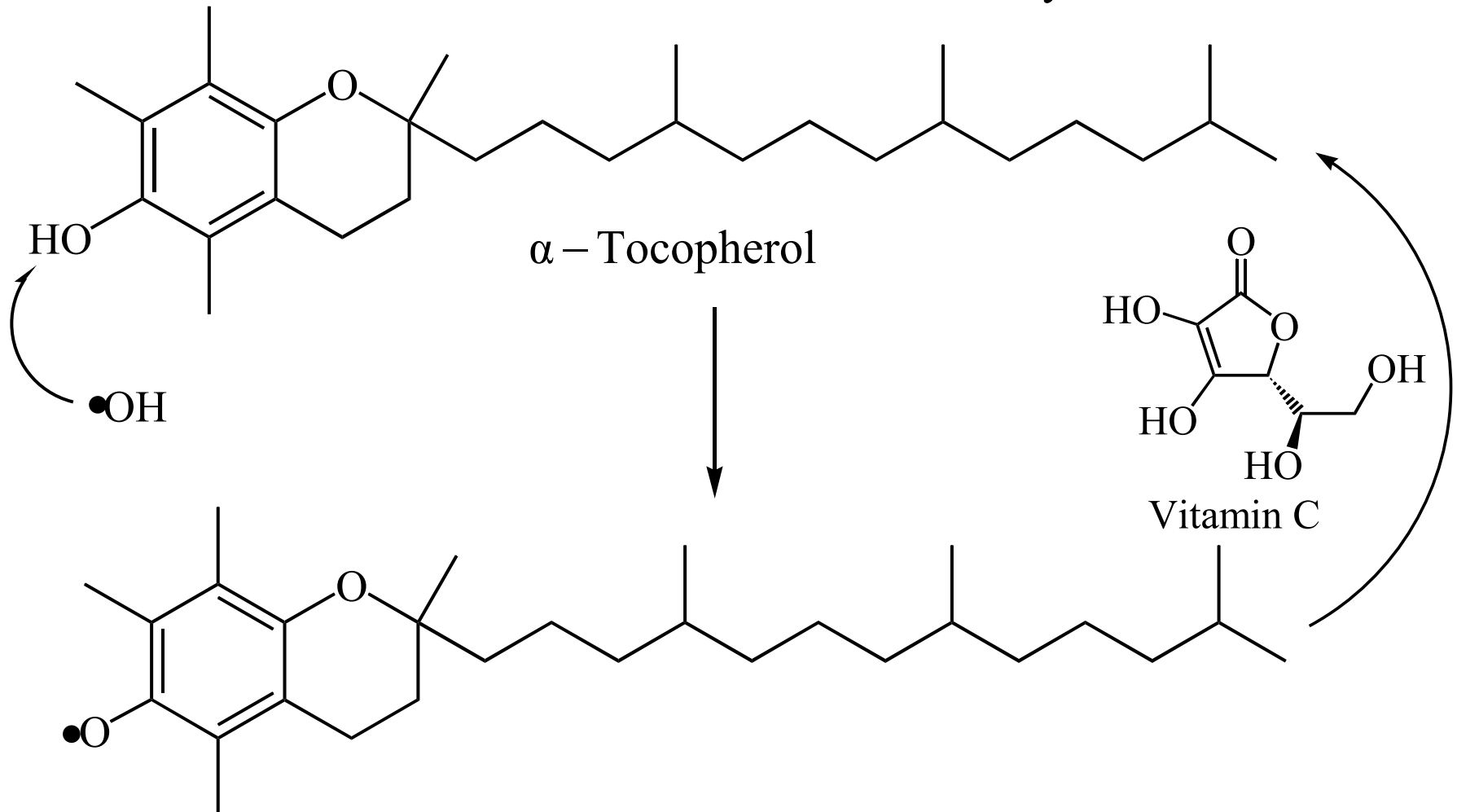
Stabile Radikale



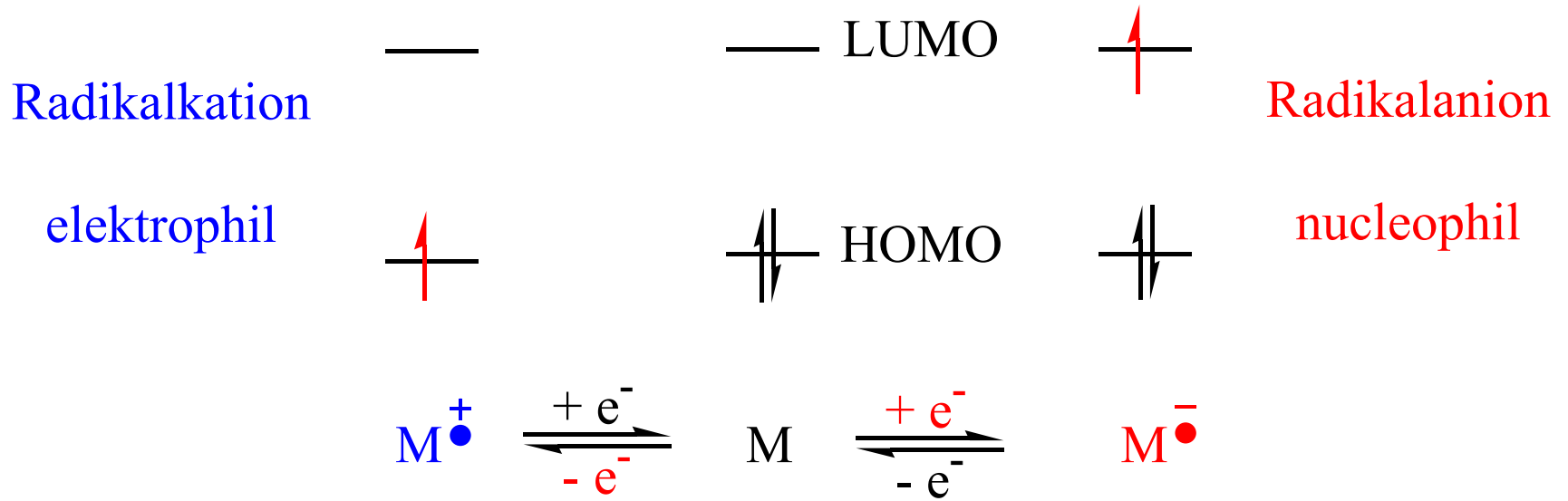
Phenole als Radikalfänger; Tocopherol



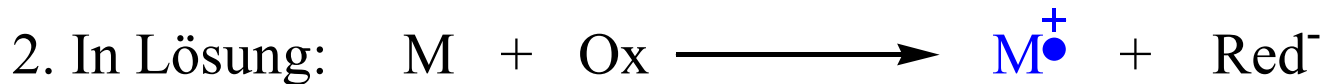
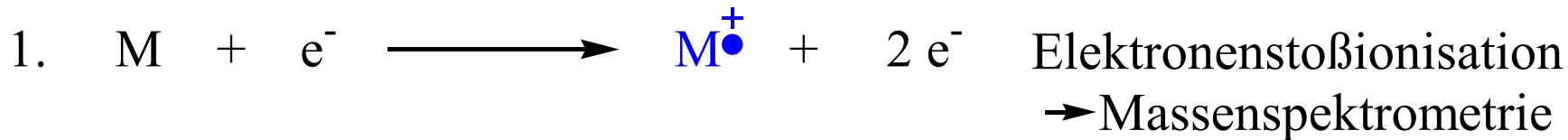
Phenoxy-Radikal



2.3 Radikationen

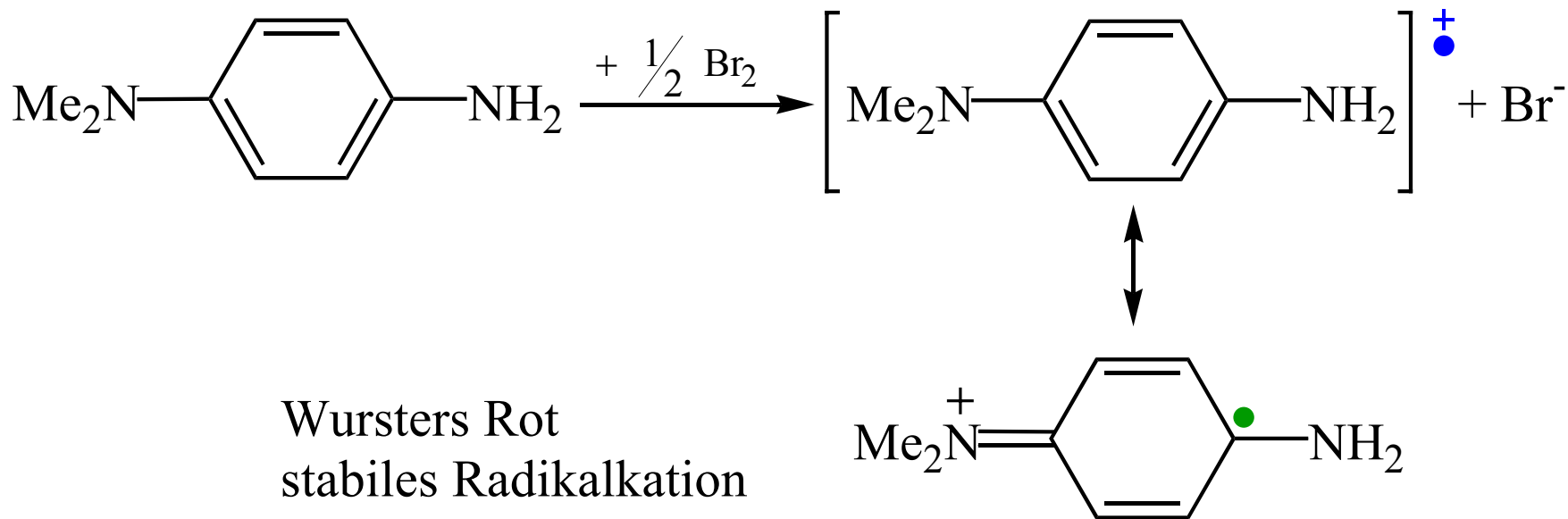


2.3.1 Radikalkationen

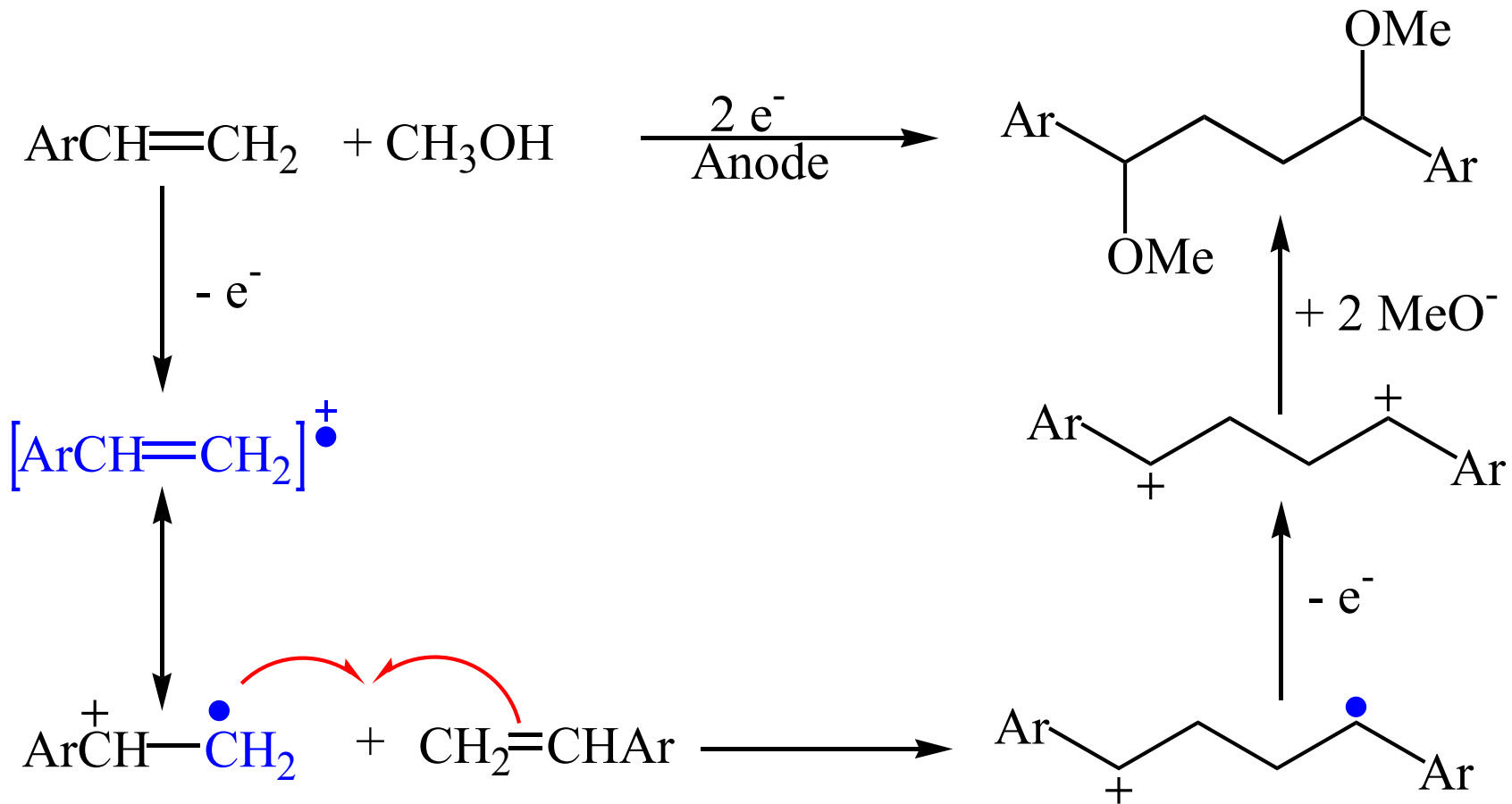


Ox: Einelektronenoxidationsmittel

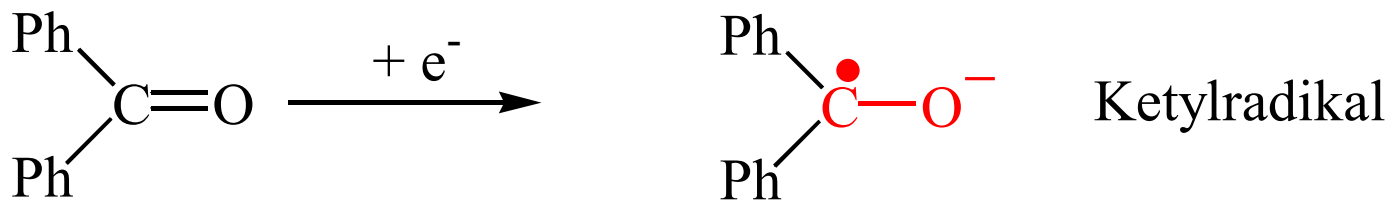
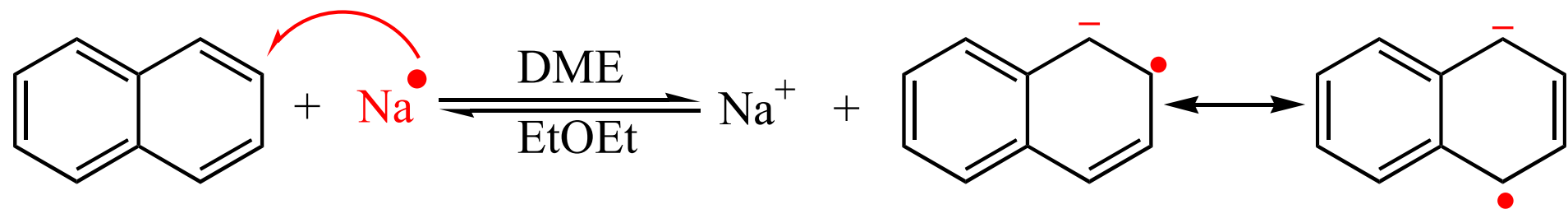
Anode, Co^{3+} , Mn^{3+} , Cu^{2+} , Ce^{4+} u.a.



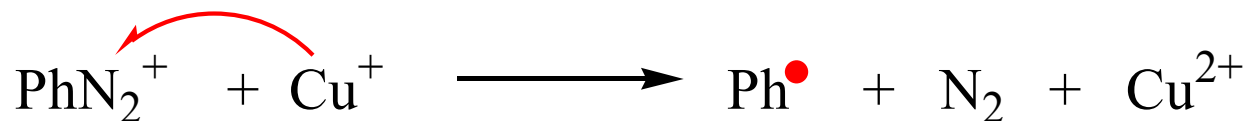
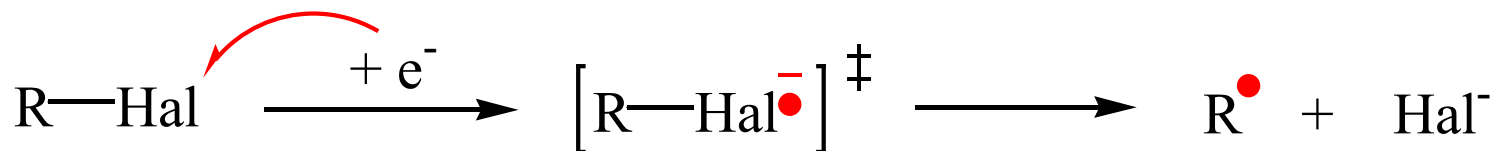
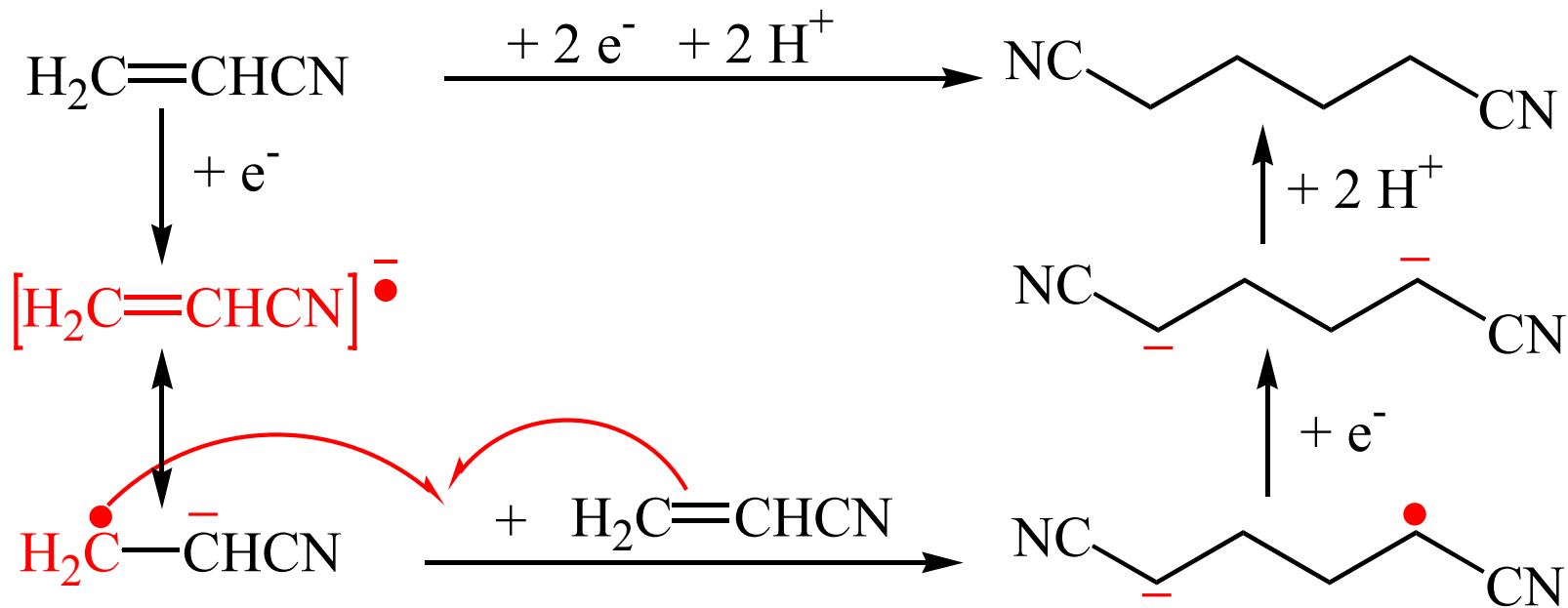
Radikalkationen

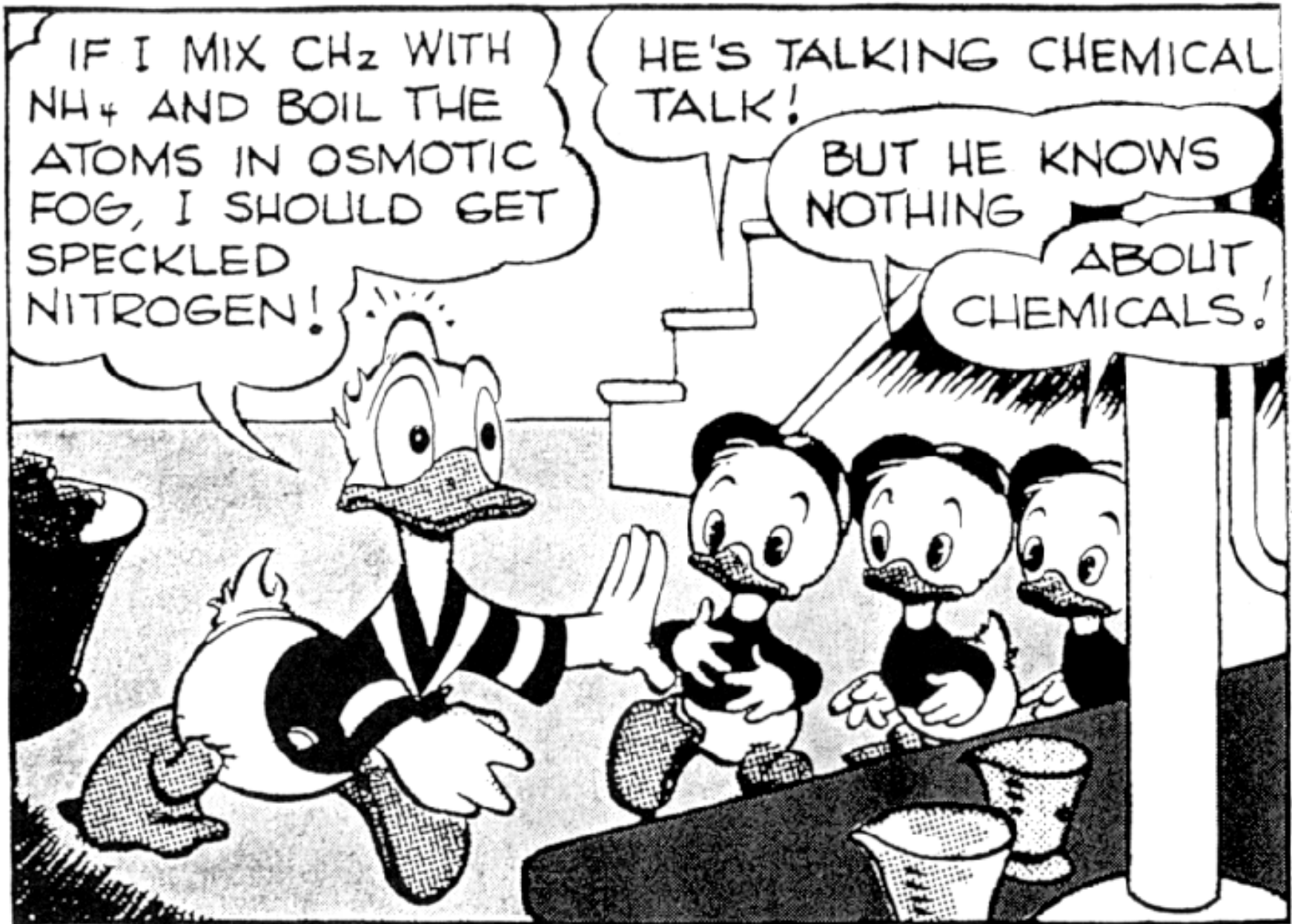


2.3.2 Radikalanionen



Radikalanionen





IF I MIX CH_2 WITH NH_4 AND BOIL THE ATOMS IN OSMOTIC FOG, I SHOULD GET SPECKLED NITROGEN!

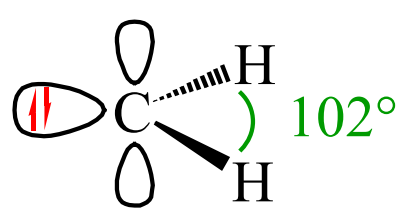
HE'S TALKING CHEMICAL TALK!

BUT HE KNOWS NOTHING

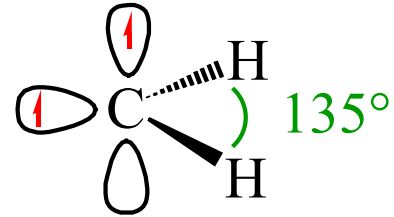
ABOUT CHEMICALS!

2.4 Carbene

2.4.1 Struktur

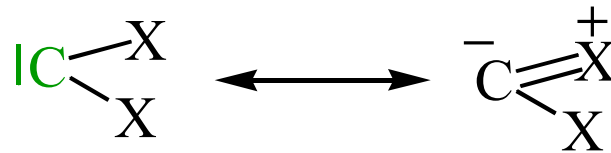


sp^2 , gewinkelt
 $^1\text{CH}_2$



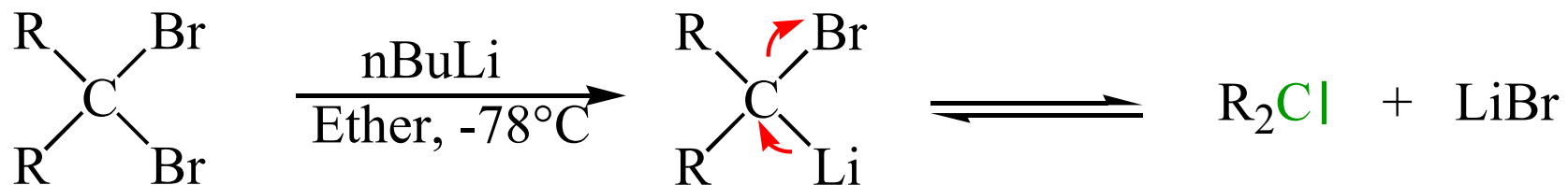
sp^2
 $^3\text{CH}_2$ (Grundzustand)

$$^1E_0 - ^3E_0 \approx 35 \text{ kJ/mol}$$

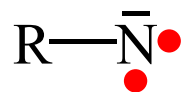


Arylcarbene $^3\text{HCAr}$

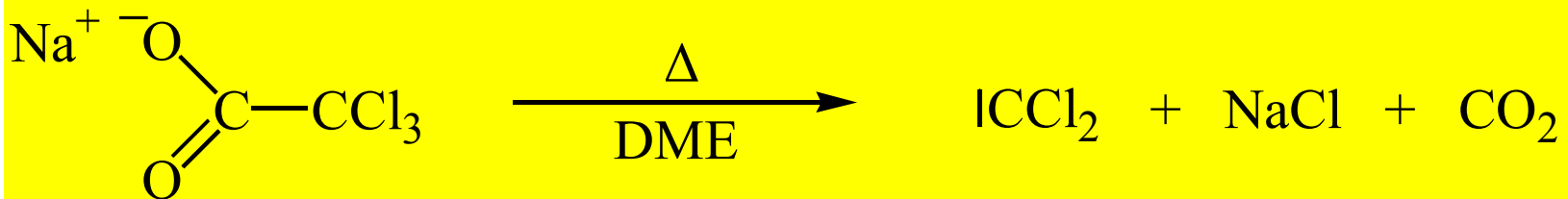
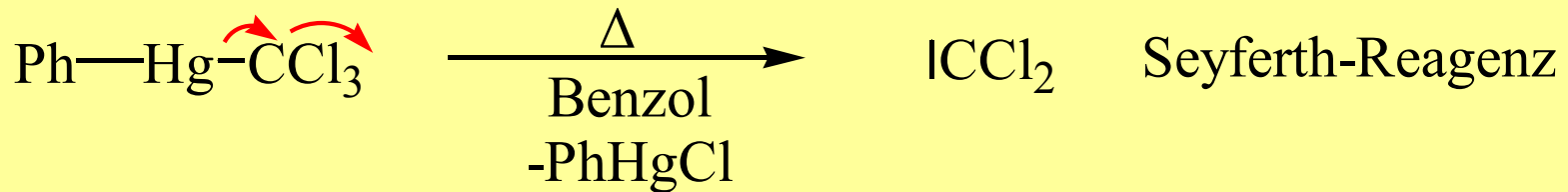
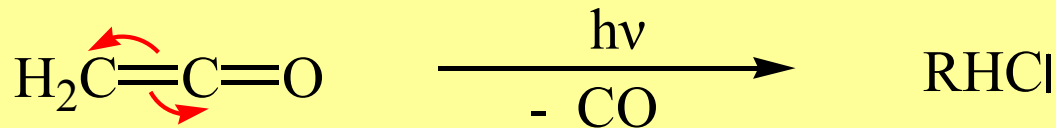
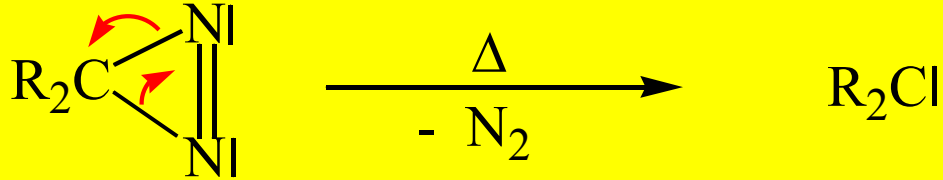
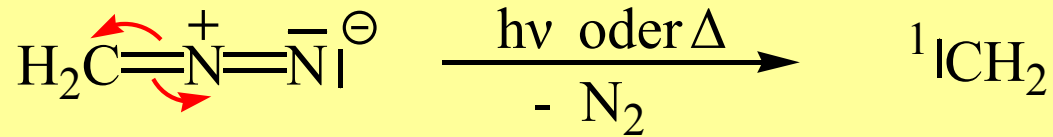
Carbenoide



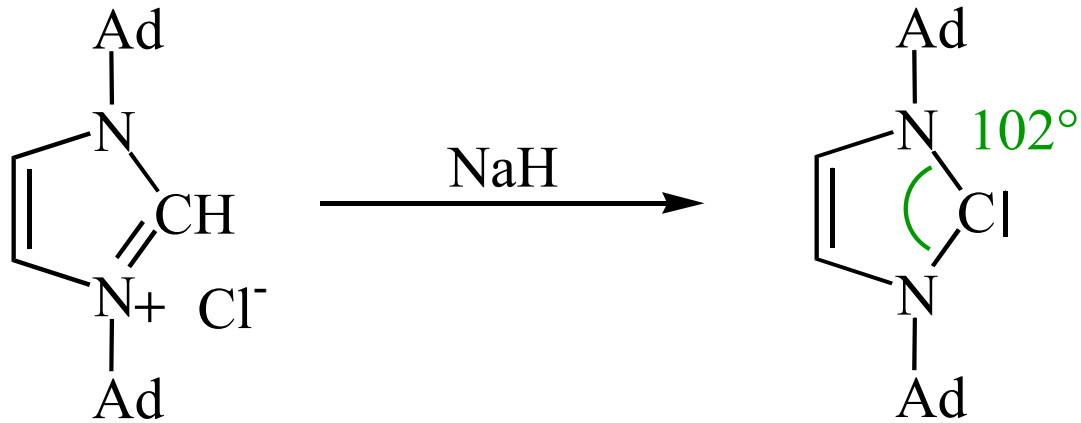
Nitrene



2.4.2 Erzeugung



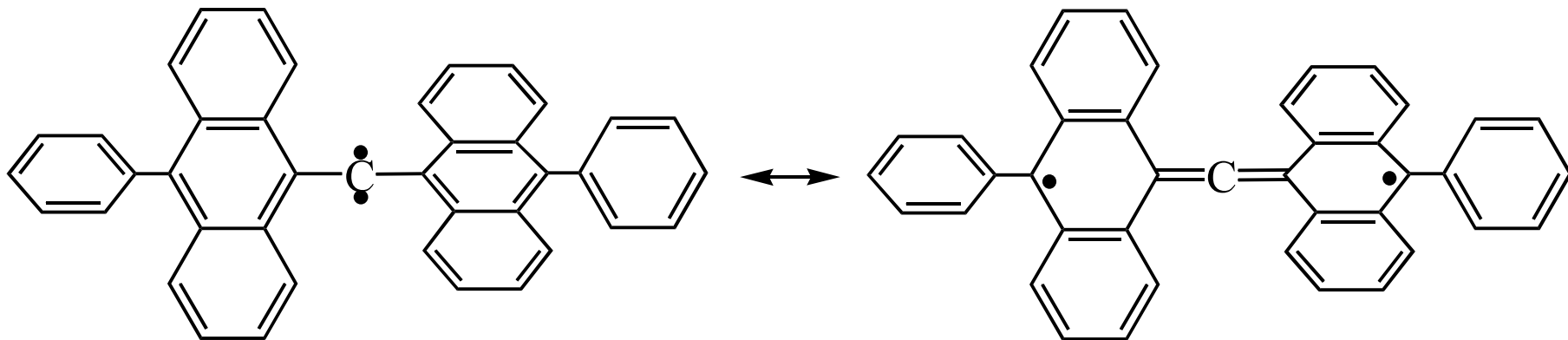
Stabile Carbene



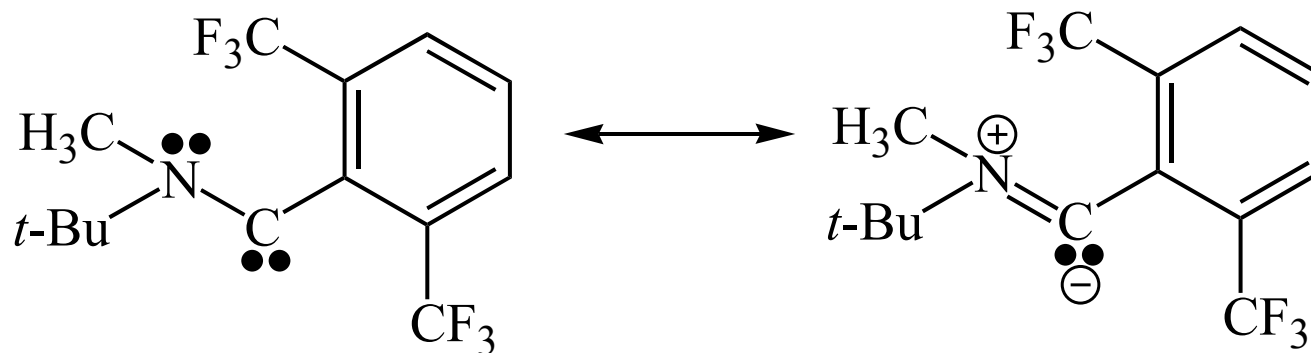
1,3-Di-1-adamantyl-imidazol-2-yliden-imidazoliumchlorid

A.J. Arduengo, III und R. Krafczyk, *ChiuZ* **1998**, 32, 6

Stabile Carbene

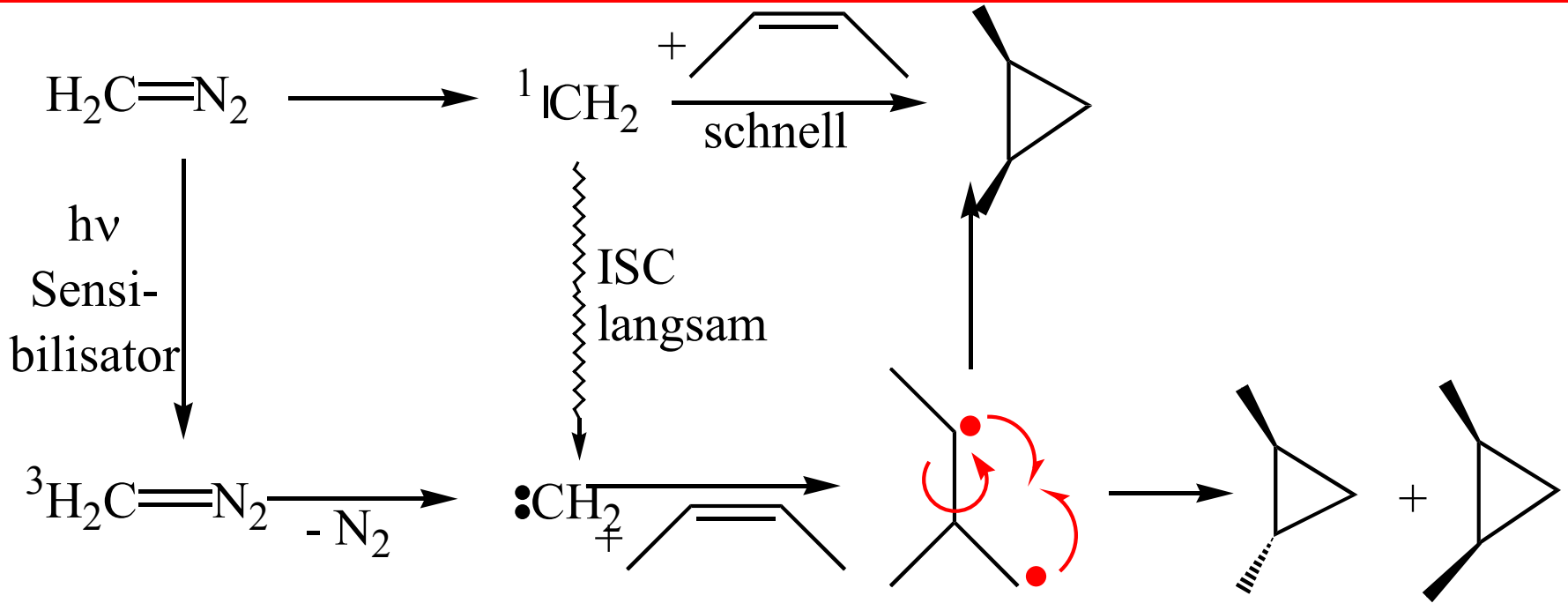


Hideo Tomioka et al., *Nature* **2001**, 412, 626

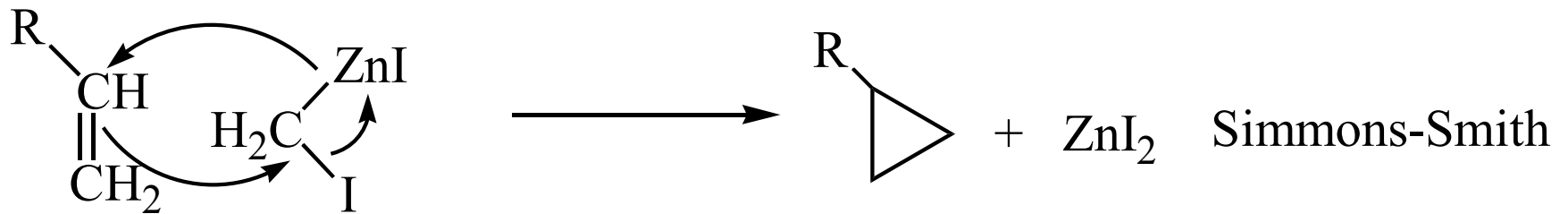


Guy Bertrand et al., *Science* **2001**, 292, 1901 - 1903

2.4.3 Reaktionen



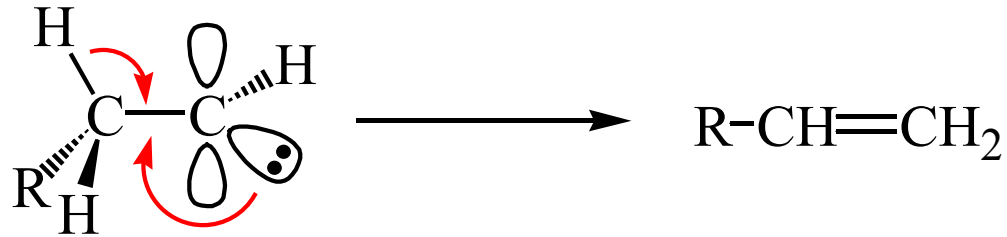
Reaktivität: $^1\text{ICH}_2 > ^1\text{IHC}l > ^1\text{ICCl}_2 > ^1\text{ICBr}_2 > ^1\text{ICl}_2 > \text{Carbenoide}$



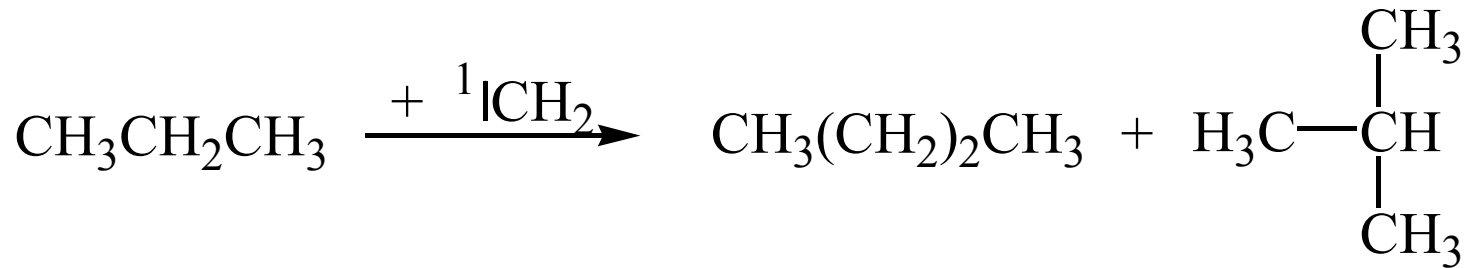
analog: RCHI_2 , ArCHI_2

Reaktionen

Umlagerung: schneller 1,2 Shift



Insertion in C-H-Bindungen



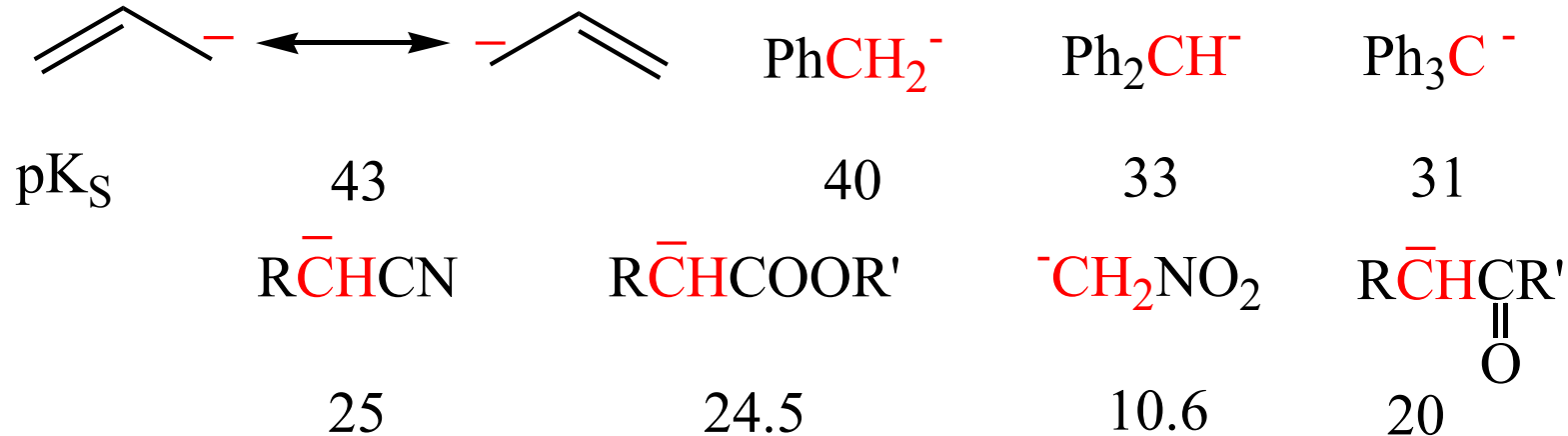
2.5 Carbanionen



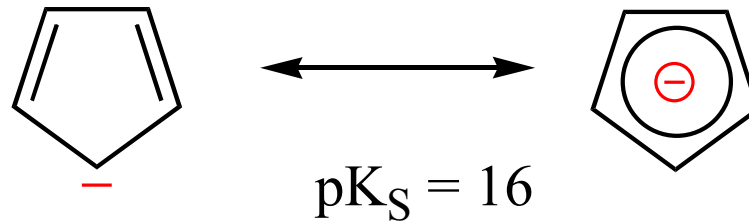
	Me^-	Et^-	iPr^-	tBu^-
pK_S	48	50	51	> 51
Stabilität	 (in Lösung)			

2.5.1 Stabilisierung von Carbanionen

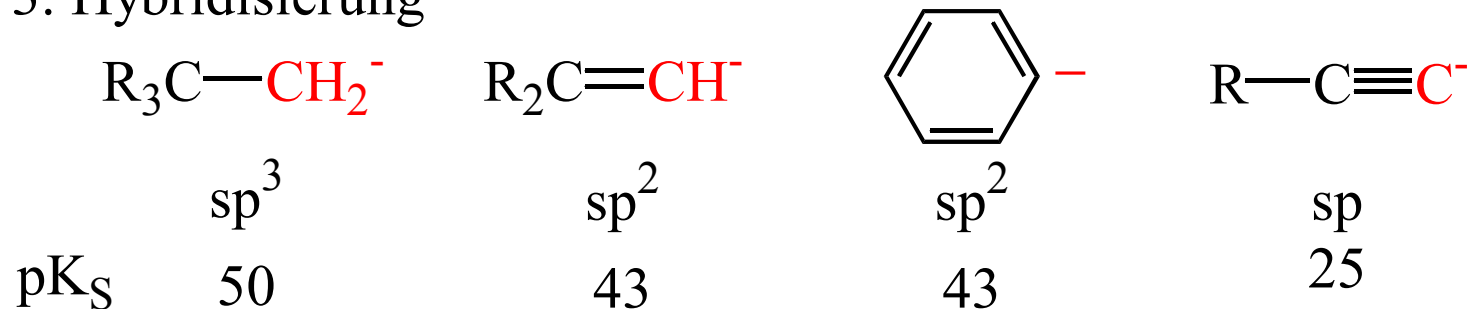
1. Konjugation



2. Aromatisierung

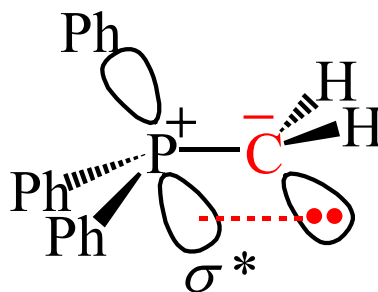
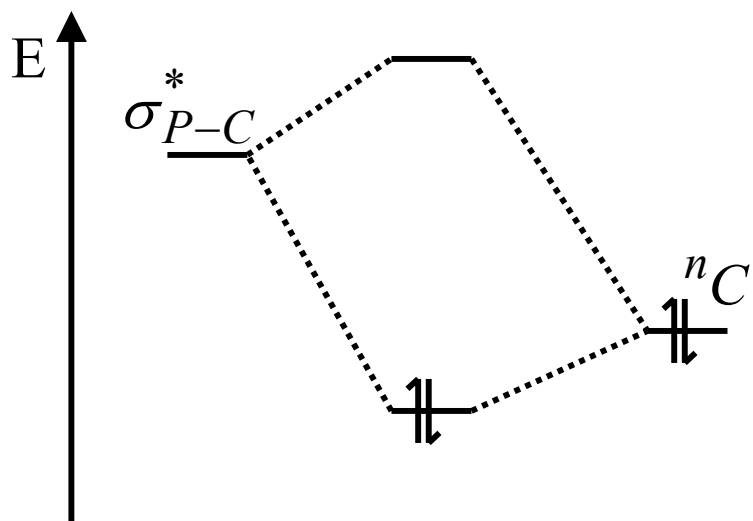
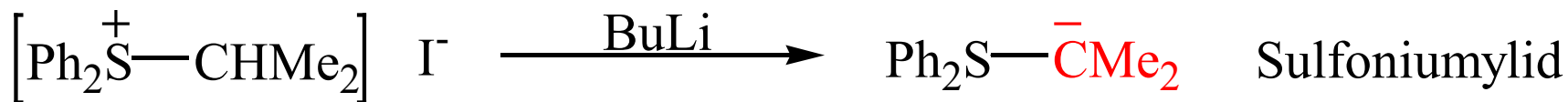


3. Hybridisierung



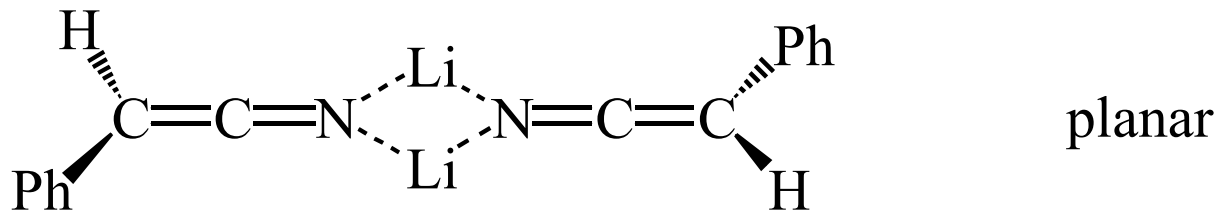
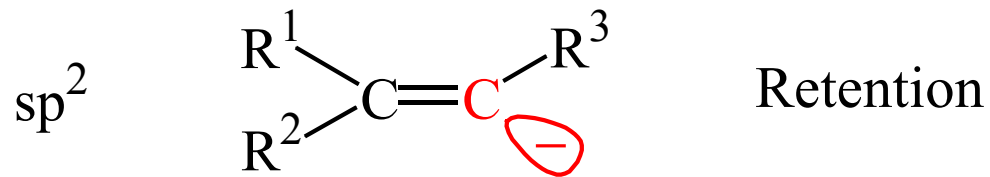
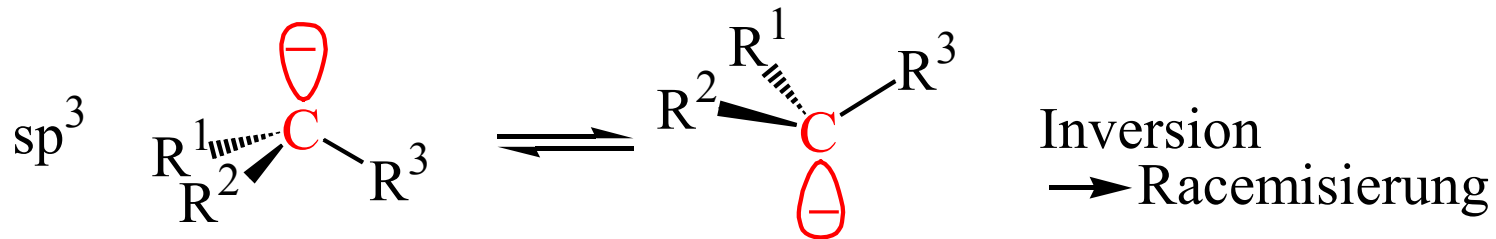
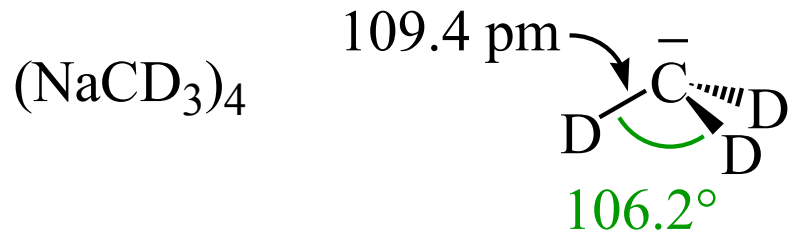
Stabilität

4. Stabilisierung durch S, P, Si in α -Position



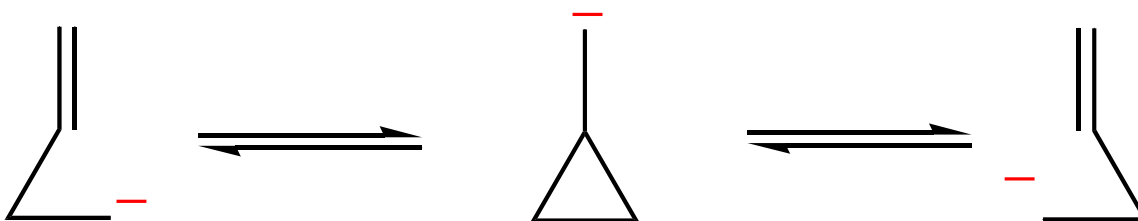
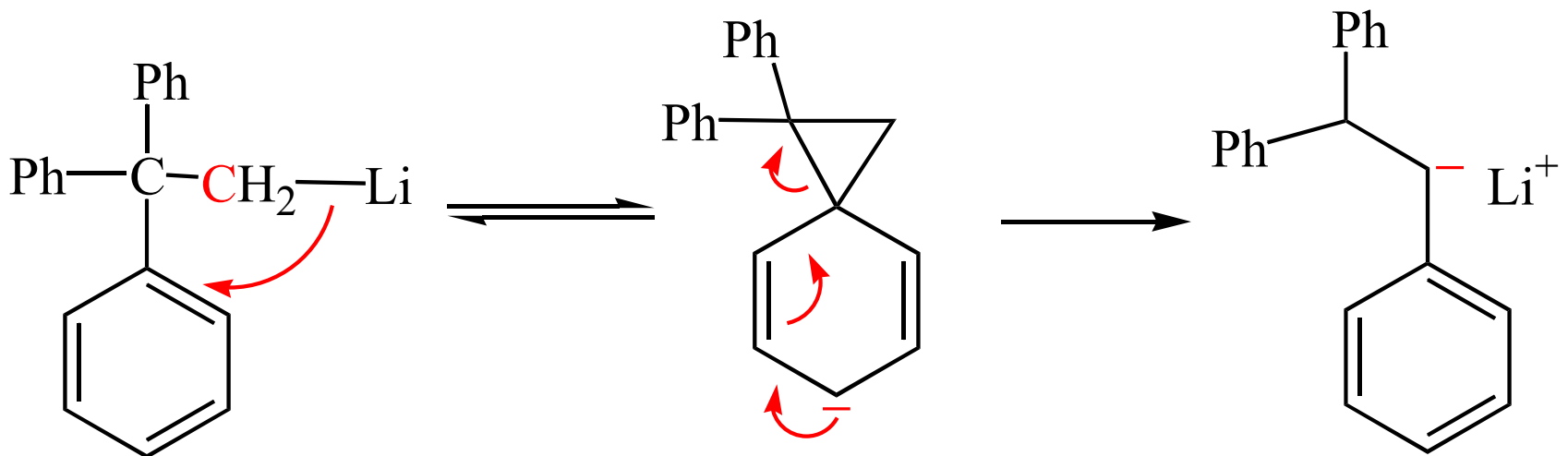
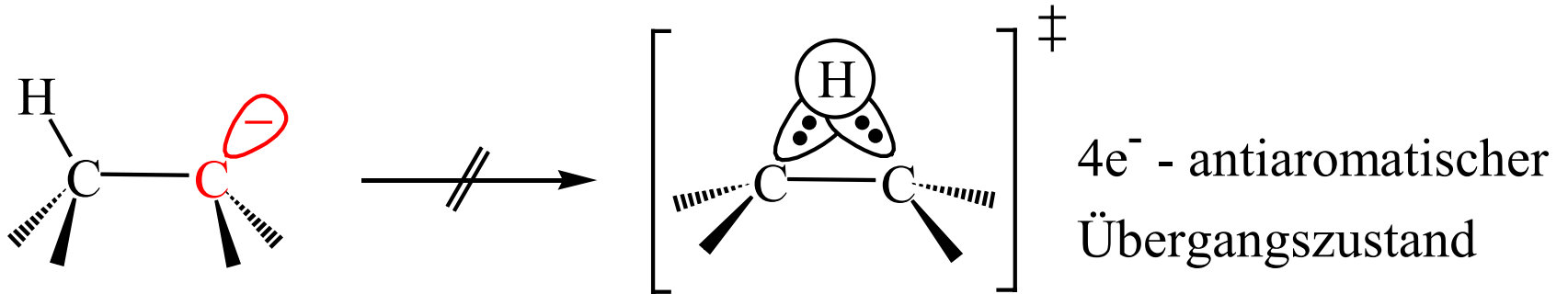
"anomerer Effekt"

2.5.2 Struktur

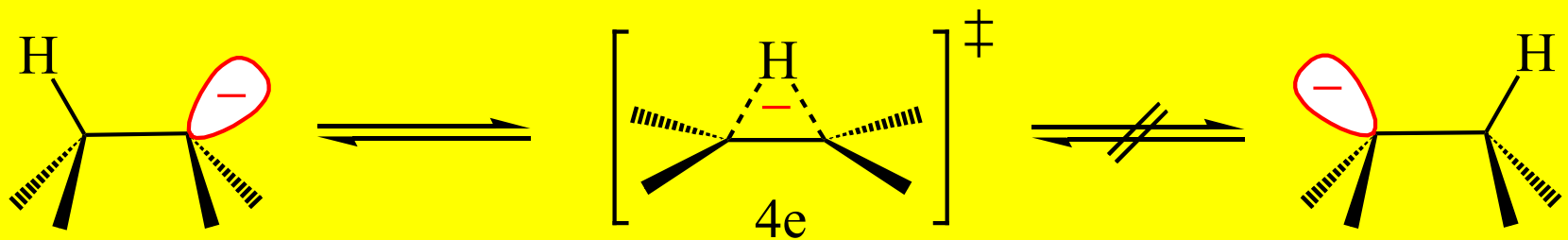
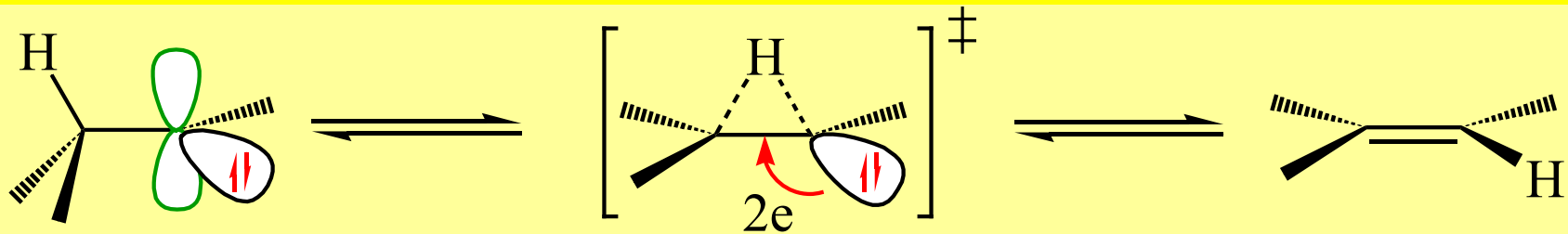
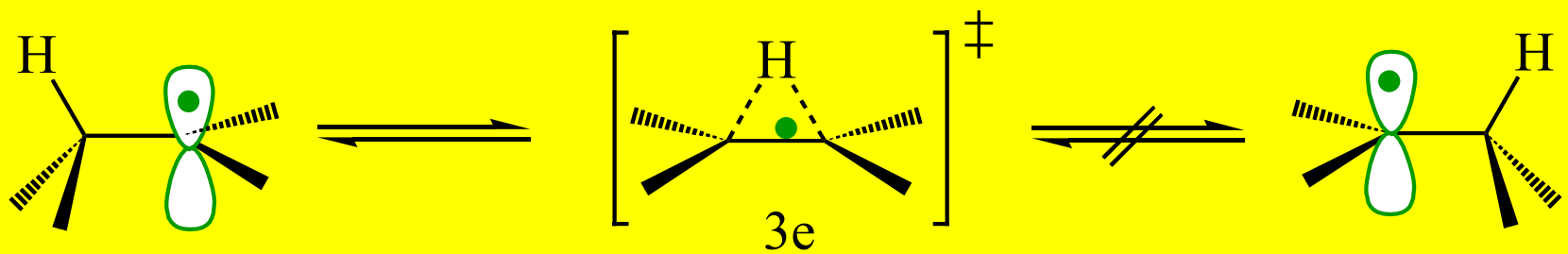
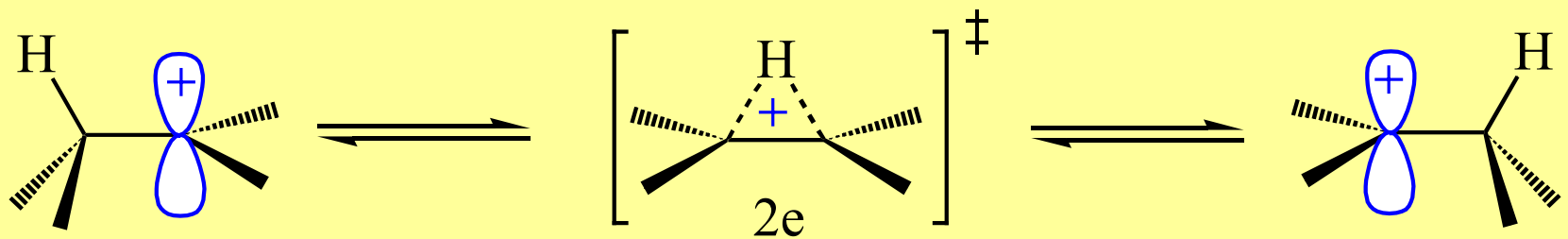


2.5.3 Reaktionen

Umlagerungen

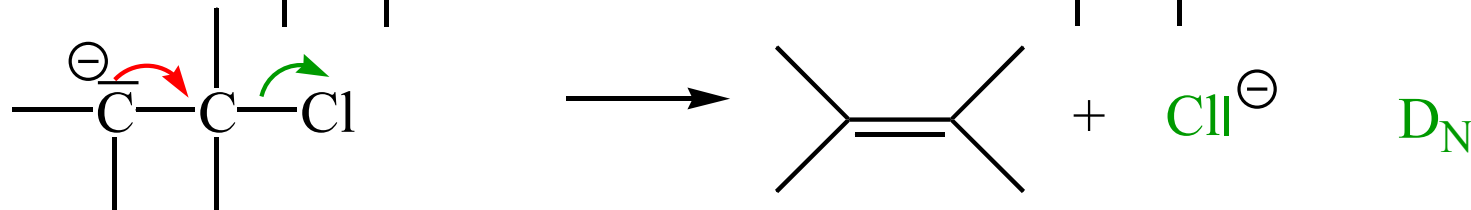
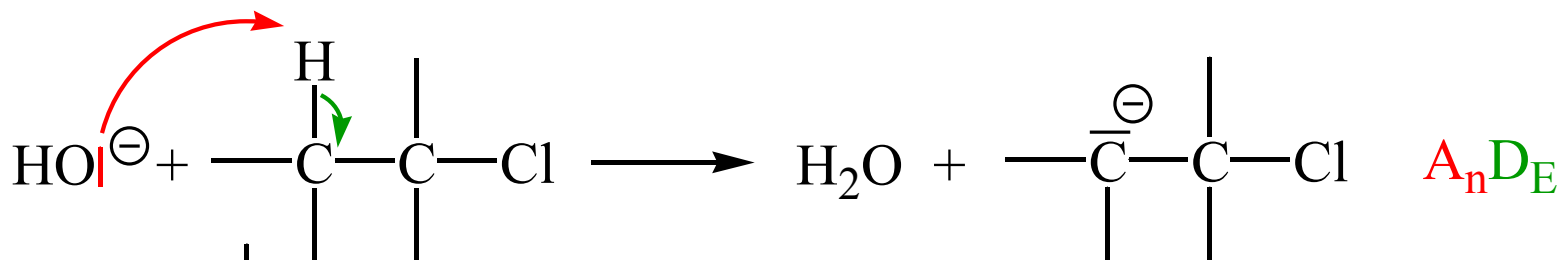
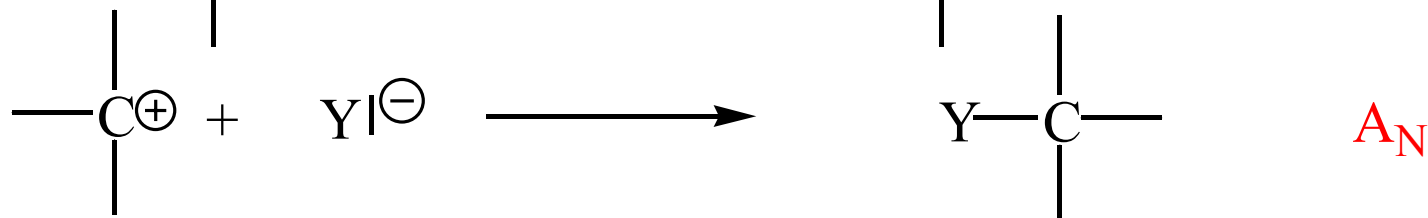
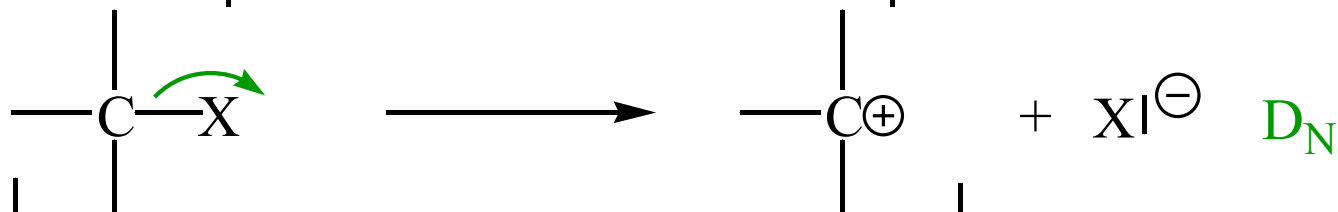
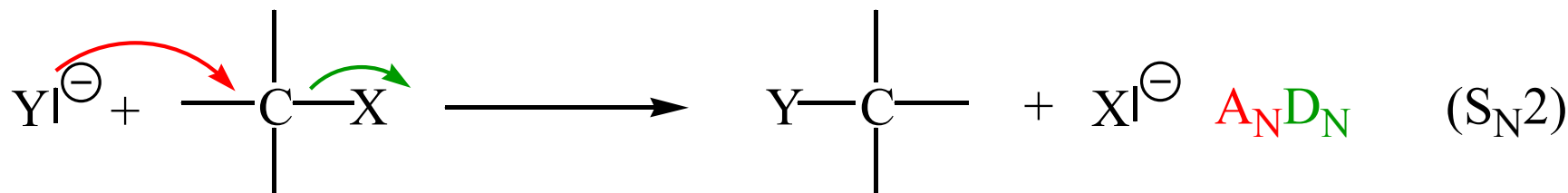


1.2-Umlagerungen der reaktiven Zwischenstufen

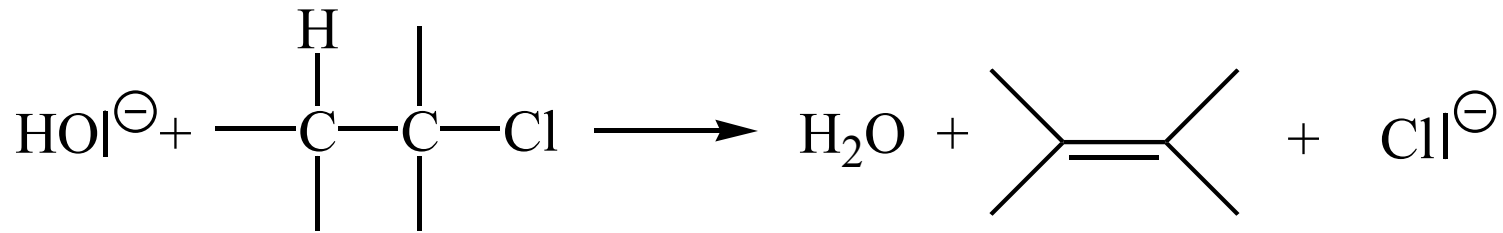


3. Reaktionsmechanismen

3.1 IUPAC-System für die symbolische Darstellung von Mechanismen



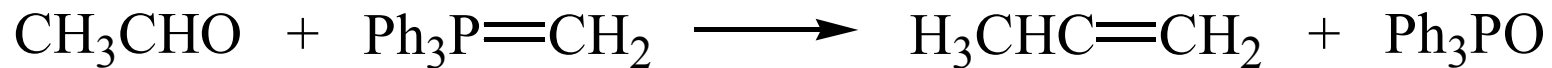
IUPAC-Nomenklatur für Transformationen



Hydro-chlor-eliminierung

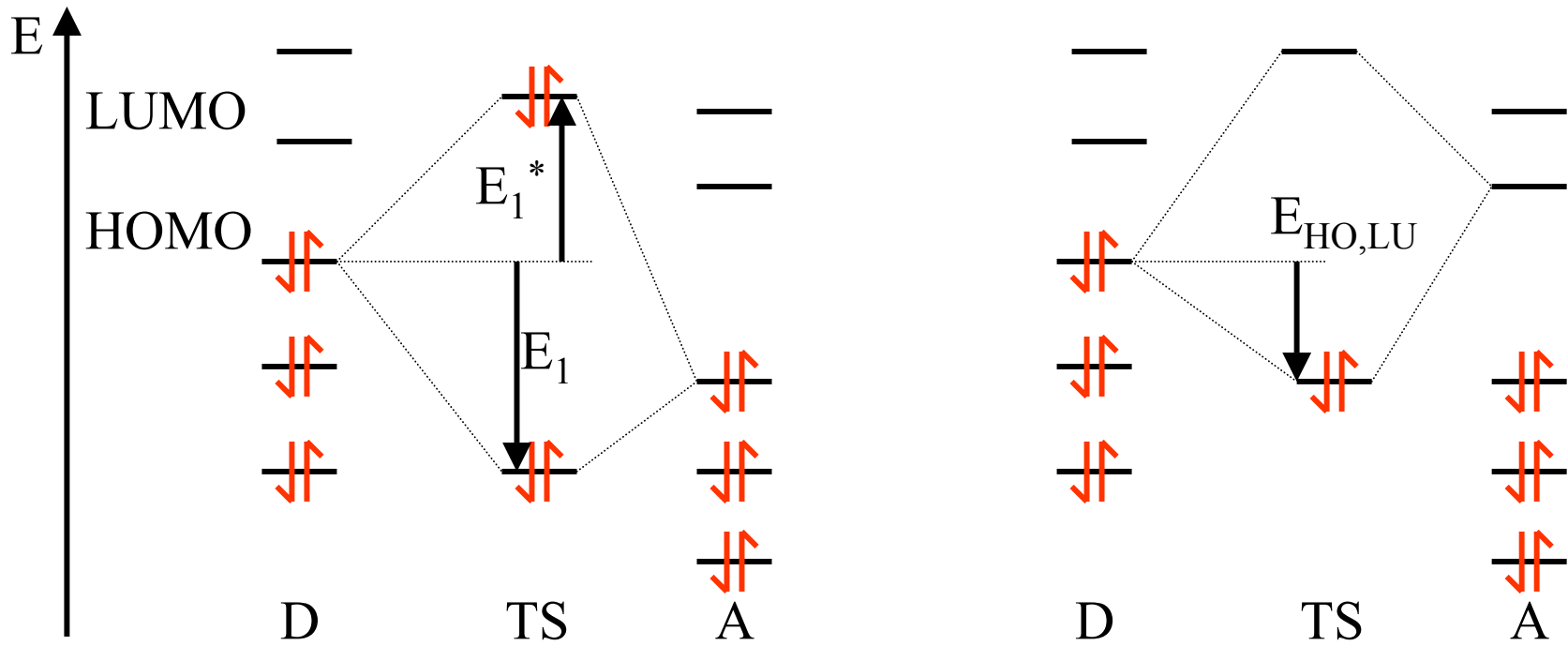


Methoxy-de-bromierung



Methylen-de-oxo-bisubstitution

3.2 Grenzorbitaltheorie



$$E_1 + E_1^* = \Delta E_1 > 0$$

$$\Delta E_{HO,LU} < 0$$

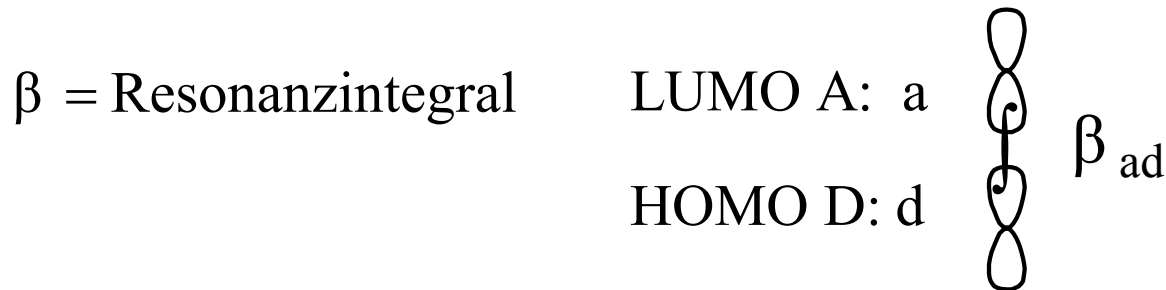
$$\sum \Delta E_n \gg 0$$

$$\Delta E_{\text{Coulomb}} = \frac{Q_d \cdot Q_a}{\sum R}$$

$$\Delta E_{A,D} = \sum \Delta E_n + \Delta E_{HO,LU} + \Delta E_{\text{Coulomb}}$$

Grenzorbitaltheorie

$$\Delta E_{\text{HO,LU}} = \frac{2(c_{\text{d,HO}} \cdot c_{\text{a,LU}} \cdot \beta_{\text{ad}})^2}{E_{\text{HO,D}} - E_{\text{LU,A}}}$$

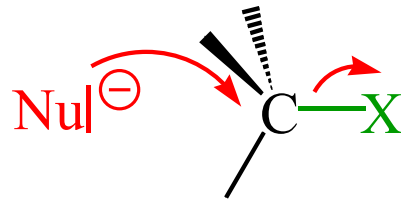


$c < 1$ = Koeffizient des AO von d im HOMO von D
bzw. von a im LUMO von A

Lit.: I. Fleming: Grenzorbitale und Reaktionen organischer
Verbindungen, VCH

Grenzorbitaltheorie

S_N2 ($A_N D_N$)

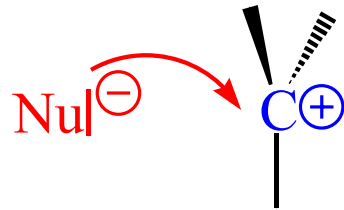


D
HOMO

A
LUMO

Grenzorbitalwechselwirkung dominiert!

S_N1 ($D_N + A_N$)



Coulomb-Term dominiert!

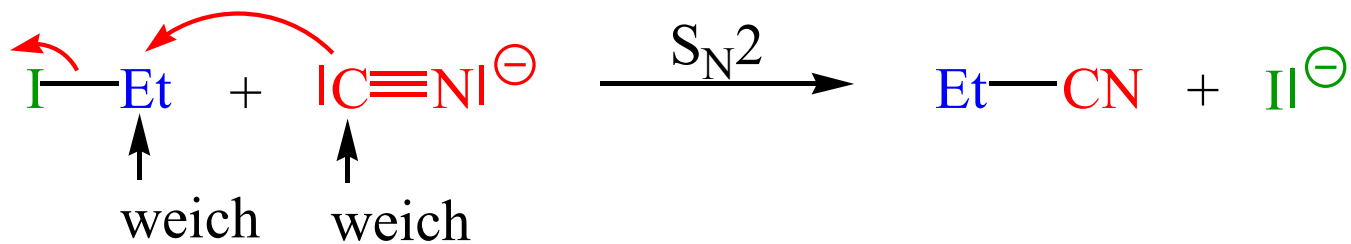
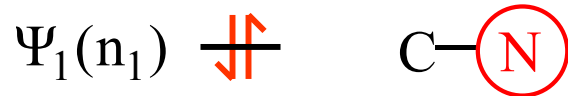
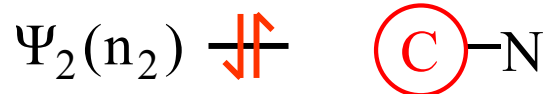
Nucleophile mit energiereichem HOMO - **weich**

mit energiearmem HOMO - **hart**

Elektrophile mit energiearmem LUMO - **weich**

mit energiereichem LUMO - **hart**

Ambidente Nucleophile

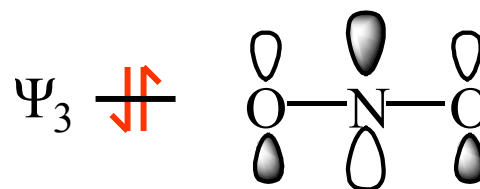
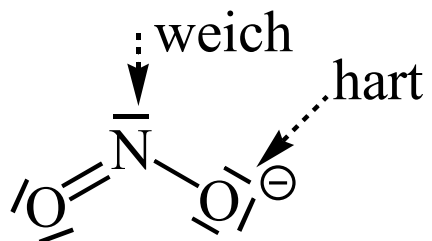
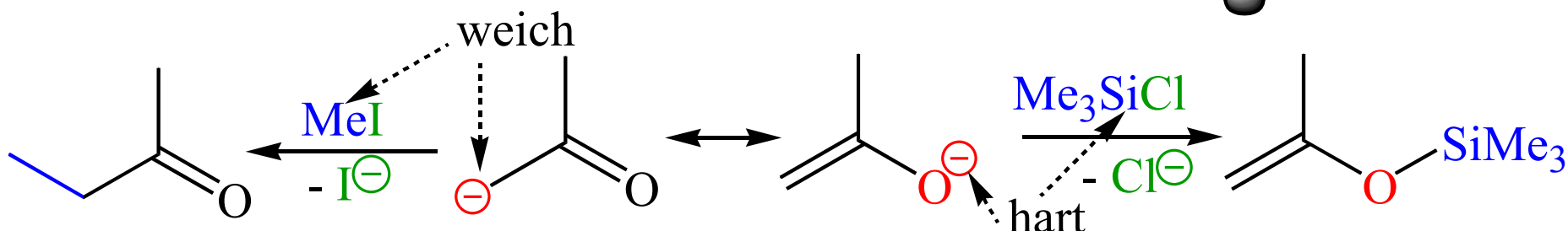
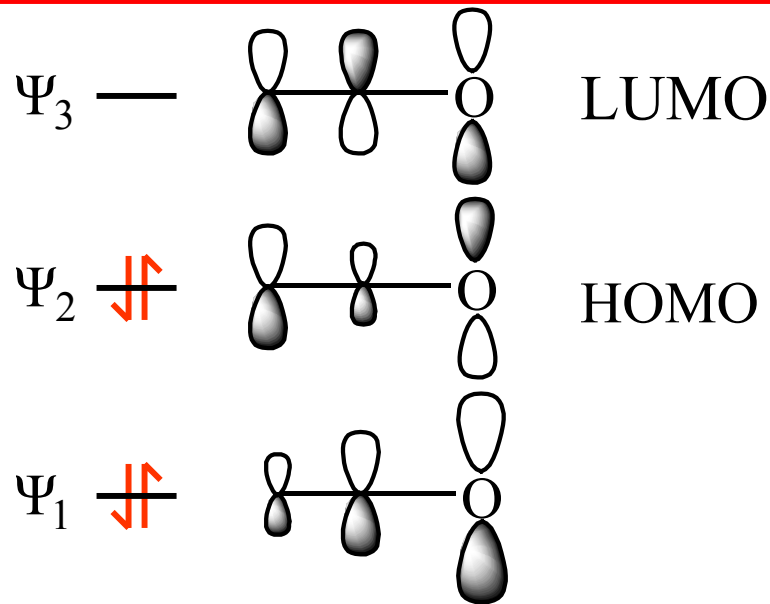
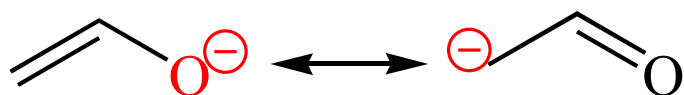


Grenzorbitalterm dominiert!

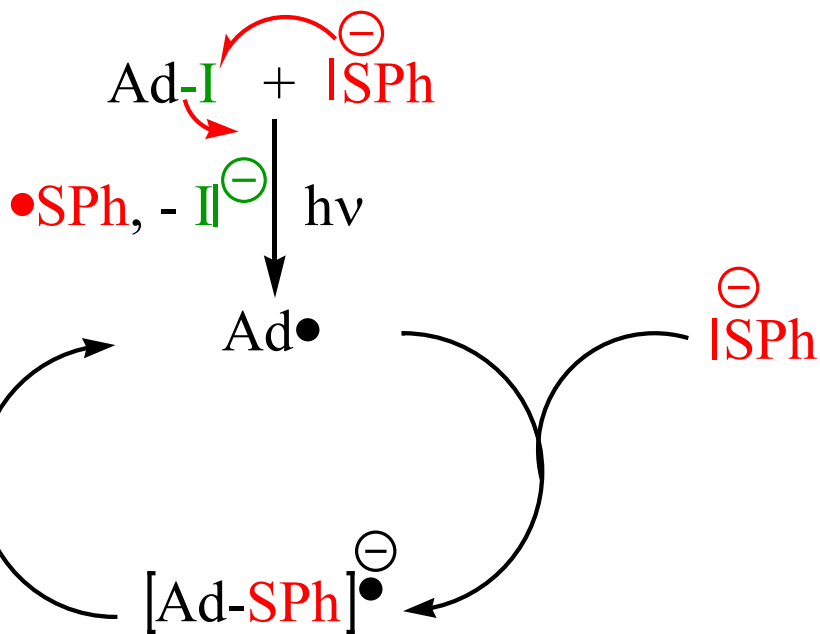
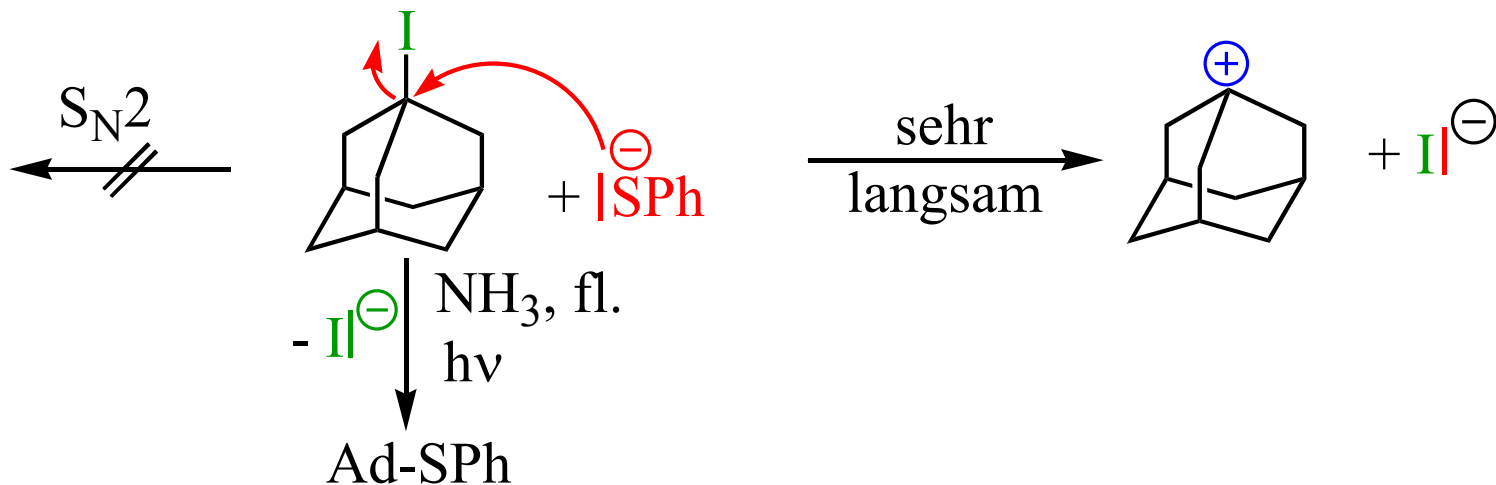


Coulomb-Term dominiert!

Ambidente Nucleophile

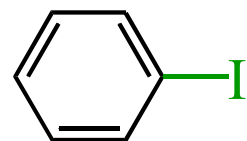
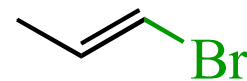
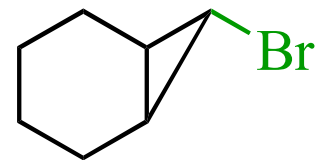


Nucleophile Substitution

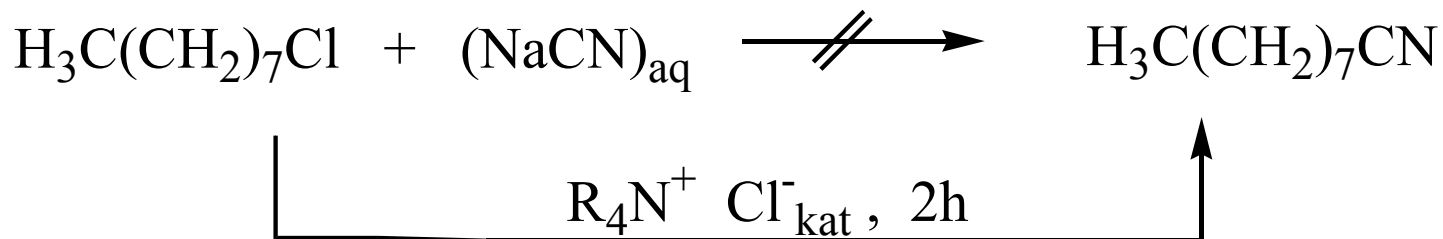


$S_{RN}1$ -Reaktion
 (IUPAC: $T + D_N + A_N$)

Analog:



Phasentransfer-Katalyse



organische Phase



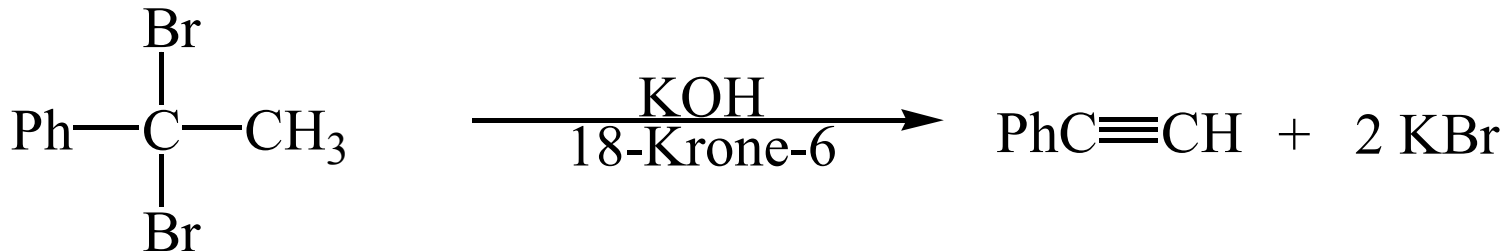
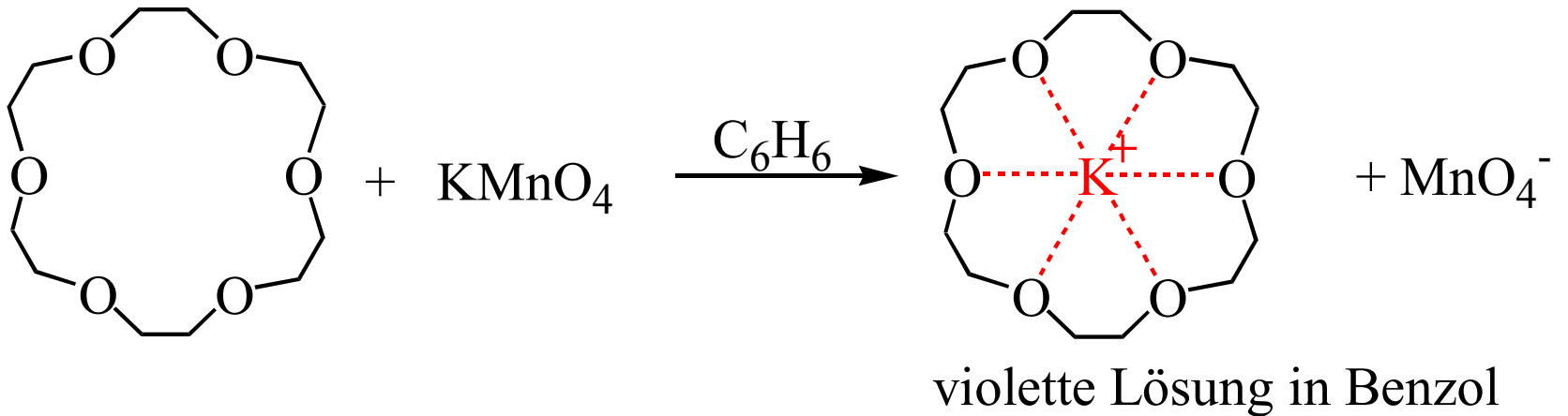
wässrige Phase



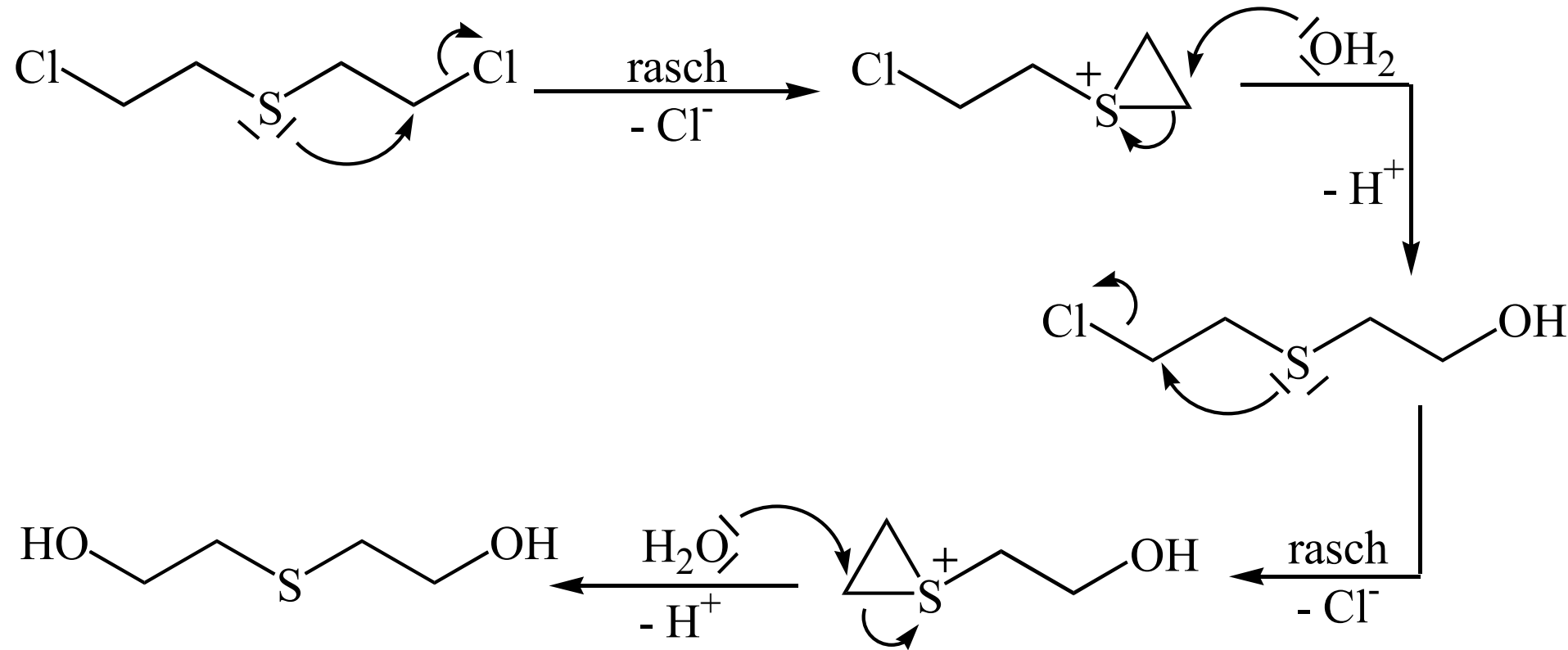
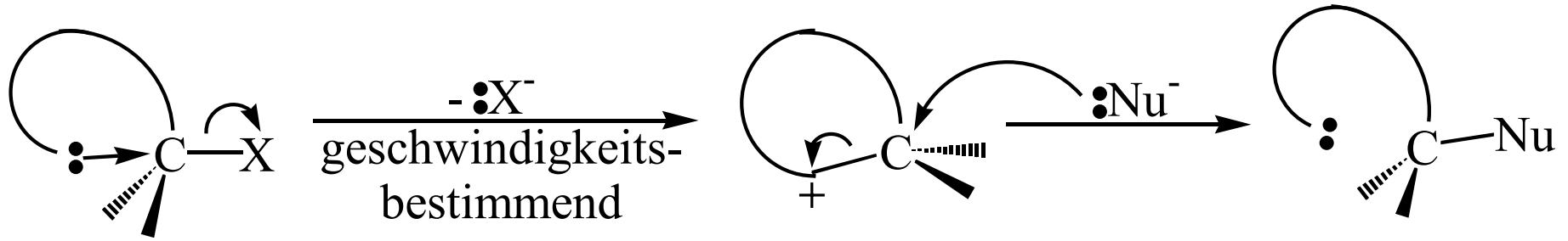
Aliquat 336
TEBA

Fest-flüssig Phasentransfer-Katalyse

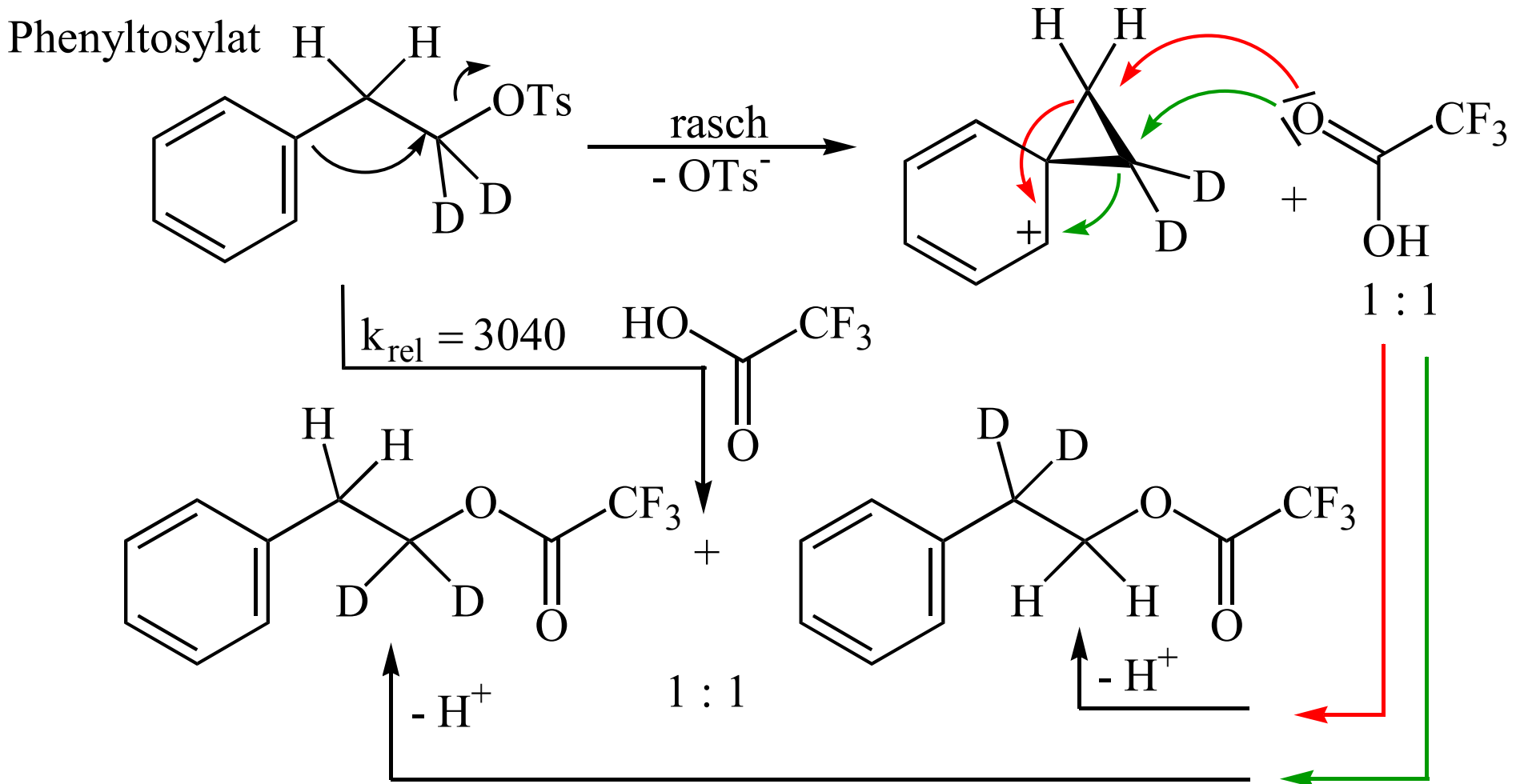
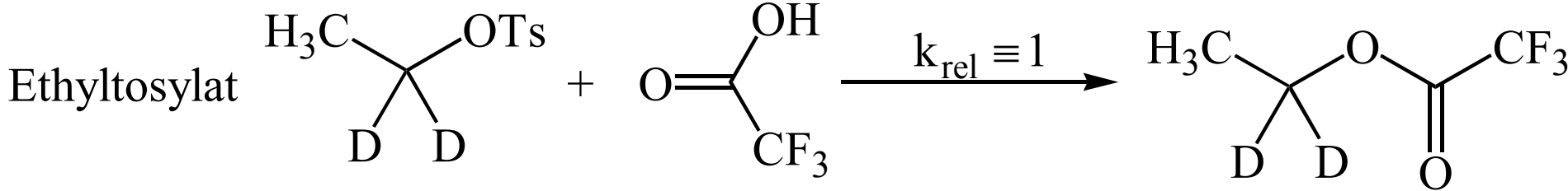
Kronenether



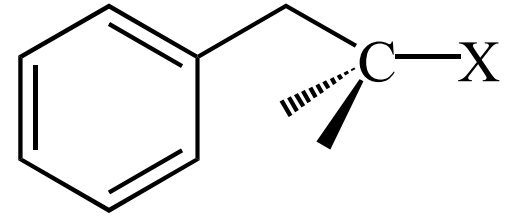
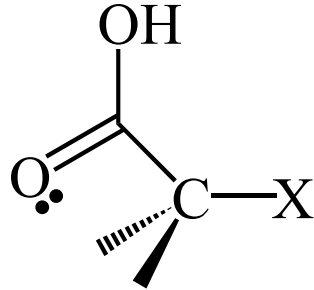
Nachbargruppeneffekte



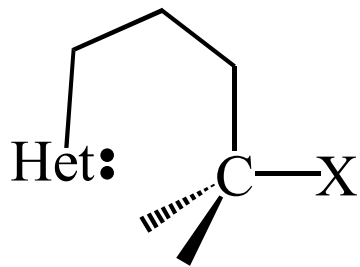
Nachbargruppenwirkungen



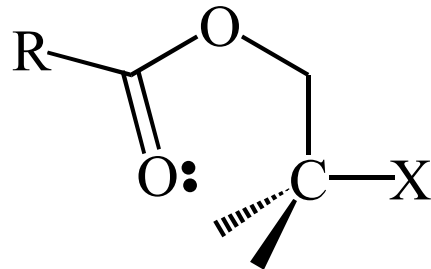
Nachbargruppenwirkungen



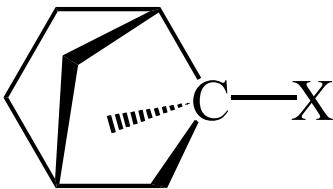
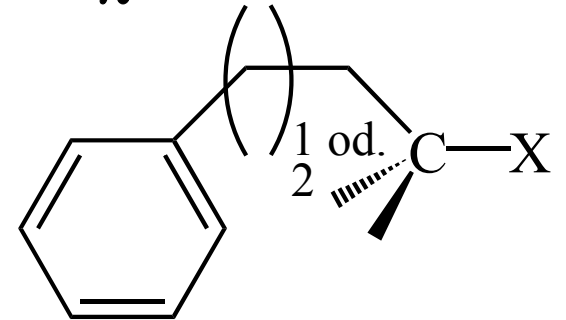
n_{sp^3}



n_{sp^2}

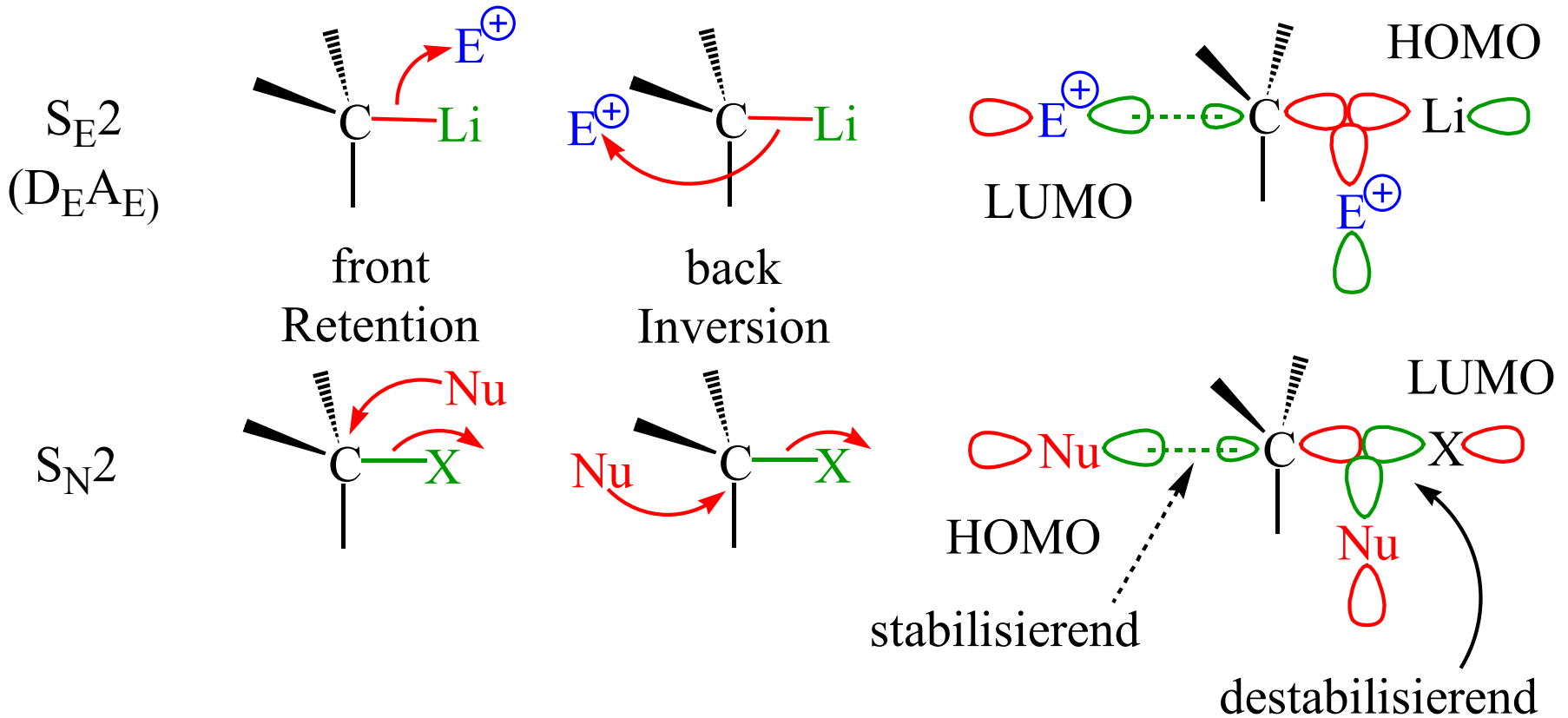
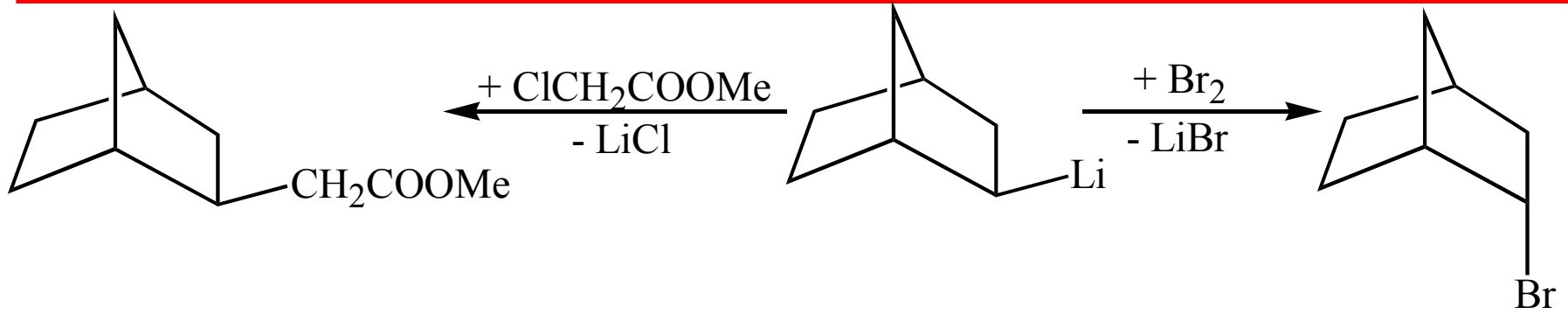


π

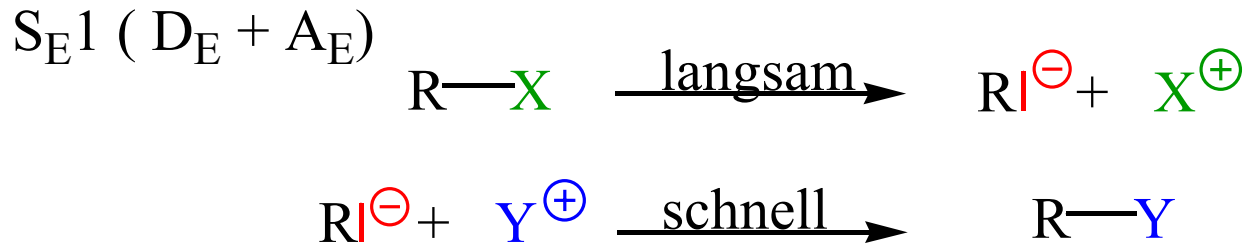
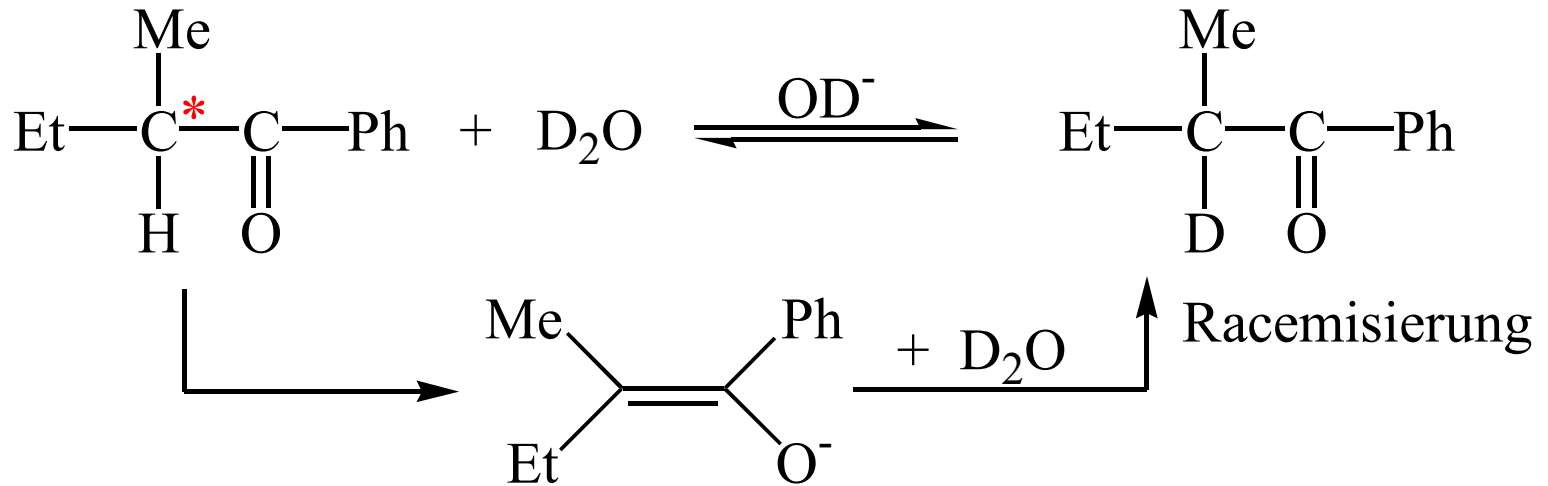


σ

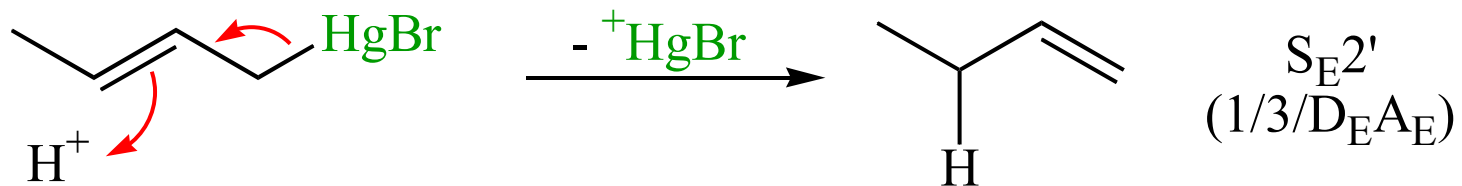
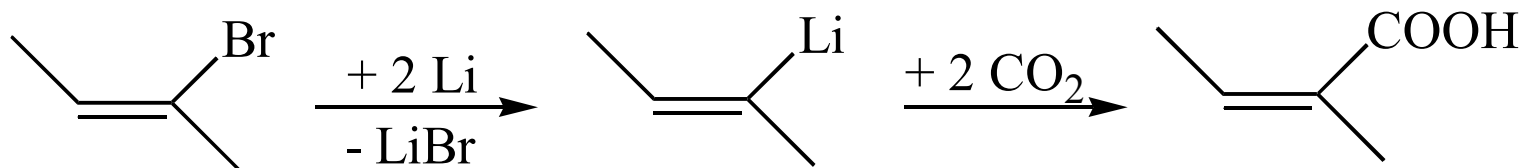
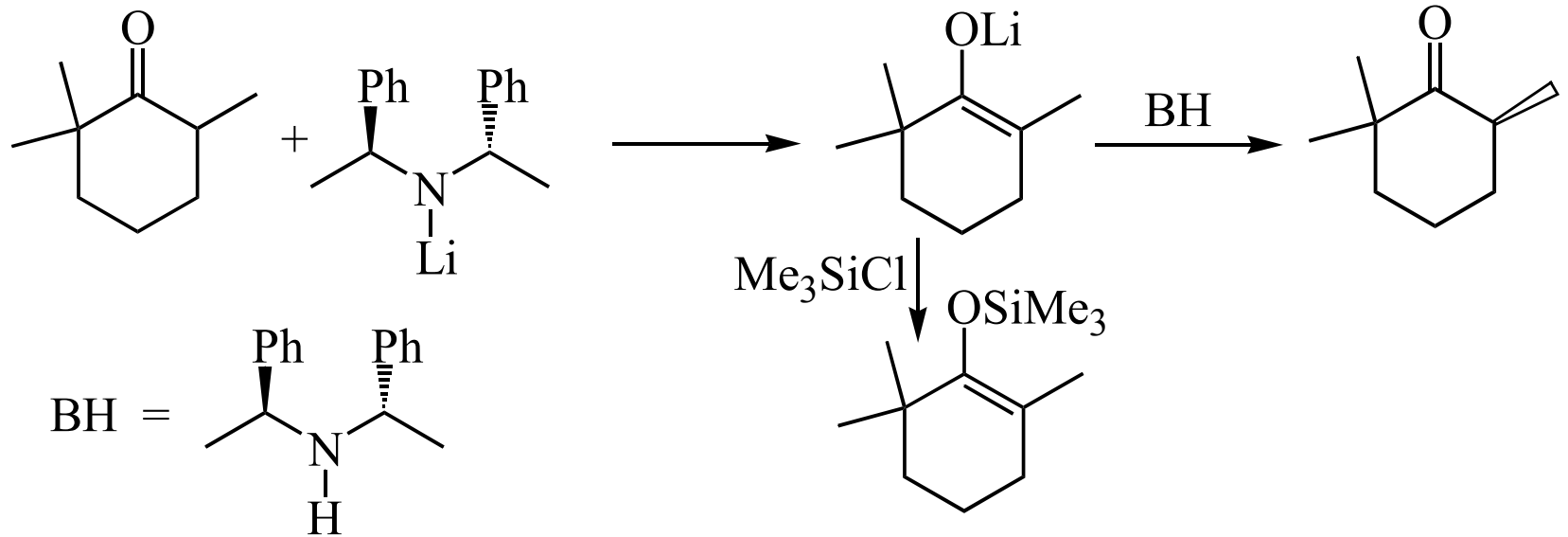
Aliphatische elektrophile Substitution



Aliphatische elektrophile Substitution

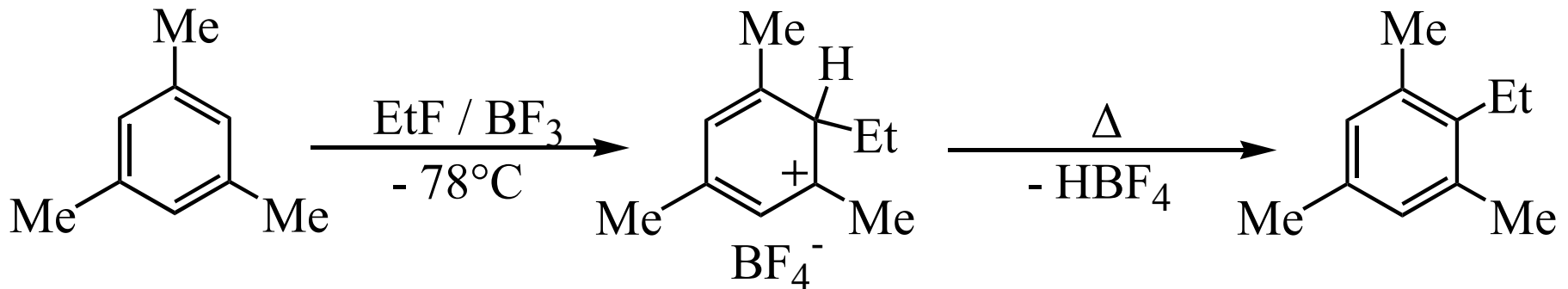


Aliphatische elektrophile Substitution



nBuHgBr reagiert 10^7 mal langsamer.

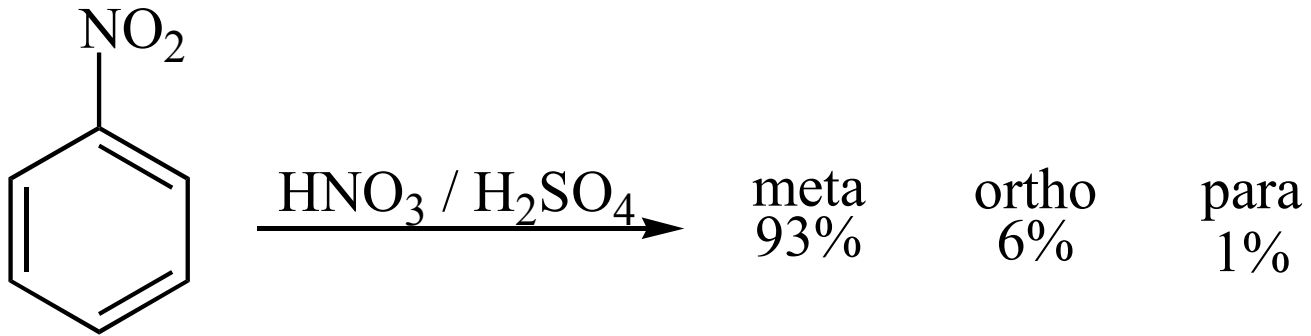
Aromatische elektrophile Substitution



Kinetischer Isotopeneffekt $k_{\text{H}}/k_{\text{D}} \approx 1$

π -Komplex i.A. nicht auf der Reaktionskoordinate

Regel der Zweitsubstitution



Anwendung des Hammond-Postulats:

- Stabilität des Areniumions

Mechanismus: $\text{A}_\text{E} + \text{D}_\text{E}$

Röntgenstrukturanalyse eines Chlorareniumkations

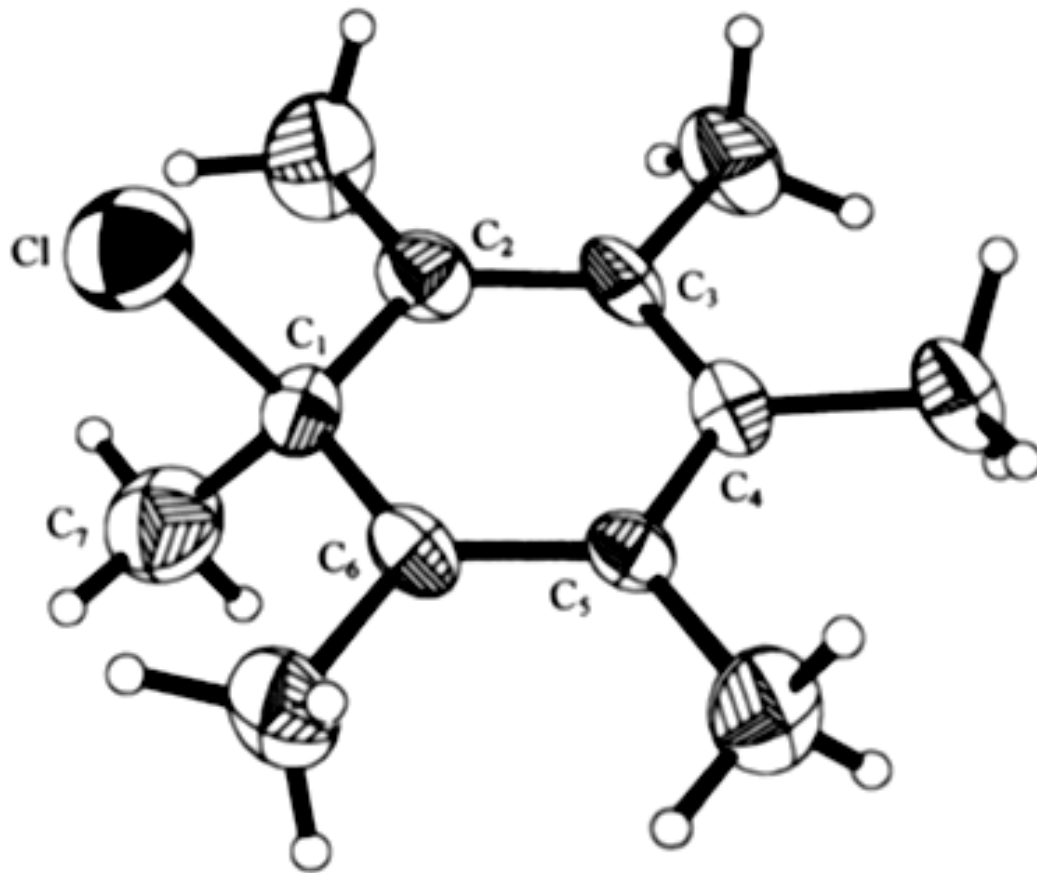
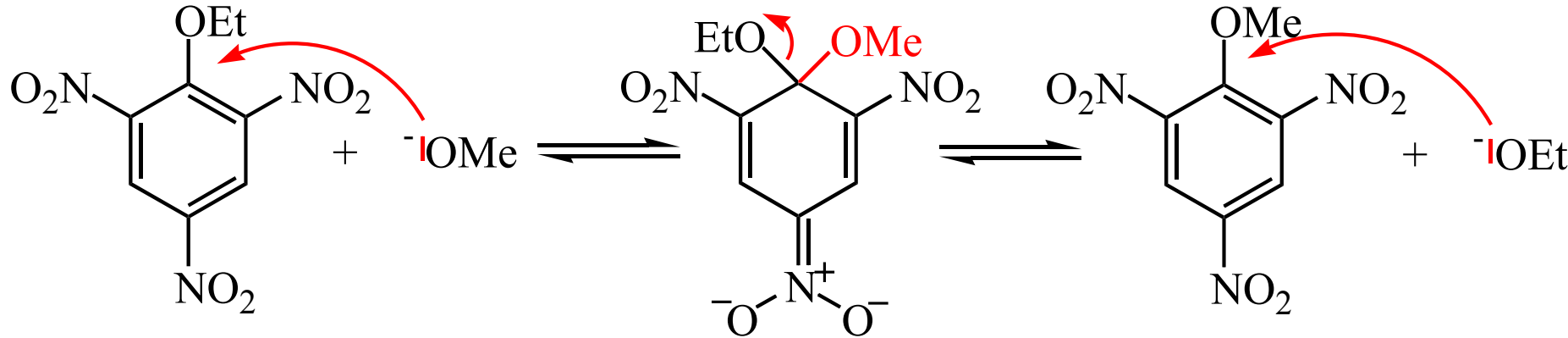


Figure 1. ORTEP diagram showing chlorine attachment to a single carbon center in the chloroarenium cation 1-Cl^+ from hexamethylbenzene

J. Am. Chem. Soc. **1998**, *120*, 13278 - 13279

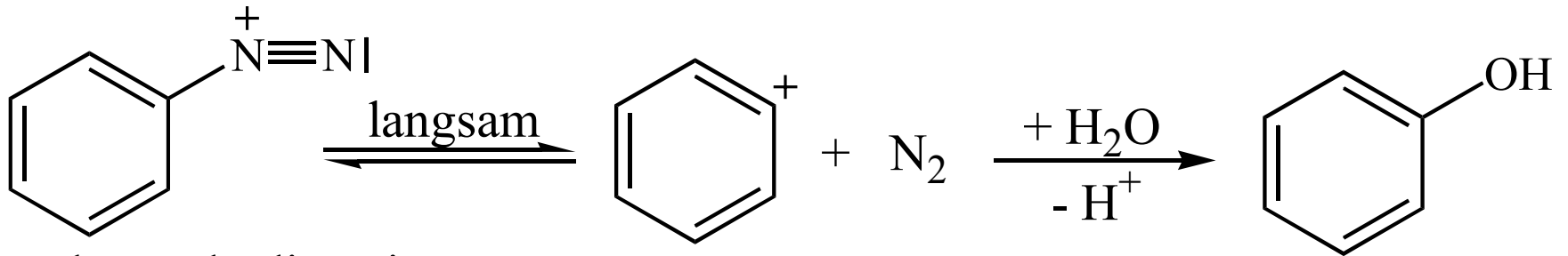
Aromatische nucleophile Substitution

S_NAr-Mechanismus (A_N + D_N)



Meisenheimer Salze

S_N1-Mechanismus (D_N + A_N)

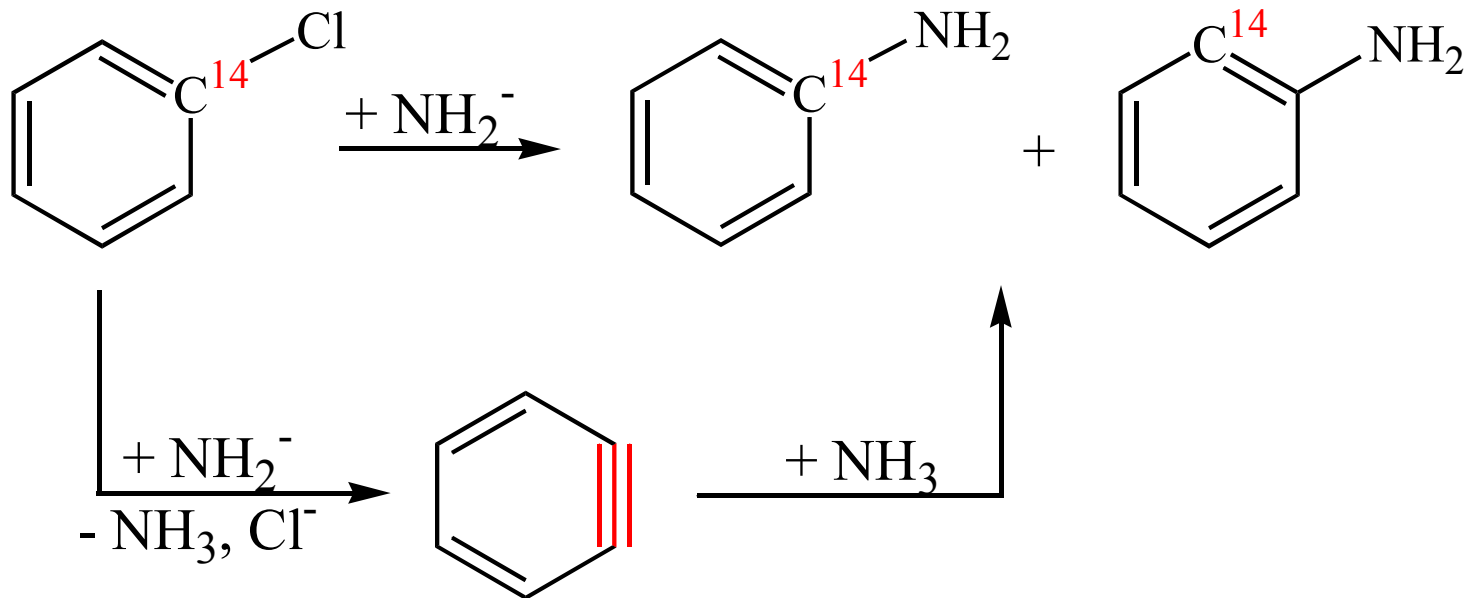
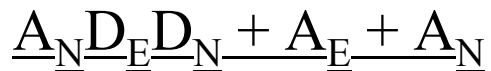


Hydroxy-de-diazotierung

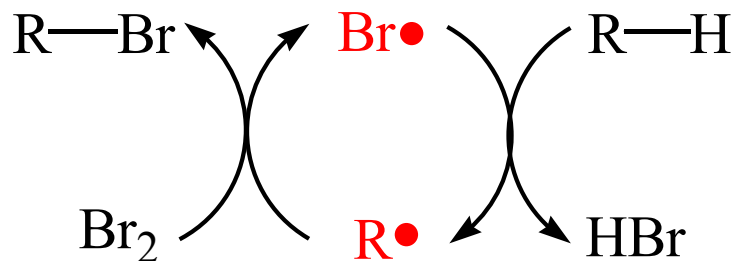


Aromatische nucleophile Substitution

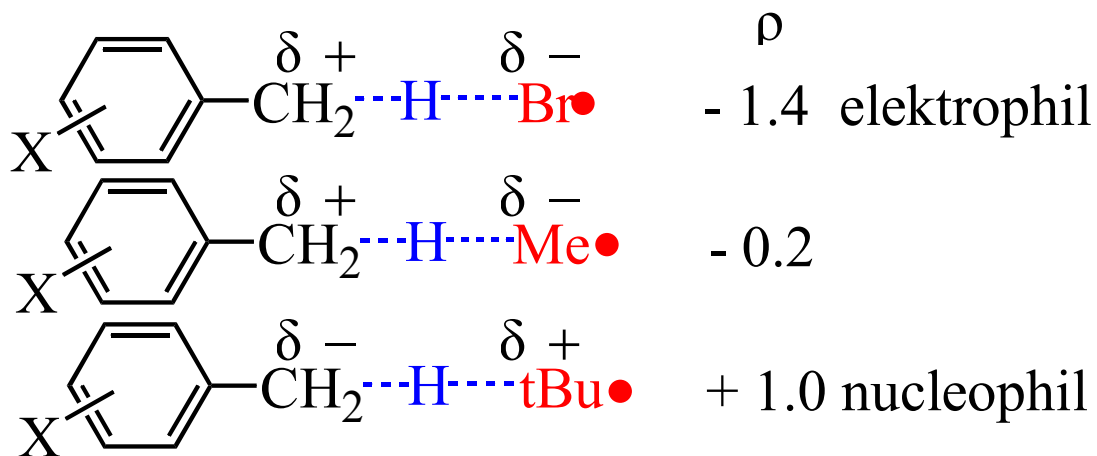
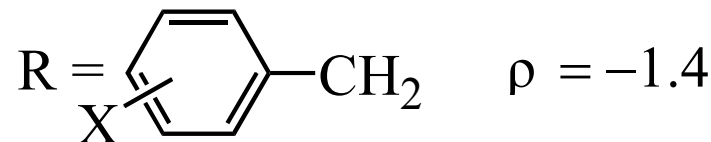
Benzin-Mechanismus: Eliminierungs-Additions-Mechanismus



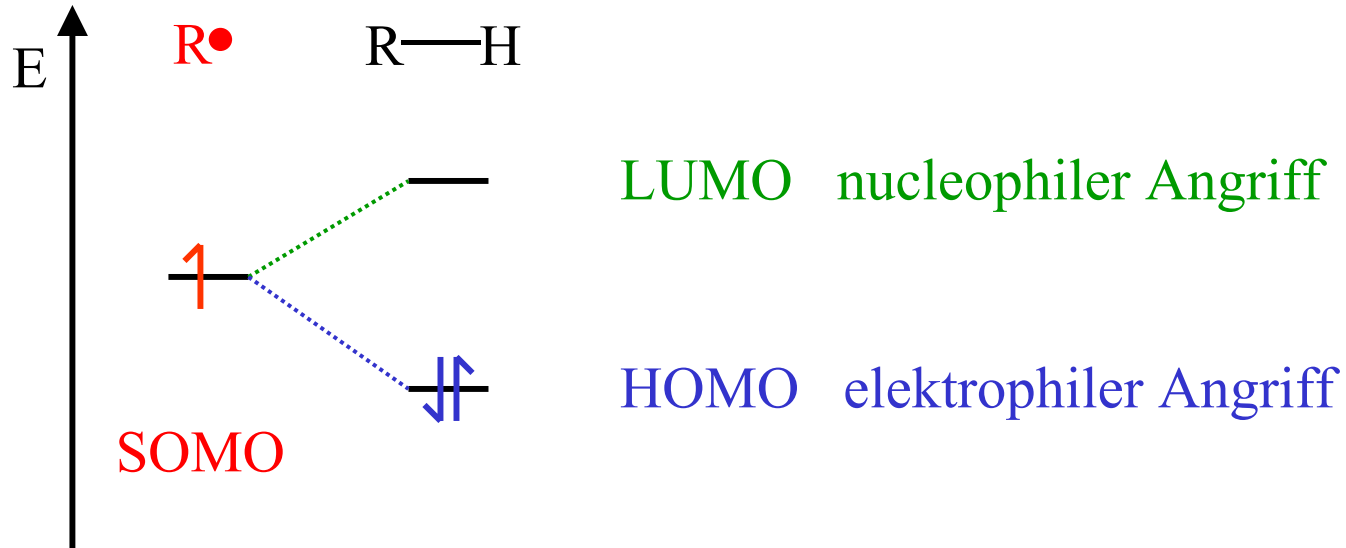
Radikalische Substitution S_H ($A_R D_R + A_R D_R$)



Kettenfortpflanzung



Radikalische Substitution

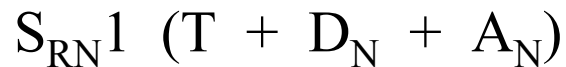
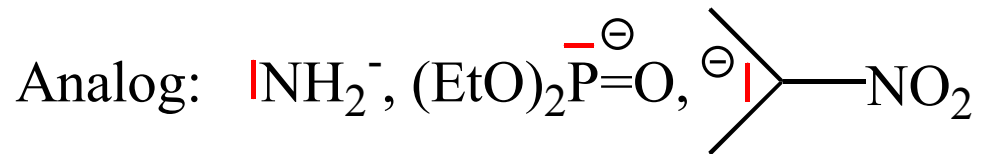
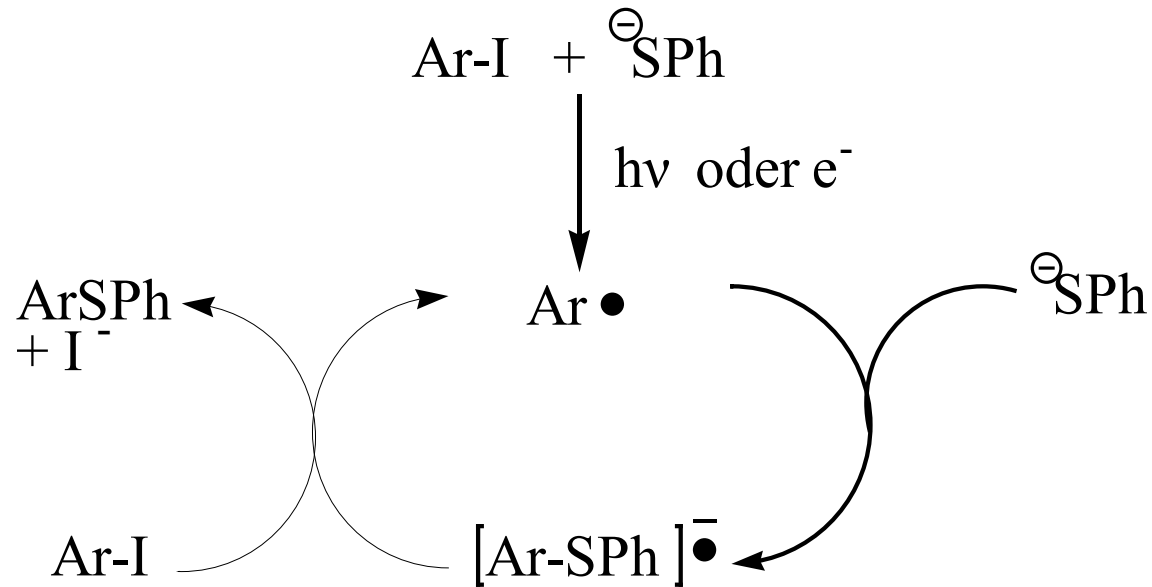
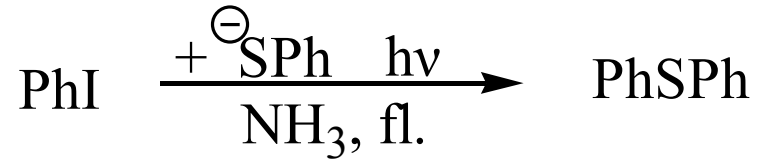


Nucleophile Rad•: $tBu\bullet$, $ROCH_2\bullet$, $R_2NCH_2\bullet$, u.a.

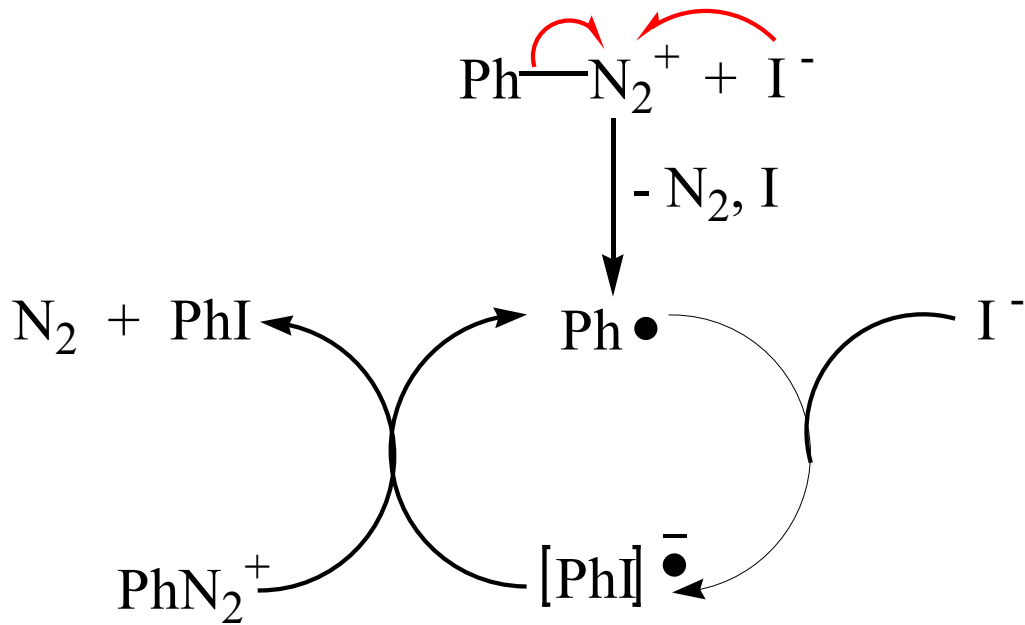
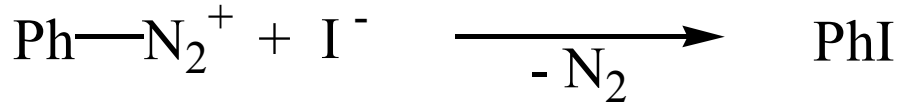
Elektrophile Rad•: $Br\bullet$, $Cl\bullet$, $\bullet CH_2CN$, $\bullet CH_2COOMe$, u.a.

	H_3C-CH_2-COOH	
$Me\bullet$	1	7.8
$Cl\bullet$	1	0.03

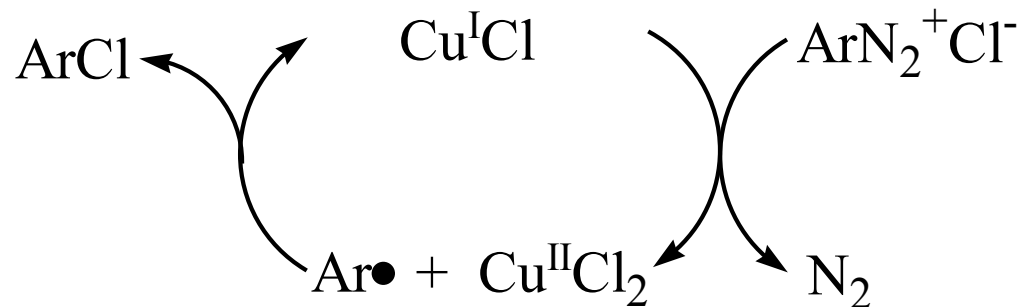
Radikalische Substitution



Radikalische Substitution

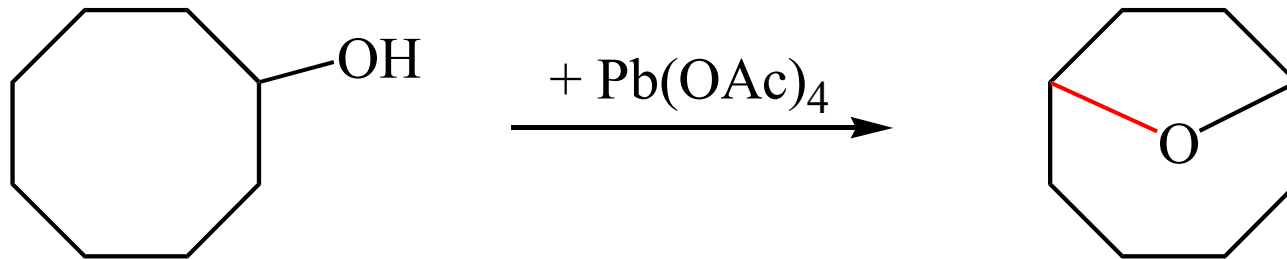
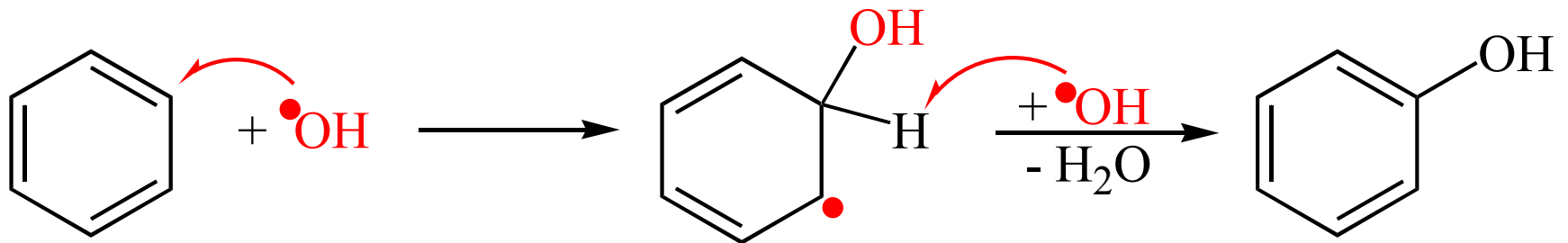
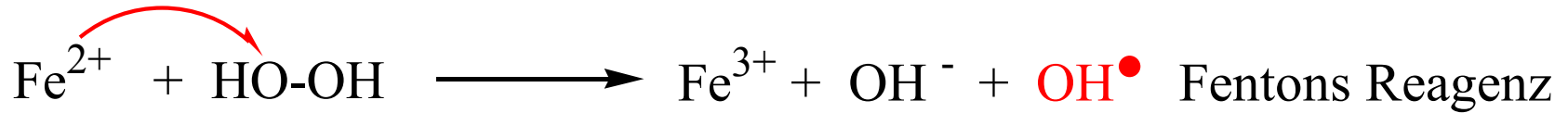


Analog: PhS^- , NO_2^-

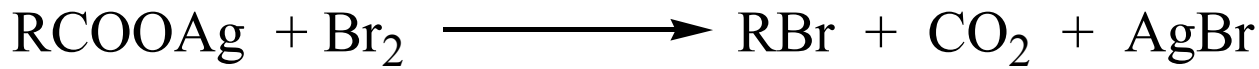
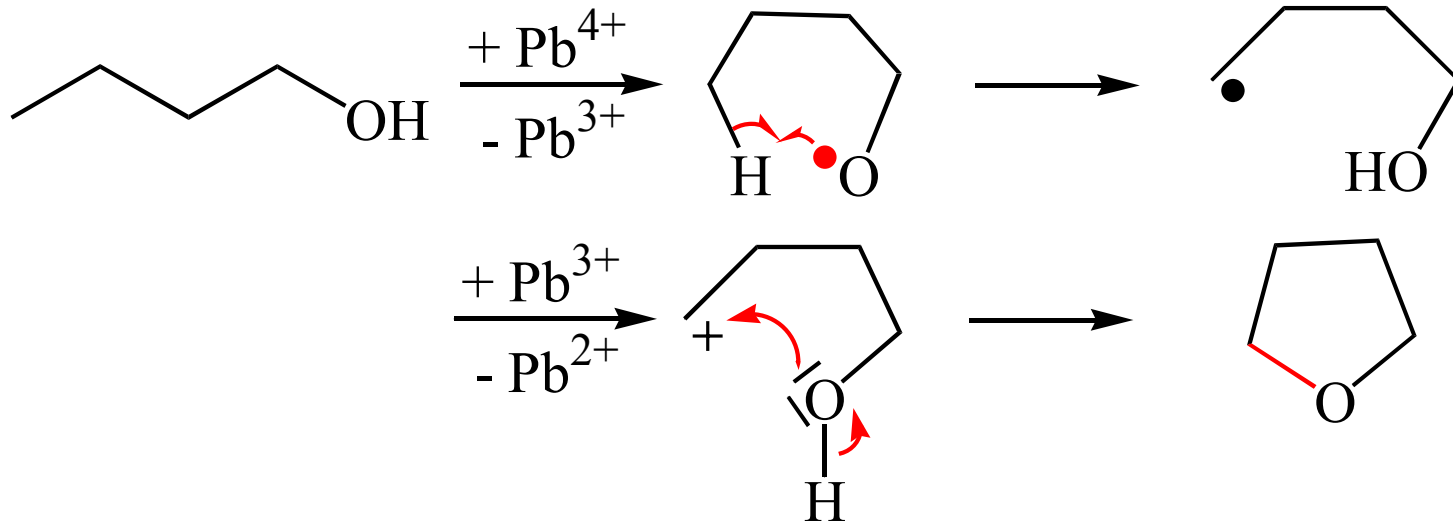


Sandmeyer
(CuBr , CuCN)

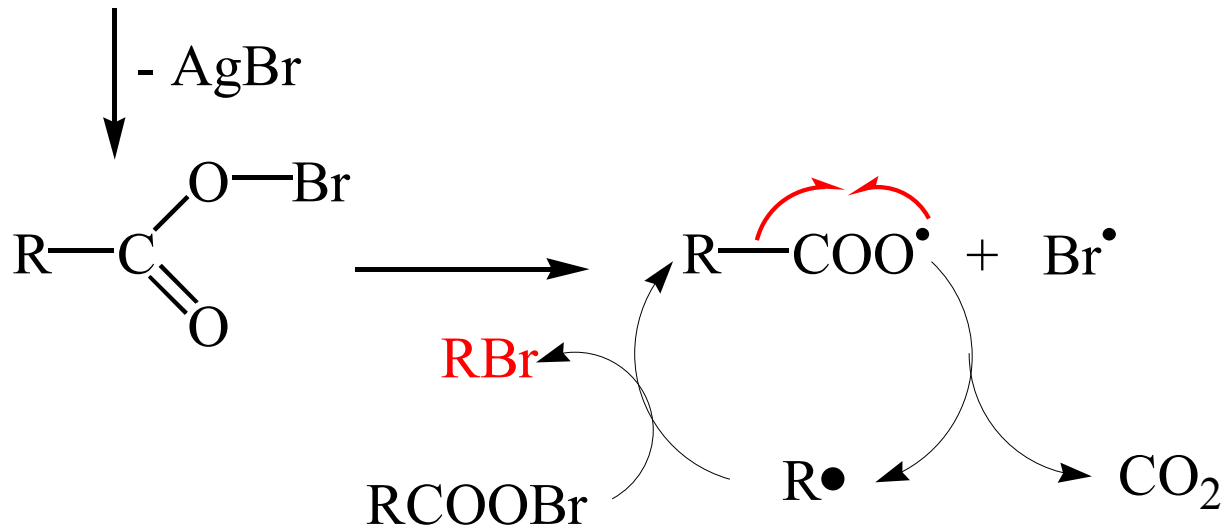
Radikalische Substitution



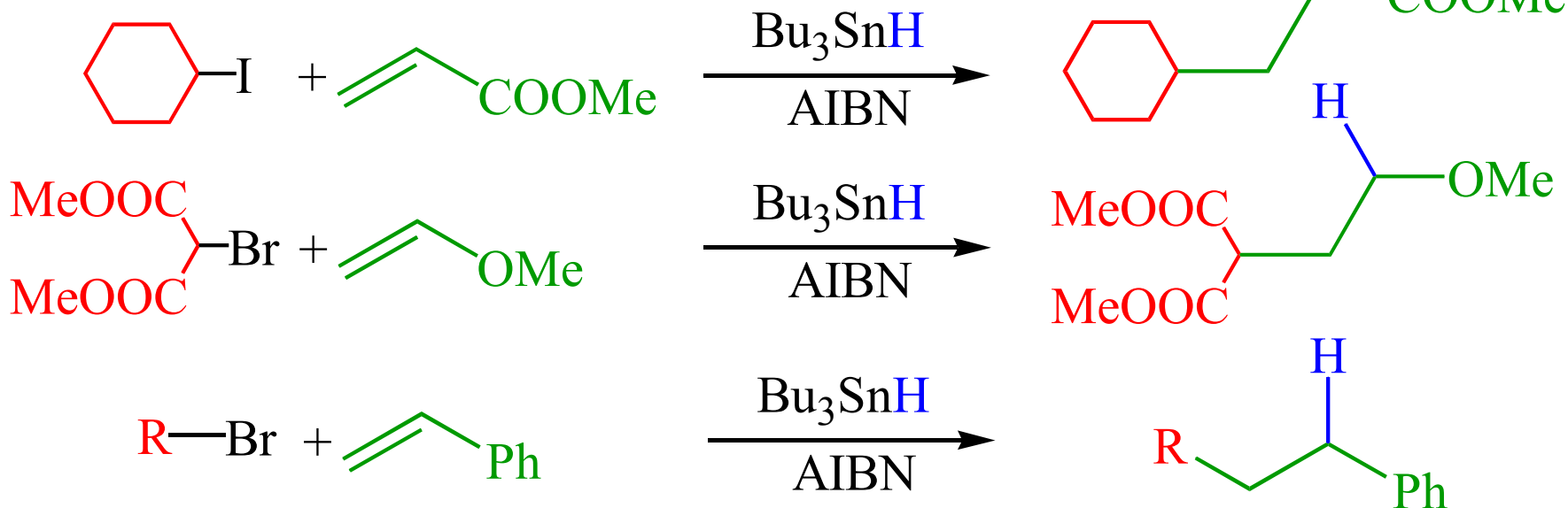
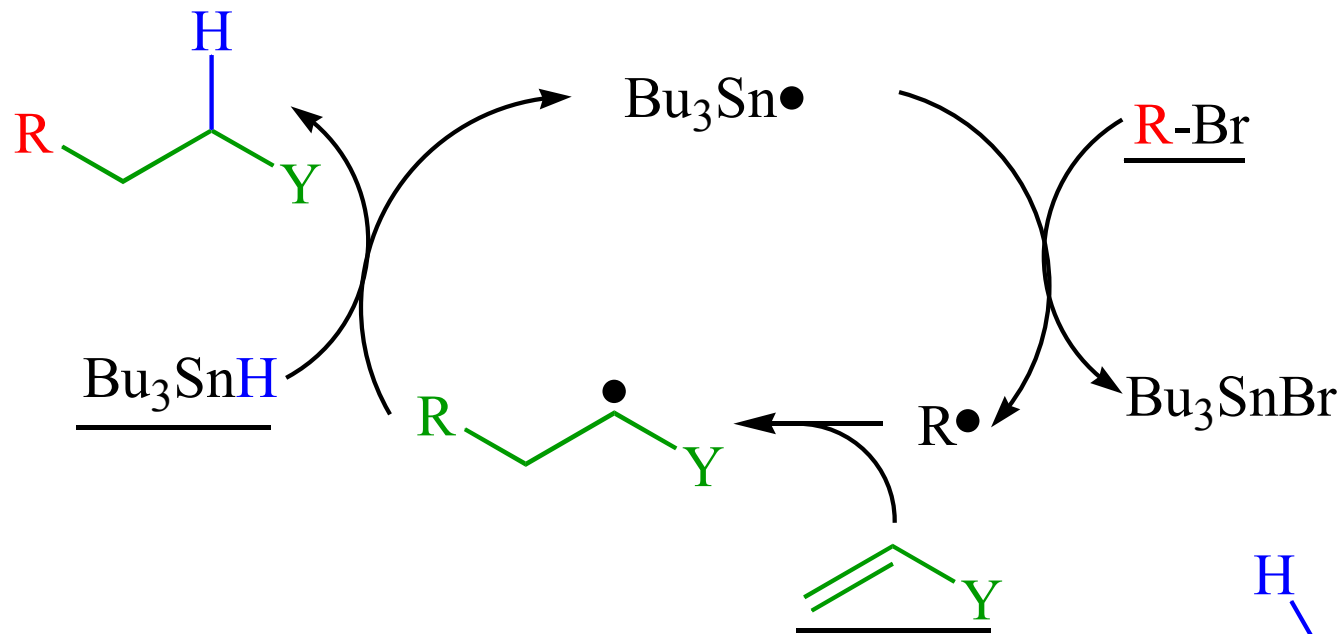
Hydroxylierung von Aromaten



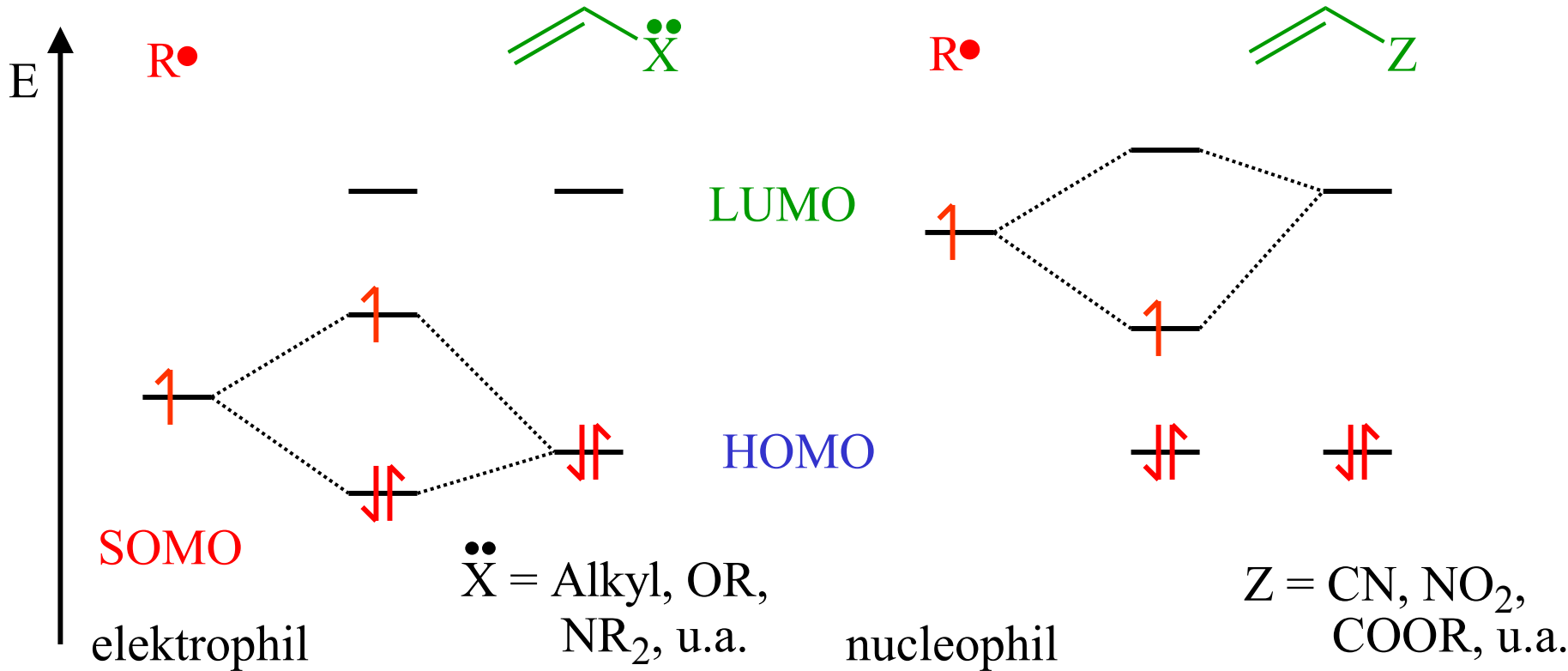
Hunsdiecker
Reaktion



Radikalische Additionen ($A_R + A_R D_T$)

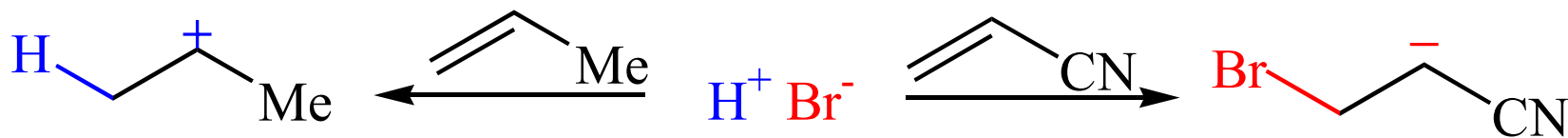
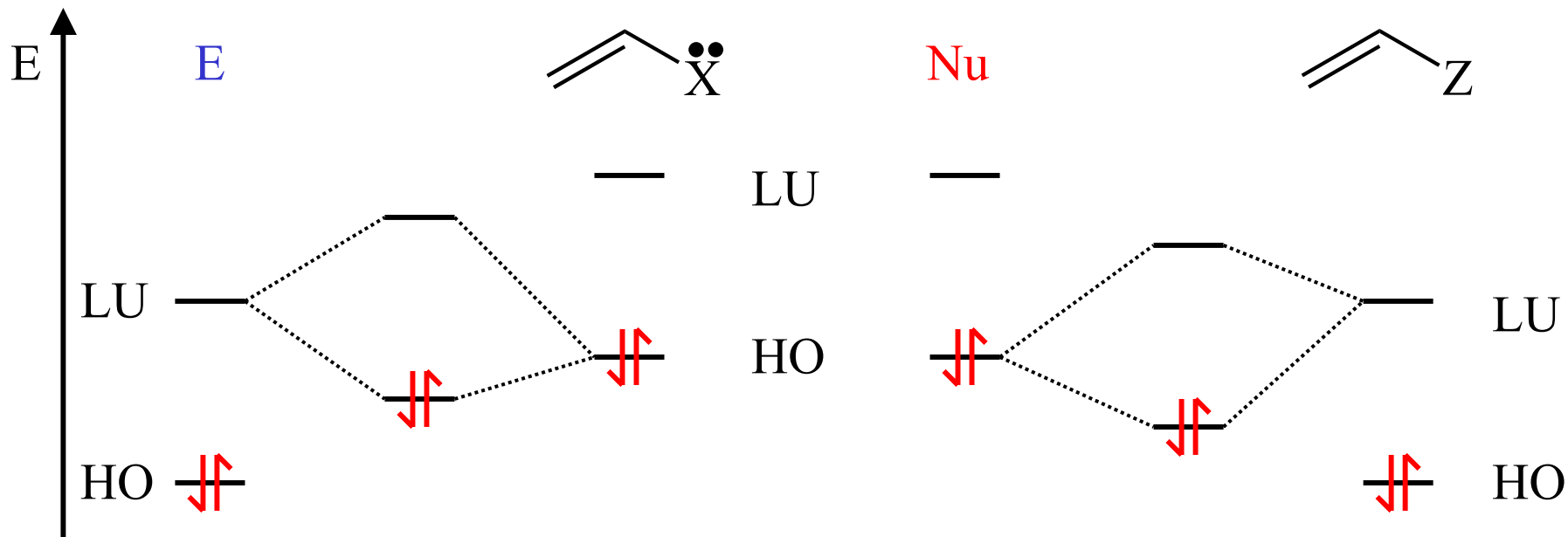


Radikalische Additionen



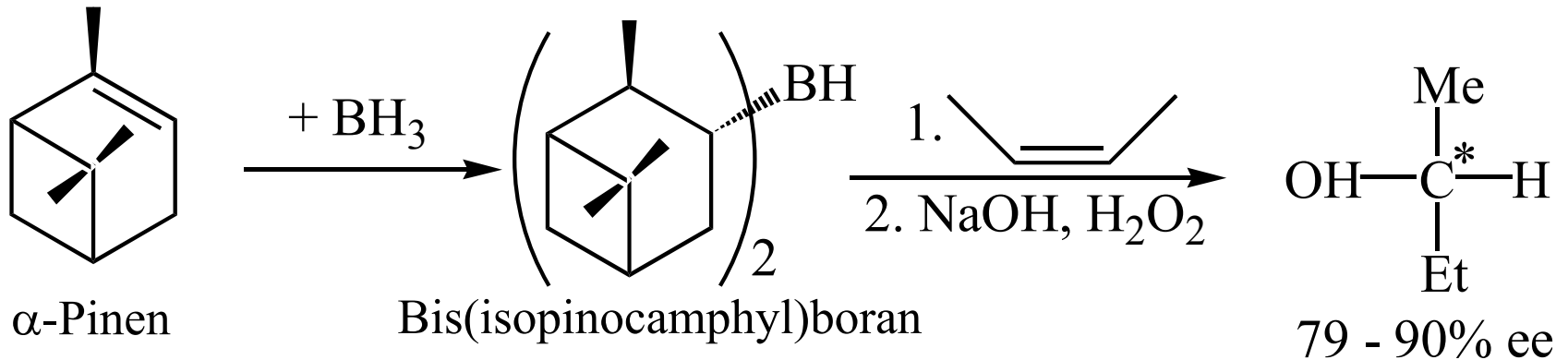
Elektrophile $R\bullet$ addieren schneller an elektronenreiche,
 nucleophile $R\bullet$ schneller an elektronenarme Doppelbindungen
 und umgekehrt.

Elektrophile ($A_E + A_N$) und nucleophile ($A_N + A_E$) Additionen

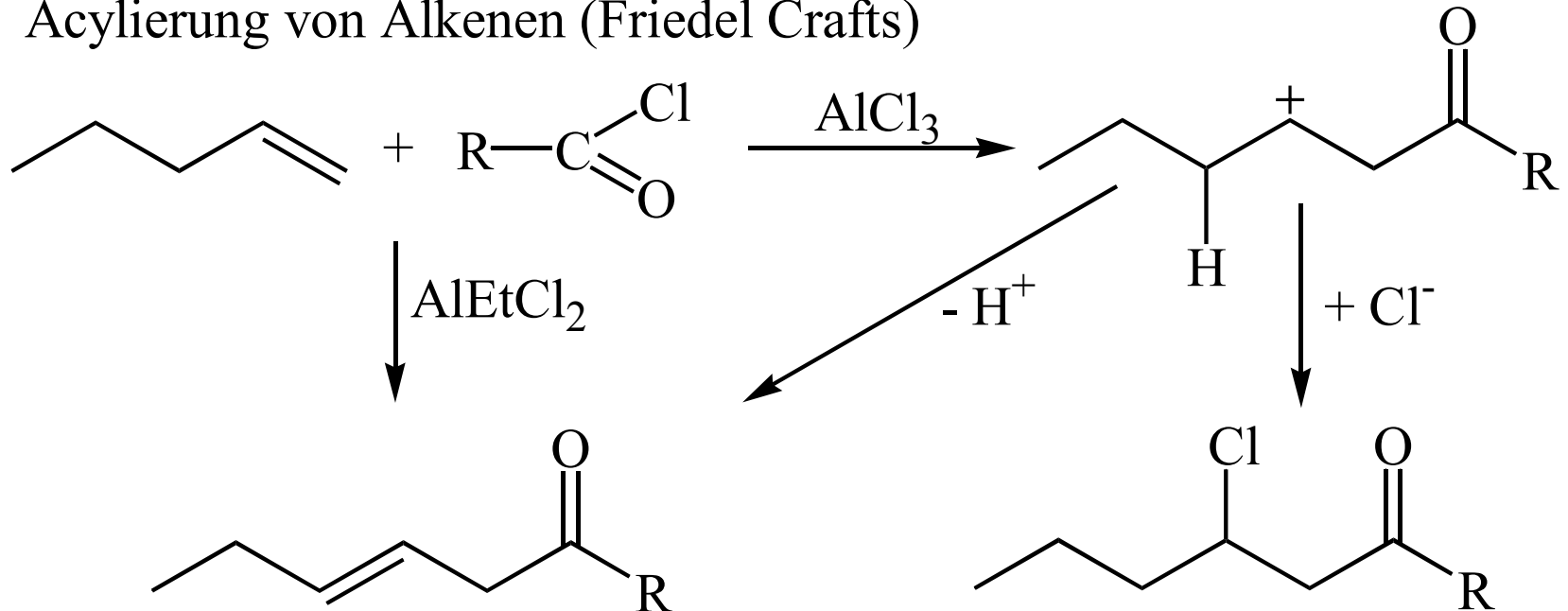


Elektrophile Additionen

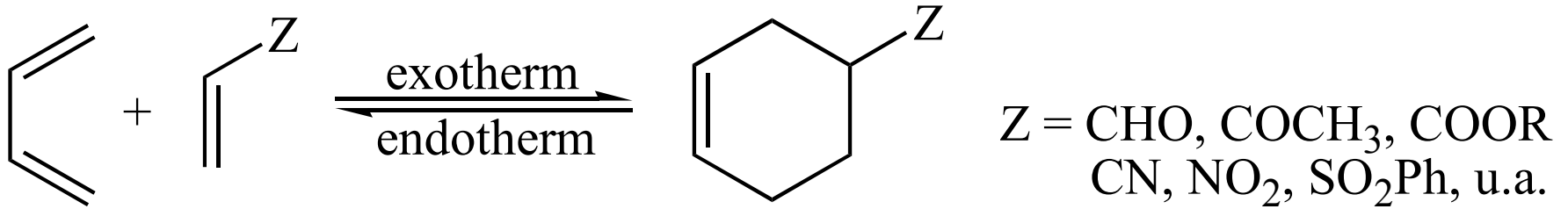
Hydroborierung (H.C. Brown, 1979 Nobelpreis)



Acylierung von Alkenen (Friedel Crafts)

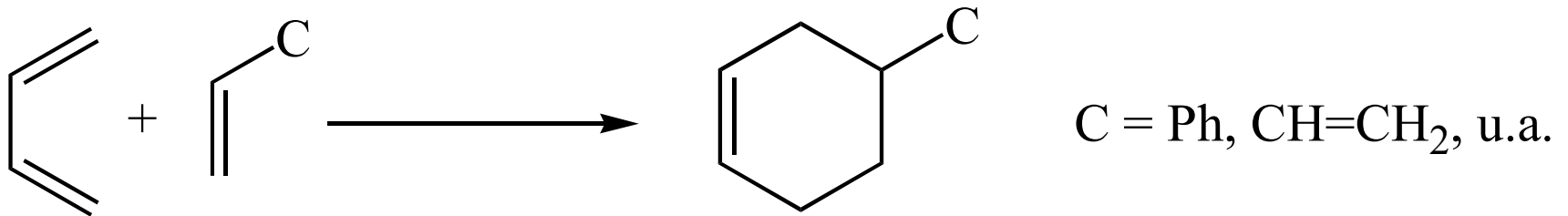


Cycloaddition - Cycloreversion

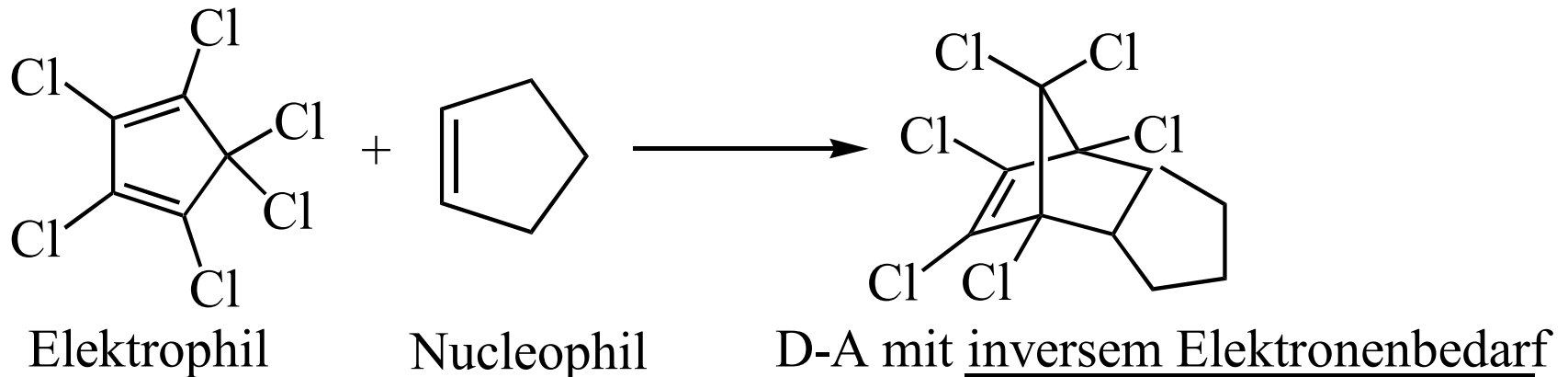


Dien Dienophil

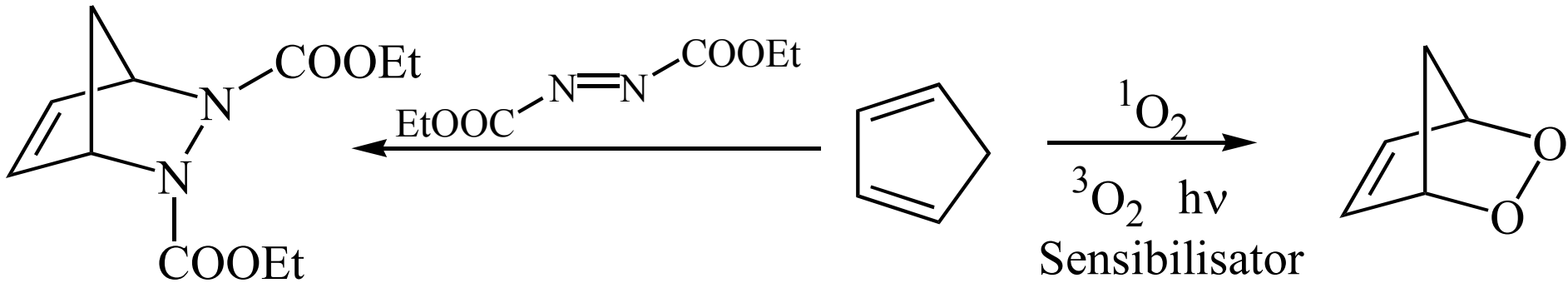
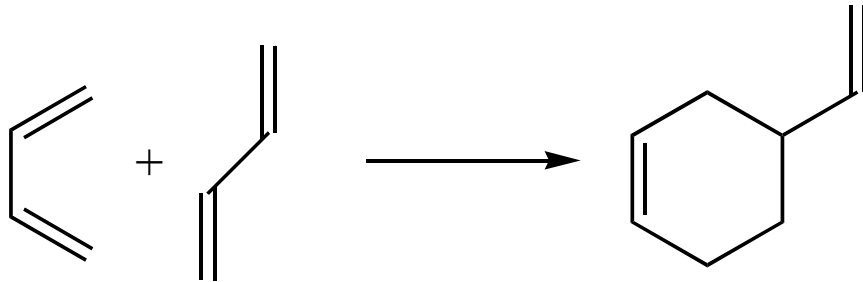
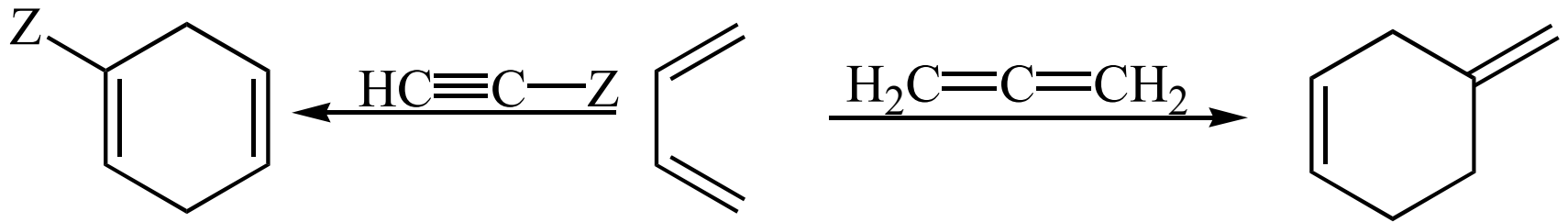
Diels-Alder-Reaktion \rightleftharpoons Retro-Diels-Alder (Nobelpreis 1950)



Diels-Alder mit normalem Elektronenbedarf

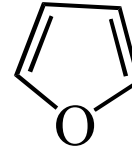
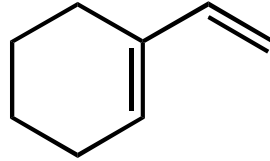
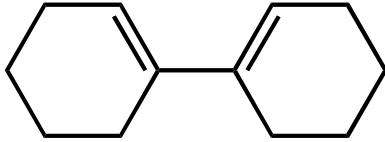
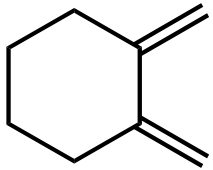


Dienophile

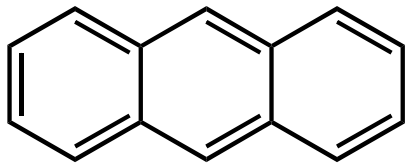


Heterodienophile: $-\text{C}\equiv\text{N}$ $-\text{C}=\text{N}-$ $-\text{N}=\text{O}$ $-\text{C}=\text{O}$ u.a.

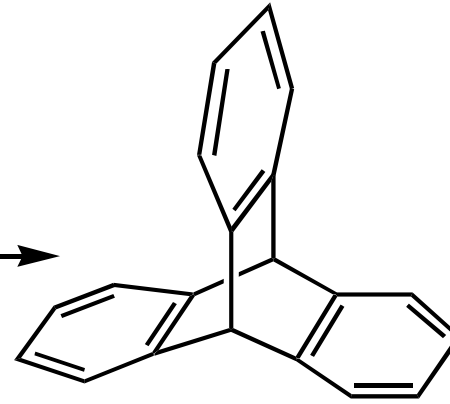
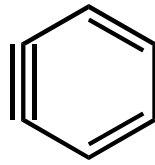
1,3-Diene



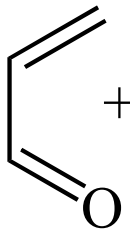
cisoid
Konformation



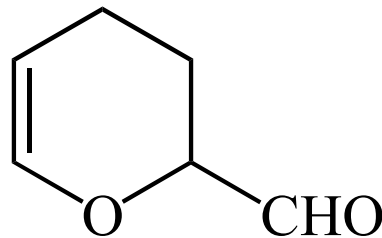
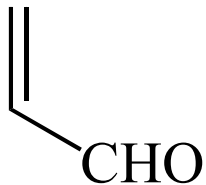
+



Triptycen

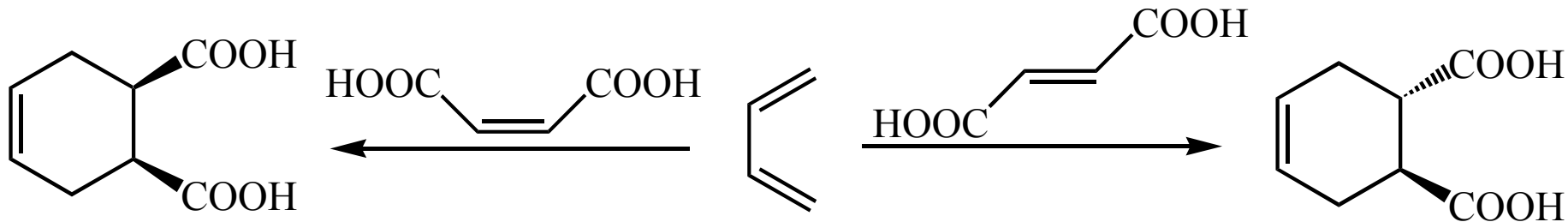


+



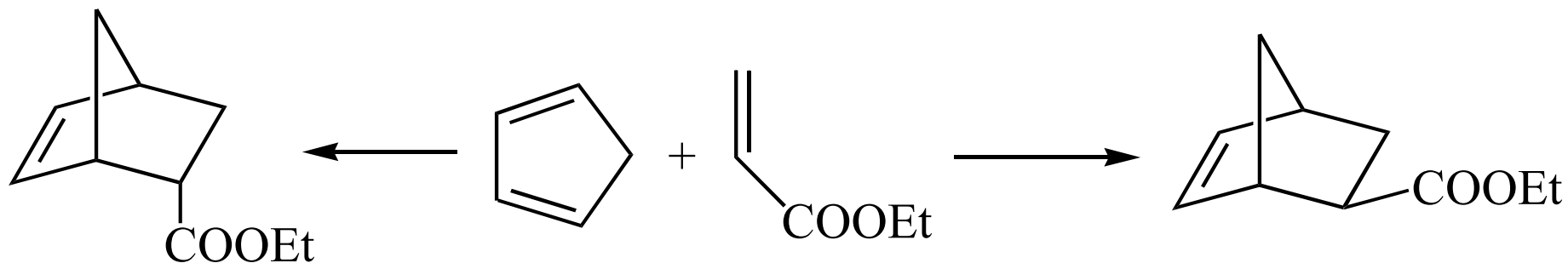
Regioselektiv

Stereochemie



stereospezifische syn-Addition,
suprafacial

Diels-Alder Reaktion ist $\pi^4_s + \pi^2_s$ (4 + 2)-Cycloaddition

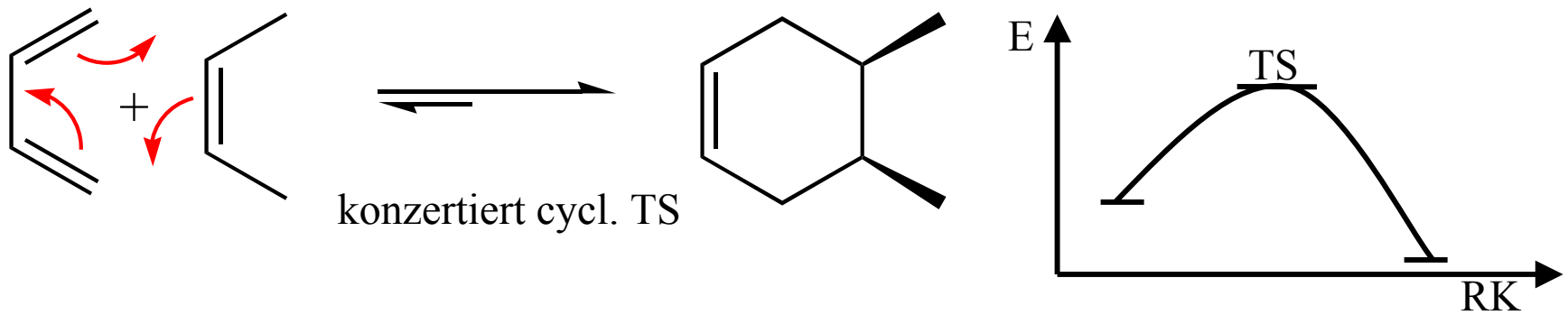


endo: kinetische Kontrolle

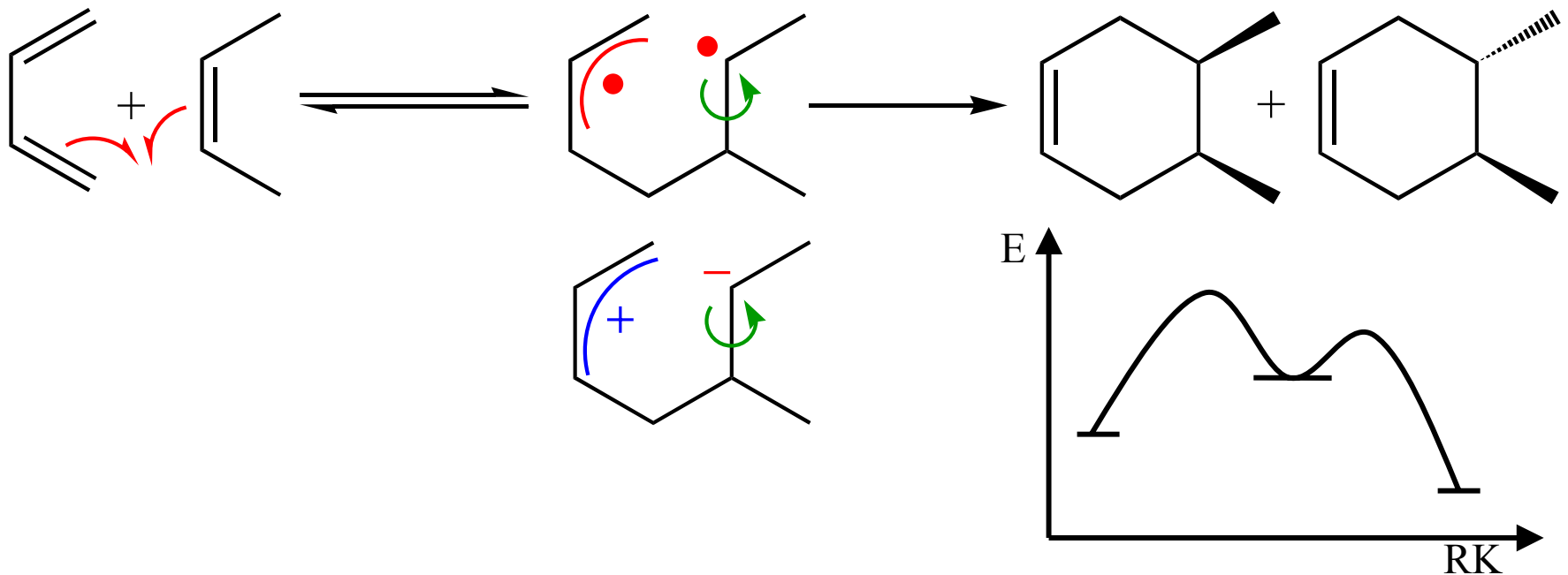
exo: thermodyn. Kontrolle

D-A wird durch Lewis-Säuren beschleunigt, endo-Selektivität wird erhöht.

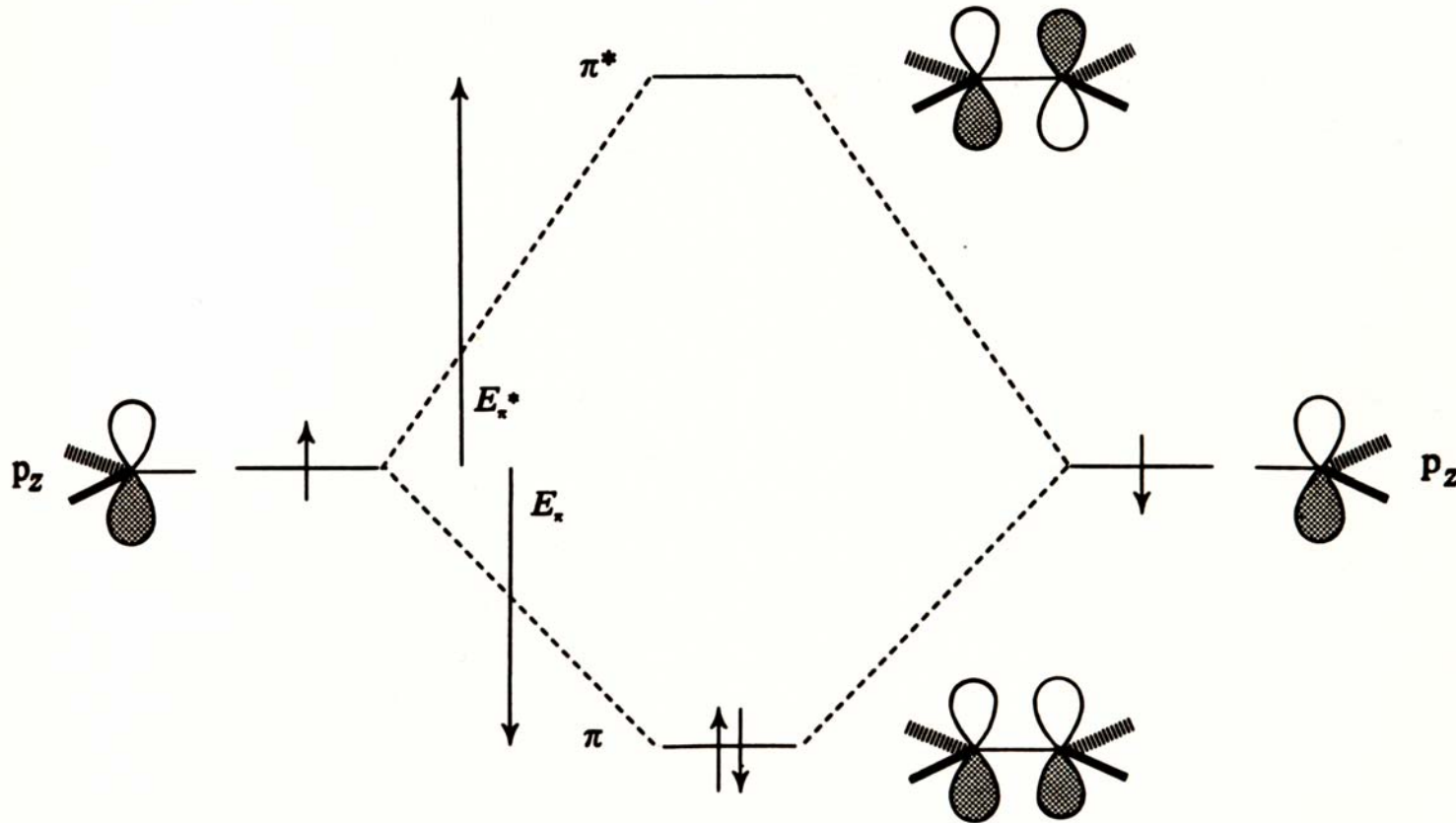
Mechanismus



Woodward (Nobelpreis 1965), R.Hoffmann (1985): Pericyclische Reaktionen

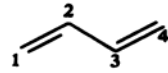


Orbitale der C=C-Bindung

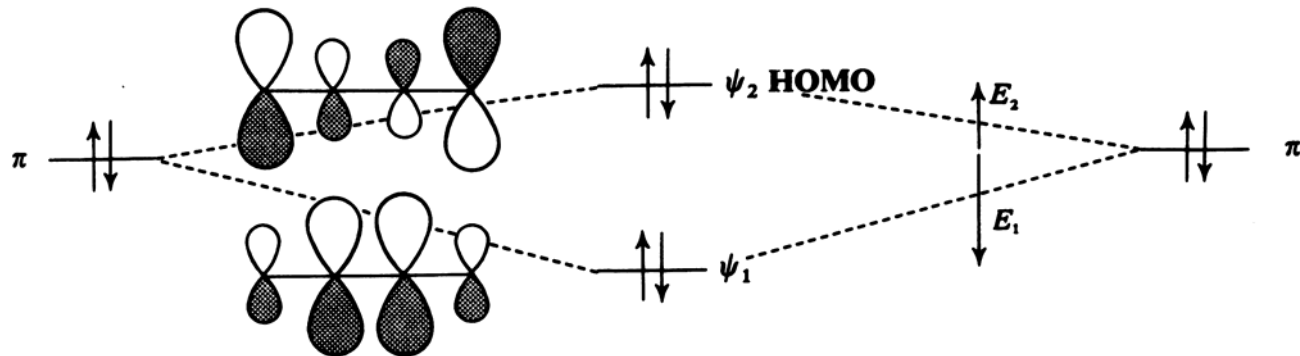
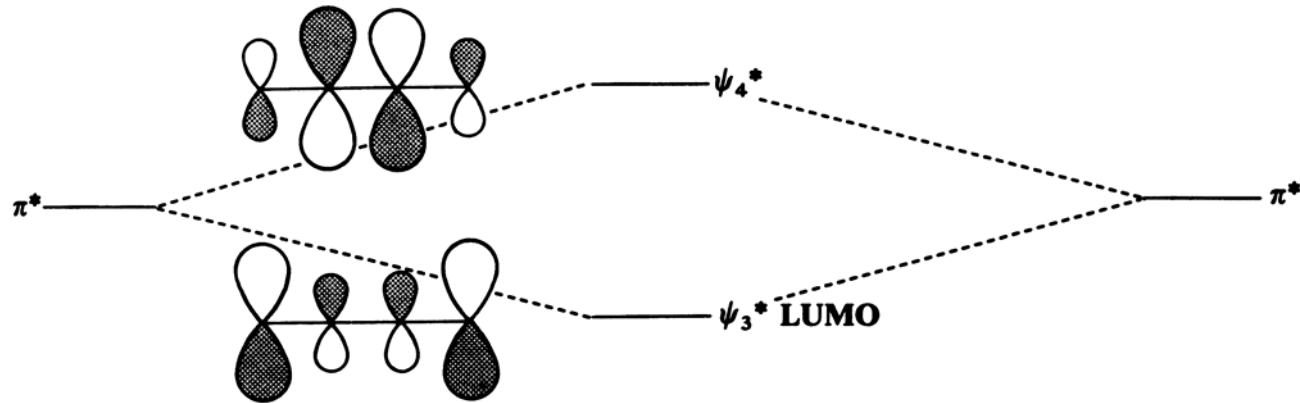


Eine C=C- π -Bindung.

Orbitale der C=C-Bindung

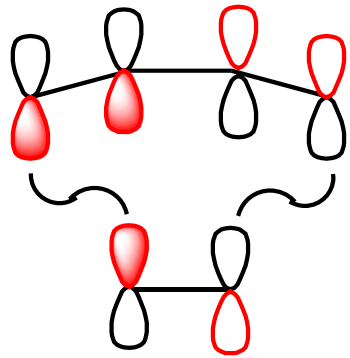


(23)



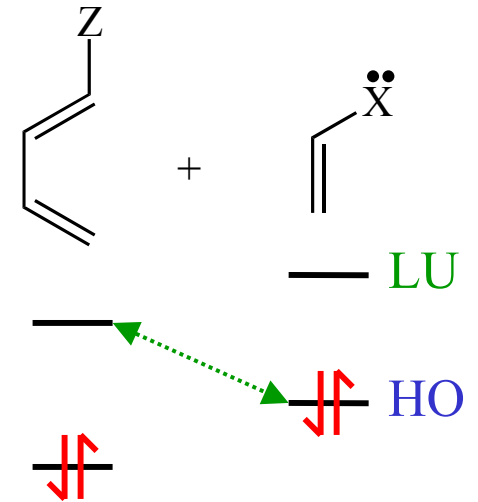
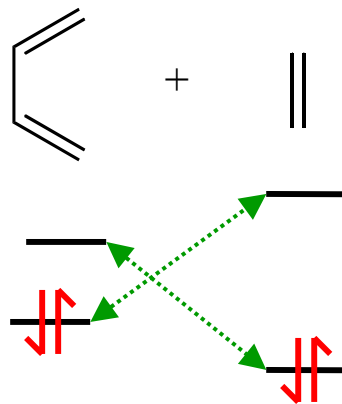
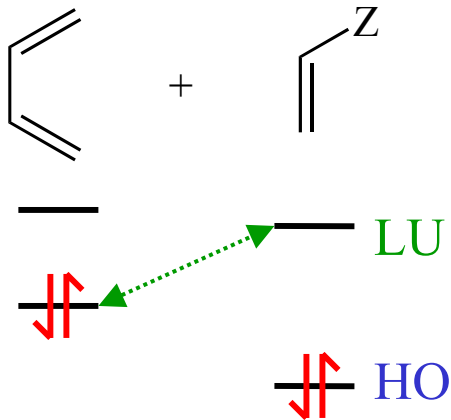
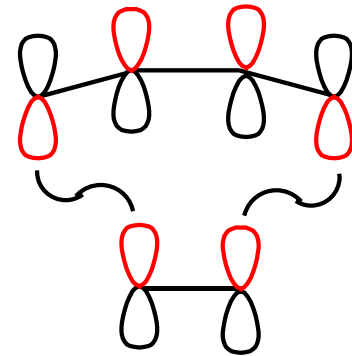
Die Energien der π -MOs von Ethylen und 1,3-Butadien.

Grenzorbitalwechselwirkungen



HOMO Dien LUMO

LUMO Dienophil HOMO

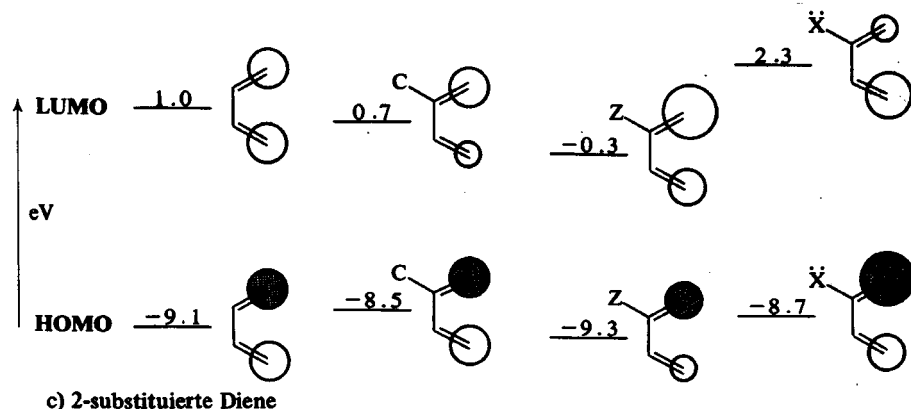
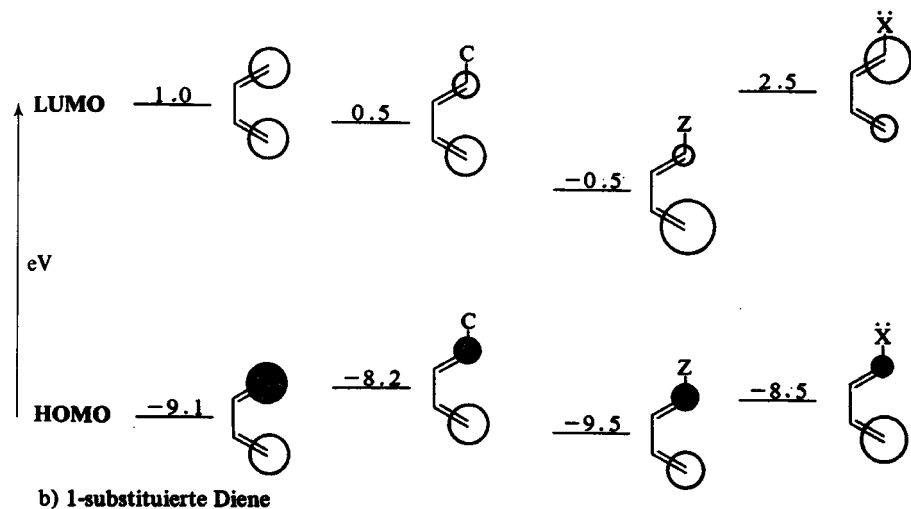
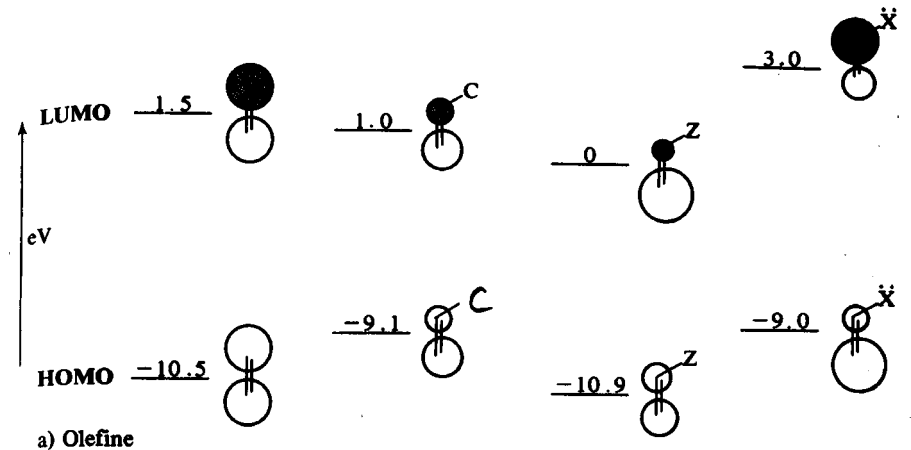


HOMO_{Dien} - **LUMO**_{Dienophil}
 dominierend
 D-A mit normalem
 Elektronenbedarf

HOMO_{Dienophil} - **LUMO**_{Dien}
 dominierend
 D-A mit inversem
 Elektronenbedarf

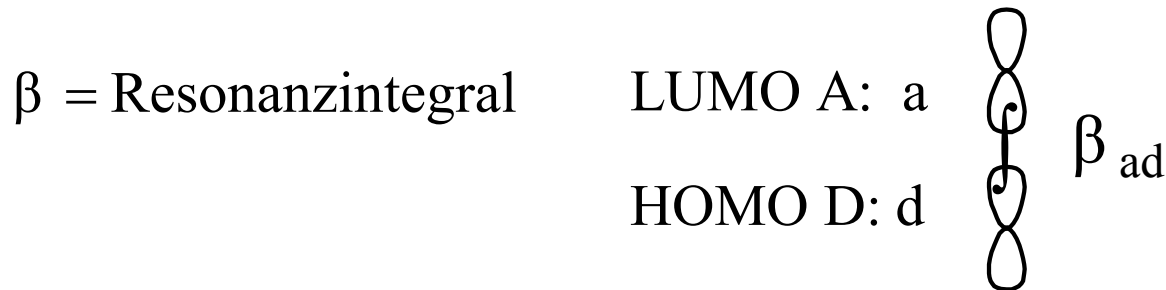
Grenzorbitalenergien

Grenzorbitalenergien und -koeffizienten für Olefine und Diene. Die Energiemittelwerte sind für die verschiedenen Klassen von Olefinen und Dienen typisch. (1 eV = 96.5 kJ = 23 kcal)



Grenzorbitaltheorie

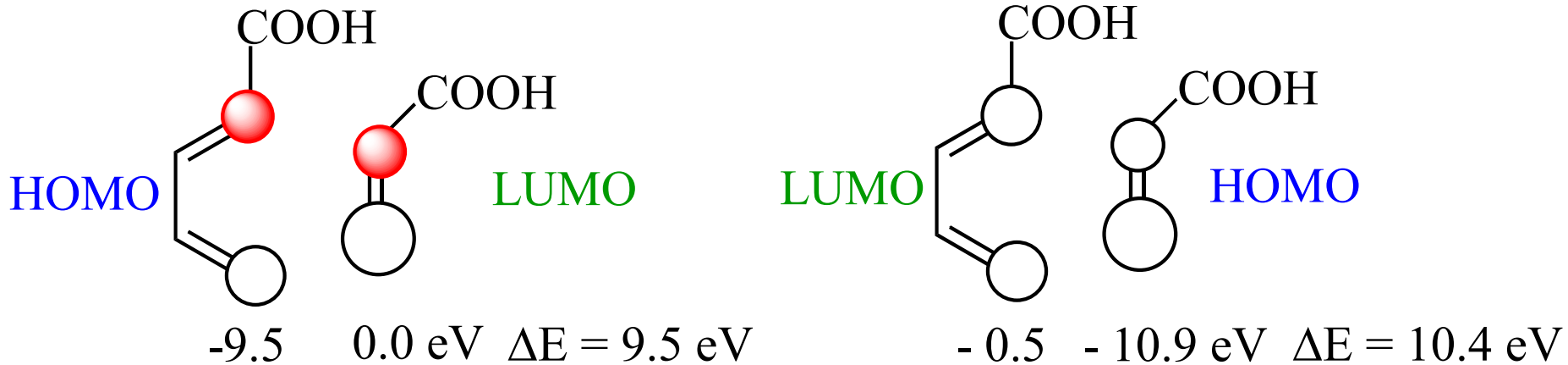
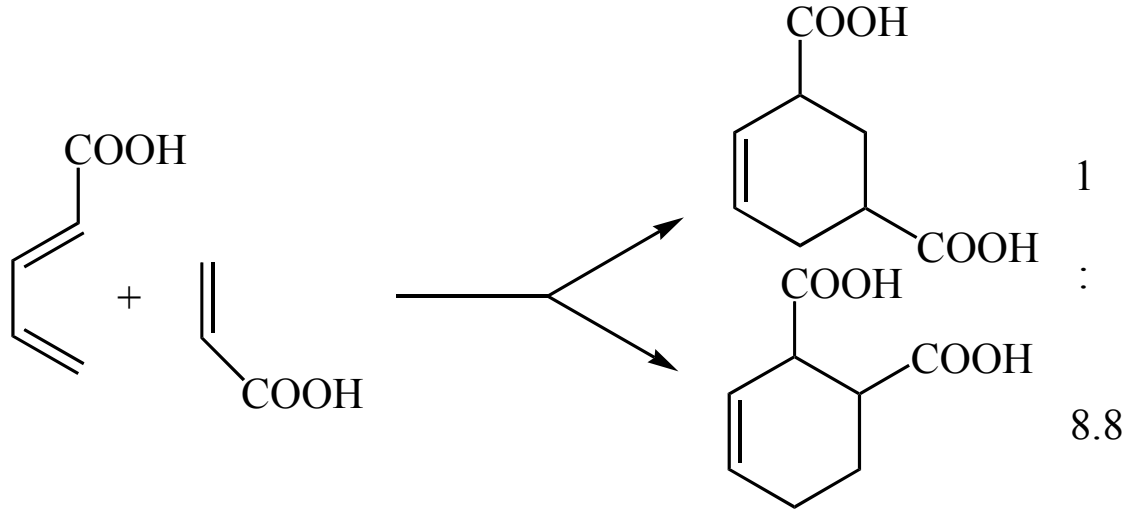
$$\Delta E_{\text{HO,LU}} = \frac{2(c_{\text{d,HO}} \cdot c_{\text{a,LU}} \cdot \beta_{\text{ad}})^2}{E_{\text{HO,D}} - E_{\text{LU,A}}}$$



$c < 1$ = Koeffizient des AO von d im HOMO von D
bzw. von a im LUMO von A

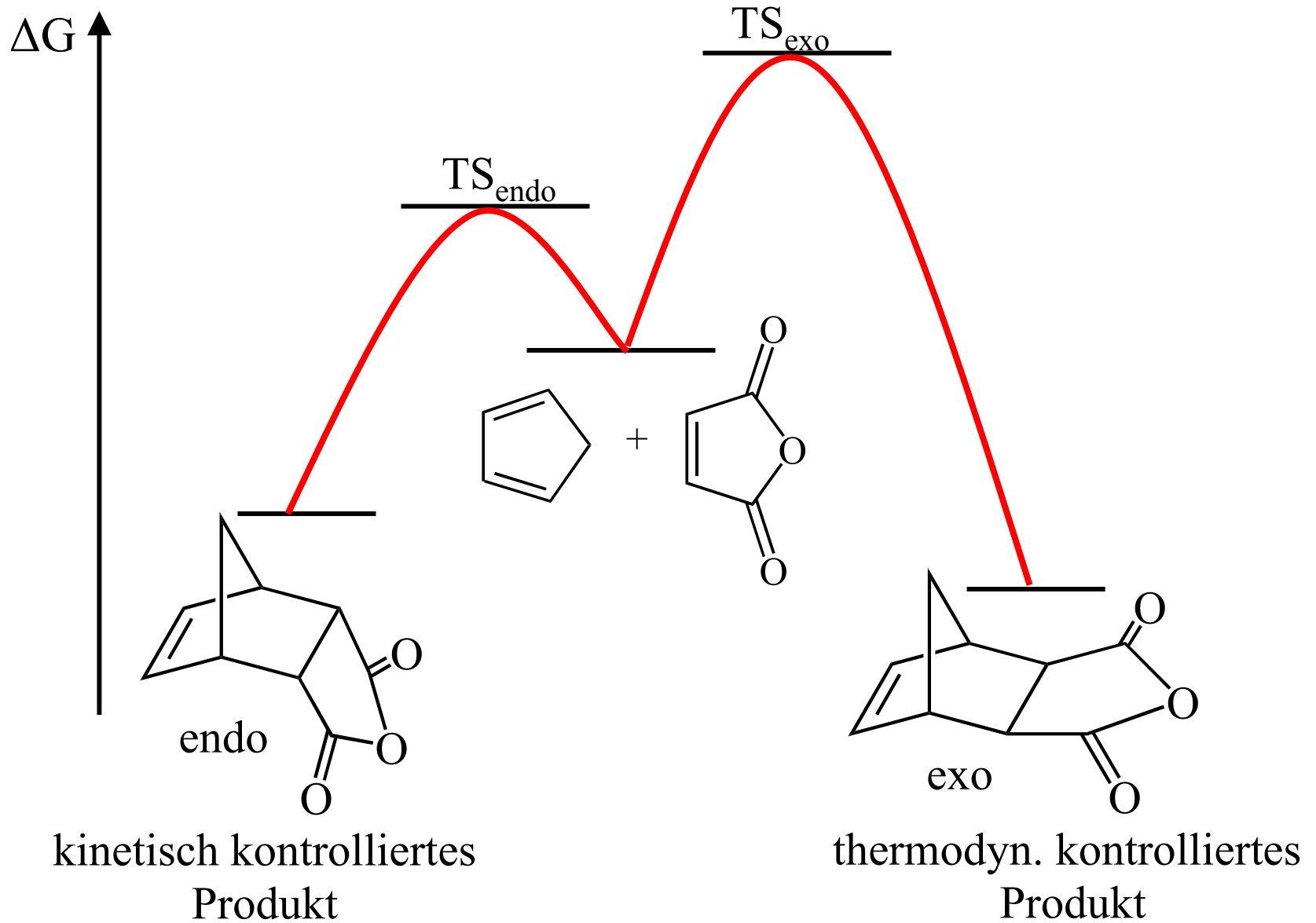
Lit.: I. Fleming: Grenzorbitale und Reaktionen organischer
Verbindungen, VCH

Regioselektivität

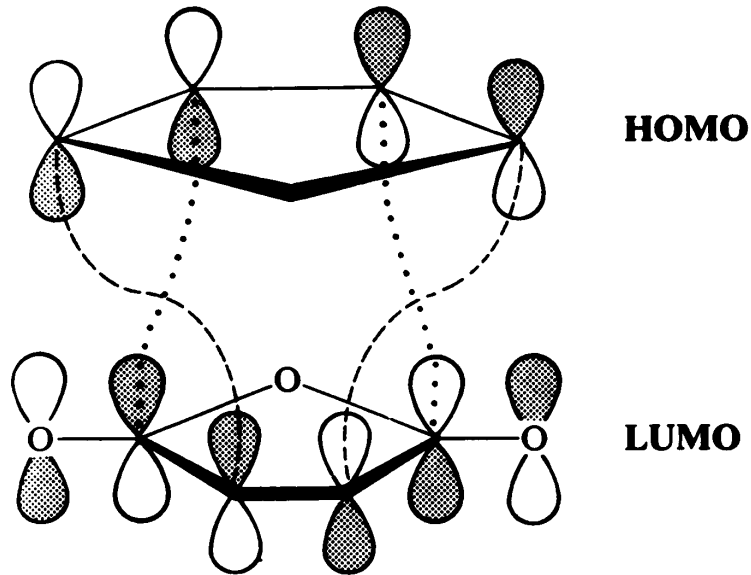


1. Bestimmung der dominierenden Wechselwirkung
2. Größe der Koeffizienten in HOMO und LUMO

Endo-Selektivität

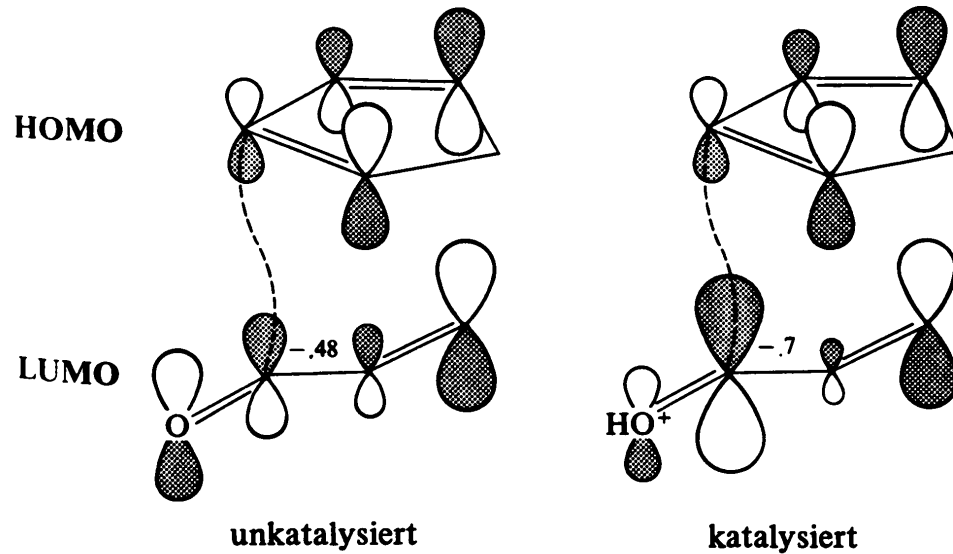


Sekundärüberlappung



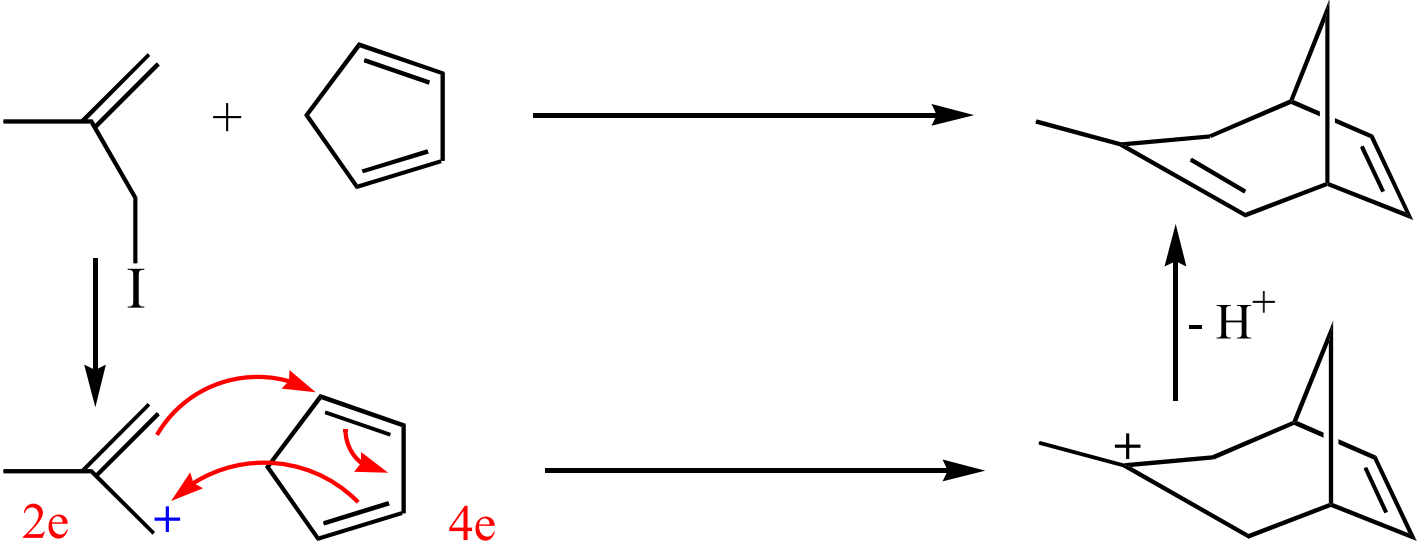
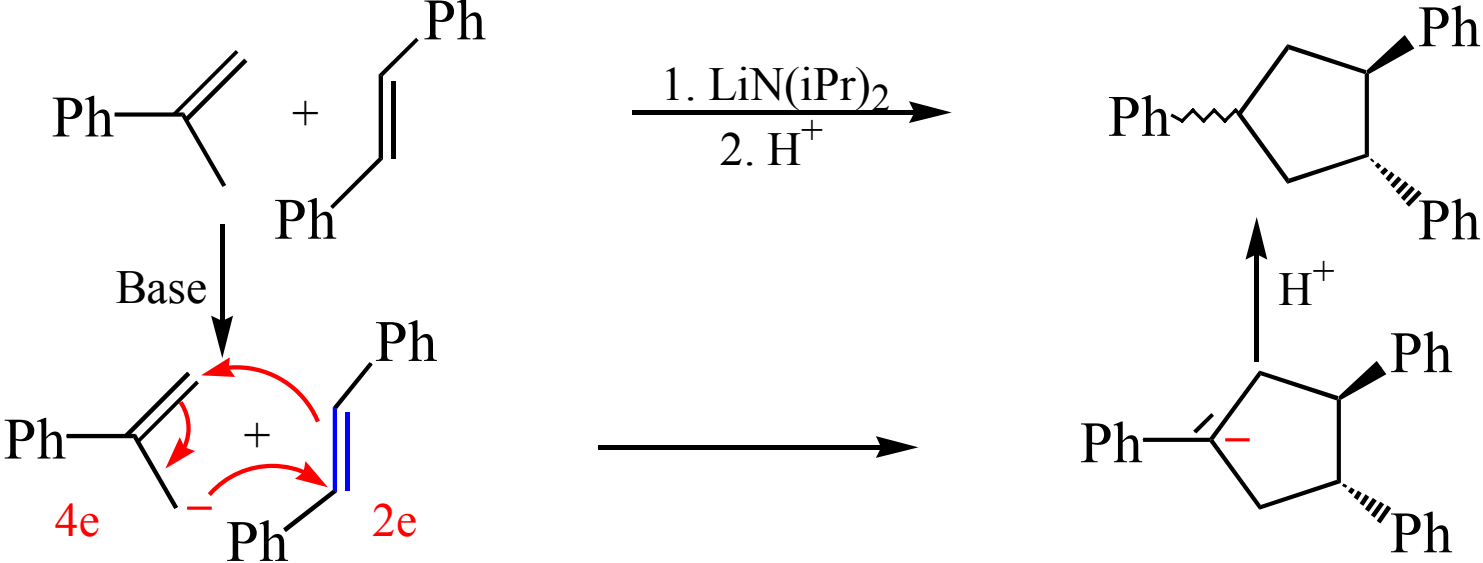
Sekundärüberlappung der Grenzorbitale in Diels-Alder-Additionen. Die gepunkteten Linien repräsentieren die bindende Überlappung, die den *endo*-Übergangszustand stabilisiert.

Katalysierte Diels-Alder-Reaktion

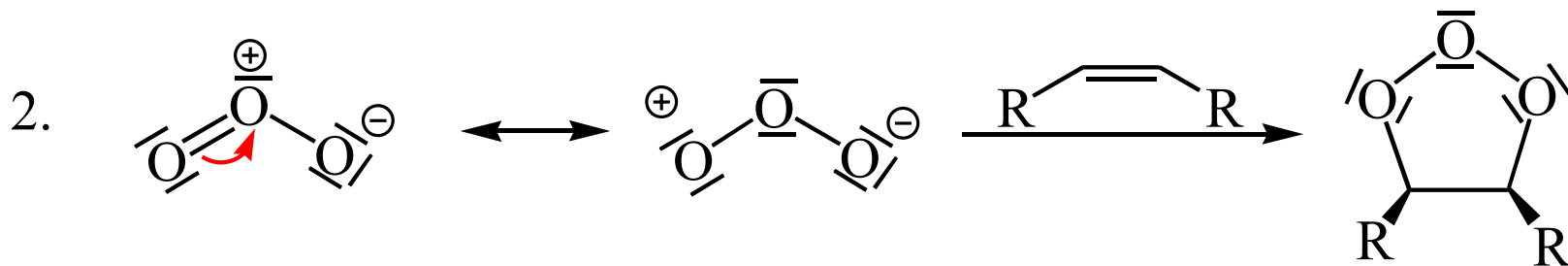
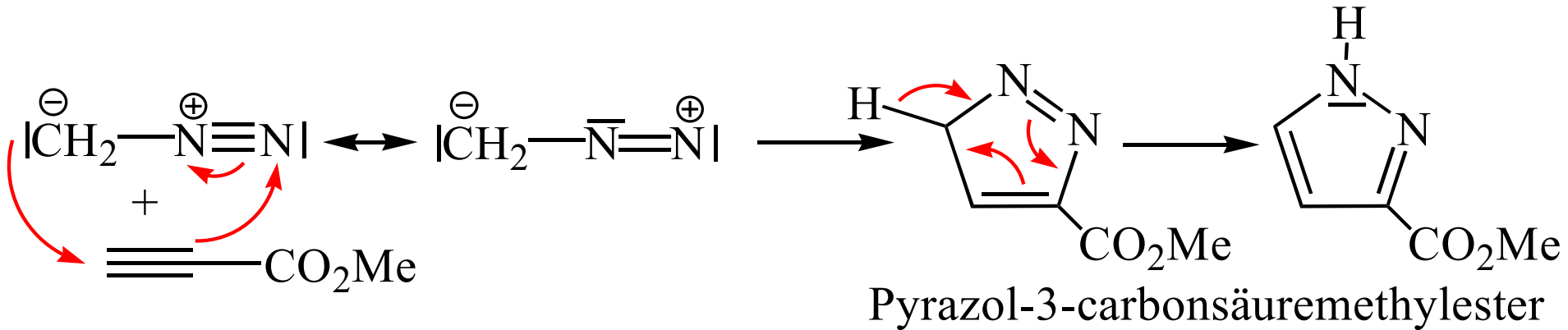
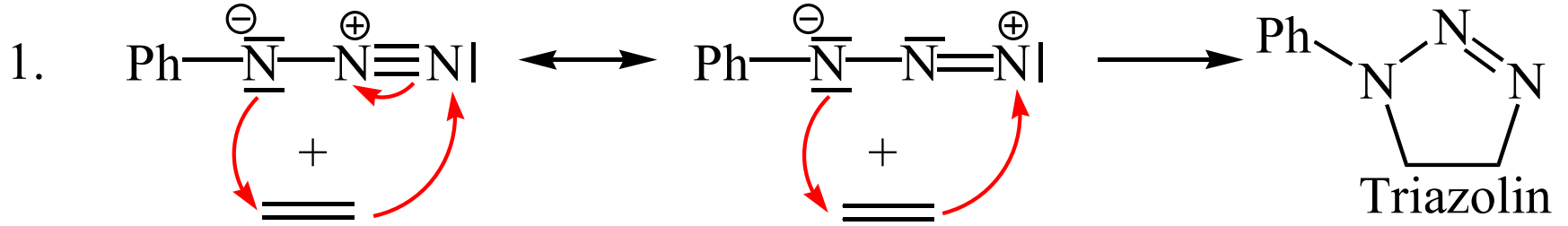


Grenzorbitale und gesteigerte *endo*-Selektivität einer Säure-katalysierten Diels-Alder-Reaktion

Cycloadditionen



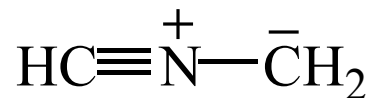
1,3-Dipolare Cycloadditionen



1. 1,3 Dipole vom Propargyl-/Allenyl-Anion-Typ(C,N,O): 6

2. 1,3 Dipol vom Allyl-Anion-Typ: 8

Die wichtigsten 1,3-Dipole



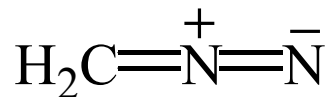
Nitrilylide



Nitrilimine



Nitriloxide



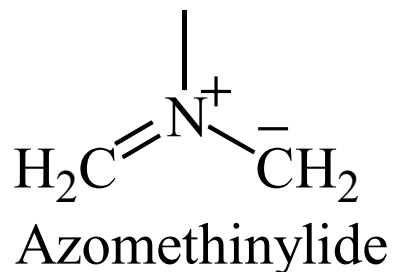
Diazoalkane



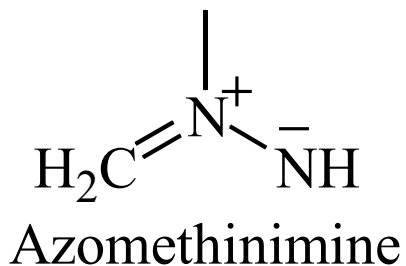
Azide



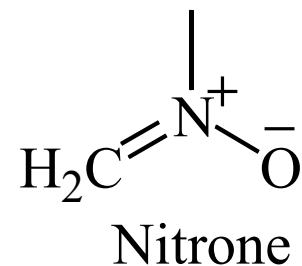
Distickstoffoxide



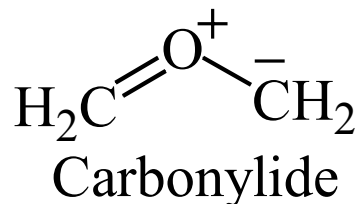
Azomethinylide



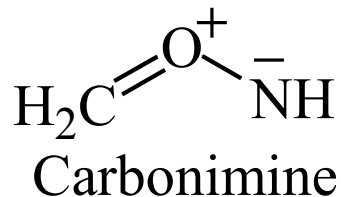
Azomethinimine



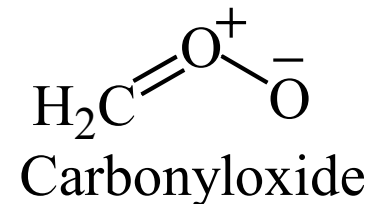
Nitrone



Carbonylide

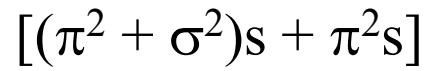
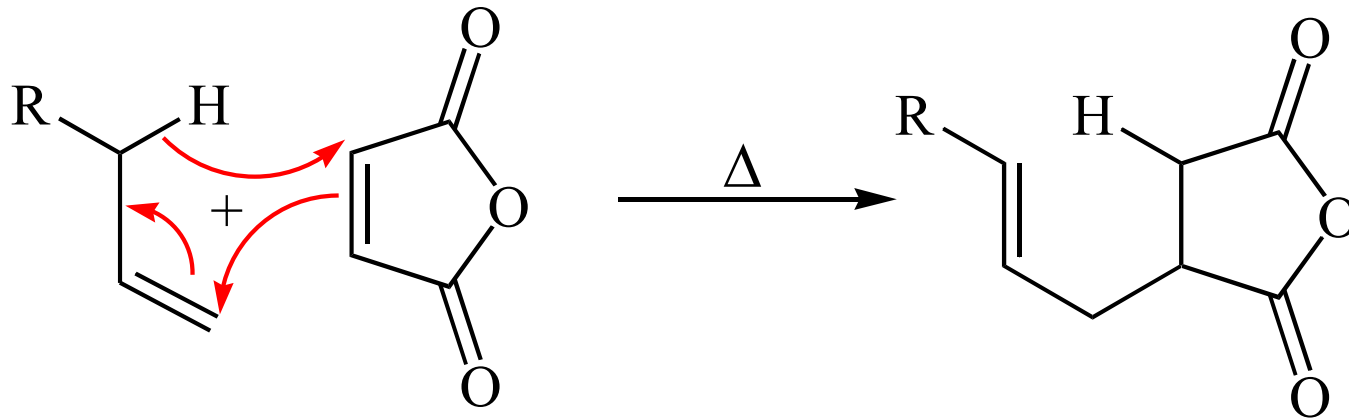


Carbonimine



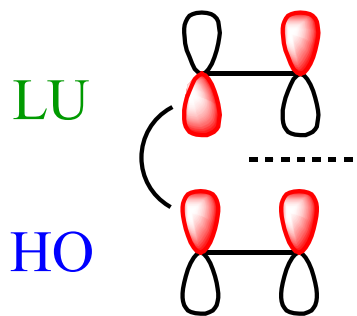
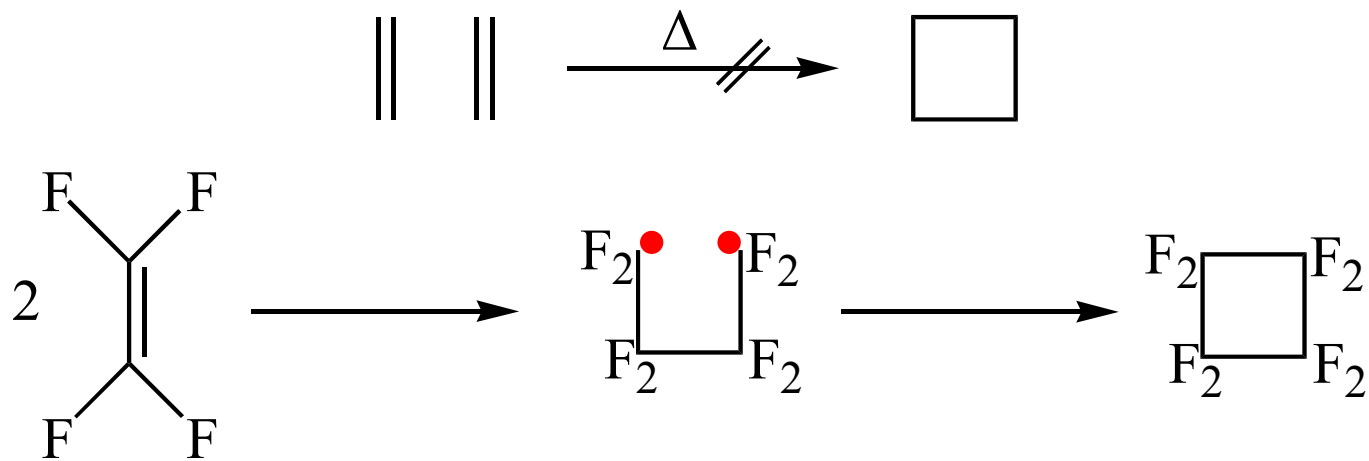
Carbonyloxide

En-Reaktion

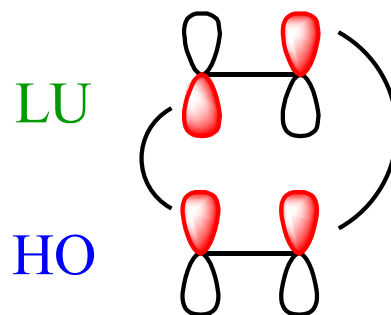


En-Reaktion (Alder)

2 + 2 Cycloadditionen

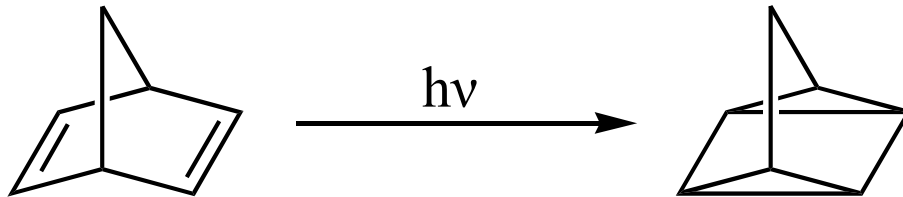
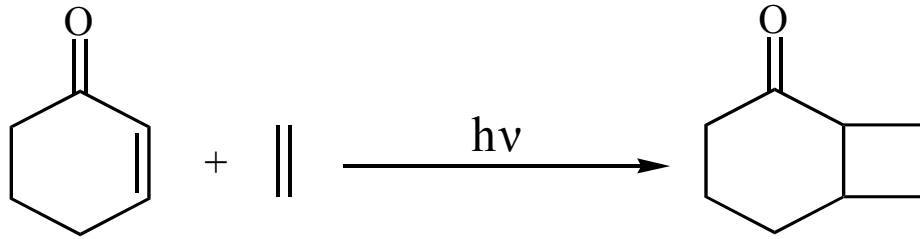


$\pi^2s + \pi^2s$
„verboten“

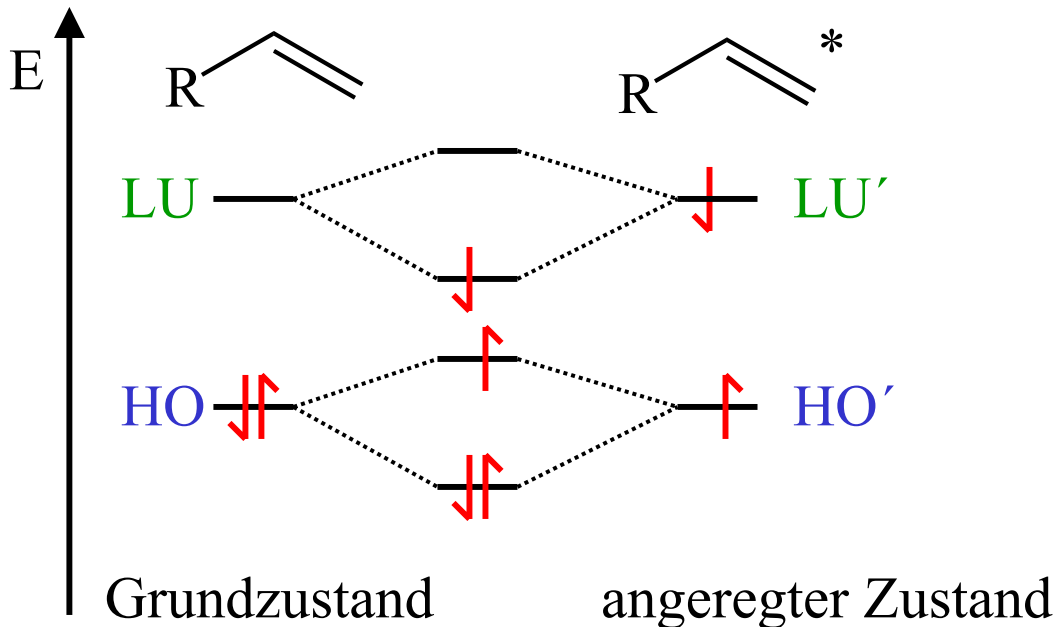


$\pi^2s + \pi^2a$
„erlaubt“, aber
geometrisch nicht möglich!

[2 + 2] - Cycloadditionen und -reversionen

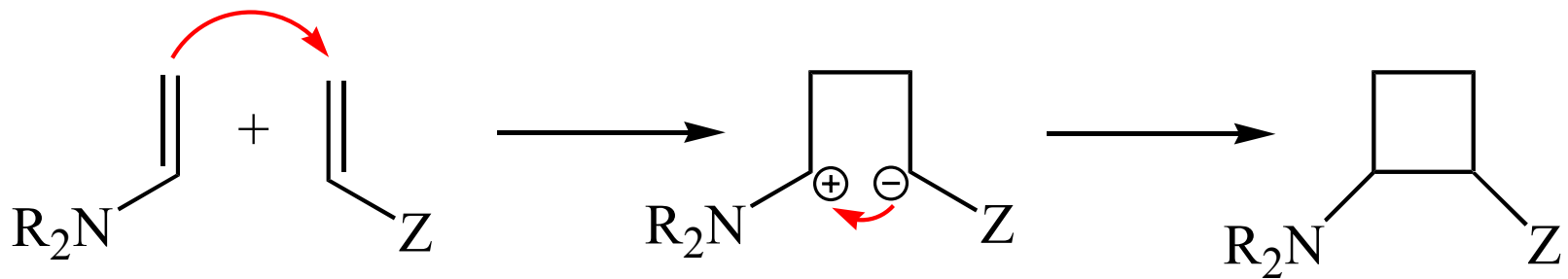
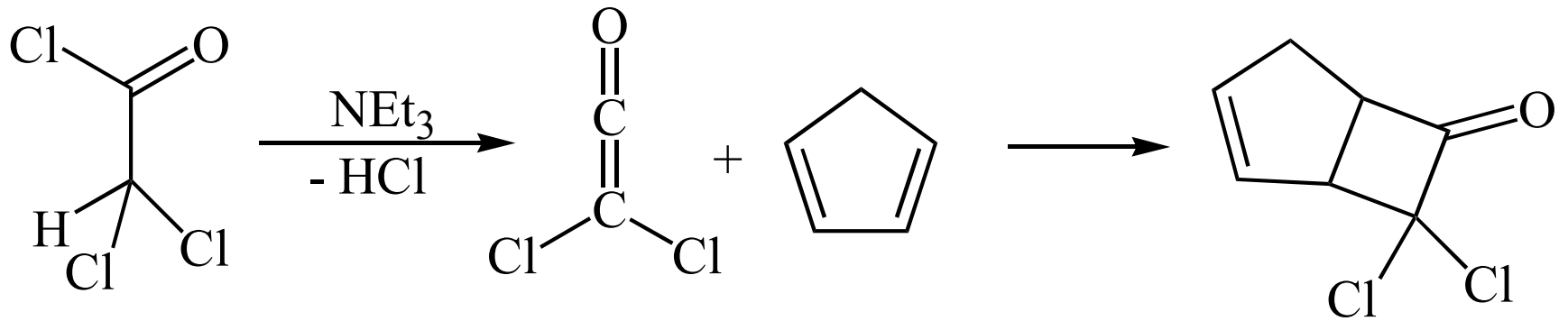


Quadricyclan
Cycloreversion
thermische „verboten“



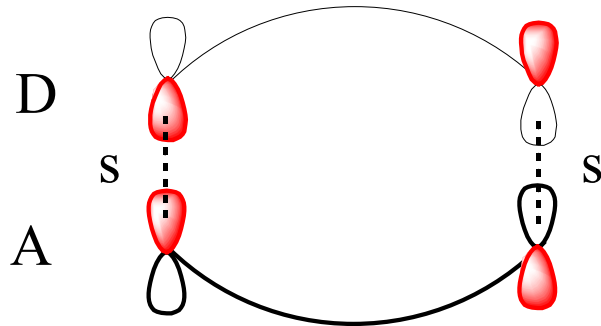
$[\pi^2_s + \pi^2_s]$ - Cycloadditionen
photochemisch „erlaubt“

Thermische [2 + 2] - Cycloadditionen



Cycloadditionen - Verallgemeinerung

Thermische Grundzustandsreaktionen



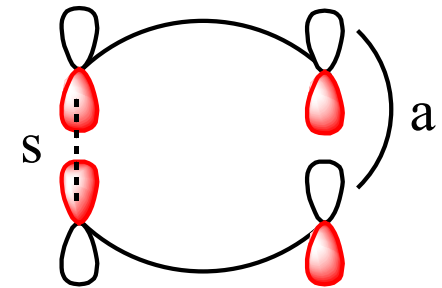
HOMO

LUMO

Zahl der e^-

m

n



$$m_s + n_s = 4q + 2$$

(Hückel-aromatischer TS)

$$m_a + n_s = 4q$$

(Möbius-aromatischer TS)

Woodward - Hoffmann - Regeln

[$m + n$] - Cycloadditionen

Zahl der e^-	thermische Reaktion	photochemische
----------------	------------------------	----------------

$$4q + 2$$

$$4q$$

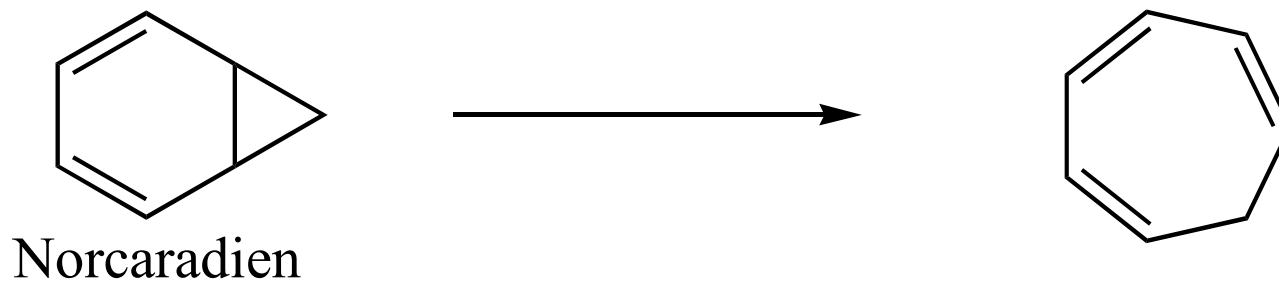
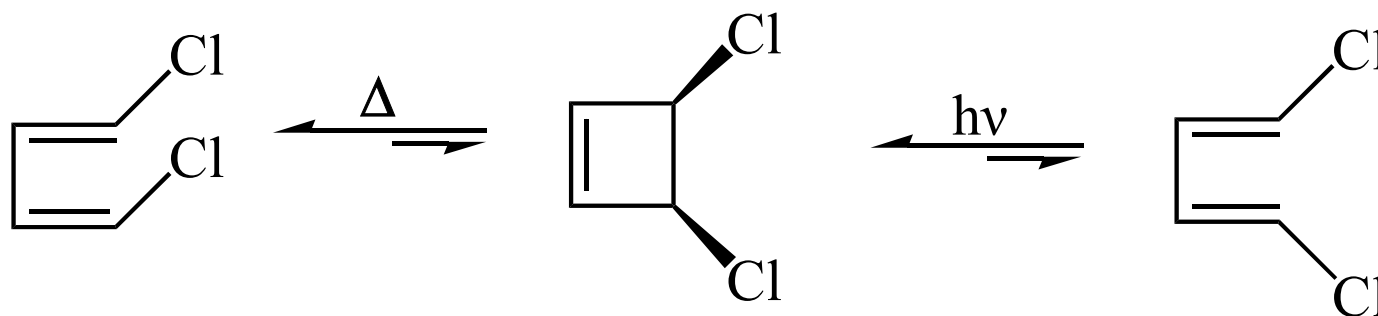
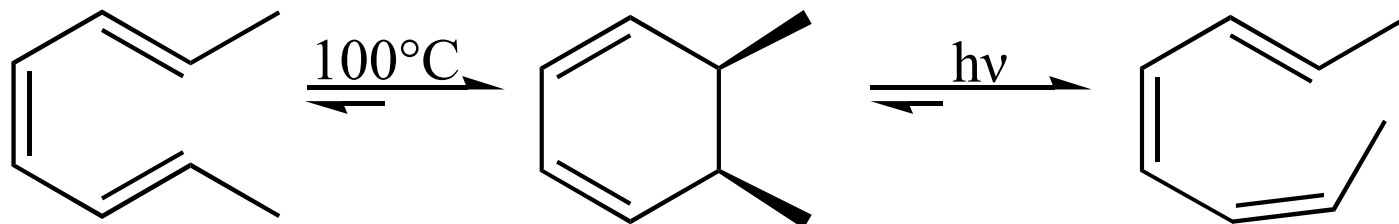
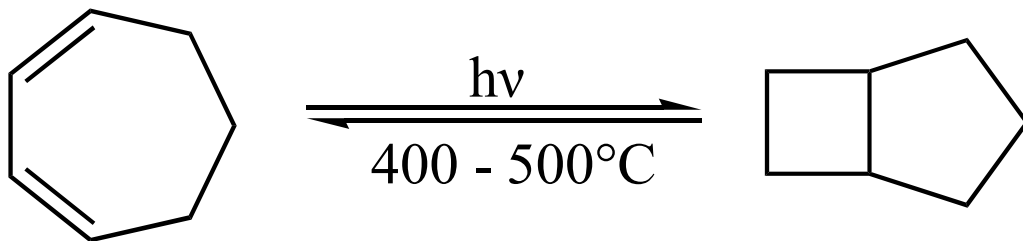
$$\underline{m_s + n_s}$$

$$m_s + n_a$$

$$m_s + n_a$$

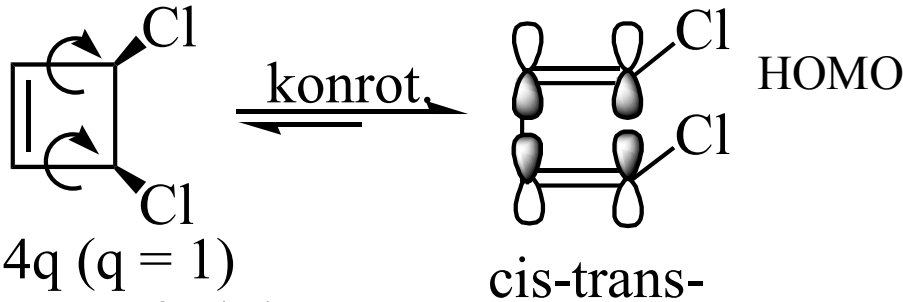
$$\underline{m_s + n_s}$$

Beispiele für electrocyclic Umlagerungen

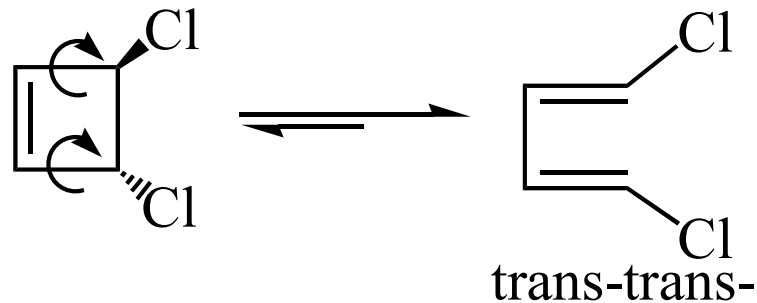


Regeln für electrocyclische Reaktionen

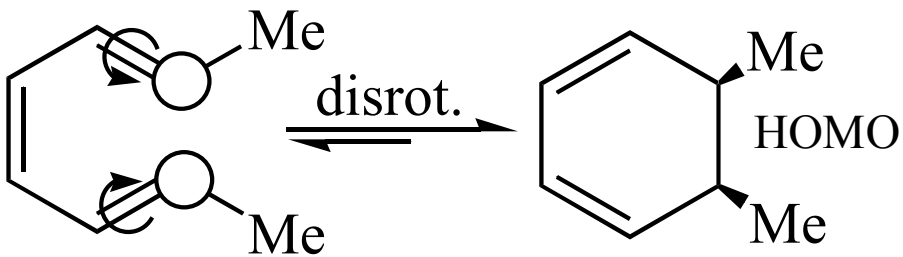
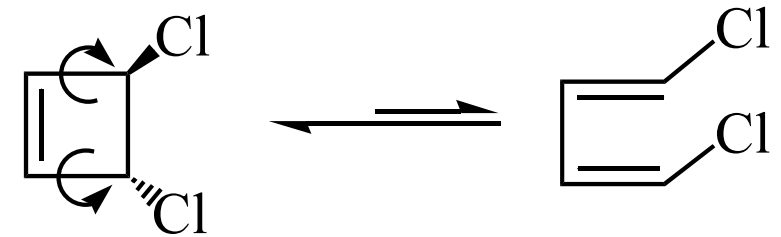
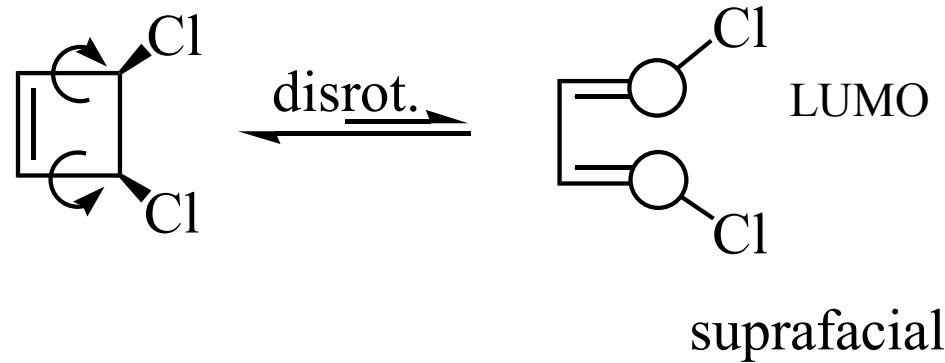
Thermische Reaktionen



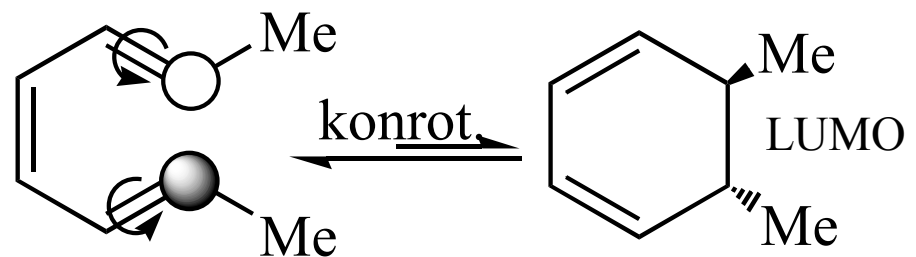
$4q$ ($q = 1$)
antarafacial
Möbius



Photochemische Reaktionen

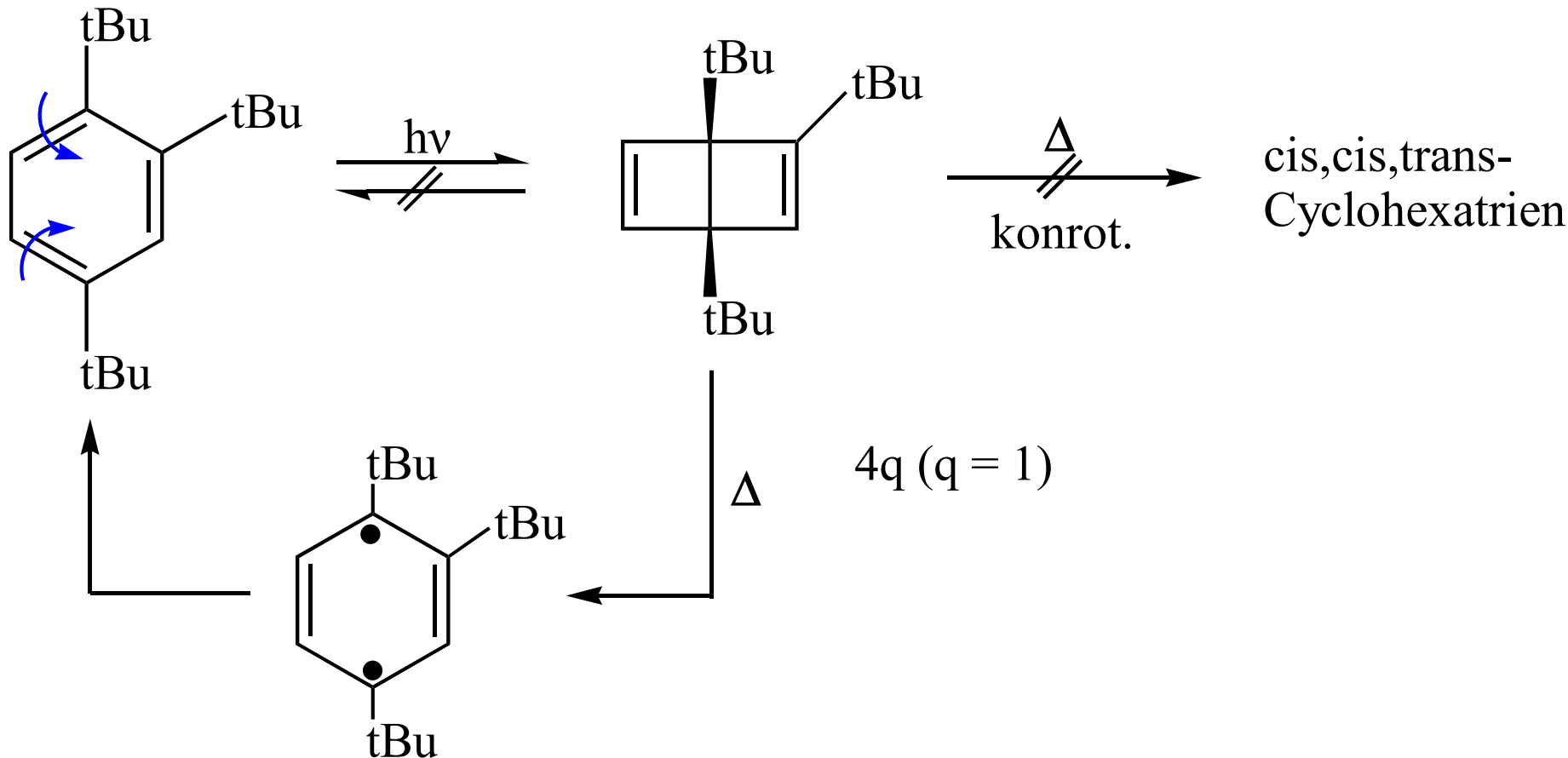
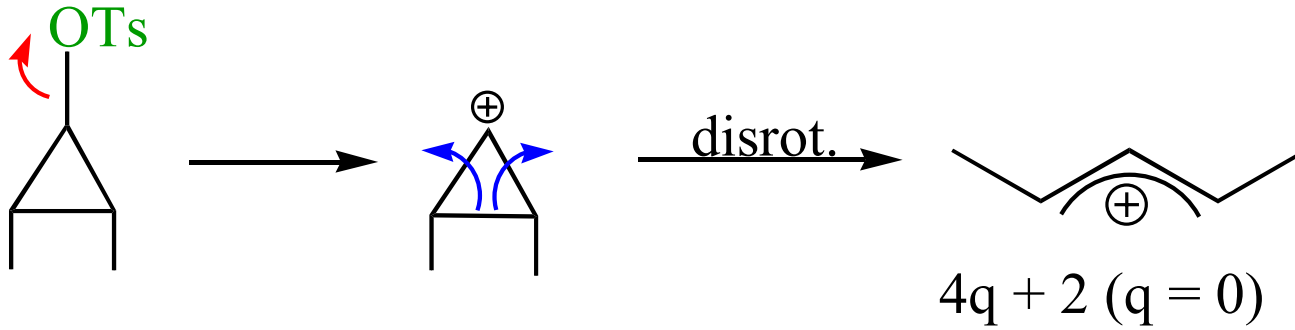


$4q + 2$ ($q = 1$)
suprafacial; Hückel



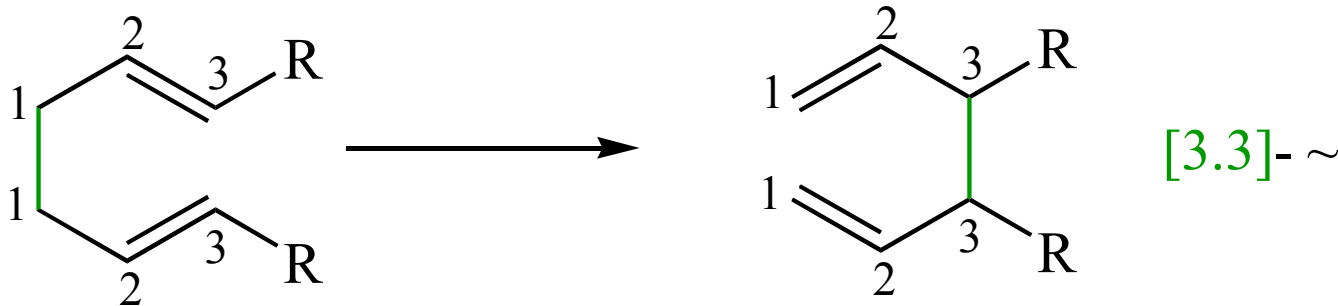
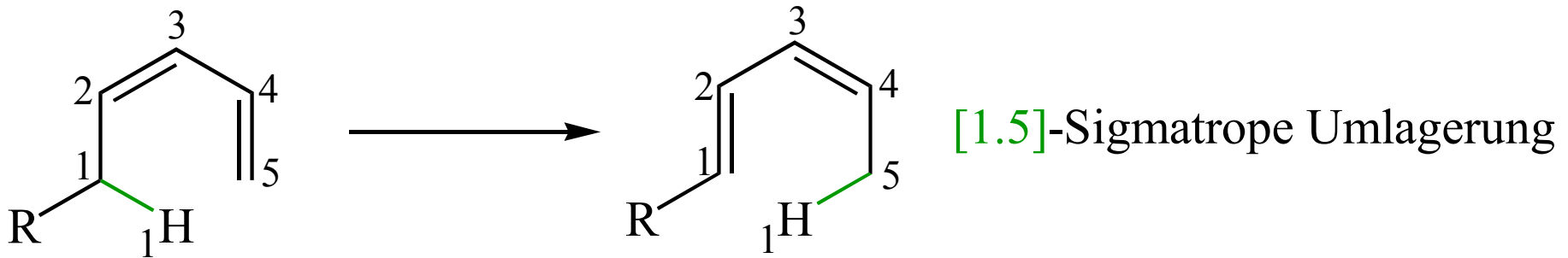
antarafacial

Elektrocyclische Reaktionen

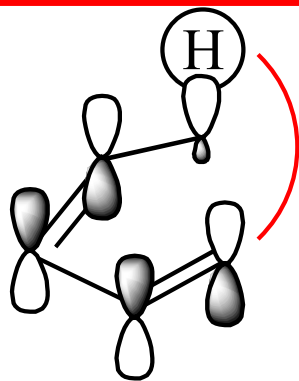


[i, j] - Sigmatrope Umlagerungen

- intramolekular
- unkatalysiert
- neue Position der σ -Bindung
- Umorganisation der π -Bindungen



Sigmatrope H-Wanderungen



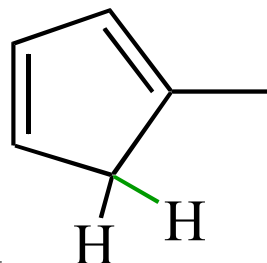
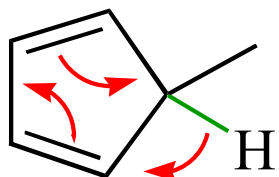
HOMO

LUMO

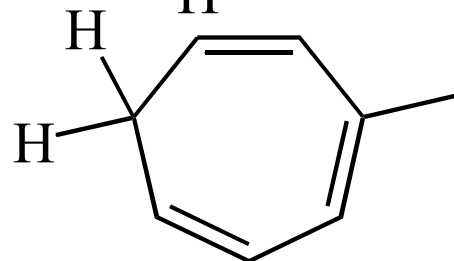
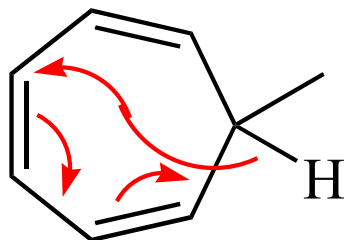
$$4q + 2 \quad (q = 1)$$

suprafacial

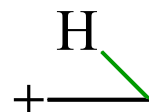
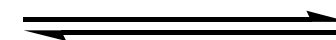
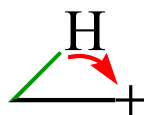
$$(k_H/k_D = 5 \text{ bei } 200^\circ\text{C})$$



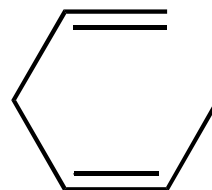
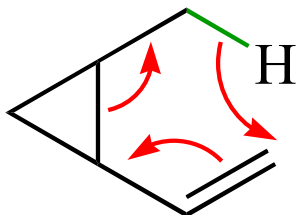
analog Indene



[1.5]- ~

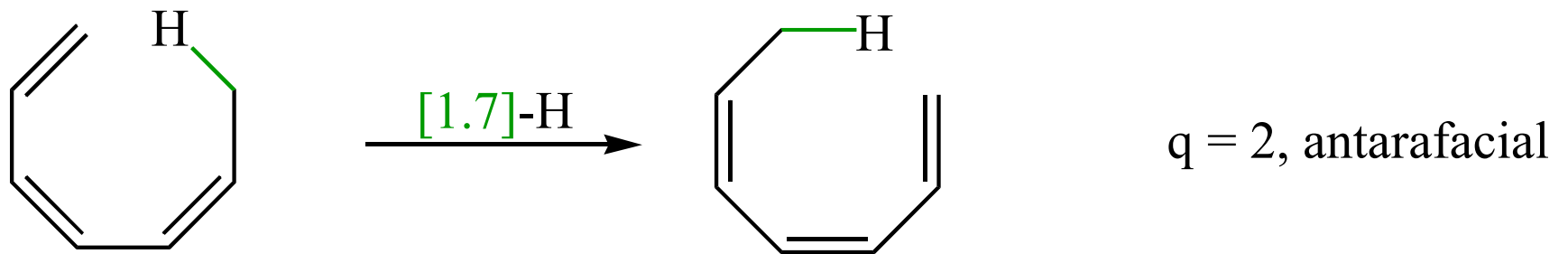
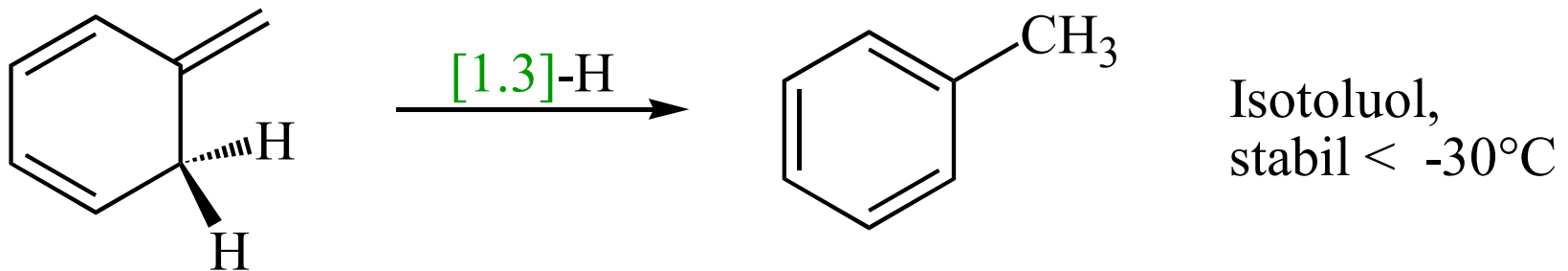
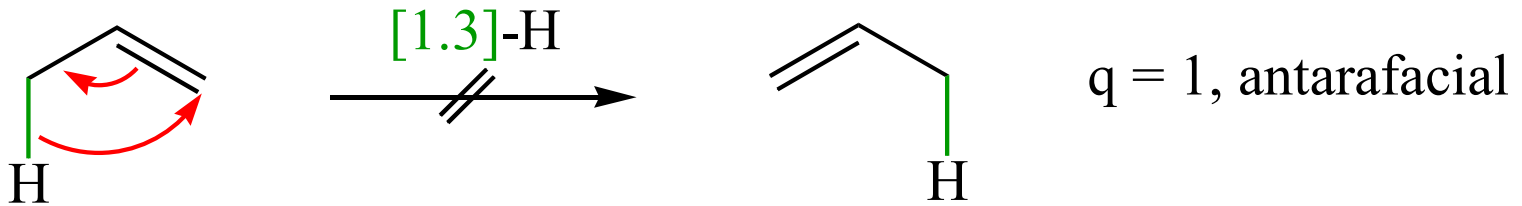


[1.2]- H-Shift (q=0)

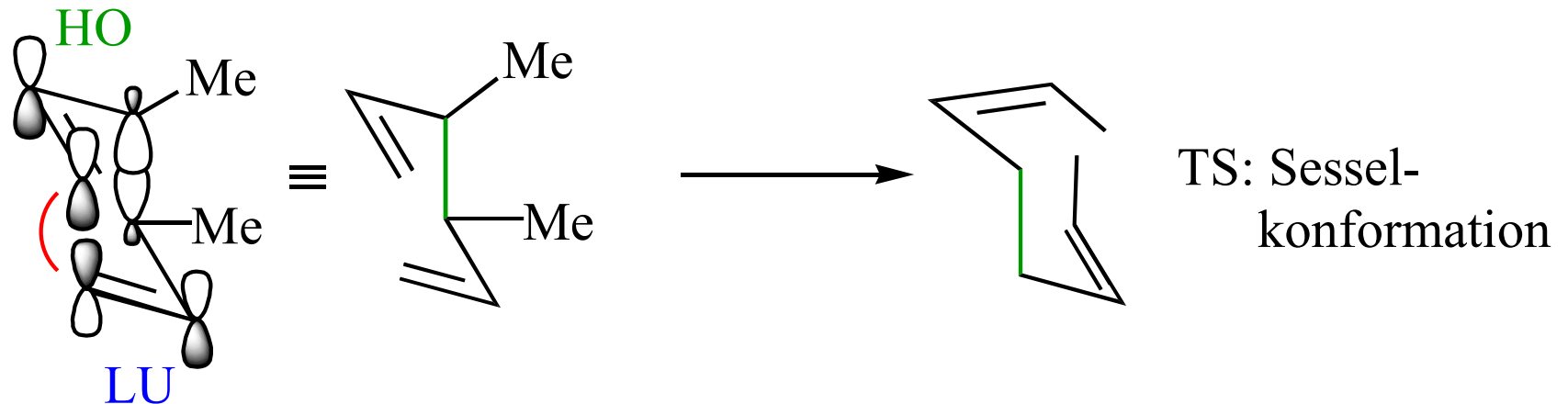
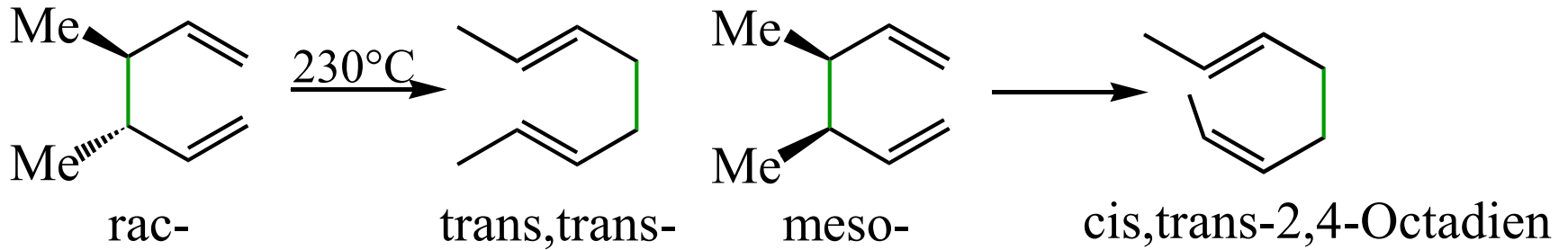
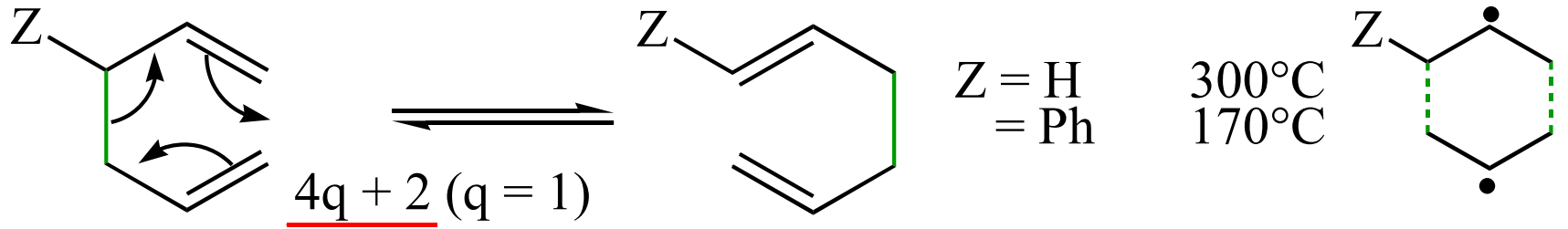


Homodienyl-[1.5]-H-Shift

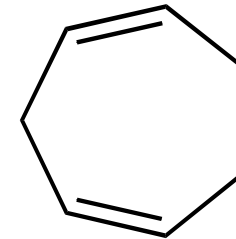
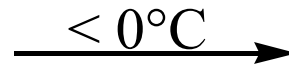
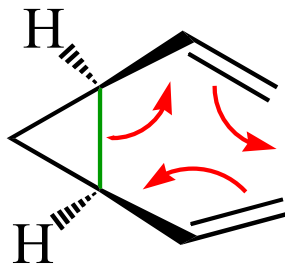
Sigmatrope H-Wanderungen



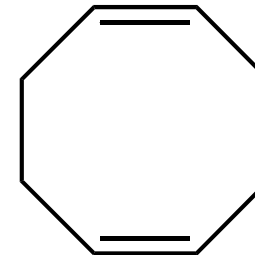
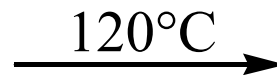
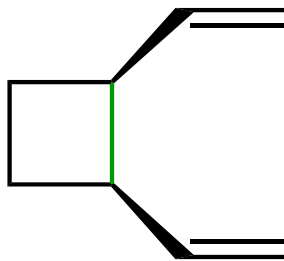
[3.3]-Sigmatrope Umlagerungen (Cope-Umlagerung)



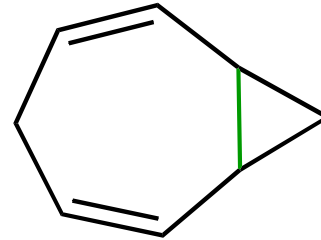
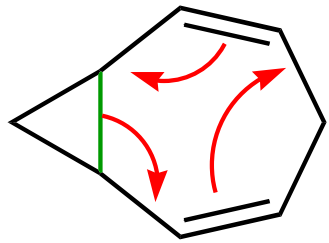
[3.3]-Sigmatrope Umlagerungen (Cope-, Claisen-)



cis-Divinylcyclopropan

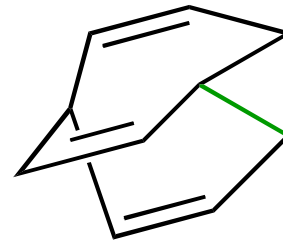
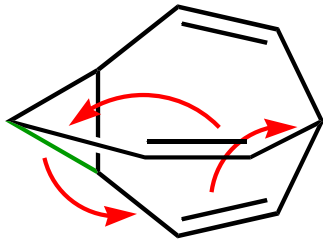


Valenztautomerie



Fluktuiierende
Bindungen

Bicyclo[5.1.0]octadien

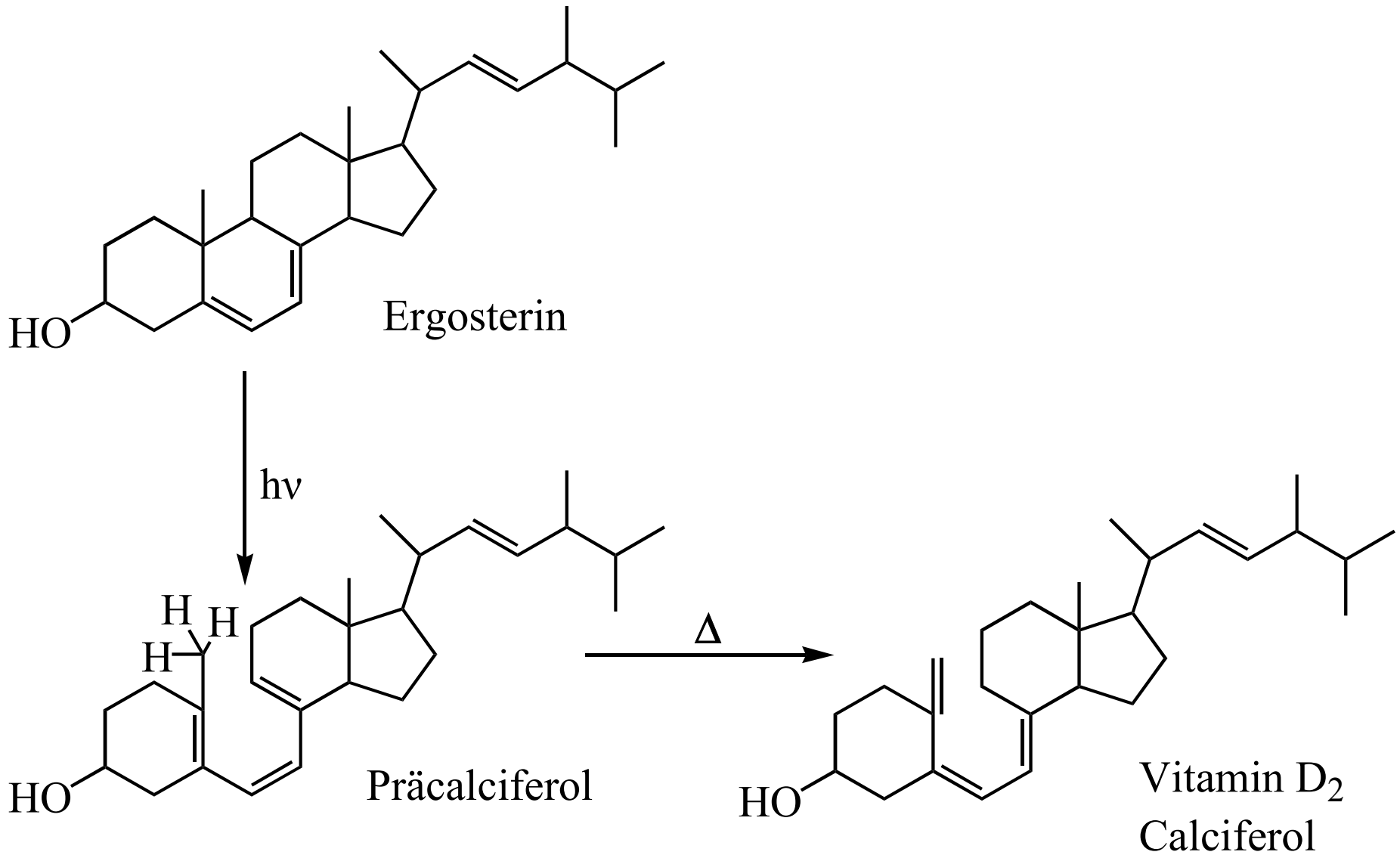


$\text{C}_{10}\text{H}_{10}$ Bullvalen

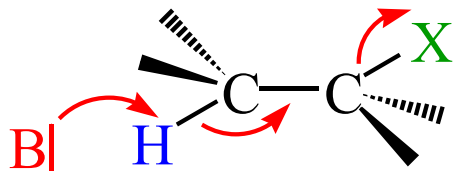
1 209 600 Valenztautomere

bei 100°C ein NMR-Signal

Vitamin D₂-Synthese



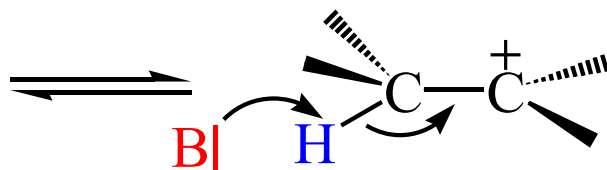
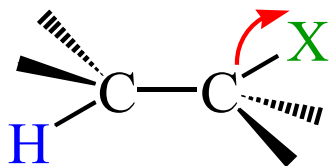
Eliminierungen: 1. β -Eliminierungen



E2 ($A_n D_E D_N$)

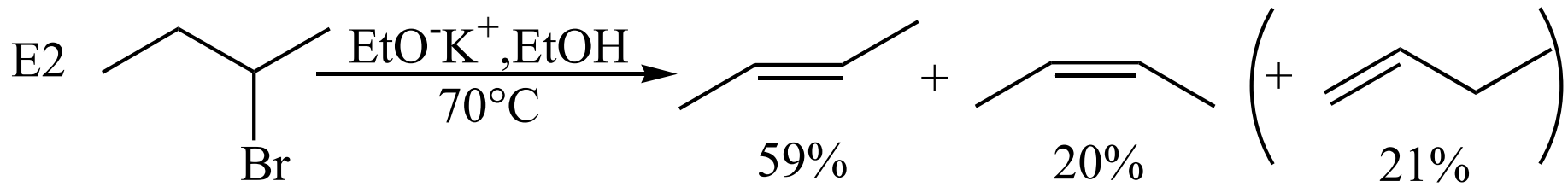
Stereochemie: anti-Eliminierung

Stereochemie des Produkts: Curtin-Hammett-Prinzip

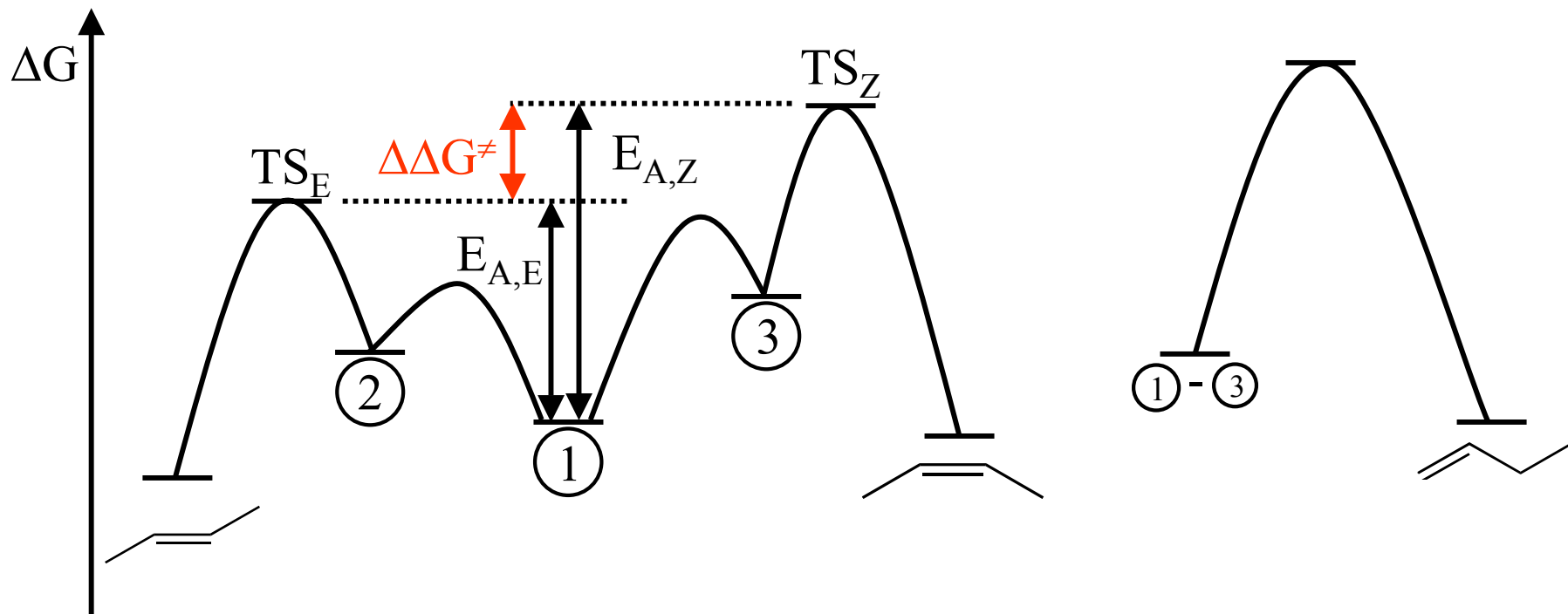
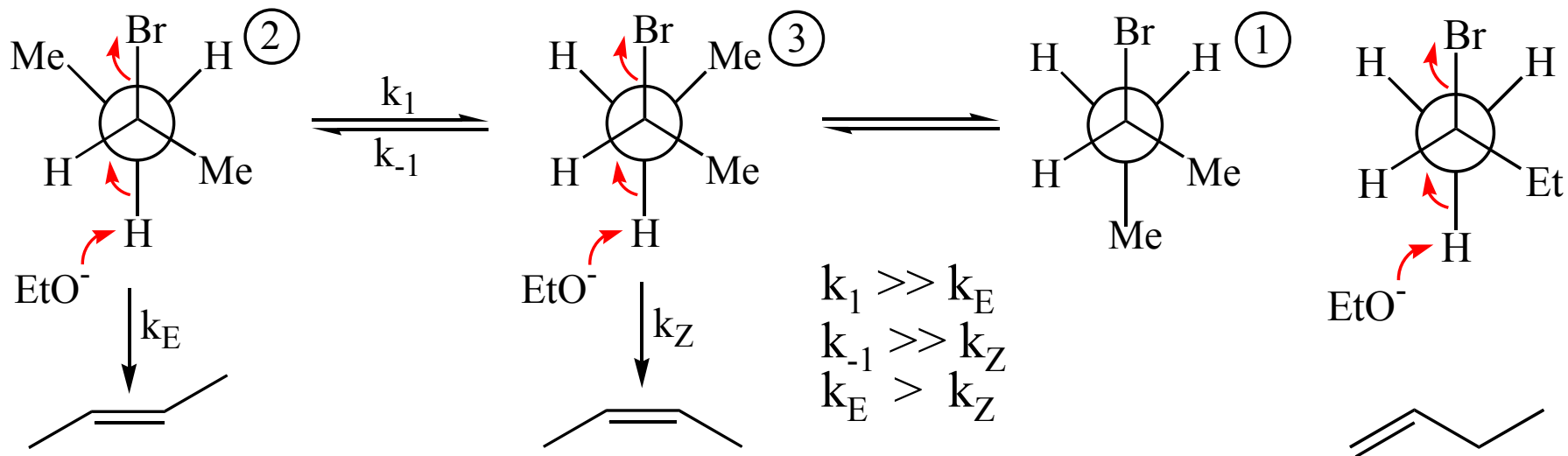


E1 ($D_N + D_E$)

Curtin-Hammett-Prinzip



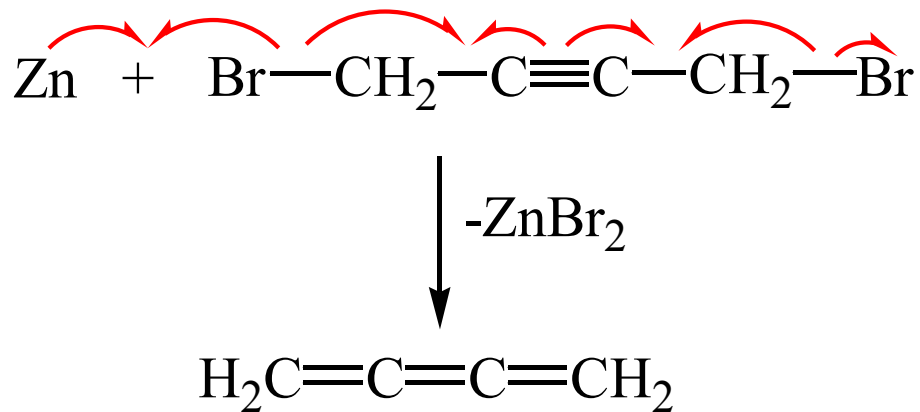
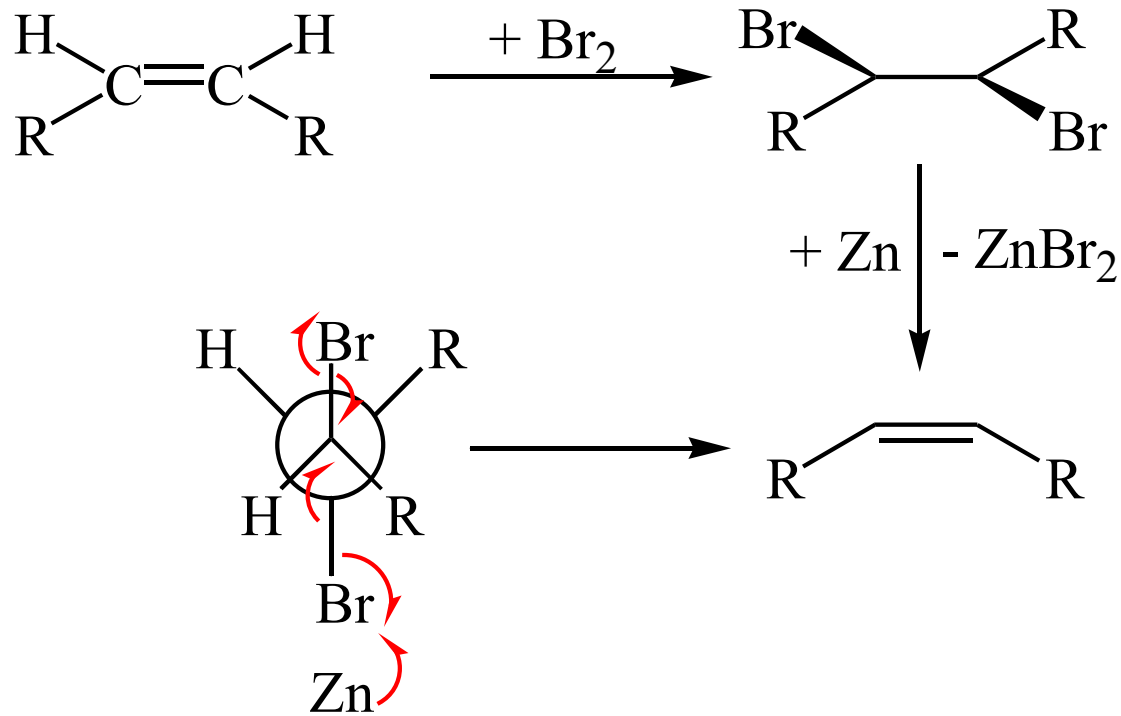
Curtin-Hammett-Prinzip



Curtin-Hammett-Prinzip

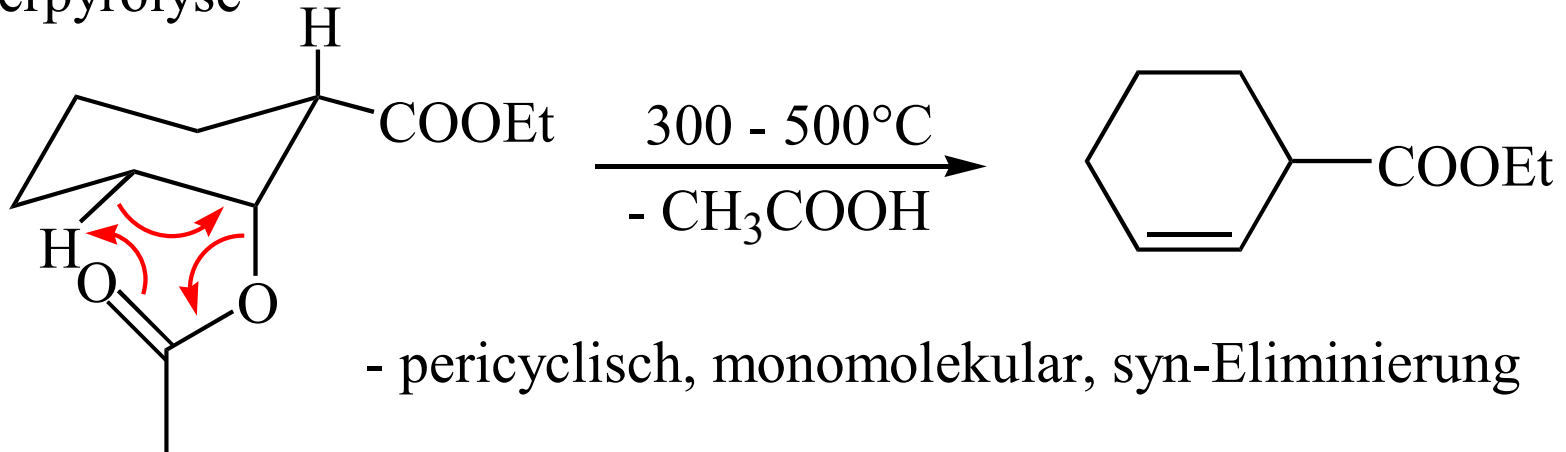
Bei einer kinetisch kontrollierten stereoselektiven Reaktion wird die Selektivität ausschließlich durch die Differenz der Freien Aktivierungsenthalpien der diastereomeren TS bestimmt und nicht durch $\Delta\Delta G^0$ der Konformationen des Grundzustands.

2. Dihalogeneliminierungen

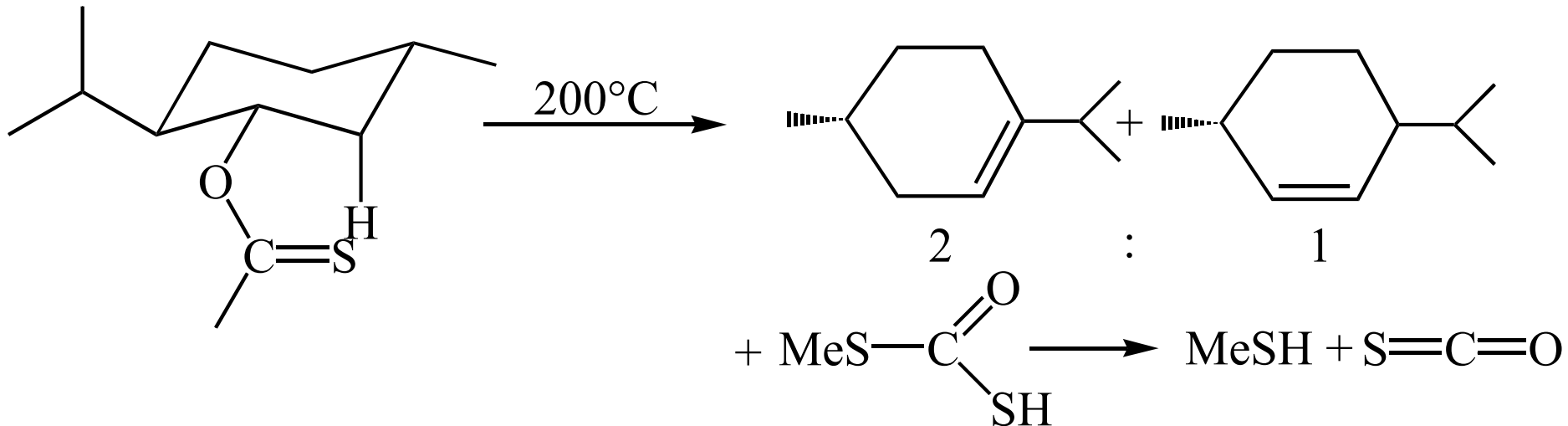


3. Thermische Eliminierungen

Esterpyrolyse

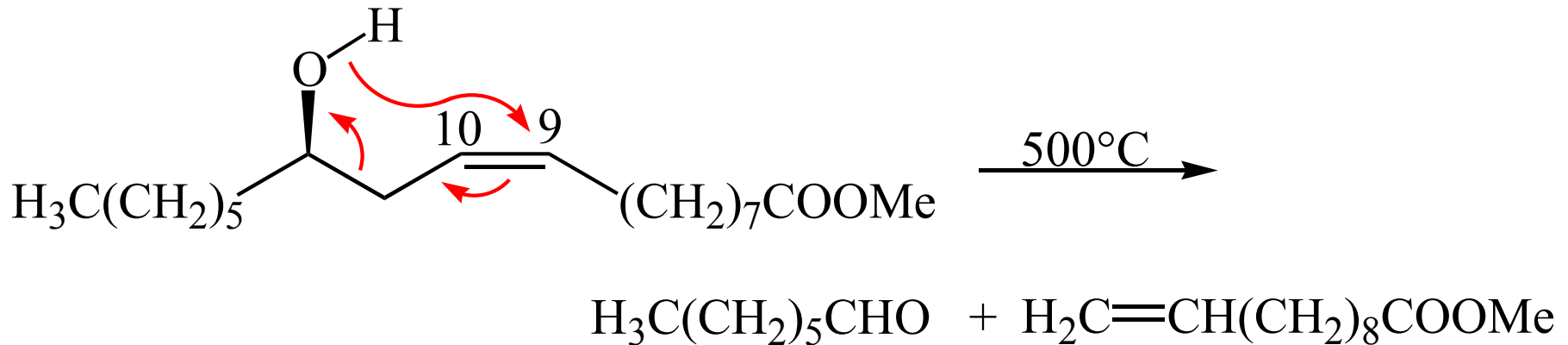
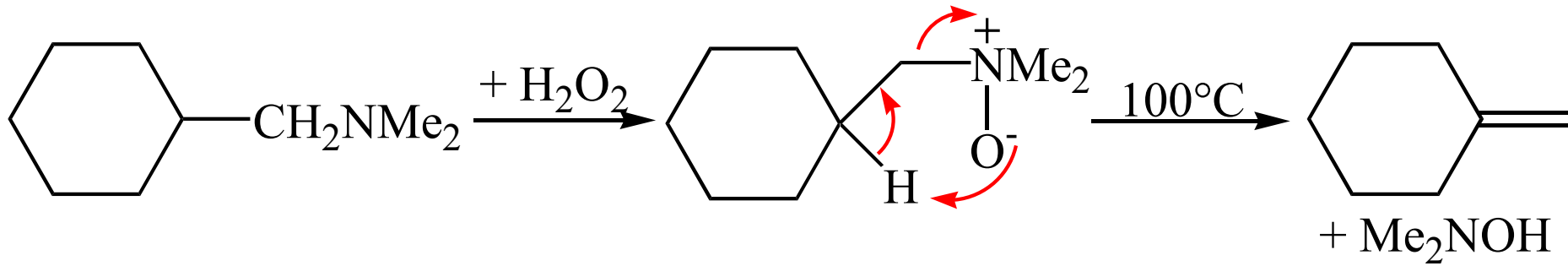


Chugaev-Reaktion

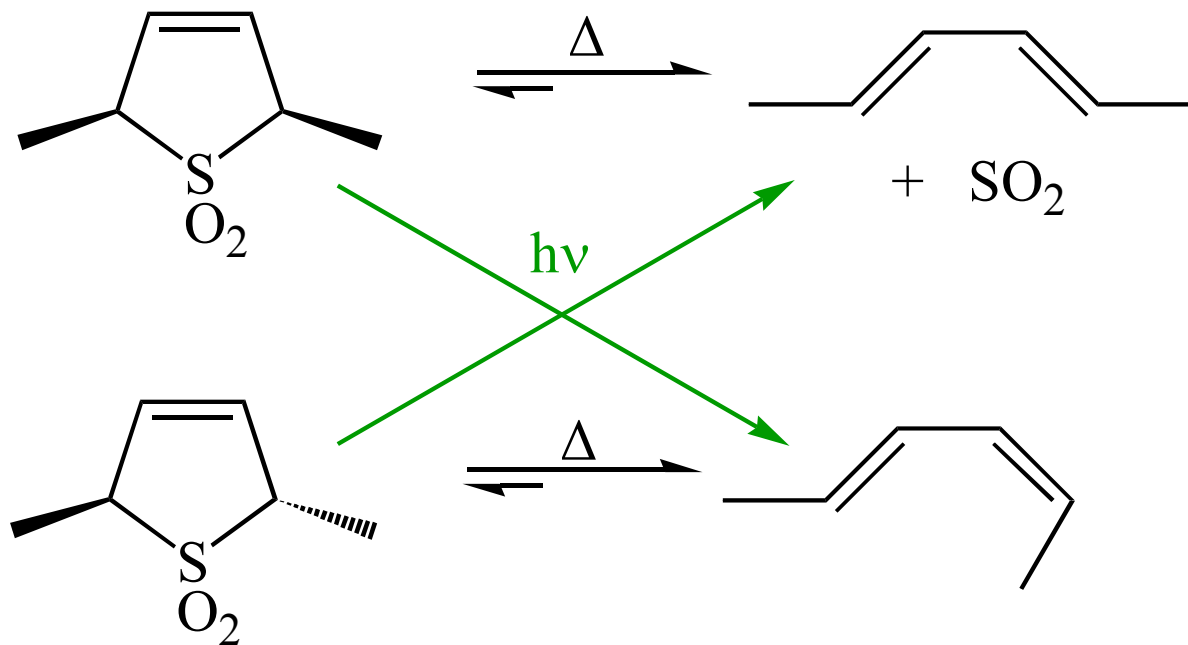


3. Thermische Eliminierungen

Cope-Eliminierung



4. Cheletrope Reaktionen

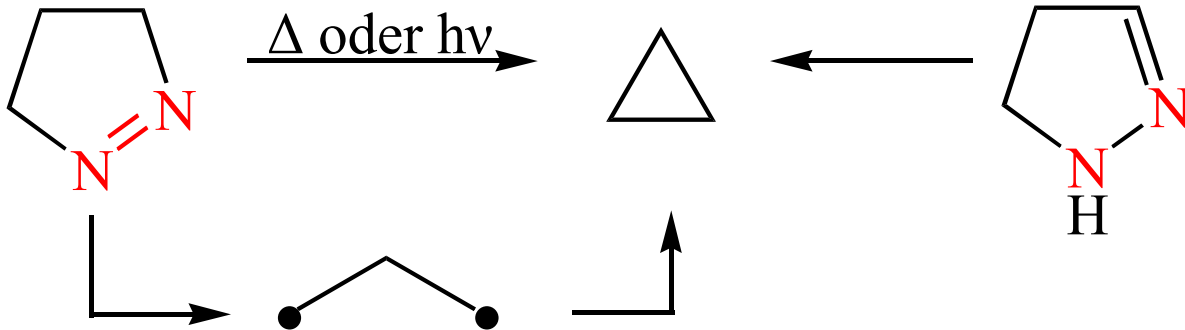


$4q + 2$ ($q = 1$)

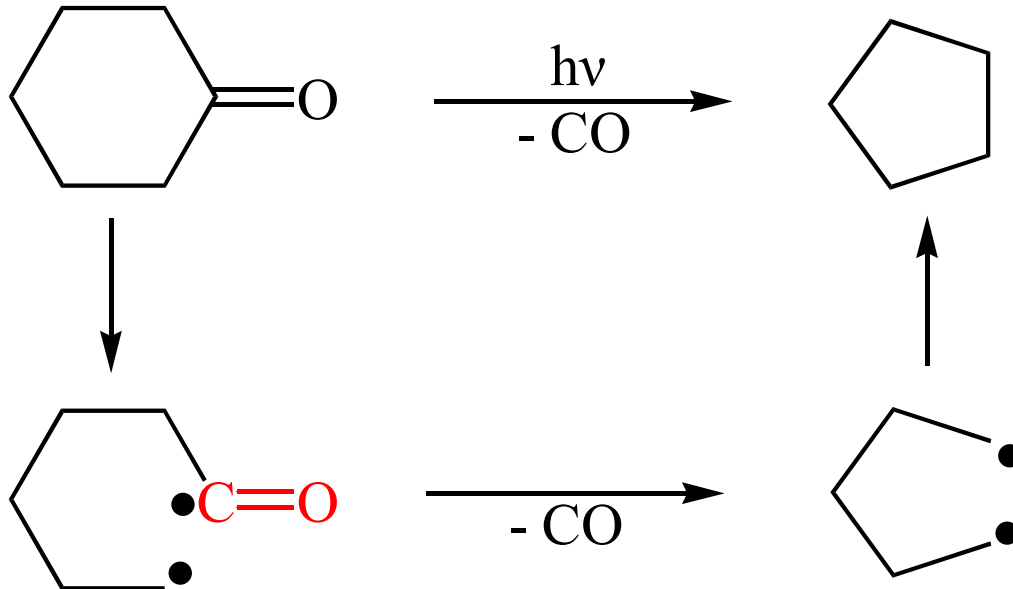
Δ : suprafacial

$h\nu$: antarafacial

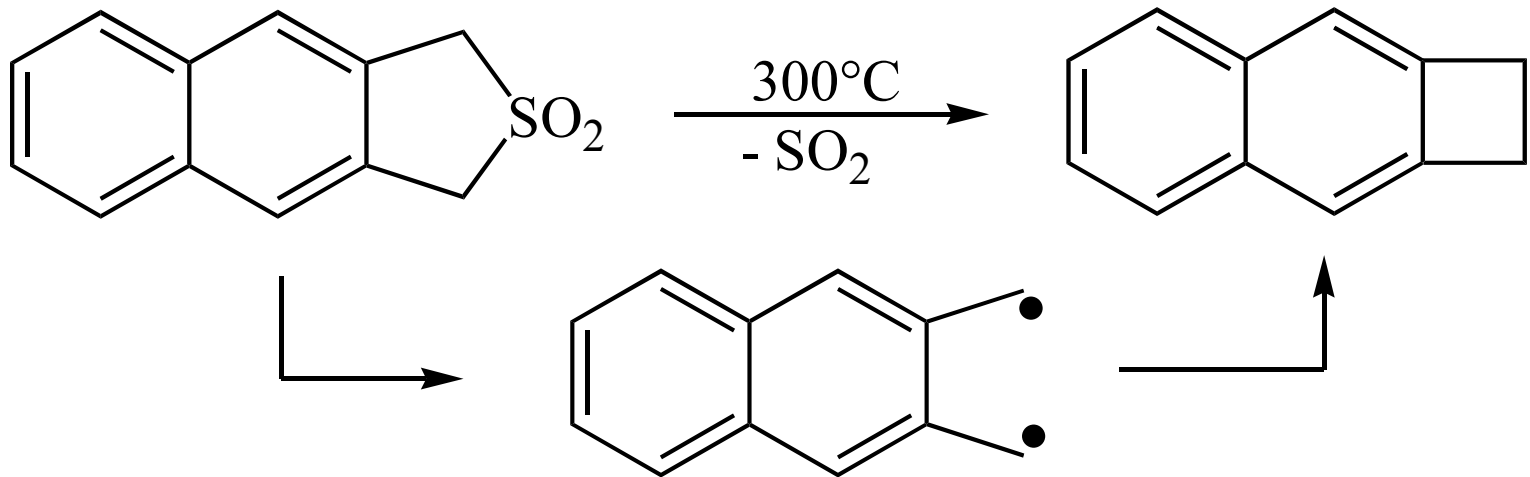
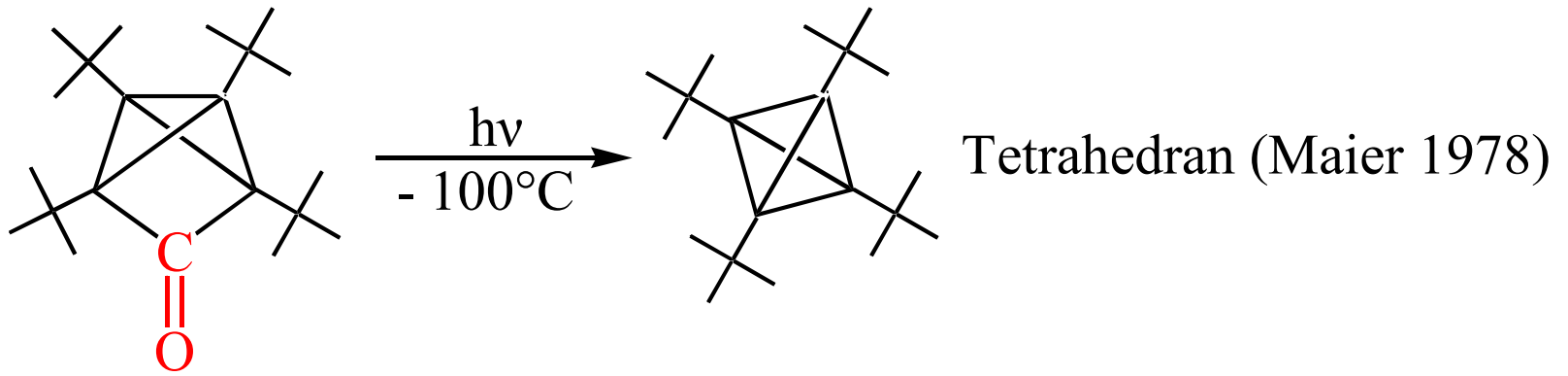
5. Extrusionen



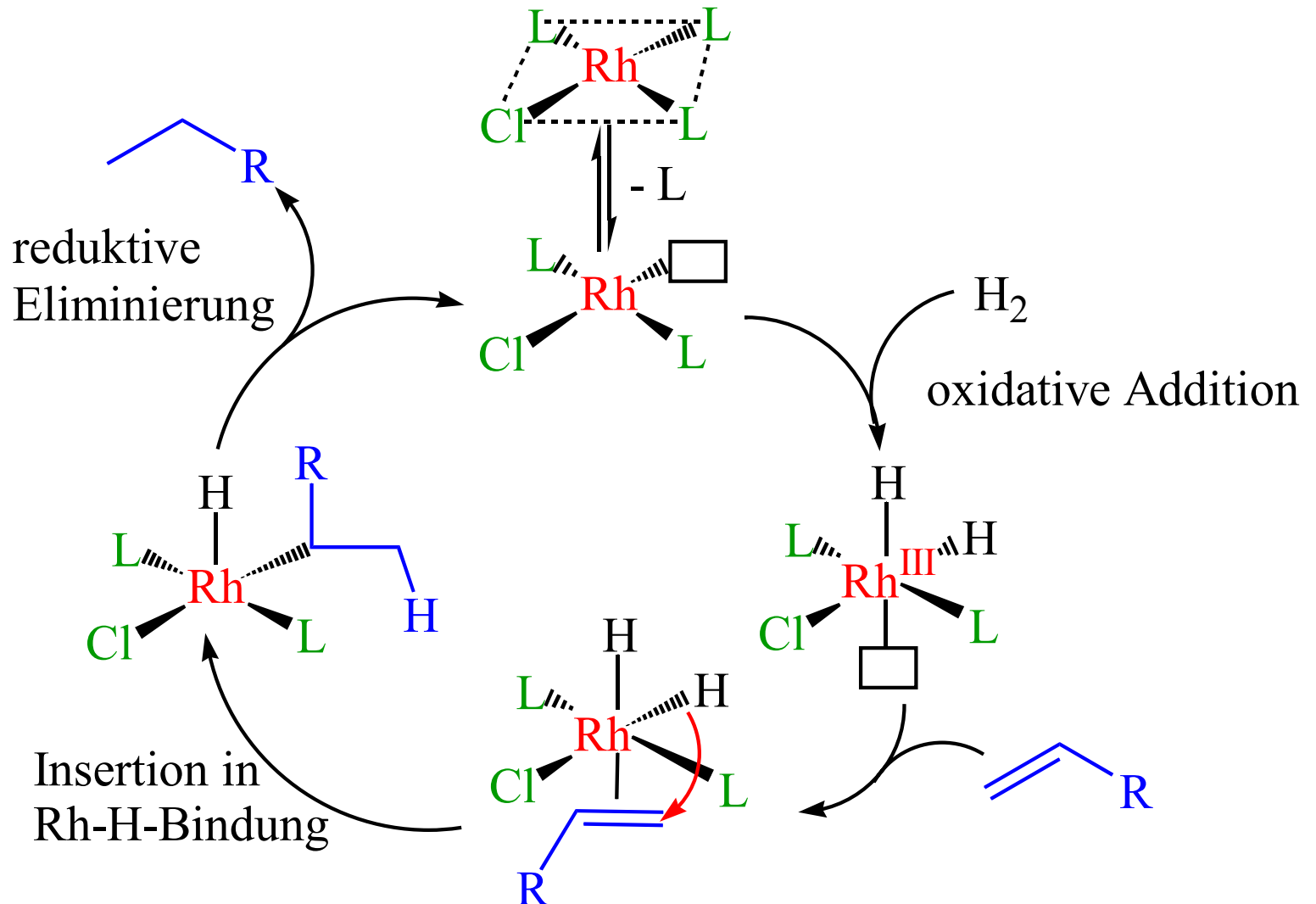
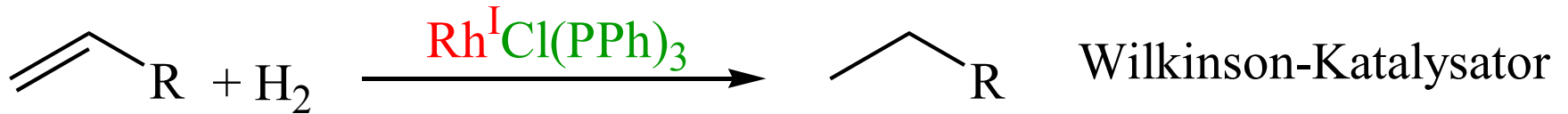
Norrish-Typ I-Spaltung



5. Extrusionen

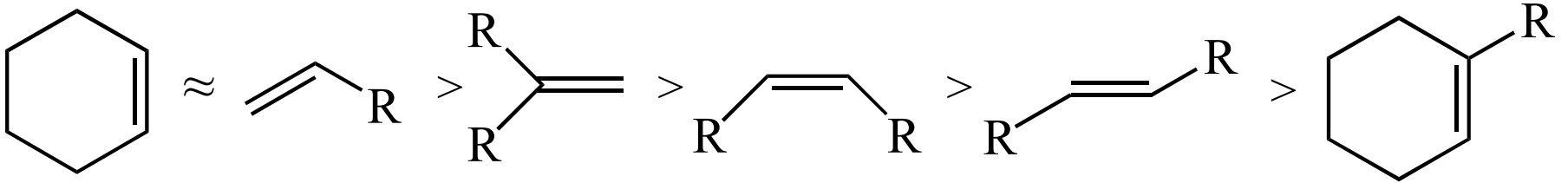


Hydrierung

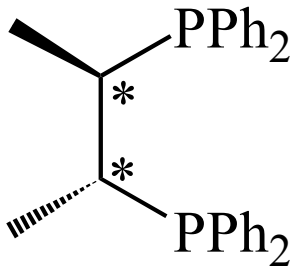


Hydrierung

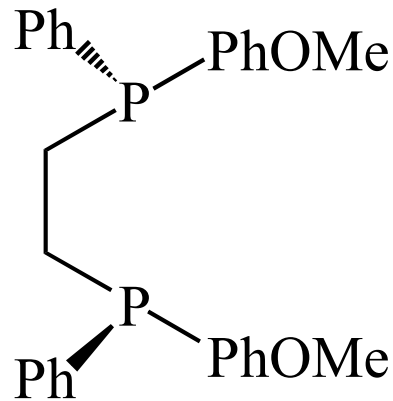
Wilkinson-Hydrierung:



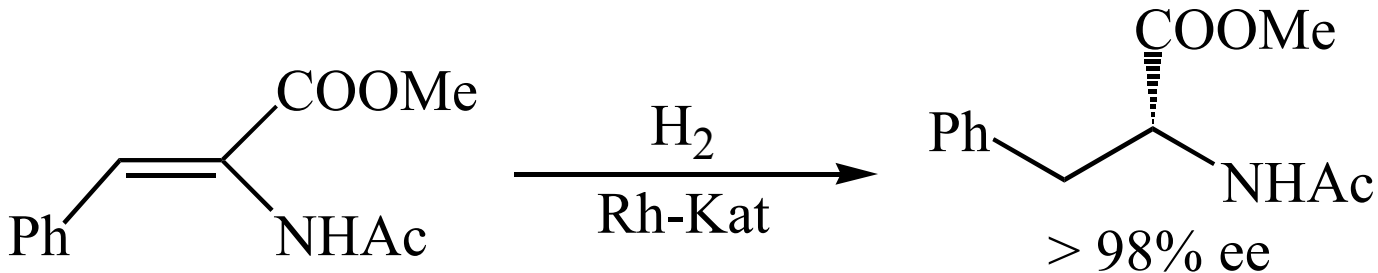
Enantioselektive Hydrierung



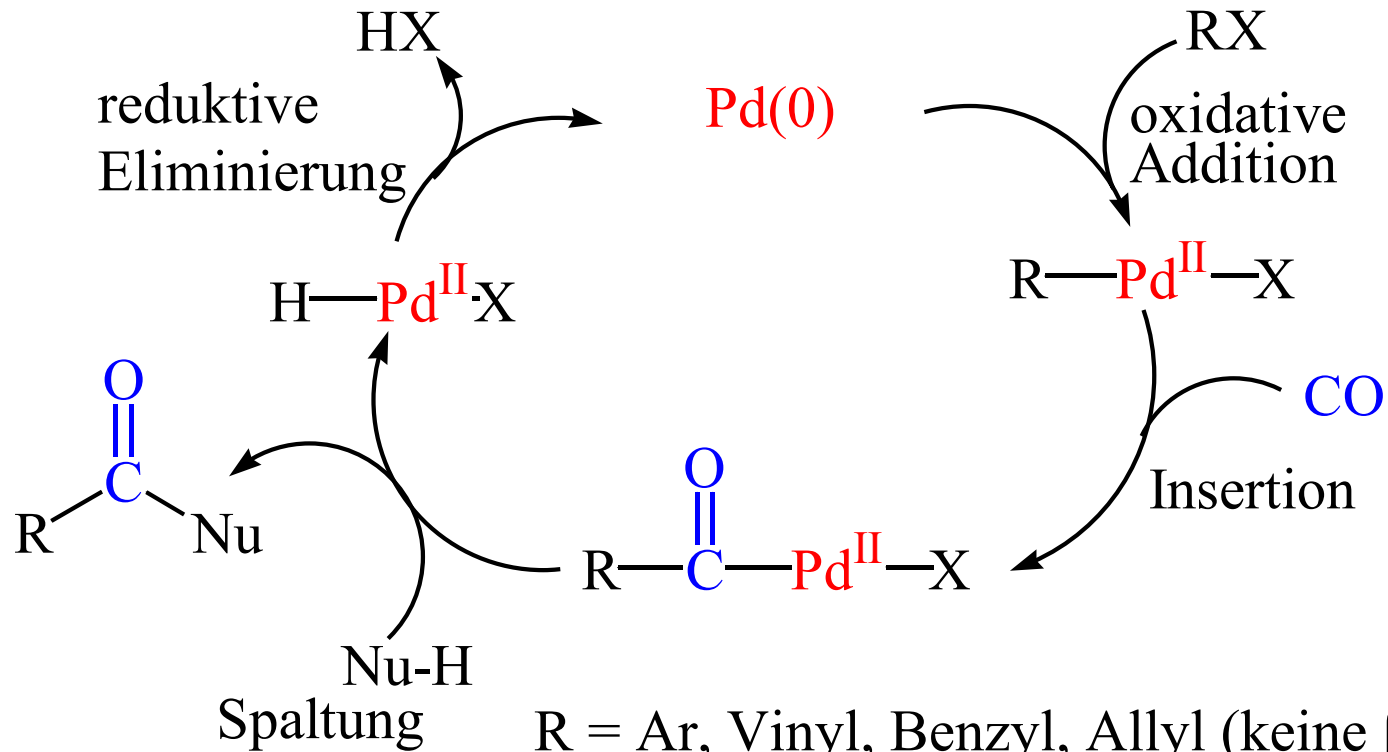
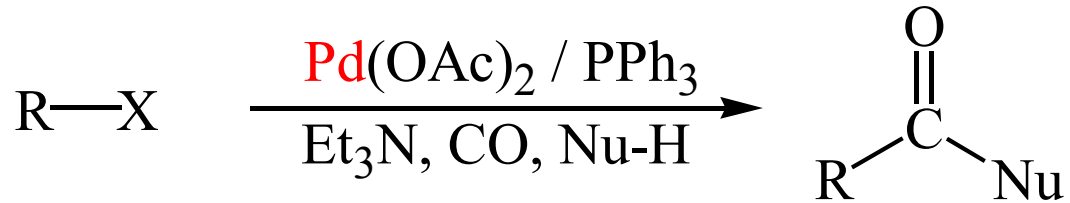
Chiraphos



DIPAMP



Carbonylierungen

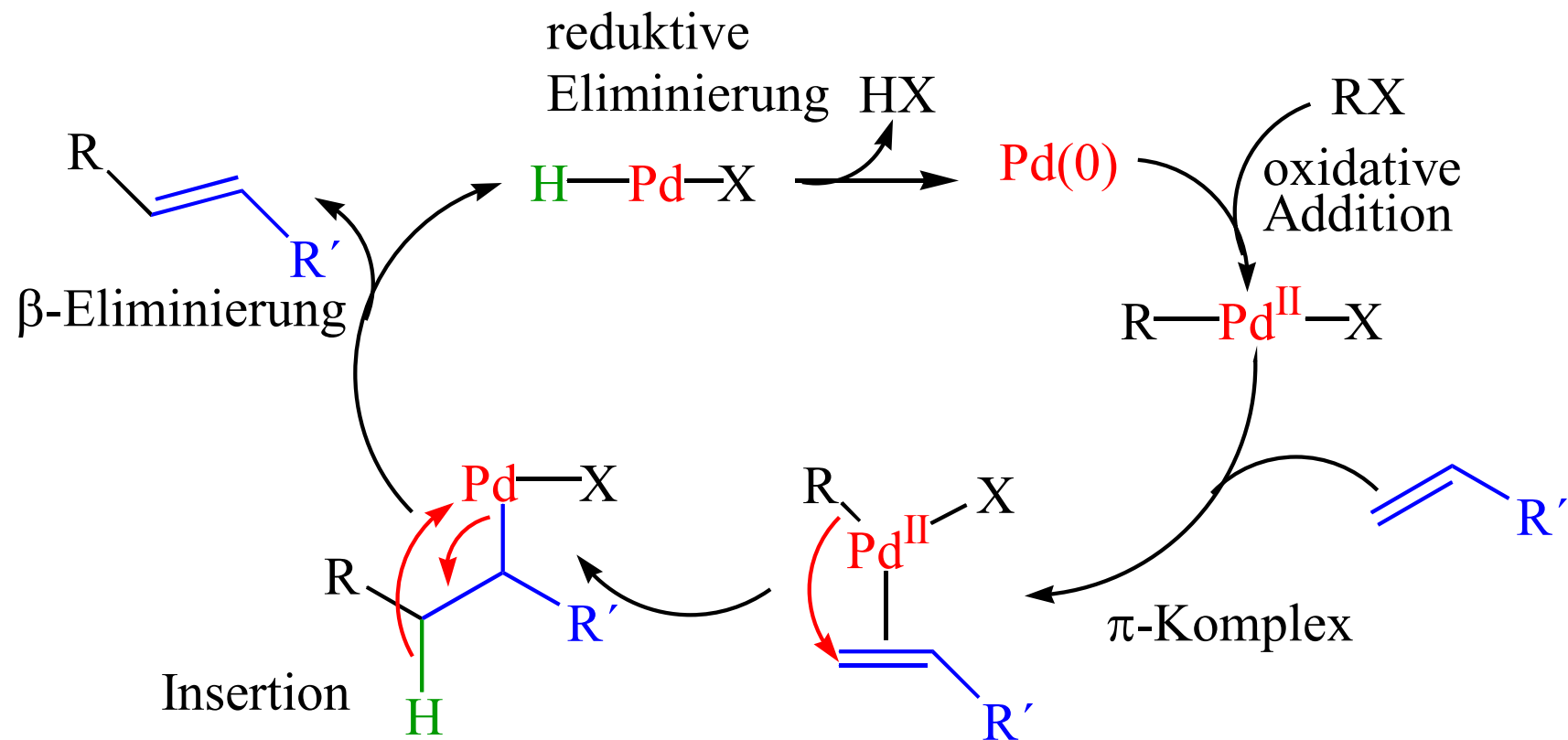
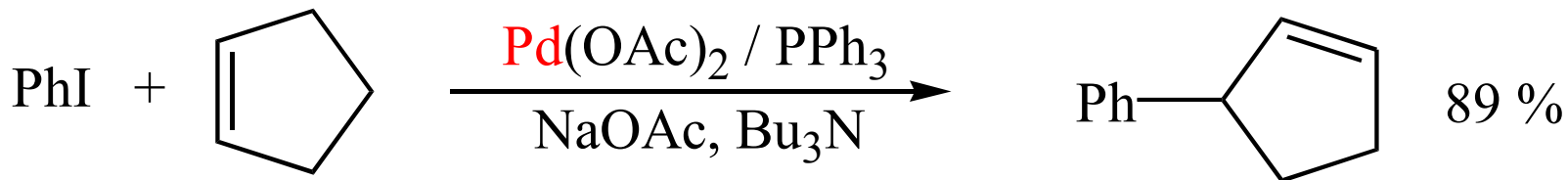


R = Ar, Vinyl, Benzyl, Allyl (keine β -H)

X = Br, I, CF₃CO₂, CF₃SO₃

Nu-H: R'OH, R'NH₂, u.a.

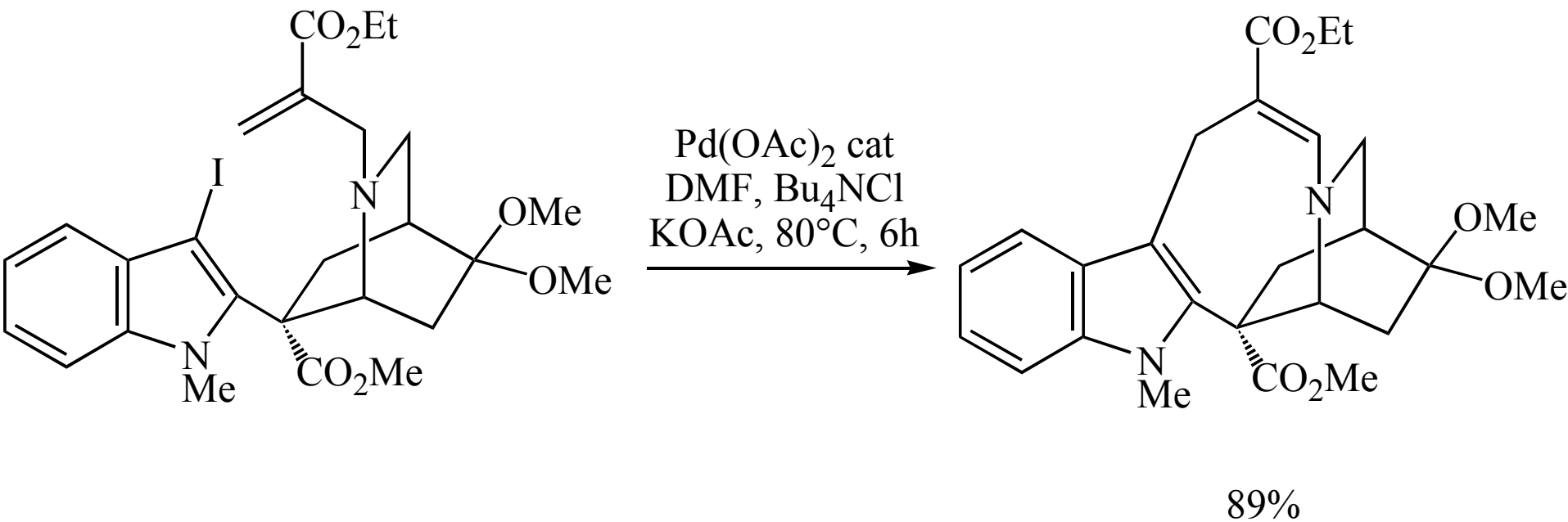
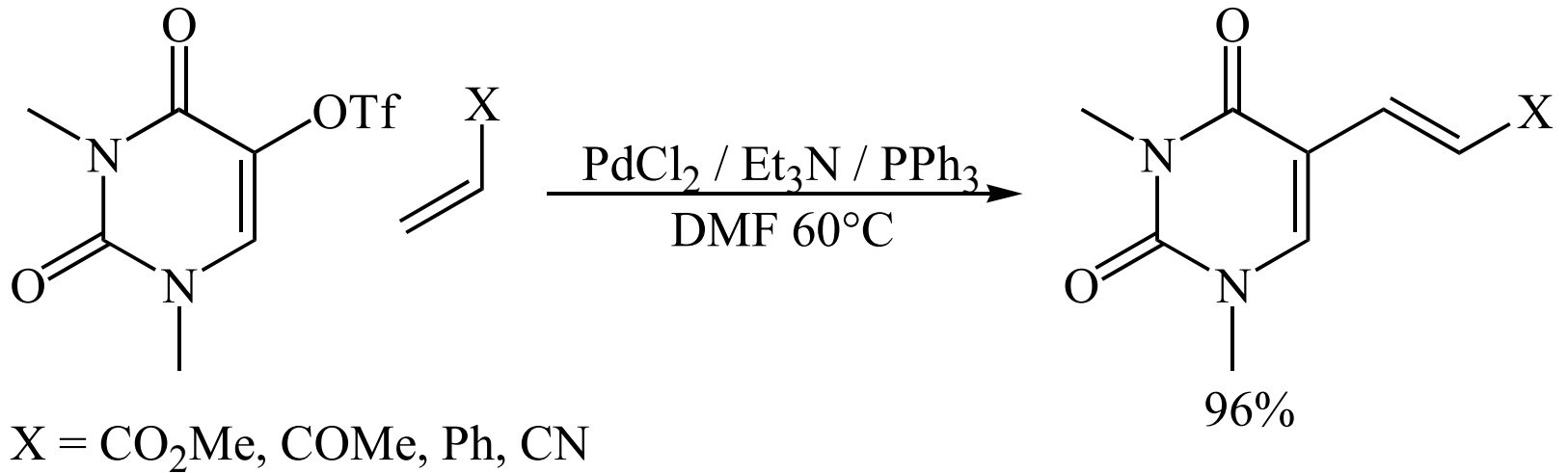
Heck-Reaktionen



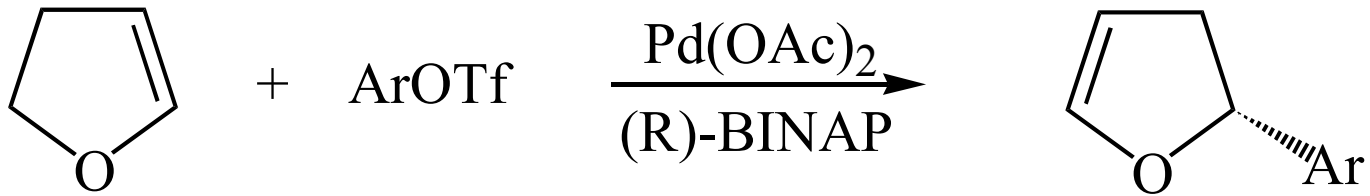
R = Ar, Alkenyl, Benzyl

X = Br, I, CF_3CO_2 , u.a.

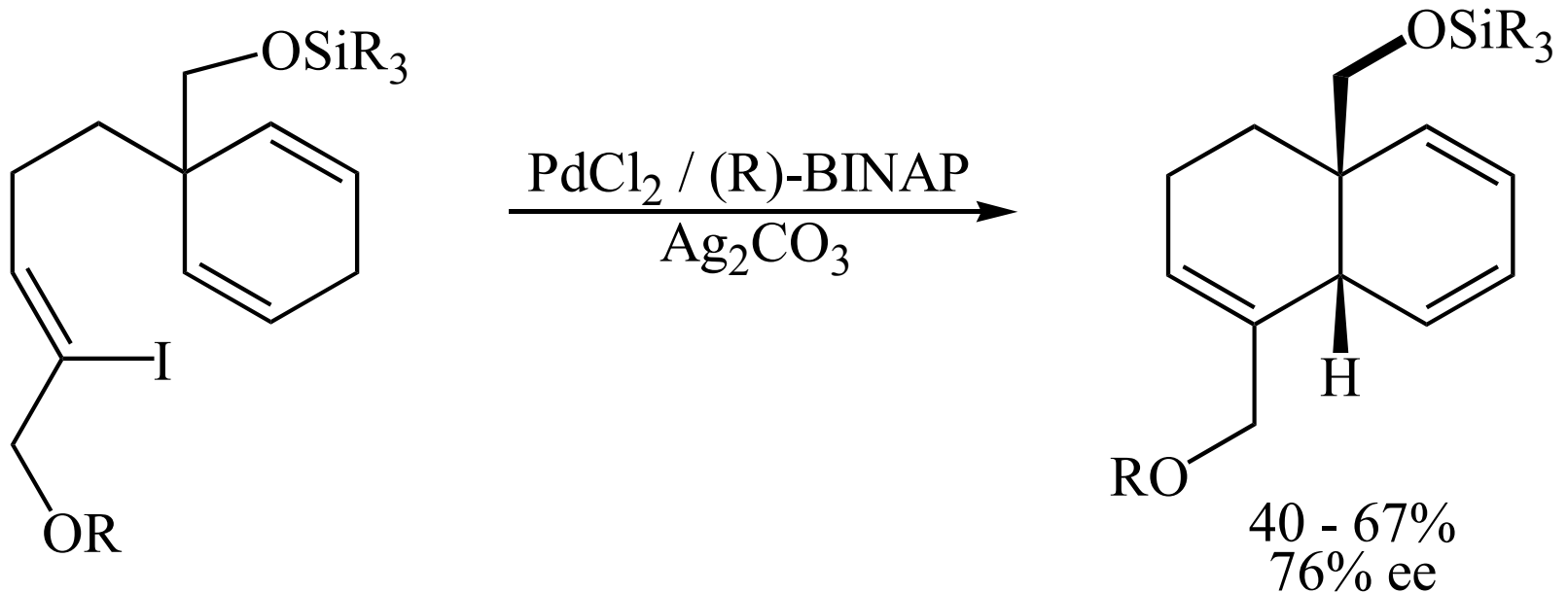
Heck-Reaktionen



Heck-Reaktionen

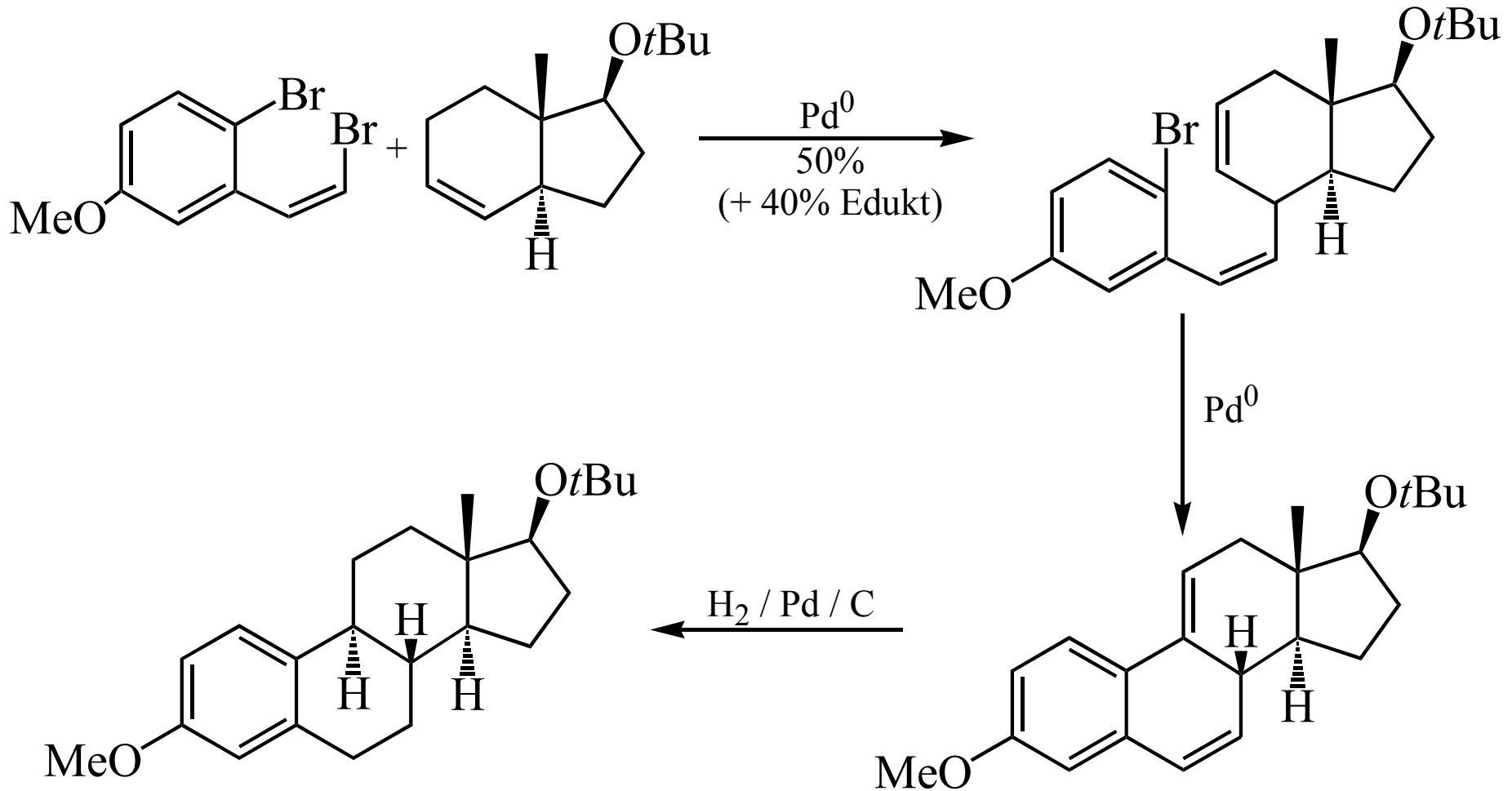


40 - 60%
>96% ee



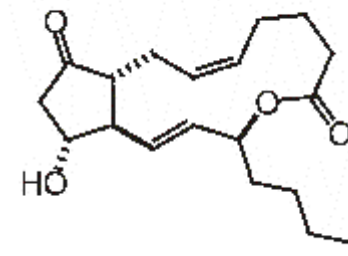
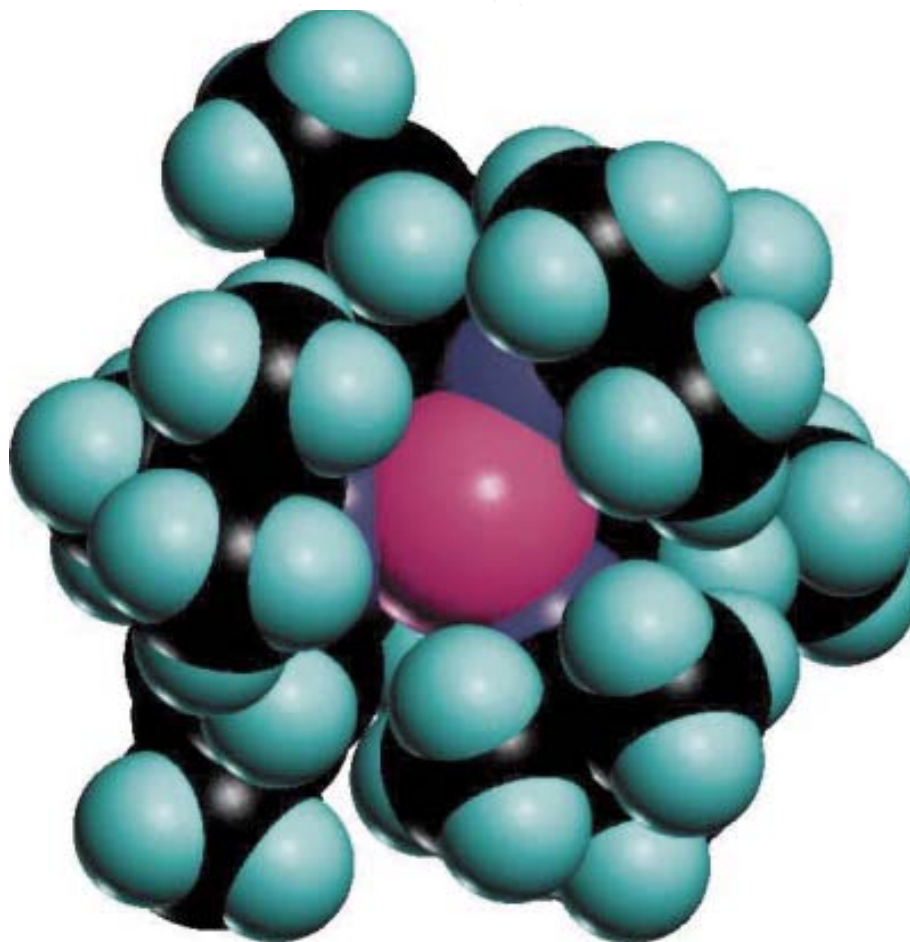
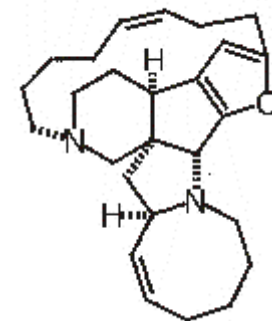
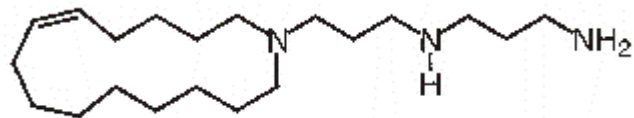
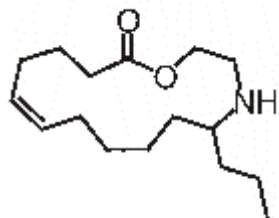
40 - 67%
76% ee

Totalsynthese von 17 β -Östradiol



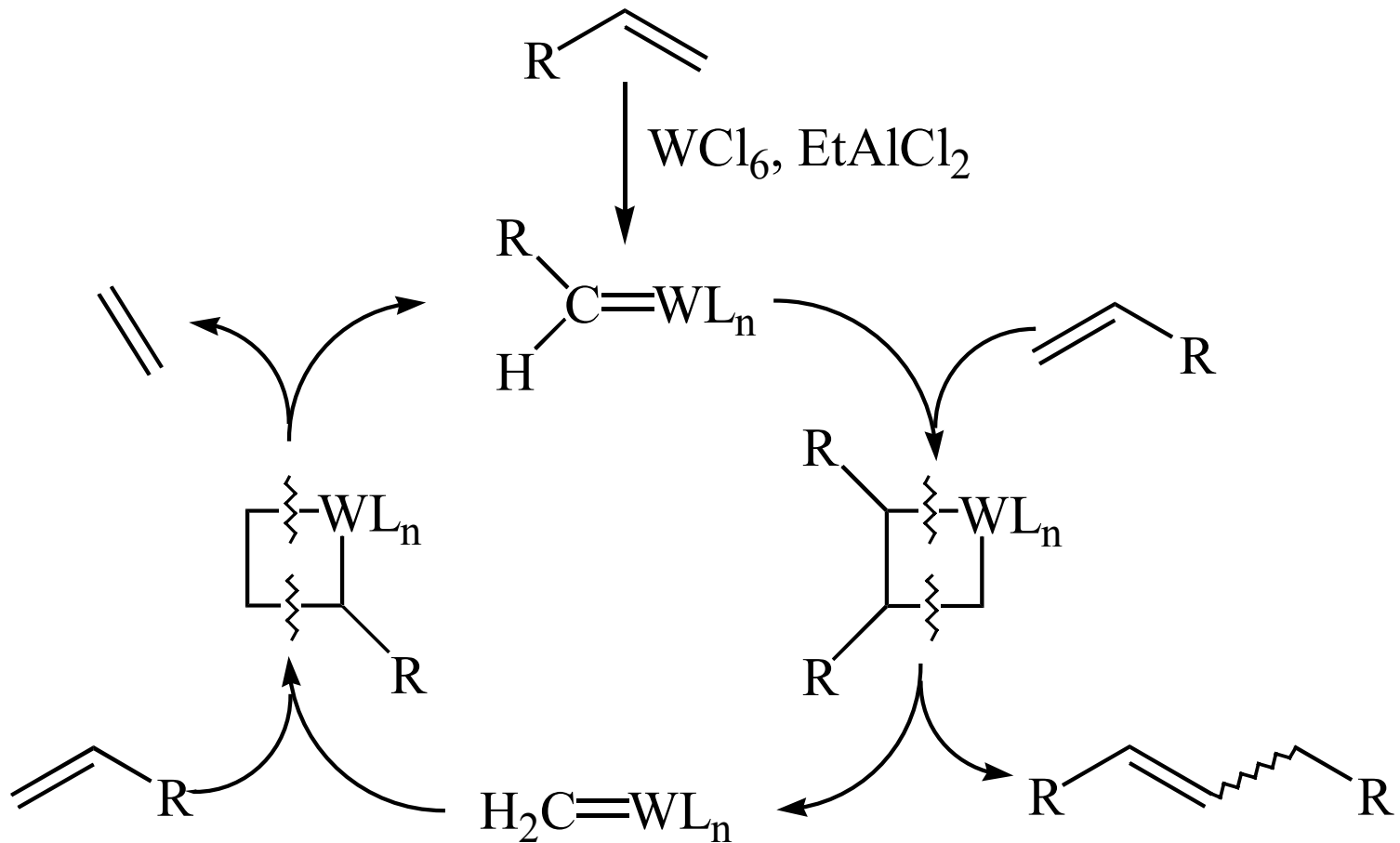
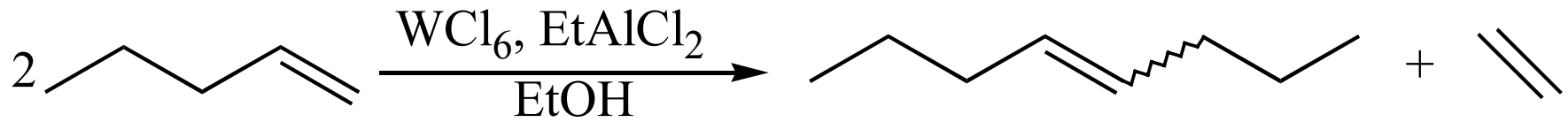
Totalsynthese von enantiomerenreinem 17 β -Östradiol durch zweifache Heck-Reaktion nach Tietze.

Kalottenmodell von $[\{(Ar)(tBu)N\}_3MoCl]$

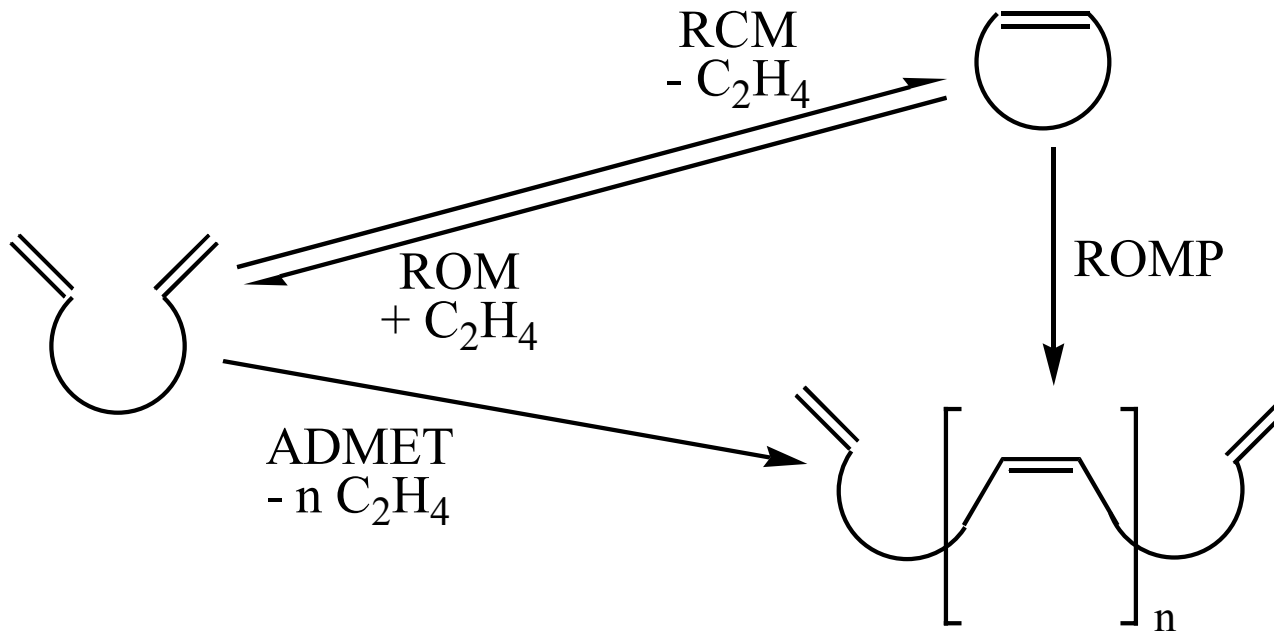


Das Kalottenmodell von $[\{(Ar)(tBu)N\}_3MoCl]$, einem neuartigen Katalysator für die Ringschlussmetathese von Alkinen, ist umgeben von Strukturformeln einiger Naturstoffe, bei deren Synthese diese Methode eingesetzt wurde.

Olefin-Metathesis



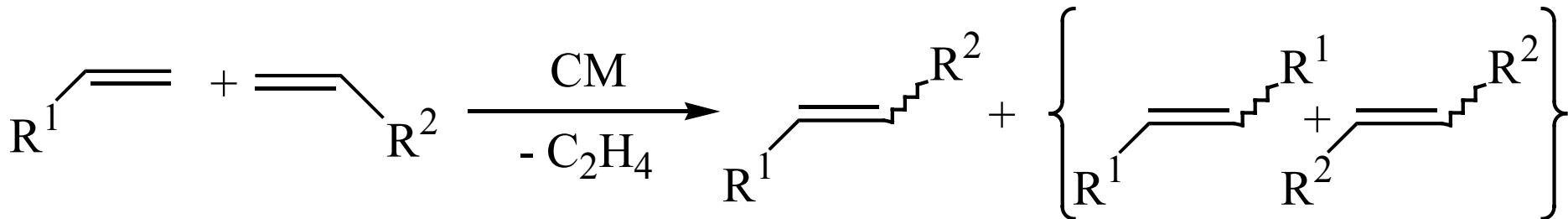
Wichtige Arten von Metathesereaktionen



RCM: Ringschlussmetathese (ring closing metathesis)

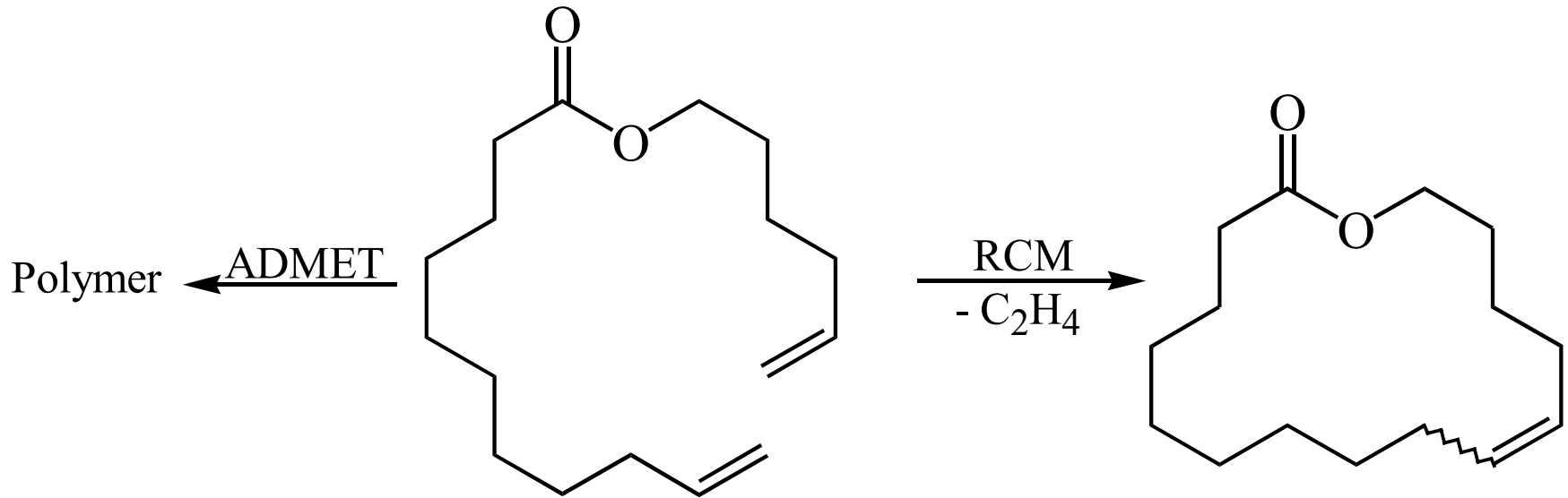
ADMET: acyclische Dienmetathese-Polymerisation (acyclic diene metathesis polymerization)

ROMP: Ringöffnungmetathese-Polymerisation (ring opening metathesis polymerization)

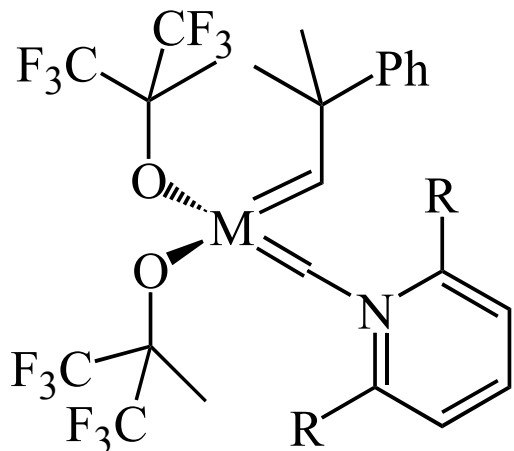


CM: Kreuzmetathese (cross metathesis)

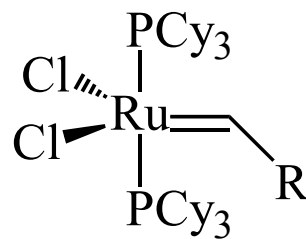
Metathesereaktionen



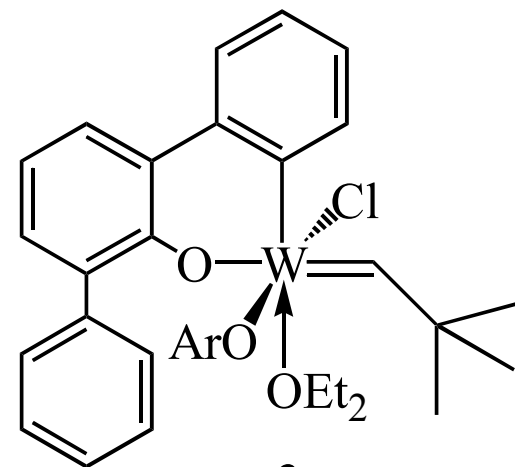
Metathesekatalysatoren und -katalysatorvorstufen



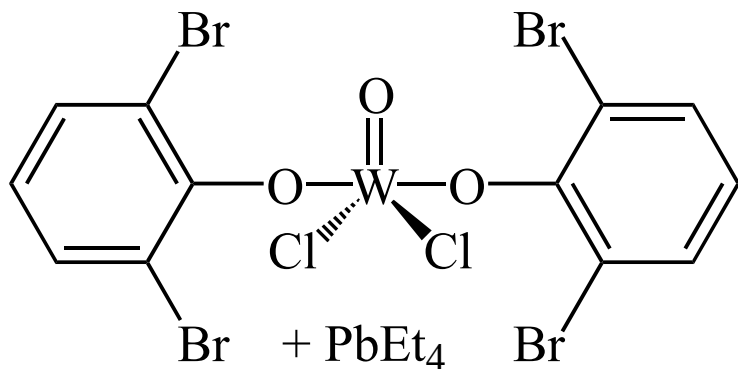
1 M = Mo, W



2 R = Ph, CH=CH₂, etc.



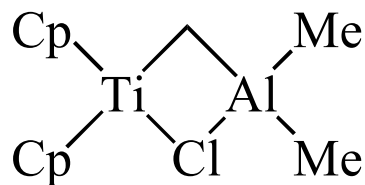
3



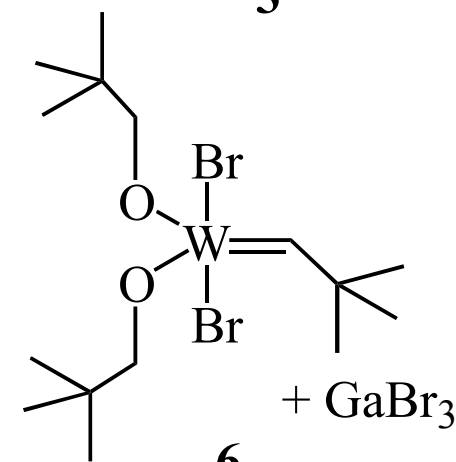
4

[MeReO₃] / Al₂O₃

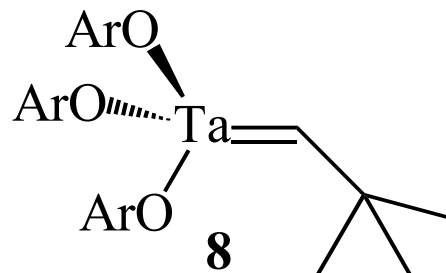
7



5



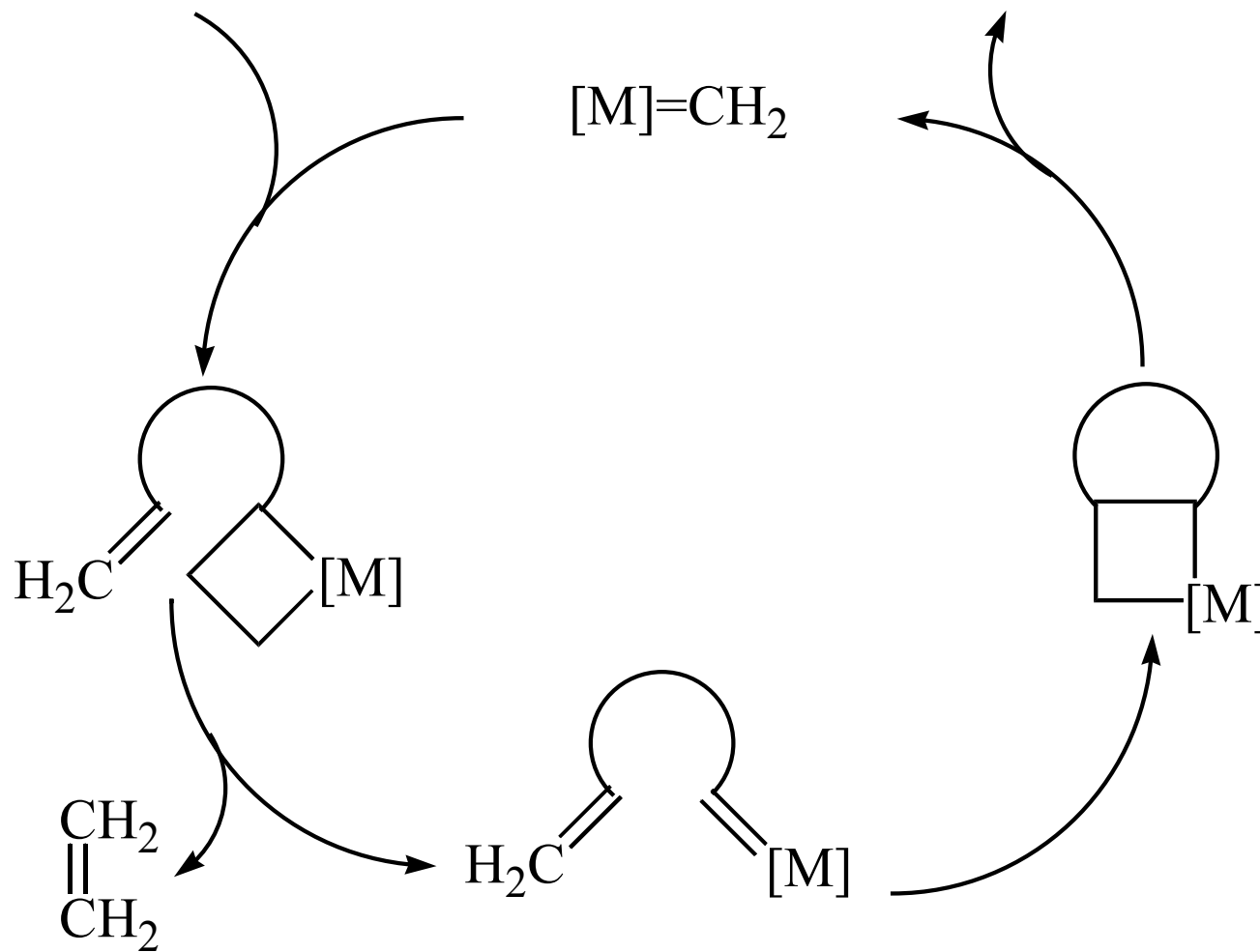
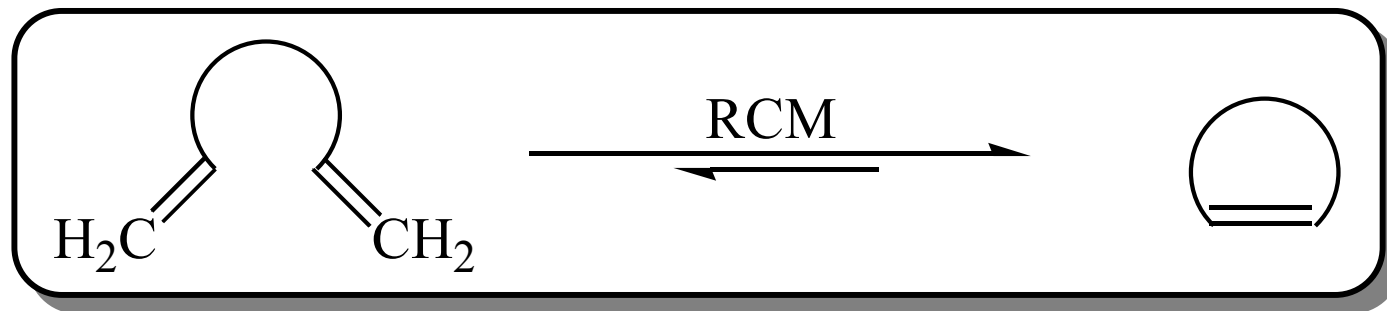
6



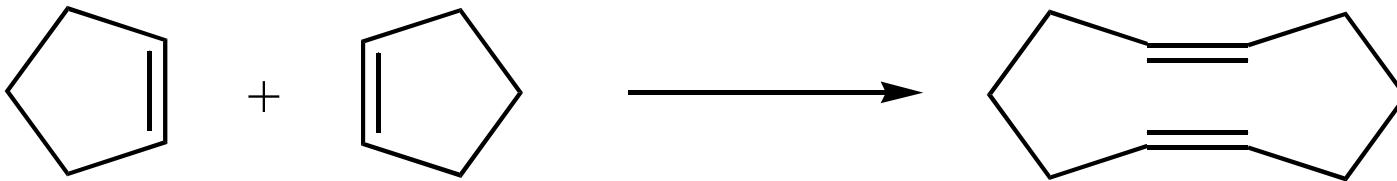
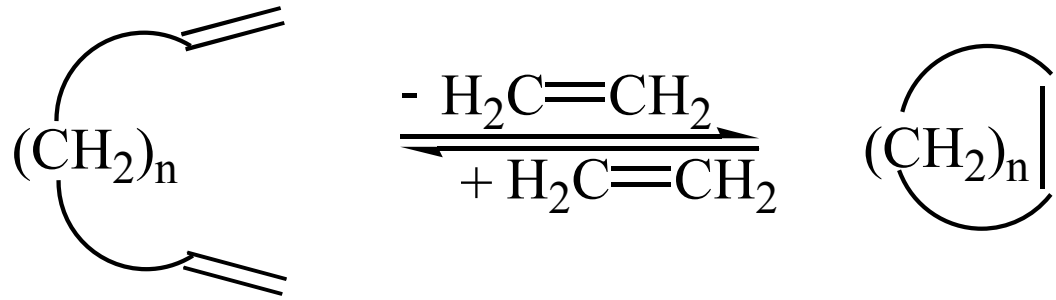
8

A. Fürstner:
Angew. Chem. **2000**,
112, 3140

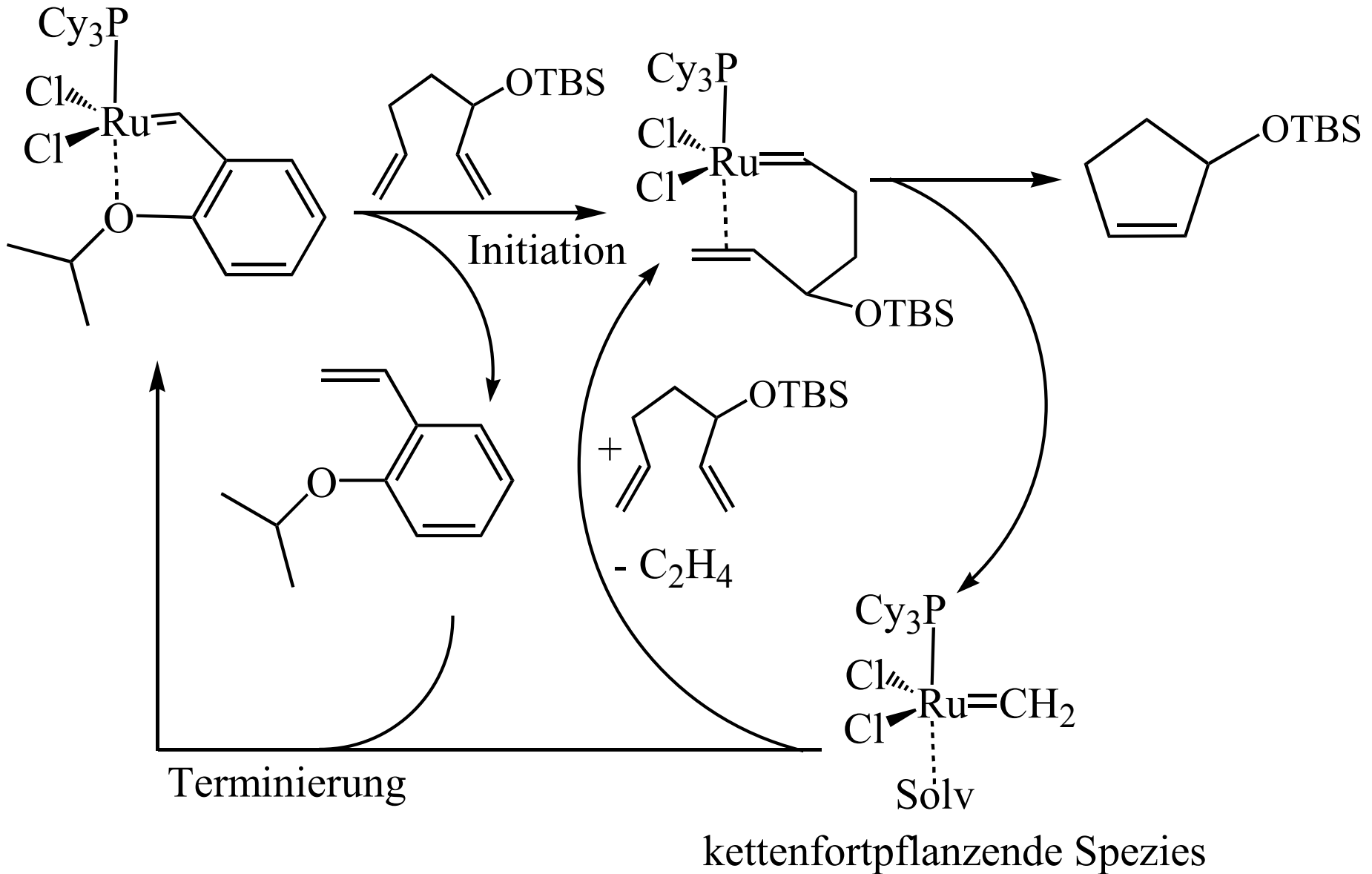
Katalysekreislauf der RCM



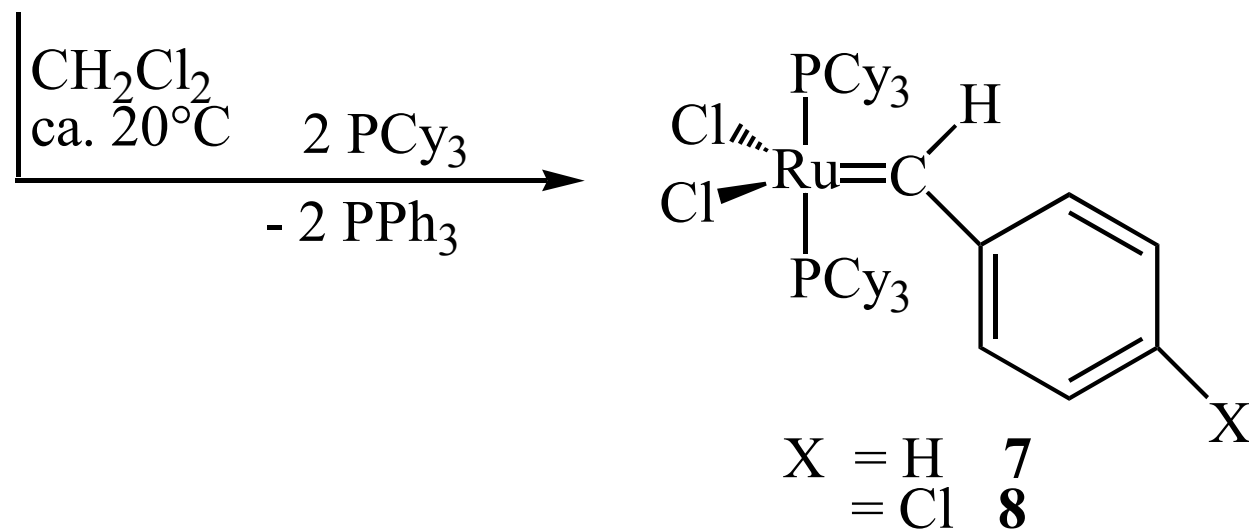
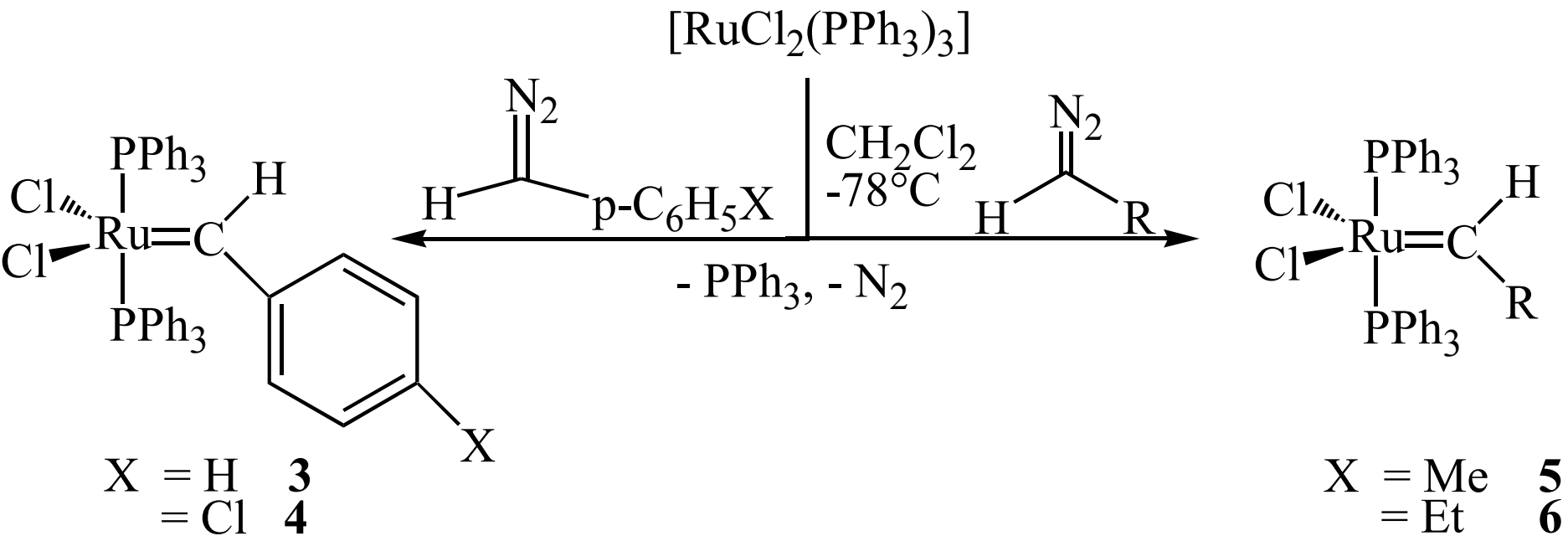
Olefin-Metathese



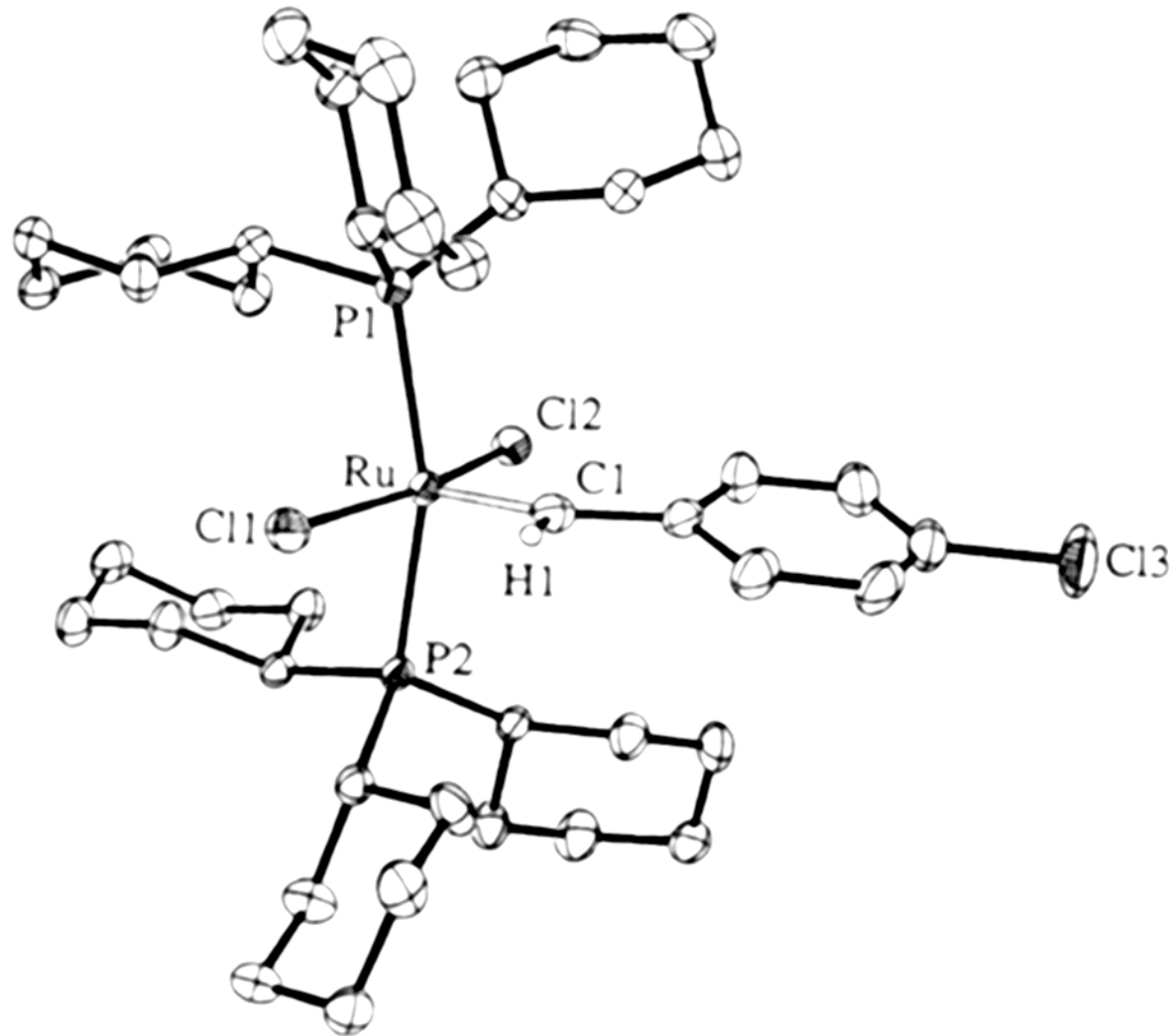
RCM mit einem Grubbs-Katalysator



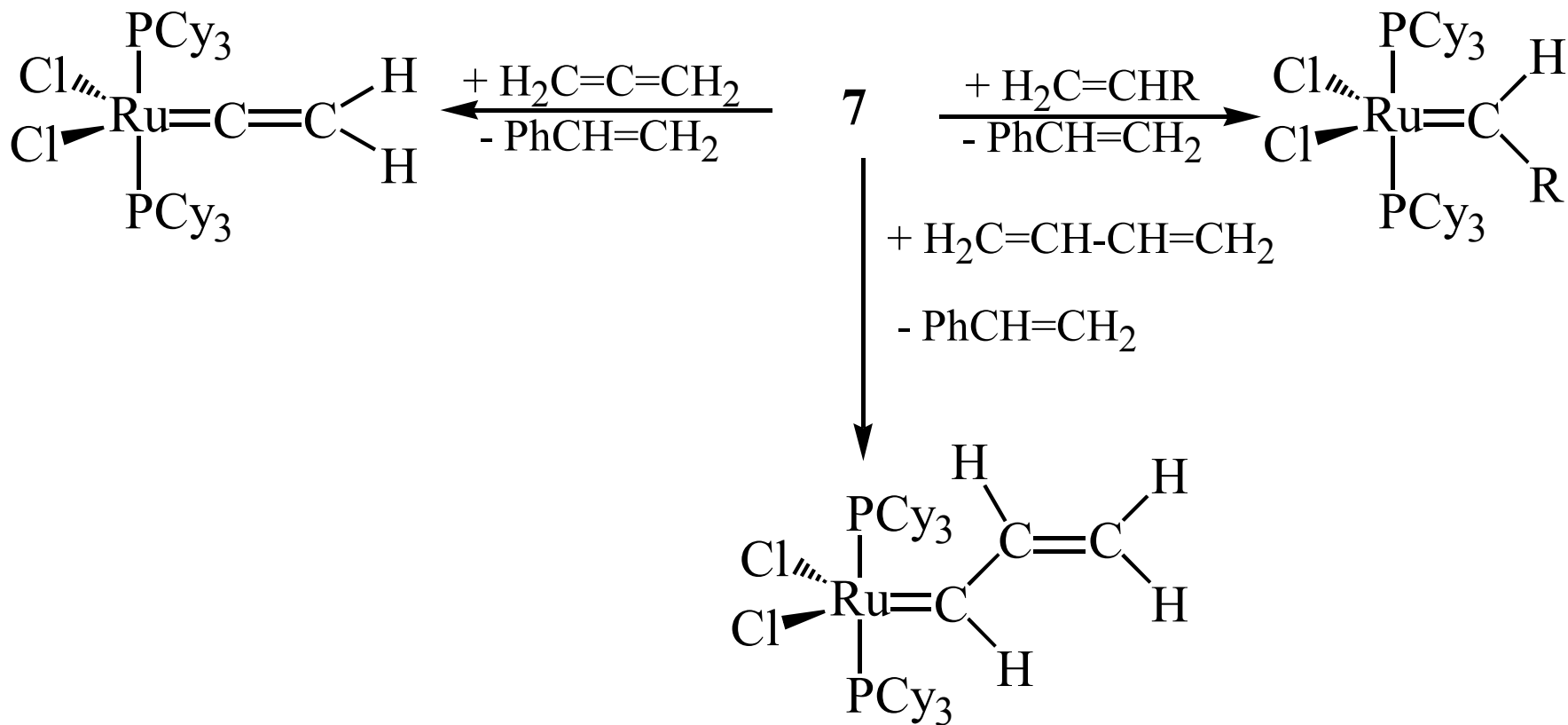
Synthese eines Metathesekatalysators



Struktur eines Grubbs-Metathesekatalysators

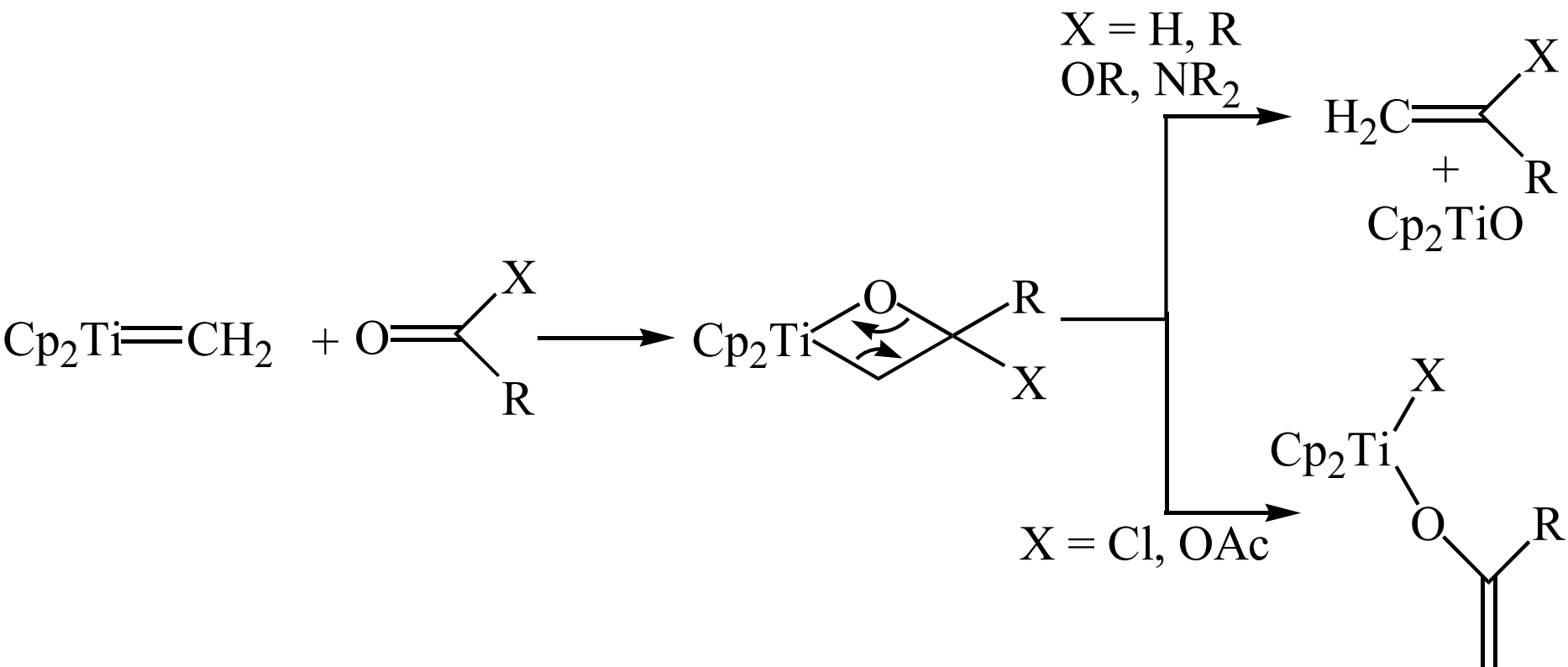
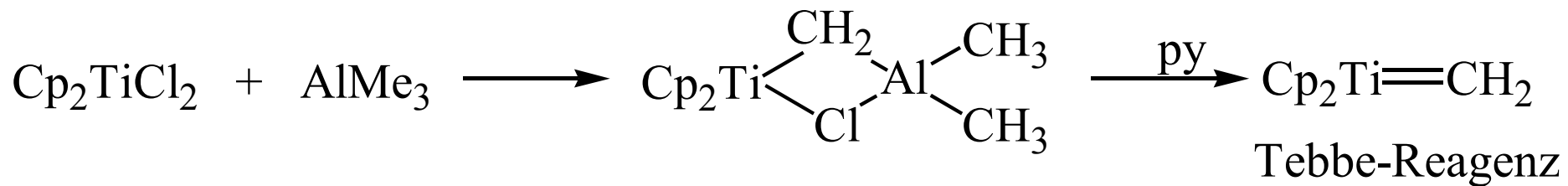


Metathese acyclischer Alkene mit Grubbs-Katalysator

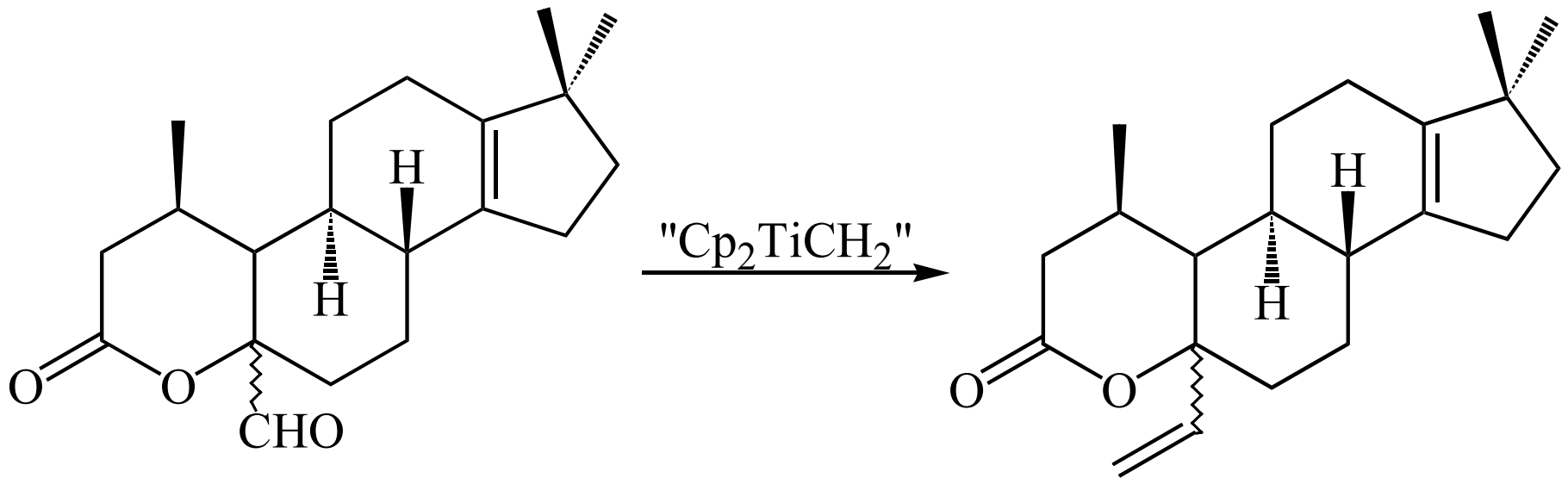


P. Schwab, M.B. France, J.W. Ziller, R.H. Grubbs,
Angew. Chem. **1995**, *107*, 2179-2181

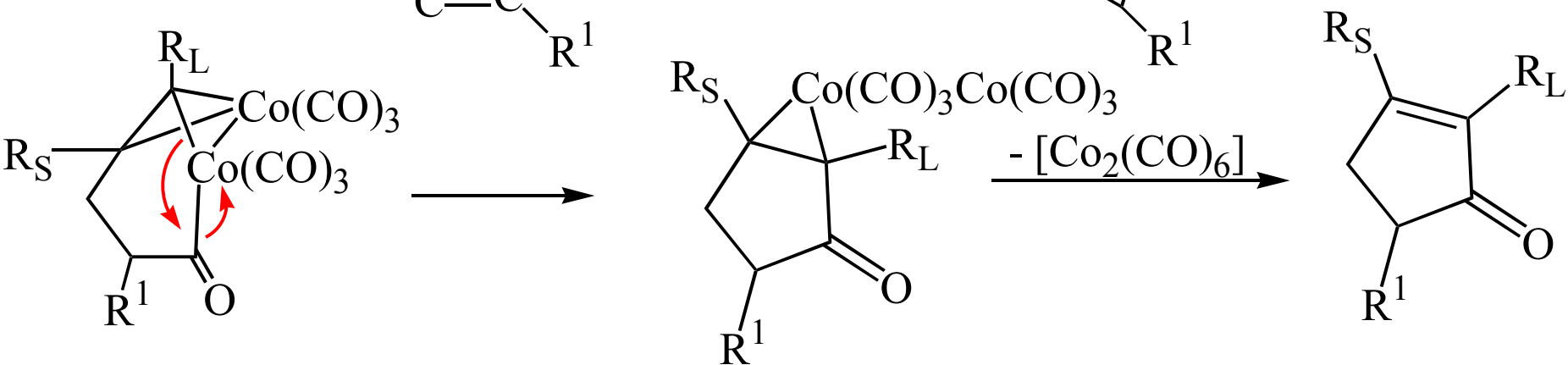
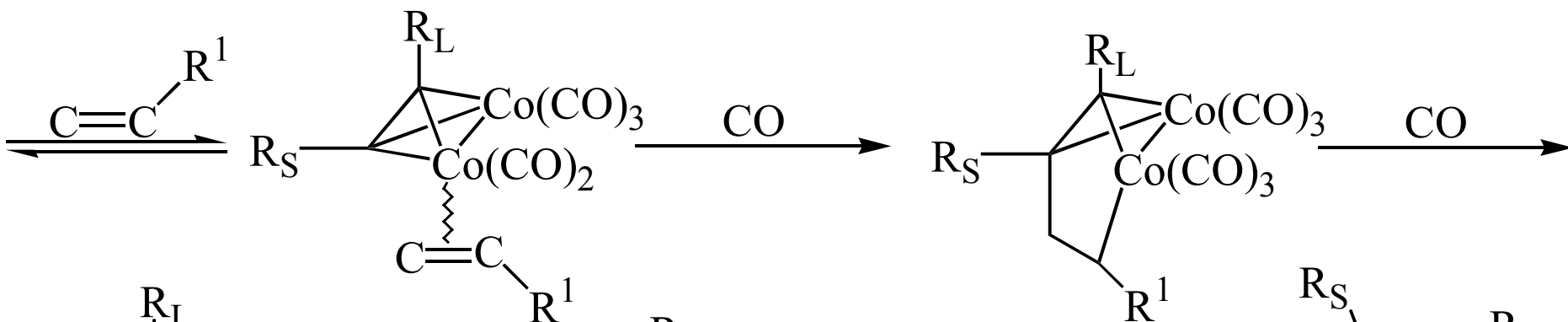
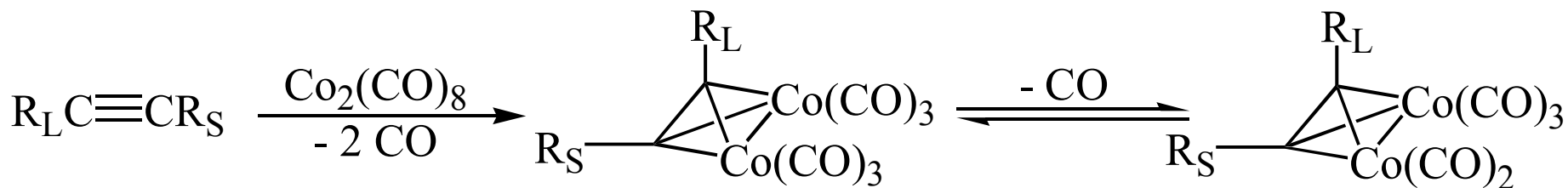
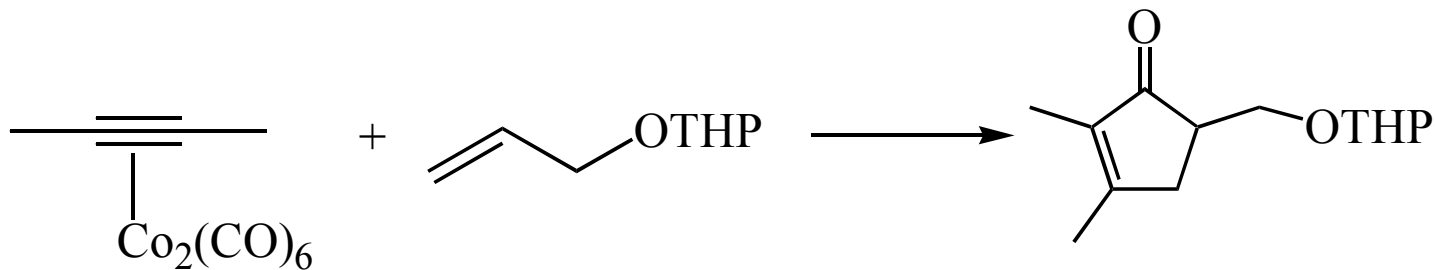
Tebbe-Reaktionen



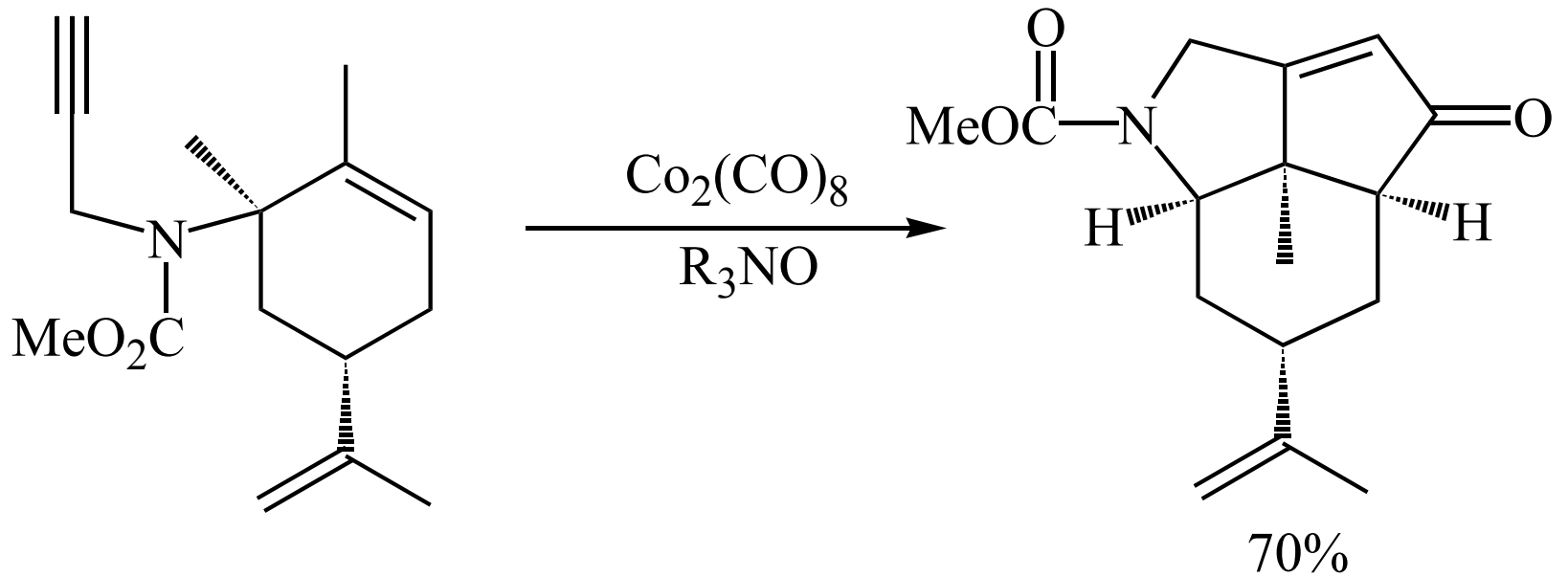
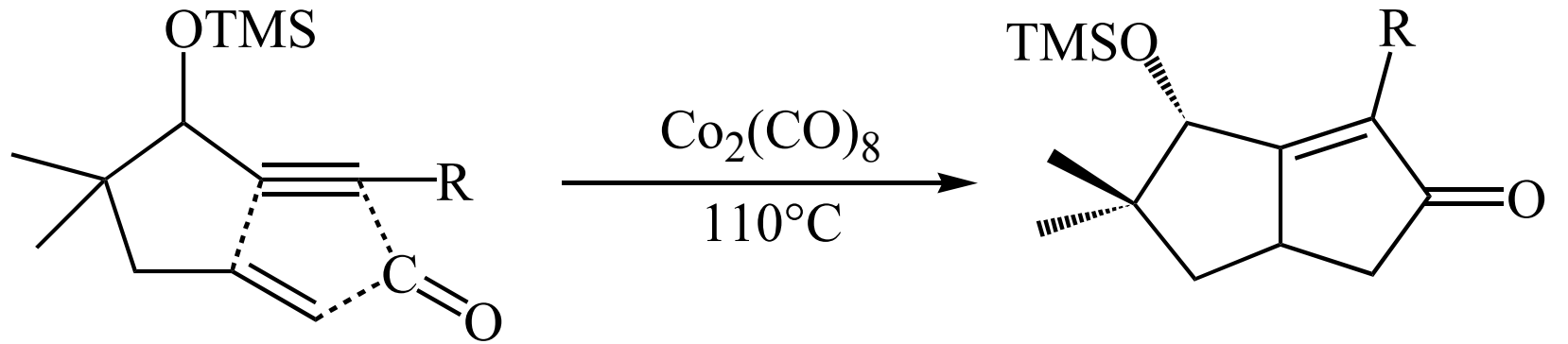
Tebbe-Reaktionen



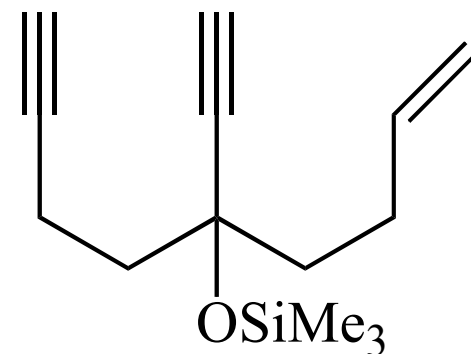
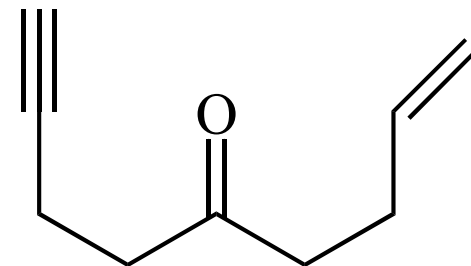
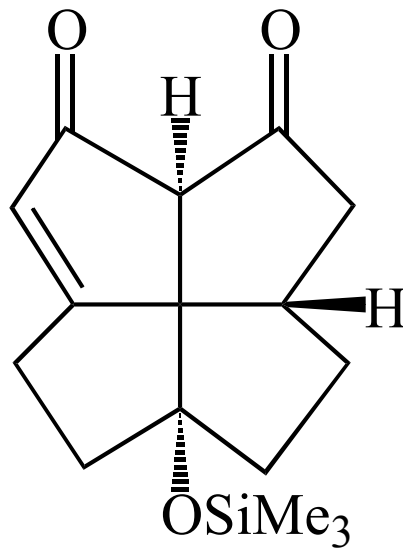
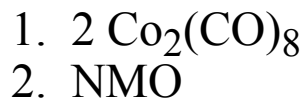
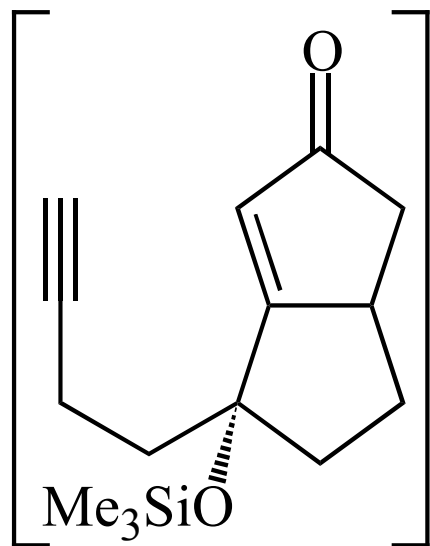
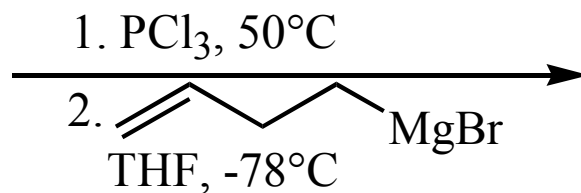
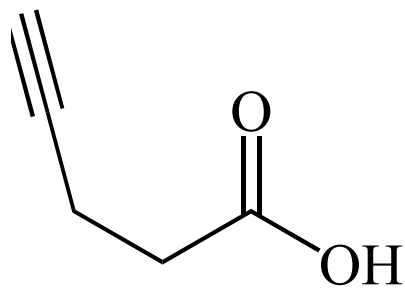
Pauson-Khand-Reaktion



Pauson-Khand-Reaktion



Synthese von Fenestran



Fenestran

Gesamtausbeute: 17%
über 5 Stufen